

14050

İSTANBUL TEKNİK ÜNİVERSİTESİ * FEN BİLİMLERİ ENSTİTÜSÜ

**BİNA TASARIMI AŞAMASINDA HACİM İÇİNDEKİ
DOĞAL İŞIK DAĞILIMINI BELİRLEMEK İÇİN BİR MODEL**

T. C.
Yükseköğretim Kurulu
Dokümantasyon Merkezi

DOKTORA TEZİ

Y. Müh. Dilek ENARUN

Tezin Enstitüye Verildiği Tarih: 6 Temmuz 1987

Tezin Savunulduğu Tarih : 18 Aralık 1987

Tez Danışmanı : Prof. Dr. Muzaffer ÖZKAYA

Diğer Juri Üyeleri : Prof. Dr. Nadir YÜCEL

Doç. Dr. Mehmet KÜÇÜKDÖĞÜ

ARALIK 1987

ÖNSÖZ

Bu tezi yapmam için bana güç veren ve imkan sağlayan kıymetli hocam merhum Prof. Mehmet İnan'ın aziz hatırlasını saygı ve sevgi ile saklayacağım.

Bitirilmesi konusunda çok değerli yardımcılarını gördüğüm Sayın hocam Prof. Muzaffer Özkaya'ya ve çalışmalarım boyunca desteğinden ve bilgisinden yararlanabilme fırsatını benden hiç esirgemeyen Sayın hocam Doç. Dr. Mehmet Küçükdoğu'ya sonsuz şükranlarımı sunmayı bir borç bilirim.

Bu çalışmanın baskısı sırasında sınırsız destek ve yardımlarından yararlandığım Komdata A.Ş.'ne ve özel olarak değerli arkadaşım Hamdi Uçar'a da candan teşekkür ederim.

İÇİNDEKİLER

ÖZET.....	v
SUMMARY.....	vi
GİRİŞ.....	1
BÖLÜM 1. IŞIK GÖZ İLİŞKİSİ.....	3
1.1. Gözün Yapısı ve Görme Duyumu.....	3
1.2. Gözden Giren Işığın Görme Duyumu Dışındaki Etkileri.....	6
1.3. Görme Yeteneği.....	8
1.4. Görsel Konfor.....	10
1.5. Işık-Göz İlişkisi ve Ekonomiklik Açısından İçinde Çalışılan Hacimlerde Sağlanması Gereken Aydınlichkeit Düzeyleri.....	11
BÖLÜM 2. DOĞAL IŞIK.....	12
2.1. Doğal Işık Kaynakları.....	12
2.1.1. Dolaysız Güneş Işıığı.....	13
2.1.2. Gök Işıığı.....	15
2.1.2.1. Tekdüze Gök Modeli.....	16
2.1.2.2. Kapalı Gök Modeli.....	16
2.1.2.3. Açık Gök Modeli.....	17
2.1.3. Binaların Doğal Işık Kaynakları: Pencereler.....	18
2.2. Doğal Işık Hesap Yöntemleri.....	20
2.2.1. Işık Akısı Yöntemi.....	20
2.2.2. Noktasal Hesap Yöntemi.....	21

BÖLÜM 3. BİNA TASARIMI AŞAMASINDA HACİM İÇİNDEKİ DOĞAL İŞIK DAĞILIMININ YENİ BİR FAKTÖR OLAN E/LZ KULLANILARAK BELİRLENMESİ İÇİN ÖNERİLEN BİR MODEL.....	22
3.1. Hacim İçinde Aydınlichkeit Düzeyini Oluşturan Bileşenler ve Günsigü Faktörü.....	22
3.2. Hacim İçinde Gün Işığının Dağılımını Belirlemek İçin Önerilen Yeni Bir Faktör: E/LZ Faktörü.....	23
3.2.1. E/LZ Faktörünün Gök Bileşeni...	26
3.2.2. E/LZ Faktörünün Dış Yansımis Bileşeni.....	32
3.2.3. E/LZ Faktörünün İç Yansımis Bileşeni.....	33
3.3. E/LZ Faktörünün Kullanımında Bilgisayar Uygulaması.....	39
3.3.1. ELZET Programı.....	39
3.3.2. EDEG Programı.....	73
3.4. Tamamlayıcı Yapay Aydınlatma Uygulaması.....	99
SONUÇ.....	105
KAYNAKLAR.....	108
EKLER.....	111
ÖZGEÇMİŞ.....	216

ÖZET

Gündüz kullanılan hacimlerde, doğal ışığın, yapay aydınlatma enerjisinden artırım sağlamak amacıyla kullanılabilmesi için, tasarım aşamasında hacim içindeki doğal ışık dağılımının bilinmesi gereklidir. Bu konuda kullanılan alışılmış yöntemler uzun ve uğraştırıcı yöntemlerdir. Bu çalışmada, aydınlatma tasarımcısına, aydınlatma tasarımlı yaptığı hacimin içindeki doğal ışık dağılımını kolay ve çok kısa sürede sayısal değerleri ile birlikte elde edebileceğii bir araç hazırlanmıştır. Bu araç, bina planından okunabilecek verileri kullanarak kademeli olarak çalıştırılabilen iki bilgisayar programından oluşmaktadır.

Birinci bölümde, gözün yapısı ve görme duyumunun nasıl olduğu, ışık miktarının görsel konfor, görme yeteneği ve insan fizyolojisi üzerine etkileri anlatılmıştır. Bütün bu faktörler göz önünde bulundurulduğunda ortaya çıkan sonuç, gerekli ışık miktarının yüksek olduğunu göstermektedir. Gündüz kullanılan hacimlerde bu yüksek aydınlichkeit düzeylerini sağlayabilmek için alternatif bir ışık kaynağı olarak doğal ışığı kullanabileceğimizden, ikinci bölümde doğal ışık kaynakları ve mühendislik uygulamalarında kullanılan gök modellerinden bahsedilmiş, doğal ışık hesap yöntemleri açıklanmıştır.

Üçüncü bölümde hacim içerisinde doğal ışiktan kaynaklanan aydınlichkeit düzeylerini bulabilmek için en çok kullanılan yöntem olan günışığı faktörü anlatılmış, ve bu çalışmada önerilen yeni bir faktör, E/LZ faktörü tanıtılmıştır. Herhangi bir hacimde, bina planından okunabilecek verileri kullanarak ve E/LZ faktöründen yararlanarak, her hacim için zamana göre sabit olan E/LZ faktörleri haritalarını, hem sayısal değerleri ile hem grafik olarak çikan bir bilgisayar programı, ve ayrıca bu programın çıktılarını kullanarak söz konusu hacim içinde herhangi bir anda var olan doğal ışiktan kaynaklanan aydınlichkeit düzeylerini ve doğal ışığı tamamlayıcı yapay aydınlatmanın sağlanması gereken aydınlichkeit düzeylerini sayısal değerleri ile bulan ikinci bir bilgisayar programı tanıtılmıştır.

Bunlara ek olarak, bu bölümde daha önce örnek olarak alınmış bir hacimde, senenin en kötü ışık koşullarına sahip günü olan 21 Aralık gününe göre hazırlanmış, doğal ışığı tamamlayıcı yapay aydınlatma sistemi için bir tasarım örneği verilmiştir. Bu örnek üzerinde, alışılmış yöntemlerle yapılan aydınlatma tasarımlı ile, bu çalışmada ortaya konmuş olan bilgisayar programları yardımıyla elde edilen tamamlayıcı yapay aydınlatma tasarımlı, sistemlerin harcadıkları enerji açısından karşılaştırılmışlardır.

EIN MODELL FÜR DIE BESTIMMUNG
DER TAGESLICHTVERTEILUNG IM RAUM
IN DER PLANUNGSPHASE DES GEBÄUDES

ZUSAMMENFASSUNG

Um in den Räumen, die auch am Tage verwendet werden, eine Energieeinsparung bei der Kunstlichtbeleuchtung unter der Verwendung vom Tageslicht zu erreichen, sollte man die Verteilung des Tageslichtes im Raum schon zu der Zeit der Planung wissen. Da die herkömmlichen Methoden in dieser Richtung ziemlich langwierig sind, machen die Beleuchtungsplaner in unserem Lande oft ihre Entwürfe entweder unter der Voraussetzung der völligen Dunkelheit oder sie beachten das Tageslicht nur nach Augenmaß. In dieser Arbeit hat man ein Mittel für die Beleuchtungsplaner entwickelt, mit dem sie die Verteilung des Tageslichtes in irgendeinem Raum leicht und schnell und mit Zahlenwerten erlangen können. Dieses Mittel besteht aus zwei Computerprogrammen, die unter Verwendung von Daten, die aus dem Plan gelesen werden können, stufenweise eingesetzt werden.

Wenn man den Aufbau des Auges und den Vorgang des Sehens näher betrachtet, und die Wirkungen des Lichtes auf die Physiologie der Menschen im Auge behält, erkennt man, dass je mehr Licht vorhanden ist, desto besser das Sehen und die Funktionierung des Metabolismus ist. Obwohl bei den Wirkungen des Lichtes auf die Physiologie der Menschen mehr Licht immer positivere Ergebnisse erzielt, sieht es bei dem Sehvorgang anders aus. Wenn man die Beleuchtungsstärken in der Umgebung des Menschen ständig steigen lässt, nehmen die Werte der Sehleistungparametern, die Sehschaerfe, die Unterschiedsempfindlichkeit und die Wahrnehmungsgeschwindigkeit, in der positiven Richtung bis zu einem bestimmten Wert rapid zu, dann bleiben diese Werte in einem Bereich, wo die Sehleistung optimal ist, ziemlich konstant, dann aber beginnen sie zu fallen. Diese Verminderung der Sehleistung durch mehr Licht ist bedingt durch die Blendung.

Das Leuchtdichteintervall, in dem die Sehleistung optimal ist, liegt ungefähr zwischen 100 cd/m^2 und 5000 cd/m^2 . Wenn man annimmt, dass die Sehobjekte in dem Raum ideal diffus reflektierend sind, das heißt, dass sie sich nach dem Gesetz von Lambert verhalten und ihre Reflexionsfaktoren im Durchschnitt um % 50 liegen, ist das Beleuchtungsstärkeintervall, in dem die Sehleistung optimal ist, ungefähr zwischen 500 lx und 30000 lx.

Man sieht, dass diese Beleuchtungsstaerkewerte ziemlich hoch sind. Um diese Beleuchtungsstaerken erreichen zu können, würde man viel elektrische Energie verbrauchen. Man kann aber in den Raeumen, wo auch unter dem Tag gearbeitet wird, das Tageslicht als eine alternative Lichtquelle gebrauchen.

Das Tageslicht besteht aus zwei Hauptteilen. Sie sind -das Licht, das direkt von der Sonne kommt, und -das Himmelslicht, das durch Brechungen und Reflexionen des Sonnenlichtes in der Athmosphaere entsteht.

Um das Himmelslicht in den Berechnungen verwenden zu können, muss man die Leuchtdichteverteilung des Himmels kennen. Weil diese Leuchtdichteverteilung von vielen verschiedenen Parametern abhaengig ist, hat man nach den Ergebnissen vieler Versuche bestimmte Formeln als Standards der Himmelsleuchtdichteverteilung festgesetzt. In der Praxis verwendet man drei Himmelmodelle als Standarts. Sie sind -der uniforme Himmelmodell
-der bedeckte Himmelmodell
-der klare Himmelmodell.

Das direkte Sonnenlicht, obwohl es in den Raeumen, falls es vorhanden ist, oft grössere Beleuchtungsstaerken als das Himmelslicht erzeugt, wird es in dieser Arbeit ausser Acht gelassen, weil als Himmelmodell der bedeckte Himmelmodell gewaehlt ist, in dem der Himmel als ganz mit Wolken bedeckt betrachtet wird.

Um das Tageslicht mit der Kunstlichtbeleuchtung zu integrieren, und dabei eine Energieeinsparung zu erzielen, sollte man die Verteilung des Tageslichtes im Raum im Voraus kennen. Weil die herkömmlichen Methoden, die in unserem Lande in dieser Richtung verwendet werden, ziemlich langwierig sind, beachten die Beleuchtungsplanern in ihren Entwürfen das Tageslicht oft nicht. Das Ziel dieser Arbeit ist den Beleuchtungsplanern ein Mittel zu schaffen, mit dem sie leicht und ohne viel Zeit zu verlieren, die Verteilung des Tageslichtes im Raume im Voraus berechnen können.

In dieser Arbeit ist als Alternative zum Tageslichtquotient ein anderer Faktor, genannt E/LZ Quotient, definiert worden.

$$E/LZ = \% 100 \cdot E_i / L_z$$

Hier bedeuten,

E_i : die Innenbeleuchtungsstaerke in einem Punkt auf irgendeiner Messebene, und

L_z : die Zenit Leuchtdichte.

E/LZ Quotient ist eine Variante von dem Tageslichtquotient. Man kann zu jeder Zeit von einem zu dem Anderen überspringen. Genau wie der Tageslichtquotient gibt der E/LZ Quotient charakteristische Werte für jeden Raum, die unabhaengig von der Zeit sind.

Der E/LZ Quotient besteht wie der Tageslichtquotient aus drei Komponenten. Um das Überspringen von Einem zu dem Anderen zu vereinfachen, hat man die Namen der Komponenten des E/LZ Quotienten nach den Namen der Komponenten des Tageslichtquotienten gewählt. Sie sind

- der Himmelslichtanteil des E/LZ Quotienten
- der Innenreflexionsanteil des E/LZ Quotienten
- der Aussenreflexionsanteil des E/LZ Quotienten

Man hat diesen Quotienten eingeführt, weil es besonders in zwei Punkten dem Tageslichtquotienten überlegen erscheint.

Erstens schafft es bei den mathematischen Formulierungen eine Erleichterung. Da die Leuchtdichteformeln für die verschiedenen Himmelmodellen fast überall als relative Leuchtdichten gegeben werden (z.b. für das bedeckte Himmelmodell, als $L/L_z = f(\theta)$), kann man, wenn man den E/LZ Quotienten benutzt, die rechte Seite der Leuchtdichteformel, bei der Berechnung der Beleuchtungsstärke, direkt in den Platz von der Leuchtdichte einsetzen. Man braucht keine Umformulierungen zu machen.

Wenn man die Rechnungen mit dem Tageslichtquotienten macht, soll man entweder die Aussenbeleuchtungsstärke, zu gleicher Zeit wie E_i gemessen, auf horizontaler Ebene im Freien bei freiem Horizont messen oder die Zenit Leuchtdichte messen und mit deren Hilfe die oben genannte Aussenbeleuchtungsstärke berechnen. Weil es heutzutage in den Staedten wegen den immer mehr wachsenden Gebaeudehöhen freien Horizont zu finden nicht mehr so leicht ist, wird man die Zenit Leuchtdichte messen müssen. Wenn man den E/LZ Quotienten benutzt, kann man den Messwert von der Zenit Leuchtdichte direkt anwenden, dagegen, wenn der Tageslichtquotient benutzt wird, soll man noch die Aussenbeleuchtungsstärke von der gemessenen Zenit Leuchtdichte errechnen.

In dieser Arbeit sind zwei Computerprogramme erstellt worden, die dem oben genannten Zweck, die Tageslichtverteilung im Raum im Voraus zu bestimmen, dienen. Als Himmelmodell hat man den bedeckten Himmelmodell gewählt, weil er die schlechtesten Bedingungen für die Planungsparametern enthaelt. Man kann diese Programme für die Bestimmung von der Tageslichtverteilung in einem quaderförmigen Raum mit rechteckigen vertikalen Fenstern nur auf einer Wand einsetzen.

Man kann die Programme auch für Räume mit Fenstern auf mehr als nur einer Wand gebrauchen, wenn man auf den Innenreflexionsanteil verzichtet, indem man sehr geringfügige Änderungen im Programm vornimmt, das erste Programm für jede Fensterwand einmal laufen lässt, und die Ausgaben jedes einzelnen Laufes auf den Plan des Raumes richtig appliziert.

Das erste Programm gibt die E/LZ Quotientenverteilung, die durch das Himmelslicht und das Licht, das von den äusseren Hindernissen reflektiert wird und in den Raum kommt, bedingt wird, auf allen Ebenen, auf die das direkte Himmelslicht fällt, des

Raumes und die E/LZ Quotienten Verteilung, die durch das gesamte Licht, das heisst, das Himmelslicht, das draussen reflektierte Licht und das in dem Raum reflektierte Licht, bedingt wird, auf einer Horizontalebene von beliebiger Höhe, und braucht als Eingabe nur Werte, die man aus dem Plan des Gebaeudes entnehmen kann. Die E/LZ Quotientverteilung im Raum kann man von dem Programm als Zahlenwerte und/oder als graphische Darstellung erfordern.

Dieses Programm besteht aus zwei Hauptteilen. In dem ersten Teil werden die E/LZ Quotientenwerte, die durch das direkte Himmelslicht und durch das Licht, das von den aeusseren Hindernissen reflektiert und in den Raum kommt, bedingt werden, errechnet. In dem zweiten Teil wird das innenreflektierte Licht berechnet. Hier werden die Reflexionen nur bis zum zweiten Reflexion im Raum in die Rechnung mitbezogen. Bei der Bestimmung des draussen reflektierten Lichtes wird angenommen, dass die Hindernisse parallel zu dem Gebaeude, für das die Planung gemacht wird, liegen.

Die Werte des Himmelslichtanteils des E/LZ Quotienten werden für jeden Punkt nach analytisch gefundenen Formeln gerechnet. Also bis dahin tritt bei der Berechnung des E/LZ Quotienten kein Fehler ausser dem Fehler, den das Himmelmodell in sich traegt, auf. Ab diesen Punkt wird mit numerischen Methoden gerechnet und, die Fehler der numerischen Methoden und die Fehler der Annahmen, die bei der Aussenreflexionsanteil gemacht werden, treten auf. Aber, weil in den Räumen, deren Aussicht aus den Fenstern nicht ganz mit den Hindernissen geschlossen ist, die Tageslichtverteilung hauptsächlich von dem Himmelslichtanteil beeinflusst wird, kann man diese Fehler ausser Acht lassen.

Als numerische Methode hat man in dieser Arbeit die Simpson Integralmethode angewendet. Der Grund dieser Wahl ist die Ähnlichkeit der Kurven der Funktionen, die integriert werden sollen, mit den Funktionen des zweiten Grades.

Das zweite Programm braucht als Eingabe die Ausgaben von dem ersten Programm und ausserdem die Zeit, geographische Daten über den Ort des Gebäudes und die in dem Raum, wofür die Planung gemacht wird, gewünschten Mindestbeleuchtungsstärke. Es gibt als Ausgabe die Beleuchtungsstärken, die vom Tageslicht erzeugt sind, im Raum zu einem bestimmten Zeitpunkt, und die Beleuchtungsstärken, die vom Kunstlicht erzeugt werden sollen, um den Tageslicht in diesem Raum bis zu der gewünschten Mindestbeleuchtungsstärke zu ergänzen.

Beide Programme sind interaktive Programme und sind leicht zu bedienen.

Die vorliegende Arbeit ist mit einem Beispiel für ein das Tageslicht ergänzende Kunstlichtbeleuchtungssystem, das man nach den Ausgaben dieser beiden Programme entworfen hat, abgeschlossen worden. Eine grobe Vergleichung zwischen den elektrischen Energien, die dieses System und ein anderes

Beleuchtungssystem, bei dessen Planung das Tageslicht nicht beachtet wurde, verbrauchen, zeigt sofort die Vorteile der Planung mit dem Tageslicht. Beide Systeme sind im gleichen Stil gehalten worden, um einen Vergleich möglich zu machen. Die Leuchten und die Lampen, die angewendet sind, und die Gleichmaessigkeit der Lichtverteilung im Raum, sind gleich.

Ein Anwendungsgebiet für diese beide Programme wäre die Verbesserung der Beleuchtungssysteme der vorhandenen Gebaeuden. In diesen Gebaeuden kann man zwar die Tageslichtverteilung auch bestimmen, indem man Messungen in den einzelnen Raeumen vornimmt. Aber, weil die Tageslichtverteilung im Raum waehrend des Jahres sich dauernd aendert, sollte man in laengeren Perioden Messungen machen, um richtige Werte zu bekommen. Die Laenge der Messzeit wirkt dagegen auf die Planungszeit und -kosten negativ aus.

Ein anderes Gebiet, in dem die Ausgaben dieser Computerprogramme nutzbar gemacht werden können, ist der Entwurf von automatischen Lichtkontrollsysteme. Die Kontrolle des Kunstlichtes gemaess dem Tageslicht kann nach einem im Voraus vorbereiteten Schema abhaengig von der Zeit gemacht werden. Da es möglich ist die Tageslichtverteilung im Raum für einen bestimmten Zeitpunkt im Voraus zu bestimmen, ist es auch möglich die das Tageslicht ergaenzende Kunstlichtverteilung zu ermitteln. Und das ergibt das Schema, das für die automatische Lichtkontrolle angewendet wird.

Ein anderes Kontrollsystem wäre die Benutzung eines Kontrollelements, das die Daten, die von einem auf das Dach des Gebaeudes gestelltes Photoelement, das die Zenit Leuchtdichte misst, mit den Ausgaben des ersten Programmes, das die in jedem Raum von der Zeit unabhaengige E/LZ Verteilung berechnet, zusammen auswertet und nach dieser Bewertung die Kunstlichtquellen im Gebaeude kontrolliert.

Der einzige Unterschied zwischen diesen beiden Kontrollsysteme liegt darin, dass bei dem Ersten die Zenit Leuchtdichten von den ampirisch gefundenen Zenit Leuchtdichteformeln entnommen werden und das Lichtkontrollschema im Voraus bestimmt wird, dagegen bei dem Zweiten die Zenit Leuchtdichten gemessen werden und das Lichtkontrollschema danach gerichtet wird.

Keine von den Himmelmodellen, die zur Zeit für Planungen angewendet werden, geben die realen Bedingungen für die Leuchtdichteverteilung des Himmels. Man hat zwar bis heute über den realen Himmelmodell viel gearbeitet, aber einen internationalen Standart für den realen Himmelmodell hat man noch nicht akzeptiert. Wenn das geschieht, wird man die Programme, die man in dieser Arbeit entwickelt hat, zugunsten des realen Himmelmodells adaptieren müssen.

GİRİŞ

70' li yıllarda ortaya çıkan enerji sorunu ile gündeme gelen enerji artırımı konusu, dünyada ve ülkemizde önemini korumaktadır. Ülkemizdeki elektrik enerjisi tüketiminin % 21.3' ü aydınlatma amacıyla kullanılmaktadır. Bunun yaklaşık % 14 kadarı gece aydınlatmasında, % 7.3 kadarı ise gündüz aydınlatmasında harcanmaktadır.

Bir aydınlatma sisteminin ekonomikliği incelendiğinde, harcanan elektrik enerjisi miktarı yanında sistemin kuruluş maliyeti, bakım masrafları, lamba ömürleri ve hacim içerisinde yaşayan ve çalışan insanların performansları da söz konusu edilmelidir. İnsanların performansları işin içine girdiği anda gerekli aydınlik düzeyleri yükselmekte, aydınlik düzeylerinin artması da harcanan elektrik enerjisi miktarına yansımaktadır.

Gece yapılan aydınlatmalarda, duvarların ışık yansıtma katsayılarını yüksek tutmak, armatür ve lamba verimlerini yüksek seçmek gibi önlemlerle bir ölçüde enerji artırımı yapılabılırse de, aydınlatma enerjisinden anlamlı bir artırım ancak gündüz kullanılan hacimlerde sağlanabilir. Çünkü gündüz vakti, güneşten kaynaklanan ışık ile elimizde alternatif bir aydınlatma olanağı vardır.

Aydınlatmanın kalitesini düşürmeden aydınlatma enerjisinden bir artırım sağlayabilmek için alınabilecek bazı önlemlerden aşağıda bahsedilmiştir. Otomatik kontrollü sistemler dışındaki önlemler, basit ve teorik olarak zaten yapılması gereken yatırımlara fazla bir ek masraf getirmeyen önlemlerdir.

İyi bir aydınlatma sistemi gerçekleştirebilmek için, aydınlatma, bina tasarımları sırasında ayrı bir tasarım konusu olarak ele alınmalıdır. Doğal ışık kaynakları olan pencerelerin tasarımından başlayıp, duvar boyalarının renklerinin seçimi, yapay aydınlatma tesisatının döşemeine kadar bina tasarımının ve yapının içinde olmalıdır. Fakat yurdumuzda aydınlatma konusu ancak yapay aydınlatma tesisatı ile birlikte akla gelmekte ve aydınlatma tasarımını ancak bu aşamada başlayabilmektedir. Böylece de, aydınlatma enerjisinden artırımı amacıyla kullanabilecek birçok önlemi alabilmek için geçmiş olmaktadır.

Tasarım sırasında alınabilecek ve bu çalışmanın konusu ile ilgili önlemlerden bazıları şunlardır: Armatürlerin yerlerinin belirlenmesi, hacimin döşenmesi kısıtlamalar getirmiyorsa, gün ışığına bağlı olarak yapılmalıdır. Mümkün olduğunda az lamba bir anahtara bağlanmalıdır. Anahtarlama gruplar halinde yapılıyorsa, lamba gruplaması eş gün ışığı aydınlichkeit düzeylerine göre yapılmalıdır. Gün ışığına bağlı fotoelektrik kontroller kullanılmalıdır. Gün ışığına bağlı fotoelektrik kontroller, açma/kapama (on/off) ve loşlaştırma (dimming) şeklinde iki türlü yapılabilir.

Bu çalışmanın amacı, en kötü tasarım koşulları altında, yani gögün tamamen bulutlarla kapalı olması halinde, bir hacime giren doğal ışığın dağılimini ve herhangi bir gün ve saatte değerini tasarım sırasında belirleme olanağını veren bir araç hazırlamaktır. Bu araç, bina planından okunabilecek verileri kullanarak kademeli olarak çalıştırılabilen 2 bilgisayar programından oluşmaktadır. Söz konusu programların çıktıları, bina tasarımcısına doğal aydınlatma sistemi tasarımında ve aydınlatma tasarımcısına da yukarıda belirtildiği gibi yapay aydınlatma sistemi tasarımında gereklidir. Bu çıktılar, ayrıca, aydınlatma enerjisi artırımı amacıyla kurulabilecek bir otomatik ışık kontrol sisteminin de bazını oluşturabilirler.

1.BÖLÜM

IŞIK-GÖZ İLİŞKİSİ

Işık, elektromagnetik spektrumda 380 nm ile 780 nm arasında yer alan ve insanda göz üzerinden görme duyumu oluşturan radyasyonlara denir. Bu enerjiyi kullanarak gözü aracılığı ile çevresi hakkında bilgi edinen insanın bu bilgi olmadan hayatını sürdürmesi bile oldukça zordur. Çünkü göz, insanın duyu organları arasında bilgi alma kapasitesi en büyük olanıdır [1]. Görmeyi yitirdiğimizde çevremizle olan ilişkimiz büyük ölçüde azalır. Büyük fizyolojik-optik araştırmacısı Helmholtz: "ölüm en benzeyen şey görmenin yitirilmesidir" demiştir [2].

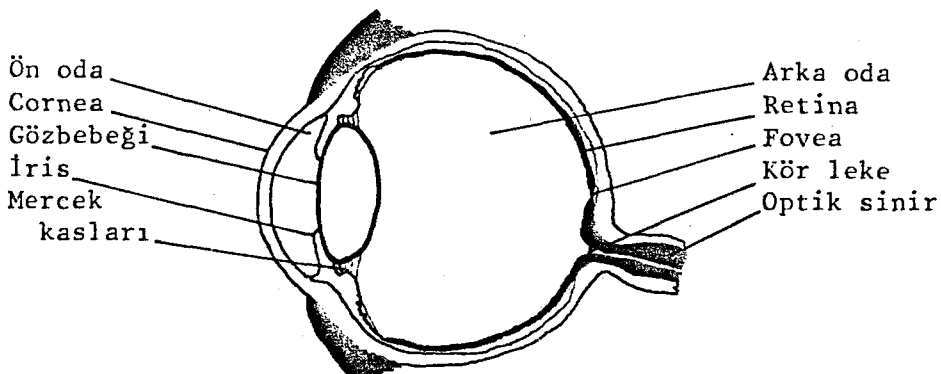
1.1. GÖZÜN YAPISI VE GÖRME DUYUMU

Aydınlatma tekniği bakımından amaç, insanın bu değerli organını korumak ve ondan olanaklı olan en yüksek performansı almak olduğuna göre, gözün yapısı ve çalışma prensibi her zaman ön planda tutulmalıdır.

Işığın göz içeresine düşmesinden görme duyumu oluşmasına kadar geçen süreçte üç aşamalı bir enerji dönüşümü olur. Önce, gözde ışığa duyarlı maddeler tarafından yutulan radyasyon enerjisi bu maddelerin ayrışmaları ile kimyasal enerjiye dönüşür. Sonra, bu kimyasal enerji, gözün beyindeki görme merkezi ile ilişkisini sağlayan optik sinirin liflerinde akım darbeleri oluşturan elektrik enerjisine dönüşür.

Radyasyon akısı göze, saydam göz akından, "cornea" dan girer (Şekil 1-1). Bunun hemen arkasında ön oda ve göz bebeğini oluşturan iris yer alırlar. Saydam göz akından çıktıktan sonra kırılmış olan

ışınlar göz bebeğinden geçip, göz merceğinin üzerine düşerler. Göz merceği saydam, çift taraflı dış bükey bir dokudur.



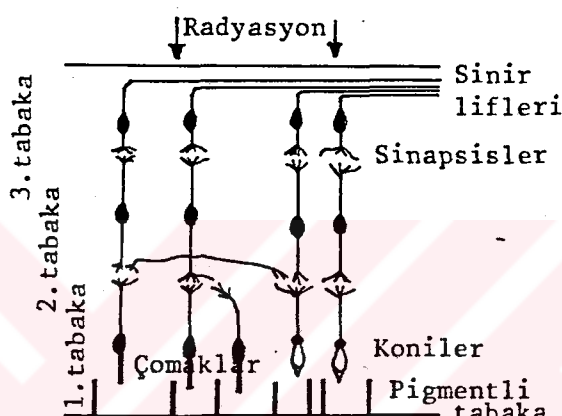
Şekil 1-1 Göz

Gözlenen cisimlerin imgeleri ters ve boyutları çok indirgenmiş olarak ağ tabaka, "retina" üzerinde odaklanırlar. Retina 0,2 mm kalınlığında ve çok karmaşık yapıda saydam bir tabakadır (Şekil 1-2). Her biri optik sinirin nöron adı verilen uzmanlaşmış hücrelerini içeren üç katmandan oluşur. Her nöron bir dallanma noktasına ulaşır. "Sinapsis" ler adı verilen bu dallanma noktaları, aynı sinir lifine ait komşu nöronların da vardıkları, benzer dalcıklardan oluşan bir tür ince dalcıklar ağıdır.

Radyasyon akısı, göz ortamından, yani arka odadan ve daha sonra nöronların üçüncü ve ikinci tabakalarından geçer ve retinanın pigmentli katmanın sınırında yer alan nöronların birinci katmanına varır. Birinci katmandaki nöronlar şekil açısından farklılıklar gösterirler. Bunlara koniler ve çomaklar adları verilir. Birinci katmana giren radyasyon koni ve çomakların içlerinde bulunan ışığa duyarlı maddelerin molekülleri tarafından yutulur. Fotokimyasal süreçte kullanılmayan radyasyon retinanın pigmentli katmanı üzerine düşer ve burada ışığa duyarlı hücreleri etkileyebilecek ve böylece optik imgeyi bozabilecek olan yansımaları önlemek amacıyla tamamen massedilir.

Gözdeki toplam çomak sayısı 130 milyon ve koni sayısı 7 milyon dolayındadır. Konilerin çoğu "fovea" da (sarı leke veya merkez çukur) ve civarında yer alırlar. Çomaklar retinanın tümüne yayılmışlardır, ancak bunların büyük bir kısmı merkezden

10° - 20° ' lik bir yükseklikte bulunur. Retinanın merkezinde koniler sayısal olarak daha yoğunlardır, 1 mm^2 ' de 10^5 tane, burada her bir sinir lifi en fazla iki veya üç tane ışığa duyarlı hücreye bağlıdır. Buna karşılık retinanın dış bölgelerinde tek bir sinir lifine onlarca hatta yüzlerce hücre bağlıdır. Bunun sonucunda göz, görme alanının açısal büyülüğu sadece $1,3^{\circ}$ - $1,5^{\circ}$ arasında kalan merkez kısmını kullanarak, imgé büyülükləri bir milimetrenin binde birini geçmeyen çok küçük detayları algılayabilmektedir. Retinanın daha çok çomak içeren geri kalan kısmı, genel bir yön tayini sağlamaya yaramaktadır.



Şekil 1-2 Retina

Çomaklar "rodopsin" adı verilen bir madde içerirler. Işık etkisi altında rodopsin ayrılır, sonra bir denge sağlayacak şekilde tekrar oluşur ve yeniden duyar hale gelir. Koniler ise "iodopsin" adı verilen bir pigment içerirler. Işık etkisi altında iodopsin de tersine çevrilebilir bir ayırmaya uğrar. Rodopsin ve iodopsin sırasıyla 512 nm ve 555 nm'de spektral duyarlıklarının maksimumlarına erişirler. Rodopsinin duyarlığı iodopsinden daha büyük olduğundan çomaklar konilerden daha duyarlıdırlar ve çok düşük seviyedeki ışık uyarımlarına cevap verebilirler, fakat renk farketmezler. Koniler renk duyumu oluştururlar ve ince detay algılarılar [3], [4], [5], [6].

1.2. GÖZDEN GİREN İŞİĞİN GÖRME DUYUMU DIŞINDAKİ ETKİLERİ

Gözün beyindeki görme merkezine olan sinir bağlantıları dışında "substantia reticularis" ve "hipotalamus" üzerinden "hipofiz" bezine bağlantılar vardır. Bu üç sistemi ayrı ayrı ele alırsak, gözden giren ışığın insan üzerindeki, görme duyumu dışındaki, etkilerini de daha rahat anlarız.

-"Reticulo-thalamo-cortical" sistem :

Bu sistem, merkezi sinir sisteminin bir alt sistemidir. Duyu organlarından gelen bilgiler, göz de bunların arasında olmak üzere, kendilerine ait "cortical" duyu merkezlerine giderken, "substantia reticularis" e dallanırlar. Buradan, duyu sistemlerinden alınan bilgilerin içeriğine bağlı olmaksızın, "thalamus" üzerinden "cortex" uyarılır. Bu da bilincin ayakta tutulması ve dikkatin kısa sürelerle uyarılması için kesinlikle gereklidir.

-"Limbik" sistem :

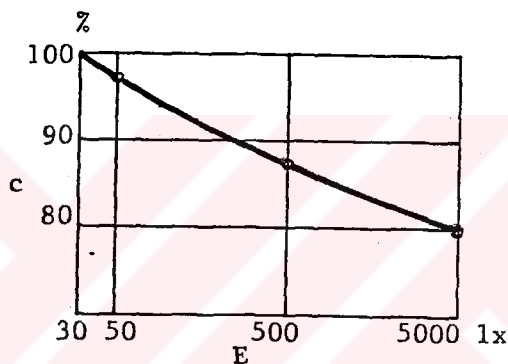
Söz konusu bağlantıların varlığı "hipotalamus" da da belirlenmiştir. Hipotalamus, içgüdüşel reaksiyonları ayarlar, dolaylı olarak duyguları ve sубjektif cevapları yaratır, bilinçsizce yapılan otomatik refleks hareketlerinin kaynağıdır. Burada bitkisel sinir sisteminin merkezleri bulunur. Bitkisel sinir sisteminin uyarılmasının başlıca etkilerinden biri, adrenalin hormonunun kana karıştırılması ile birlikte tüm organizmanın aktif bir duruma gelmesidir. Bunun yanı sıra bazı başka organlar sinirsel olarak etkilenirler, özellikle kan dolaşımı aktive olur. Daha yeni doğmuş bebeklerde dahi aydınlık düzeyi yükseldikçe nefes alıp vermenin frekansının ve düzensizliğinin arttığı gözlenmiştir. Biyolojik ritmlerin, özellikle "circadian ritm" in (gün ritmi) ışık ile senkronizasyonu limbik sistemin merkezlerinden, "epifiz" yardımı ile olur.

-"Hipotalamo-hipofiz" sistemi :

Yine hipotalamus üzerinden hipofiz bezi daha fazla hormon salgılaması için uyarılır. ışık, gözden bu bölgeye gelen sinir bağlantıları ile metabolizmayı aktive edecek yönde büyük ölçüde etkili olur. Örneğin, hipofizin salgıladığı hormonlar, tiroid bezini ve böbrek üstü bezlerini etkilerler, ve bunların hormon salgılamasını sağlarlar. Tiroid bezinin ürettiği en önemli hormon

tiroittir. Bunun az salgılanması halinde yaşam enerjisi düşer, kalp atışları yavaşlar, vücut ısısı düşer. Böbrek üstü bezleri adrenalin salgılarlar. Adrenalinin vazifesi ani zorlanmalarda kan dolaşımını ayarlamak ve glikojenin sekere dönüşmesini hızlandırmaktır. Böylece kişisinin maddi ve manevi gücü artar [7], [8], [9].

Gözde, ışık uyarımı aldıkları zaman görme merkezi dışındaki yukarıda bahsedilen sistemlere kodlanmış akım darbeleri gönderen özel nöron gruplarının varlıkları belirlenmiştir. Ancak bu gruplar ağırlıklı olarak gözün periferik bölgelerinde bulunmaktadır. Yani metabolizma çalışmasını, bakış doğrultusundaki aydınlichkeitinden çok genel çevre aydınlığına göre ayarlamaktadır [10], [11].



Şekil 1-3 E aydınlichkeit düzeyine bağlı olarak eozonofil lökositlerin kandaki yoğunluğu c

Radnot, 1963 senesinde CIE' ye (Uluslararası Aydınlatma Komisyonu) verdiği tebliğde beyaz kan yuvarlarının özel bir türü olan "ezzonofil lökosit" lerin yoğunluğunun "nöroendokrin" sistemin devreye girmesi ile aydınlichkeit düzeylerine göre değiştığını açıklamıştır. Şekil 1-3, aydınlichkeitının eozonofil lökositlerin yoğunluğu üzerine etkisini göstermektedir. Yoğunluğun azalması, vücut fonksiyonlarının canlanmasıın ve insanın verimliliğinin arttığını bir işaretidir [12], [13]. Bu eğri, insanın bir gündüz yaratığı olduğunun ve ancak gün ışığı altında verimliliğin optimum koşullarına ulaşabildiğinin bir kanıtıdır. Bu da, insanın, canlı bir varlık olarak gelişme süreci boyunca karşısında tek ve yeterli enerji kaynağı olarak güneşin bulmuş olmasının en doğal sonucudur [1].

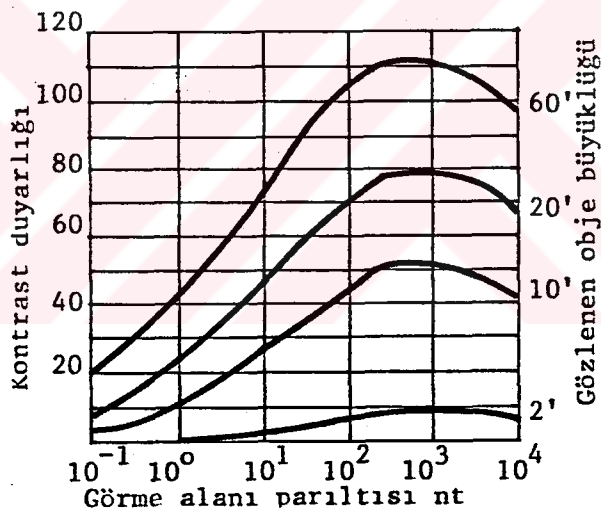
1.3. GÖRME YETENEĞİ

Görme yeteneğini belirleyen üç temel kavram, kontrast duyarlığı, görme keskinliği ve farketme hızıdır.

-Kontrast duyarlığı

Kontrast duyarlığı, gözün belirli parıltılara sahip iki komşu cismin parıltıları arasındaki farkı seçebilme yeteneğine denir. Kontrast duyarlığı, gözün adaptasyon seviyesine ve gözlenen cisimlerin imgelerinin retina üzerindeki yerine bağlıdır. Maksimum kontrast duyarlığına fotopik görmede ulaşılır ve bu durumda da en duyarlı bölge fovea ve civarıdır.

Görme alanı parıltısı düştükçe kontrast duyarlığı azalır ve maksimum, bakış doğrultusunun 10° - 20° yanına kayar. Artık görmeyi çomaklar üstlenmişlerdir ve bunların maksimum yoğunluğu da bu bölgededir [5], [12].



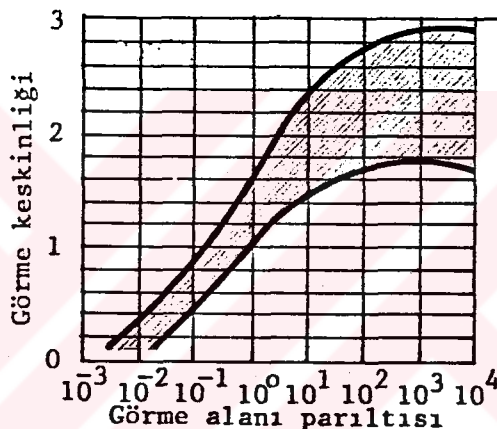
Şekil 1-4 Gözlenen cismin büyülüüğü parametre olmak üzere, kontrast duyarlığı ile görme alanı parıltısı arasındaki ilişki

Kontrast duyarlığı, görme alanı parıltısı dışında, gözlenen cismin büyülüğüne de bağlıdır. Şekil 1-4, gözlenen cismin büyülüüğü parametre olmak üzere, kontrast duyarlığı ile görme alanı parıltısı arasındaki ilişkiyi göstermektedir. Kontrast duyarlığı, görme alanı parıltısı ile önce hızla artar, daha yüksek parıltılarda, burada artık kamaşma oluşur, tekrar düşmek üzere yaklaşık 100 ile 5000 cd/m^2 arasında bir optimum bölgeden geçer.

Görme alanı içindeki yüzeylerin ideal dağıtıçı yüzeyler oldukları, yani Lambert yasasına uydukları ve yansıtma katsayılarının ortalama 0,5 olduğu düşünülürse, en iyi görme bölgesi aydınlichkeit düzeyi cinsinden 600 ile 30000 lx arasında kalır [14].

-Görme keskinliği

Görme keskinliği, gözün iki yakın komşu çizgiyi ayrik olarak farkedebilmesi yeteneğini tanımlar. Detay farkedebilen hücreler koniler olduğundan ve koniler de ağırlıklı olarak merkez çukurda bulunduklarından, görme keskinliğinin maksimum değerine sarı lekede, yani bakış doğrultusunda ulaşılır. Bakış doğrultusunun etrafında görme keskinliği hızla düşer, 10° ' lik bir açısal uzaklıkta dahi, sarı lekedeki maksimum değerin yaklaşık dörtte birine iner.



Şekil 1-5 Optimum görme koşullarında, görme keskinliğinin görme alanı parıltısı ile ilişkisi

Görme keskinliği de, kontrast duyarlığı gibi görme alanı parıltısına bağlıdır. Şekil 1-5, optimum görme koşullarında, yani gözlenen cisim ile çevresi arasındaki kontrastın yeterli olması durumunda görme keskinliğinin görme alanı parıltısı ile ilişkisini göstermektedir. Taralı alan, normal görüşlü ve 50 yaşından büyük olmayan değişik gözleyicilerin cevap farklarından ortaya çıkmıştır. Optimum bölge burada da yaklaşık 100 cd/m^2 ' lik görme alanı parıltısı, yani normal refleksiyon koşullarında 600 lx' ün üzerinde bir aydınlichkeit düzeyinde başlar [12].

-Farketme hızı

Parketme hızı günlük hayatı çok büyük bir öneme sahiptir. Her gün gelişen teknolojinin beraberinde getirdiği yüksek hız olanakları ve gereksinimleri parketme hızının önemini yaşamal boyutlara çıkarmıştır.

Görme duyumunun oluşması için geçen zamanın ölçülmesi henüz olanaksızdır. Fakat uyarımın olduğu andan buna karşı gösterilen bir tepkiye kadar geçen süre ölçülebilir. Buna tepki zamanı denir. Bu zamanın büyük bir kısmının görme olayının ilk ve son aşamalarında, yani uyarımın görme sınırlarına ulaşması ile beyine varıp görsel duyuma dönüşmesi sırasında, kullanıldığı tahmin edilmektedir. İlk aşamada kullanılan zaman, uyarımın şiddeti ile son aşamada kullanılan zaman ise uyarımın şekli ve kişinin o andaki konsantrasyonu ile değişebilir. Farketme hızını yükseltmek için alınacak önlem görme alanı parıltısını yüksek ve gözlenen cisim ile çevresi arasındaki kontrastı büyük tutmaktadır. Farketme hızı, reaksiyon zamanını etkilediğinden çalışma emniyeti bakımından büyük önem taşır [2].

1.4. GÖRSEL KONFOR

İyi bir aydınlatma sadece çalışma düzlemi üzerinde yeterli aydınlichkeitinin sağlanması demek değildir. Aynı zamanda ışığın, görsel konforsuzluğun her türlü önlenecek şekilde oda içinde dağıtılmasını da gerektirir.

Görsel konforu etkileyen üç temel etken, aydınlichkeit seviyesi, parıltı ve renktir. Gözün en konforlu çalışması, dikkatin üzerinde yoğunlaştırıldığı objenin çevreye göre daha aydınlichkeit olması ile sağlanır. Görme bölgesi içindeki çevrelerine göre daha aydınlichkeit başka yüzeyler dikkatin dağılmasına sebep olurlar, eğer bu yüzeyler çevrelerine göre çok parlak iseler, bu, konforsuzluk kamaşmasına, hatta bazan yetersizlik kamaşması oluşturarak görme yeteneğinde büyük düşüslere neden olur.

Gerekli önlemler alınmadan çalıştırılan fluoresan lambalarda söz konusu olabileceği gibi fliker olayı mevcutsa, bu da dikkat dağılmasına ve sinir bozukluğuna sebep olur.

Görme alanı içerisindeki fazla renkli yüzeyler de dikkati kendi üzerilerine çekerler.

Görsel konforu sağlayabilmek için aydınlatma tasarımının bütün bunlar göz önünde bulundurularak yapılması gereklidir [15], [16].

1.5. İŞIK GÖZ İLİŞKİSİ VE EKONOMİKLIK AÇISINDAN İÇİNDE ÇALIŞILAN HACİMLERDE SAĞLANMASI GEREKEN AYDINLIK DÜZEYLERİ

Çalışılan hacimlerde gerekli olan aydınlatma düzeylerinin belirlenmesinde göz önüne alınması gereken üç temel unsur, insanın ışığa olan fizyolojik gereksinimi, görme yeteneği ve görsel konforun sağlanması, yukarıda kısaca anlatılmıştır. Çok önemli diğer bir etmen ise kurulan aydınlatma sisteminin yapım ve işletim açısından ekonomikliğidir.

Aydınlık düzeyleri, ilk iki temel etmenin optimum oldukları bölge içinde seçildikten sonra, görsel konfor ve ekonomiklik açısından da optimize edilmelidirler. Ekonomiklik, aydınlatma tasarımında iki yönlü bir optimizasyon etmeni olarak gözükmektedir. Aydınlatma düzeyinin artması, sistemin ekonomikliğini hem yapım maliyeti açısından hem de işletim giderleri açısından negatif yönde etkiler, ancak aydınlatma düzeyinin artması ile birlikte söz konusu hacim içinde çalışan insanların verimleri yükseleceğinden ve iş kazaları azalacağından, bir yandan da sistemin ekonomikliğini pozitif yönde etkiler.

Bütün bu etmenler göz önünde bulundurularak belirlenmiş olan ve hangi işler için hangi aydınlatma düzeylerinin seçilmesi gerektiğini gösteren tablolar her ülkede yetkili kuruluşlar tarafından düzenlenir. Bu düzenlemeler, ülkeyen ülke farklılığı göstermekle birlikte, ortak bir özellikleri vardır : ışığın insan için olan önemi zaman içinde daha iyi anlaşılııkça, bu düzenlemelerdeki değerler de artmaktadır [17], [18], [19].

2. BÖLÜM

DOĞAL İŞIK

Bu çalışmanın kapsamı içine giren gündüz çalışılan hacimlerde, yüksek aydınlichkeit düzeyi değerlerini sağlayabilmenin ekonomik yolu doğal ışıkta faydalananmaktadır. Doğal ışığın da hem kuruluş hem işletim açısından karşılıksız olduğu söylenemez. Örneğin pencere malyeti duvar malyetinden yüksektir, ayrıca pencereler yazın fazla ısımaya, kışın ise fazla ısı kaybına neden olurlar. Ancak, planlamada gerekli önlemler alındığı takdirde doğal ışıkla desteklenen bir aydınlatmanın, tamamen yapay ışıkla sağlanan aydınlatmalara göre daha ekonomik olacağı açıktır.

Doğal ışık, aydan aya, saatten saatte nitelik, nicelik, renk, dolaysız ve yaygın ışık oranları açısından değişir. Bu değişim, doğal ışığa, yapay ışığın yoksun olduğu bir canlılık verir, cisimlerin renklerini, görüntülerini ve görünen detay miktarlarını değiştirir. Dikkatin yoğunlaşlığı ve aydınlichkeit düzeylerinin değişimmemesi gereken bölgeler dışında, bu doğal değişim hem fizyolojik hem de psikolojik açıdan hem yararlıdır hem gereklidir [2], [11].

2.1. DOĞAL İŞIK KAYNAKLARI

Aydınlatma açısından anlamlı tek doğal ışık kaynağı güneşdir. Güneş ışınınının bir kısmı, atmosfer içine girdikten sonra yer yüzüne ulaşıcaya kadar, miktarı geçtiği hava kütlesine bağlı olarak, atmosferi oluşturan bileşenlerden ozon ve su buharı tarafından belirli dalga uzunluklarında seçilmeli olarak yutulur ve hava içerisindeki moleküller, toz ve gene su buharı tarafından saçılır. ışınının bu yutulan ve saçılan kısmı, yalnız görünür

spektrum göz önüne alındığı takdirde, gök ışığını oluşturur [20], [21], [22], [23].

Buna göre, güneşin sağladığı ışık, dolaysız güneş ışığı ve gök ışığı olarak iki bölümde incelenebilir.

2.1.1. DOLAYSIZ GÜNEŞ İŞİĞİ

Dolaysız güneş ışığından kaynaklanan aydınlik düzeyi dünya üzerinde her noktada mevsim, saat ve mevcut atmosferik koşullarla değişir. Atmosferik yutma aydınlik düzeyinin belirlenmesinde önemli bir etkendir ve meteorolojik koşullara ek olarak güneş ışımının katetmesi gereken ve güneşin yükseklik açısıyla belirlenen uzaklıkla değişir.

Güneşin yükseklik açısı herhangi bir yer ve zaman için aşağıdaki formül kullanılarak tam olarak hesaplanabilir.

$$\sin\gamma = \sin\lambda \sin\delta + \cos\lambda \cos\delta \cosh h \quad (2.1)$$

Burada,

- γ : yerel güneş yükseklik açısı,
- δ : güneşin sapma (deklinasyon) açısı,
- λ : yerel enlem derecesi,
- h : zaman açısıdır.

Sapma açısı,

N : yılın günü (1 Ocak : 1. gün) olmak üzere

$$\delta = 23,45^\circ \sin\left(360 \frac{N + 284}{365}\right) \quad (2.2)$$

empirik Cooper formülü ile, ve zaman açısı

$$h = |12 - yerel zaman| \cdot 15^\circ \quad (2.3)$$

şeklinde hesaplanır [24], [25].

Dolaysız güneş ışığının engelsiz yatay bir düzlemden oluşturduğu aydınlik düzeyi, CIE güneş ışınımlı spektral dağılımından yararlanılarak ($T = 2,75$ için)

$$E_S = 130 \sin\gamma \exp(-0,2/\sin\gamma) \quad [\text{klx}] \quad (2.4)$$

eşitliği ile hesaplanabilir. Burada,

γ : yerel güneş yükseklik açısı,

T : bulanıklık faktörüdür.

Linke'nin toplam bulanıklık faktörü

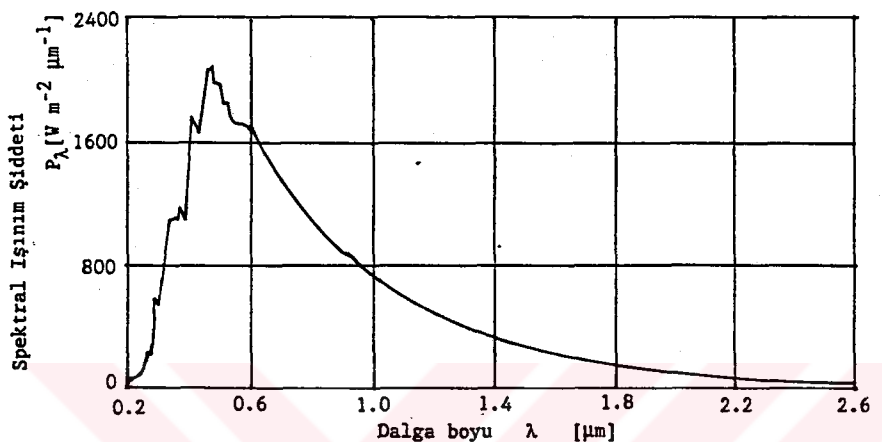
$$T = \left(\frac{g + 85}{39,5 - w + 47,4} + 0,1 \right) + (16 + 0,22w)\beta \quad (2.5)$$

denklemi ile belirlenir. Burada,

g : güneş ışınımının geliş açısı,

w : atmosferin ortalama nemliliği,

β : bulanıklılık katsayısidır [21].



Şekil 2-1 Thekaekara'nın atmosfer üstü güneş ışınımının spektral dağılımı

Kittler, güneş ışınımına dik bir düzlemdeki aydınlik düzeyi hesabı için

$$E_{SN} = \frac{E_0}{1 - f \operatorname{cosecy}} \quad (2.6)$$

eşitliğini önermektedir. Burada,

$f = (1 - p)/p$ (p : atmosferik geçirgenlik), ve

E_0 : atmosfer üstü aydınlik düzeyidir.

$$E_0 = K \int_{380\text{nm}}^{780\text{nm}} V_\lambda P_\lambda d\lambda \quad [\text{lx}] \quad (2.7)$$

eşitliği ile belirlenir.

K : ışınımın $V_{555} = 1$ için ışıksal etkinliği (680 lm/W),

V_λ : λ dalga uzunlığundaki ışınımın bağıl görülebilme faktörü,

P_λ : λ dalga uzunlığında mutlak ışınım şiddeti (görünür spektrum için [$\text{W/m}^2 \text{ nm}$]) [20].

P_λ değerleri, CIE ve diğer uluslararası örgütlerce kabul edilmiş olan Thekaekara'nın atmosfer üstü güneş ışınımının spektral

dağılımını (Şekil 2-1) temel alınarak hesaplamaya katılmış, yapılan hesaplama sonunda $E_0 = 126831 \text{ lm/m}^2$ olarak elde edilmiştir.

Bulanıklık faktörü küçük olmak koşuluyla, Kittler yatay düzlemden oluşan aydınlichkeit düzeyinin hesaplanması için

$$E_S = 125 \frac{\sin\gamma}{1 + 0,45 \operatorname{cosec}\gamma} \quad [\text{klx}] \quad (2.8)$$

eşitliğini, ve Chroscicki

$$E_S = 96 \frac{\sin\gamma}{1 + 0,2 \operatorname{cosec}\gamma} \quad [\text{klx}] \quad (2.9)$$

eşitliğini önermektedir.

Krochmann ise, herhangi bir konumda yüzey üzerinde oluşan aydınlichkeit düzeyinin hesabı için aşağıdaki eşitliği önermektedir.

$$E_S(\gamma, \varepsilon, \Delta\beta) = E_S (\cos\varepsilon + \tan^{-1}\gamma \sin\varepsilon \cos\Delta\beta) \quad (2.10)$$

Burada,

γ : yerel güneş yükseklik açısı,

E_S : yatay düzlemdeki aydınlichkeit düzeyi,

$\varepsilon, \Delta\beta$: düzlemin normalini belirleyen açılarıdır [26].

2.1.2. GÖK IŞIĞI

Güneş ışığının atmosferde yaygın duruma geçmesi sonucu gök ışığı oluşur. Hacim içinde aydınlatma hesabı yaparken dolaysız güneş ışığı, yüksek değerler vermesine rağmen, her zaman mevcut değildir. Pencerelerin konumuna, mevsime, saatte ve hava koşullarına göre ancak belirli zaman diliplerinde dolaysız güneş ışığı vardır. Buna karşılık gök ışığı gündüz vakti, pencereler tamamen engelli değilse, iç aydınlatma hesaplarında daima var kabul edilebilir. Hatta dış aydınlatma hesaplarında bile, sadece gök ışığını kullanmamızı gerektirecek, göğün tamamen bulutlarla kaplı olması gibi özel durumlarla da karşılaşabiliriz.

Gök ışığını tasarım sırasında hesaplarımıza kullanabilmemiz için göğün parıltılı dağılımını bilmemiz gereklidir. Göğün parıltılı dağılımı çok değişken birçok parametreye bağlı olduğundan yapılan deneylerin sonuçlarına dayanılarak bunun standartasyonuna gidilmiştir. Mühendislik uygulamalarında tekdüze, kapalı ve açık gök modeli olmak üzere üç standart gök modeli kullanılmaktadır.

2.1.2.1. TEKDÜZE GÖK MODELİ

Bu gök tipinde gögün parıltısı sabit kabul edilmektedir.

$$L = L_0 = \text{sabit} \quad (2.11)$$

Tekdüze gök tipi, kurak ve güneşli iklim bölgelerinde, güneşin yakın çevresi dışında kalan mavi gök parçası için büyük bir yaklaşıklıkla doğru kabul edilebilir, ve hesaplarda önemli kolaylıklar sağlar [20].

2.1.2.2. KAPALI GÖK MODELİ

Kapalı gök modeli gögün bulutlarla tamamen kapalı olması durumunda geçerlidir. Bu gök tipindeki parıltı dağılımını Moon ve Spencer 1942 senesinde, daha önceki ölçüm sonuçlarından da yararlanarak

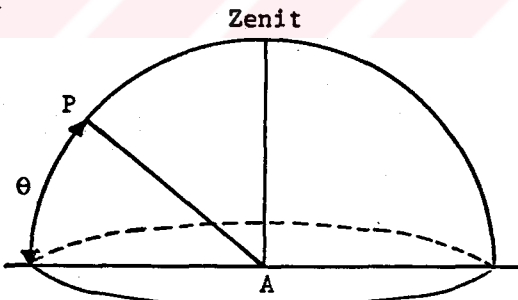
$$L = L_Z \frac{1 + 2\sin\theta}{3} \quad (2.12)$$

şeklinde formüle etmişler ve bu bağıntı 1955 CIE Zürih toplantısında kapalı gök parıltı dağılımı formülü olarak standartlaştırılmıştır. Burada,

L : gözlenen gök parçasının parıltısı,

L_Z : zenit parıltısı,

θ : gözlenen gök parçasının yükseklik açısıdır (Şekil 2-2).



Şekil 2-2 Gözlenen gök parçası (P)

Formülden de görüldüğü gibi bu gök tipinde parıltı dağılımı dönel simetriktir ve sadece yükseklik açısıyla değişmektedir. Maksimum parıltı zenitedir, ufuk doğrultusunda minimum değerine, zenitteki değerin üçte birine düşmektedir.

Yapılan ölçmeler kapalı gök durumunda gögün parıltısının yerin yansıtma katsayısına bağlı olduğunu göstermiştir, ve bu

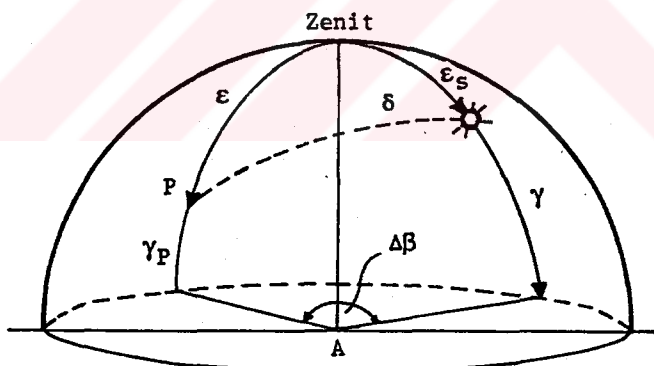
bağımlılığı da içeren bazı formül önerileri yapılmıştır [27]. Ancak bu çalışmada CIE' nin standart kapalı gök formülü kullanılacaktır.

Özellikle yeryüzünün ılıman iklim kuşakları içinde yer alan ülkelerde minimum tasarım koşullarının belirlenmesi açısından bu gök tipi geniş bir geçerlilik alanı bulmuştur [20].

2.1.2.3. AÇIK GÖK MODELİ

Açık gökteki parıltı dağılımının formülü ilk defa Kittler tarafından ortaya atılmış ve 1973 senesinde bu formül, CIE tarafından açık gök modeli standardı olarak kabul edilmiştir. Bu modelde parıltı dağılımı güneşin gök kubbedeki yeri ile değişir, ancak güneş öğle meridyenine göre daima simetriktir.

Açık gök modelinde bağıl parıltı dağılımı, herhangi bir gök parçasının parıltısının (L) zenit parıltısına (L_Z) oranı olarak tanımlanır. Gözlenen P gök parçasının yeri, zenitten olan açısal uzaklığı (ϵ), güneş meridyeninin azimut açısı (β_s) ile kendi meridyeninin azimut açısının (β) farkı ($\Delta\beta = \beta - \beta_s$) yardımıyla belirlenir (Şekil 2-3).



Şekil 2-3 Açık gök modeline ait koordinatlar

Açık gögün parıltı dağılımını veren formül

$$\frac{L}{L_Z} = \frac{(1-e^{-0,32 \sec \epsilon})(0,91+10e^{-3\delta}+0,45 \cos^2 \delta)}{0,27385 (0,91+10e^{-3\epsilon_s}+0,45 \cos^2 \epsilon_s)} \quad (2.13)$$

şeklindedir. Burada, bulanıklık faktörü $T < 5$ olmak üzere,

ϵ_s : güneş ile zenit arasındaki açısal uzaklık,

δ : güneş ile gözlenen P gök parçası arasındaki açısal uzaklıktır. δ 'nın değerini bulmak için

$\delta = \arccos(\cos\epsilon_s \cos\epsilon - \sin\epsilon_s \sin\epsilon \cos\Delta\beta)$ (2.14)
denklemi kullanılabilir [20], [28], [29], [30].

2.1.3. BİNALARIN DOĞAL IŞIK KAYNAKLARI : PENCERELER

Aydınlatma olayını bina ölçüsünde ele aldığımızda, binaya doğal ışığın girmesini sağlayan pencereleri, doğal ışık kaynakları olarak nitelendirebiliriz. Bu çalışmada, içinde aydınlatma tasarımlı yapılan hacimlerin, konumları, şekilleri ve büyüklükleri ne olursa olsun, pencerelere sahip oldukları varsayılacaktır.

Pencereler yalnız ışık açısından değil, aynı zamanda ısı ve ses yönünden de geçirimlilikleri fazla olan yüzeylerdir. Yani gün boyunca doğal ışıktan yararlanırken, bozucu etki olarak mevsime bağlı olmaksızın gürültüyü, mevsimlere bağlı olarak da kışın dışarıdaki soğuğu, yazın dışarıdaki sıcaklığı içeri alırız. Pencerelerin geçirimlilikleri tek yönlü olmadığından, kışın içerisinde ısıtılan havayı ve yazın eğer klima cihazı kullanılıyorsa soğutulan havayı dışarıya veririz. İçeriden dışarıya çıkan gürültü, içerisindeki gürültü seviyesi genellikle dışarıya göre yüksek olmadığından önemli değildir.

Pencere yüzeyi üzerinden oluşan bu ısı alışverişinin önüne geçmek amacıyla ısıl geçirimliliği düşük olan camlar imal edilmiştir. Bu camlar ısıl geçirimliliği yansıtma veya yutma yoluyla azaltılar, fakat bunların ışık geçirimlilikleri de normal pencere camlarına göre daha azdır (%75-%12) ve geçen ışığın rengi değişmektedir. Ayrıca renkli camlar iç yüzeylerinde yansımalarına neden olmaktadır. Yapılan araştırmalar, güneş radyasyonunu yutan camların kullanıcılar tarafından kolayca kabullenildiklerini, fakat ışık geçirgenlik katsayısı %15 civarında olan yansitan camlarda karanlıktan şikayetler olduğunu göstermiştir.

Pencereler ayrıca bina içindeki kimselerin dış dünya ile ilişkilerini sağlar. Bürolarda yapılan araştırmalarda, bir pencerenin sağlanması gereken görünümün iyilik kriterleri aşağıdaki şekilde saptanmışlardır:

- Alınabilen görsel bilgi miktarının maksimum olması, görünümün akıl karıştırıcı veya sıkıcı olmadan ilgi çekici olması gereklidir.

- İyi bir görünümün, gök, ufuk (uzak cisimler) ve yer (yakın cisimler) hakkında bilgi içermesi gereklidir.
- Görünümde, şehir içi manzaraları ve binalar yerine doğal şekiller tercih edilmektedir.
- Görünümün içinde hareket, devam eden bir ilgi oluşturur. Ön planda hareket rahatsız edicidir.

Bu kriterlere göre, pencere yüzeyi ne kadar büyürse görünüm o kadar iyi olacaktır. Ancak, pencere yüzeyinin dışarıyla olan ıslık etkileşimi ve pencereden kaynaklanan kamaşma, pencere yüzeyinin büyütülmesini engelleyen etkenlerdir. Bu etmenler göz önüne alınarak bürolarda yapılan araştırmalar, pencerelerin, eğer görünüm iyi ise, bulundukları duvarın %20-30 u dolayında bir bölümünü kaplamaları gerektiğini göstermişlerdir [31], [32].

Pencere yüzeyi üzerinden gök ışığından kaynaklanan kamaşma pencere boyutları ve pencereden görülen göğün parıltısı ile doğru, hacim içerisindeki aydınlichkeit düzeyi ile ters orantılıdır. Kamaşmanın önüne geçebilmek için alınabilecek önlemler şunlardır:

- Hem yatay hem düşey düzlemlerde, özellikle pencerenin bulunduğu duvarda, aydınlichkeit düzeylerini pencere parıltısı düzeyine yükseltmek gereklidir, ancak bu aydınlichkeit düzeyi değerleri yüksek olacaklarından bunu gerçekleştirmek hem teknik açıdan zor, hem kullanılan enerji miktarı açısından anlamsızdır. Alınabilecek tek önlem, oda içerisindeki duvarların ışık yansıtma katsayılarını yüksek seçmektir (minimumda: tavan %70, duvarlar %50, zemin %10).
- Perde, jaluzi gibi aksesuarlarla önlem alınmamış veya alınamıyor ise eylem alanlarının, odayı kullananların görüş alanları içerisinde pencere kalmayacak şekilde düzenlenmesi gereklidir.

Bu ikinci ve basit önlem alınmış ve yetersizlik kamaşmasının önüne geçilmiş olsa da, doğal aydınlatmanın yapay aydınlatma ile desteklenmesi sırasında yapay aydınlatma tarafından hacim içerisinde sağlanması gereken aydınlichkeit düzeyleri, gece aydınlatmasına göre daha yüksektir. Bunun nedeni, doğal aydınlatmanın sağladığı yüksek aydınlichkeit düzeyi değerlerinin gözün adaptasyon seviyesini yükseltmesidir.

Sonuçta, pencerelerin yalıtilmasının bina maliyetine getireceği ek yük, pencerelerin dışarısıyla yaptıkları ısı alış verisi sonucunda oluşacak ısıtma ve soğutma giderleri ve doğal ışığın kullanılması ile sağlanacak aydınlatma enerjisi artırımı birlikte göz önüne alınarak, pencere konumlarının ve boyutlarının optimize edilmesi gereklidir. Doç. Dr. Mehmet Küçükdoğu ısı ve doğal ışık açısından pencere tasarımını incelemiştir [15], [33]. Bu çalışmada, göz önüne alınan hacimlerde pencerelerin var oldukları düşünülecektir.

2.2. DOĞAL İŞIK HESAP YÖNTEMLERİ

Pencerelerden bina içсерisine giren doğal ışığı değerlendirmede, tüm aydınlatma hesaplamalarında olduğu gibi, ışık akısı ve noktasal hesap yöntemi olmak üzere iki yöntem kullanılmaktadır.

2.2.1 İŞIK AKISI YÖNTEMİ

İşik akısı yönteminde, pencere üzerinde güneş, gök ve yerden yansıyan ışığın oluşturduğu toplam aydınlichkeit düzeyi hesaplanmaktadır ve daha sonra, hazırlanan tabloların yardımcı ile çalışma düzlemindeki minimum, ortalama ve maksimum aydınlichkeit düzeyi hesaplanmaktadır [20].

Bu yöntem aydınlatma tasarımında vasat sonuçlar vermektedir ve aydınlatma enerjisi kayıplarına neden olmaktadır. Senelerden beri kullanılan bu yöntem, enerji artırımının önem kazanması, görme olayının daha iyi anlaşılması ve aydınlatma hesaplarında bilgisayar kullanımının yaygınlaşması ile gittikçe yetersiz hale gelmiştir. Ayrıca ışık akısı yöntemi, aydınlatma enerjisi açısından ekonomik bir tasarımda gereklili olan iki önemli etmeni içermemektedir.
- Geri kalan bölgelerde aydınlichkeit düzeyini düşürülerek ışığın gereklili yerlerde yoğunlaştırılması gereklidir, aksi takdirde enerji israfı olur.

- ışık akısı yöntemi tasarımcıya, yaptığı aydınlatmanın etkinliğini, mevcut ışık şiddetlerini optimize ederek, artırmak şansını vermez [34].

Ancak yine de çok kullanılan bu yöntem üzerinde birçok çalışma yapılmıştır [35], [36], [37], [38], [39].

2.2.2. NOKTASAL HESAP YÖNTEMİ

Aydınlık düzeyinin saptanmasında diğer bir yöntem de noktasal hesap yöntemidir. Bu yöntemde ışık akısı yöntemindeki sakincalar yoktur ancak, daha uzun ve uğraştırıcı bir yöntemdir. Noktasal hesap yöntemi, isminden de anlaşıldığı gibi aydınlatma tasarımlı yapılan hacimde istenilen belirli noktalarda aydınlık düzeyinin hesaplandığı bir yöntemdir. Bu noktalar genellikle, odanın duvarlarına paralel olarak belirli aralıklarla çizildiği kabul edilen çizgilerin kesişme noktaları olarak belirlenirler. Noktasal hesap yöntemi, doğal aydınlatma hesabında kullanıldığında güneş, gök ve yansımış ışık için hesapların ayrı ayrı yapılip, sonra toplanması gereklidir. Ancak aydınlatma enerjisi açısından bir artırıma gidilmesi isteniyorsa, hacim içerisindeki ışık dağılımının belirlenmesini sağlayan bu yöntemden vazgeçilmelidir.

3. BÖLÜM

BİNA TASARIMI AŞAMASINDA HACİM İÇİNDEKİ DOĞAL IŞIK DAĞILIMININ YENİ BİR FAKTÖR OLAN E/LZ KULLANILARAK BELİRLENMESİ İÇİN ÖNERİLEN BİR MODEL

Bu çalışmada, ılıman iklim kuşağında bulunan ülkemizde minimum tasarım koşullarını verdiğinden, kapalı gök tipi ve en çok rastlanan pencere ve hacim şekli olduğundan, düşey dikdörtgen pencere ve dikdörtgen hacimler kullanılmıştır. Yöntem olarak da aydınlatma enerjisi artırımı sağlamak amacıyla yapılan hesaplarda söz konusu olabilecek tek yöntem olan, noktasal hesap yöntemi seçilmiştir.

3.1. HACİM İÇİNDE AYDINLIK DÜZEYİNİ OLUŞTURAN BİLEŞENLER VE GÜNIŞİĞİ FAKTÖRÜ

Bir hacim içinde, kapalı gök modeli için doğal ışiktan kaynaklanan aydınlik düzeyi değerlerini hesaplarken, herhangi bir gözleme noktasındaki aydınlik düzeyi değerini bulabilmek için aşağıdaki üç ayrı bileşenin hesaplanması gereklidir.

-Gök ışığından kaynaklanan aydınlik düzeyi değeri :
Hacim içindeki gözleme noktasından görülen ve parıltı dağılımı bilinen gök parçasının o gözleme noktası üzerinde dolaysız olarak oluşturduğu aydınlik düzeyidir.

-Dışarıdan yansıyan ışiktan kaynaklanan aydınlik düzeyi değeri :

Aynı hacim içindeki aynı gözleme noktasında, parıltı dağılımı bilinen gökten, dış engellerde yansındıktan sonra ulaşan dolaylı gün ışığının oluşturduğu aydınlik düzeyidir.

-İçeride yansıyan ışiktan kaynaklanan aydınlichkeit düzeyi değeri :

Aynı hacim içindeki aynı gözleme noktasında, o hacimin yüzeylerinden yansıyarak gelen dolaylı gün ışığının yarattığı aydınlichkeit düzeyidir.

Hacim dışındaki yansımalaara neden olabilecek engeller, yer, binalar, ağaçlar gibi çok çeşitlilik gösterirken, hacim içerisinde, hesaplarda sadece duvarlar, tavan ve zeminde yansımaların olduğu kabul edilir.

1955 senesinde kapalı gök tanımının standartlaştırılmasından sonra hacim içerisindeki aydınlichkeit düzeylerini karakterize etmek için en çok kullanılan yöntem, E_i/E_d olarak tanımlanan gün ışığı faktörünün kullanılması olmuştur. Burada,

E_i : hacim içerisinde çalışma düzlemi üzerinde gözleme noktasındaki aydınlichkeit düzeyi,

E_d : aynı anda, hacim dışında parıltı dağılımı belirli göğün engelsiz durumda yatay düzlem üzerinde oluşturduğu aydınlichkeit düzeyidir.

Günışığı faktörü % olarak tanımlanır ve yukarıda bahsedilen üç aydınlichkeit düzeyi bileşeninin teker teker E_d ' ye bölünmelerinden oluşan üç bileşenden meydana gelir :

-Gök bileşeni

-Dış yansımış bileşen

-İç yansımış bileşen [20].

3.2. HACİM İÇİNDE GÜN İŞİĞİ DAĞILIMINI BELİRLEMEK İÇİN ÖNERİLEN YENİ BİR KATSAYI : E/LZ FAKTÖRÜ

Bu çalışmada, hacim içerisindeki aydınlichkeit düzeyleri

$$E/LZ = \% \frac{E_i}{L_z} \cdot 100 \quad (3.1)$$

şeklinde yeni bir katsayı tanımlanarak bulunmuşlardır. Burada,

E_i : hacim içerisinde herhangi bir düzlem üzerinde bir gözleme noktasındaki aydınlichkeit düzeyi,

L_z : aynı andaki zenit parıltısıdır.

Günışığı faktörü, içerisindeki aydınlichkeit düzeyinin dışarıdaki aydınlichkeit düzeyine oranını belirtir. Böylece dışarıdaki aydınlichkeit düzeyine bağlı olarak yükselen göğün adaptasyon seviyesine göre

İçerideki aydınlichkeit düzeyinin yeterli olup olmadığı konusunda da bir fikir verir. Ancak, aydınlatma enerjisi artırımı söz konusu olduğunda, içerdeki aydınlichkeit düzeyini dışarıdaki aydınlichkeit düzeyine göre belirlemenin anlamsız, ve bu durumda alınacak en basit ve en iyi önlemin hacim içerisinde çalışan kişileri, pencereler görme alanlarına girmeyecek şekilde yerleştirmek olduğundan bu çalışmada daha önce bahsedilmiştir.

Bu çalışmada özellikle sağladığı iki kolaylıktan ötürü E/LZ faktörü ortaya konmuştur. Bunlardan birincisi, formül kullanımında yarattığı kolaylıktır.

Gök ışığının yarattığı aydınlichkeit düzeyinin hesaplanmasıında kullanılan gök parıltısı tanımı, bütün kaynaklarda bağıl parıltı olarak, $L/L_z = f(\theta)$ şeklinde verilmektedir. Noktasal aydınlichkeit düzeyi hesapları

$$E = \frac{I_\alpha \cos\alpha}{r^2} \quad (3.2)$$

formülüne göre yapıldığından,

$$I_\alpha = L \cdot S_{gör} \quad (3.3)$$

ve

$$\frac{L}{L_z} = f(\theta) \quad (3.4)$$

olduğundan, (3.4) denklemi (3.3) de yerine konup

$$I_\alpha = S_{gör} \cdot f(\theta) \cdot L_z \quad (3.5)$$

(3.5), (3.2) denklemine yerleştirilirse

$$E = \frac{S_{gör} \cdot f(\theta) \cdot L_z \cdot \cos\alpha}{r^2} \quad (3.6)$$

olur ve (3.6) denklemi

$$\frac{E}{L_z} = \frac{S_{gör} \cdot f(\theta) \cdot \cos\alpha}{r^2} \quad (3.7)$$

şeklinde ifade edilebilir. Görüldüğü gibi, E/LZ faktörü kullanıldığından bağıl parıltı formülünün sağ tarafı (3.6) denklemine parıltının yerine girmektedir. L_z' i E' nin altına almakla, formüllerde bir değişiklik yapmaya gerek kalmamaktadır.

E/LZ faktörü kullanımının sağladığı ikinci kolaylık ise aşağıda anlatılmıştır. Günüşığı faktöründeki E_d değeri engelsiz durumda ölçülmüş olması gereken bir aydınlichkeit düzeyi değeridir. Oysa

bugün şehirlerde engelsiz aydınlichkeit düzeyi ölçmesi yapılabilecek bir yer bulunması oldukça zordur. Buna karşılık E/LZ faktöründe aydınlichkeit düzeyinin sayısal değerini bulmak için L_z' nin, yani zenit parıltısının ölçülmesi gereklidir, ve $L = E/\Omega$ olduğundan, ölçmeyi yapan aletin sadece tam tepesindeki gök parçasını görmesi yeterlidir.

Bir ölçme yapılması gerekmiyorsa, ve sayısal değerler, deney sonuçlarına dayanılarak çıkartılmış grafiklerden kabaca bulunacaklarsa, günüşığı faktörü ve E/LZ faktörü aynı sabitin değişik çarpanlarla çarpılmasından elde edilen faktörler olduklarından, ana denklemler bulunduktan sonra, birinden diğerine geçmek her zaman olanaklıdır.

Hacim içerisinde herhangi bir noktadaki aydınlichkeit düzeyini bulmak için E/LZ faktörü kullanıldığında

$$\% \frac{E_i}{L_z} \cdot 100 = \%a = \text{sabit} \quad (3.8)$$

değeri bilinmektektir. Kapalı gök modeli için

$$E_d = \frac{7}{9} \pi L_z \quad (3.9)$$

olduğundan, günüşığı faktörü değerine geçilmek istenirse

$$\frac{E_i}{E_d} = \% \frac{9}{7\pi} a \quad (3.10)$$

değeri bulunur.

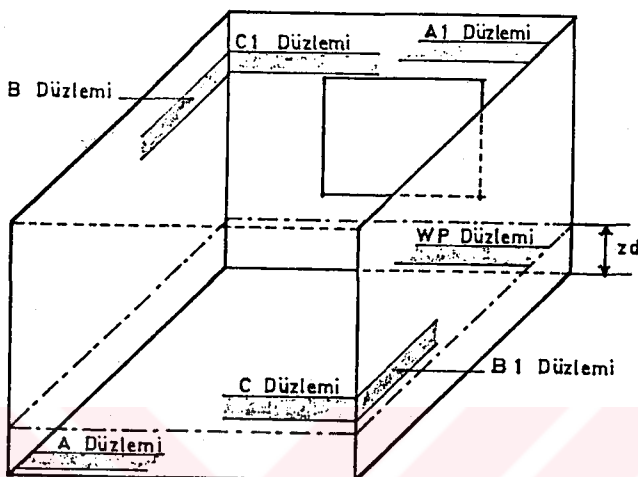
E/LZ faktörü de, günüşığı faktörü gibi üç ayrı bileşenin ayrı ayrı hesaplanıp toplanması ile elde edilir. İstenildiğinde E/LZ faktöründen günüşığı faktörüne geçişin kolaylaştırılması amacıyla, E/LZ faktörünün bu üç bileşenine, günüşığı faktörünün gök bileşeni, dış yansımış bileşeni ve iç yansımış bileşenine benzer olarak

- E/LZ faktörünün gök bileşeni
 - E/LZ faktörünün dış yansımış bileşeni
 - E/LZ faktörünün iç yansımış bileşeni
- adları verilmiştir.

Bu bölümde, önce E/LZ faktörünün bileşenlerinin nasıl hesaplandıkları ayrı ayrı anlatılacak, sonra pencereleri düşey ve sadece bir duvarda olan dikdörtgenler prizması şeklinde bir hacimde,

verileri söz konusu hacimin planından okunabilecek değerler olan bir FORTRAN programı yardımıyla istenilen düzlemlerde E/LZ faktörleri veya belirli bir zenit parıltısı altındaki aydınlichkeit düzeyleri dağılımının belirlenmesi gösterilecektir.

E/LZ faktörünü hesaplamak için Şekil 3-1' deki gibi bir hacim göz önüne alalım.



Şekil 3-1 Örnek hacim

3.2.1. E/LZ FAKTÖRÜNÜN GÖK BİLEŞENİ

E/LZ faktörünün gök bileşeni kapalı gök tipi için, daha önce de belirtildiği gibi, engelsiz pencereden hacim içine giren dolaysız gök ışığından hesaplanır. Bu hesap, herhangi bir düzlem üzerinde belirli bir gözleme noktasında yapılabilir.

Çalışma düzlemi, Şekil 3-1' de WP düzlemdir. Bu düzlem, A düzlemine, zemine paralel olmak üzere herhangi istenilen bir yükseklikte seçilebilir. Formüller, genel olmaları amacıyla güdüllererek, A düzlemi için verilecektir. Bu formüllerden çalışma düzlemini E/LZ faktörleri elde edilmek istendiğinde, a ve b değerlerinin, yani hesap yapılan düzlem ile pencere alt ve üst kenarları arasındaki uzaklıkların (Şekil 3-2), söz konusu çalışma düzlemine göre, zd çalışma düzleminin A düzleminden yüksekliği olmak üzere (Şekil 3-1)

$$a_{WP} = a_A - zd \quad \text{ve} \quad b_{WP} = b_A - zd \quad (3.11)$$

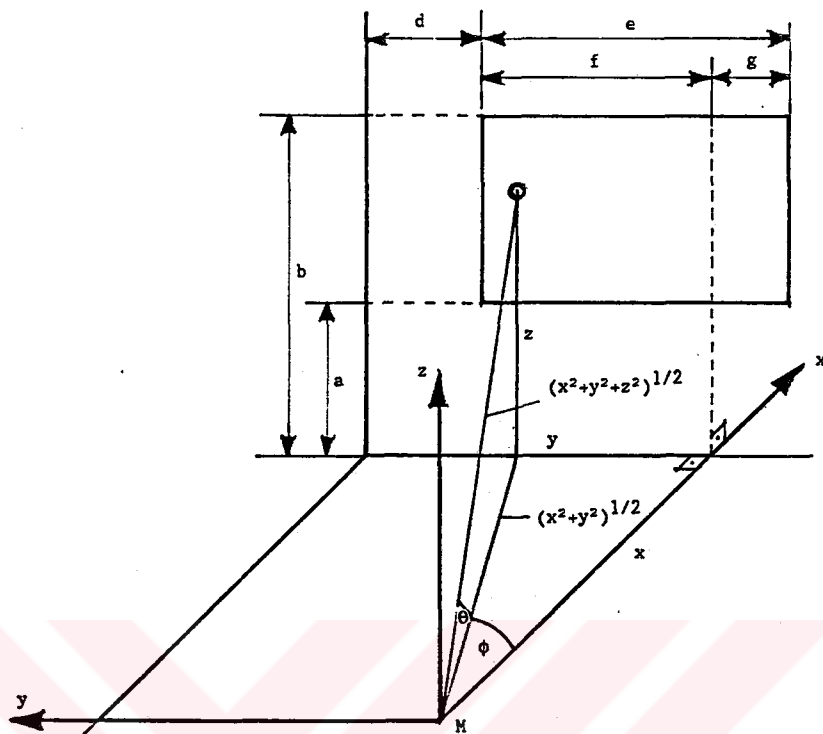
şeklinde düzeltilmeleri gereklidir. Burada,

a_{WP} : çalışma düzleminin pencere alt kenarından uzaklığı,

a_A : zeminin, A düzleminin pencere alt kenarından uzaklığı,

b_{WP} : çalışma düzleminin pencere üst kenarından uzaklığı,

b_A : zeminin, A düzleminin pencere üst kenarından uzaklığıdır.



Şekil 3-2 A düzleminde E/LZ faktörünün hesabı için kullanılan kartezyen koordinatlar

Aşağıda bir nokta için bulunan E/LZ faktörü değerini bütün düzlem üzerinde belirli aralıklarla bulmak istediğimizde Şekil 3-3' deki gibi bir başka (x_1, y_1, z_1) koordinat sistemi seçip, g ve f değerlerini

$$g = d - y_1 \quad \text{ve} \quad f = g + e \quad (3.13)$$

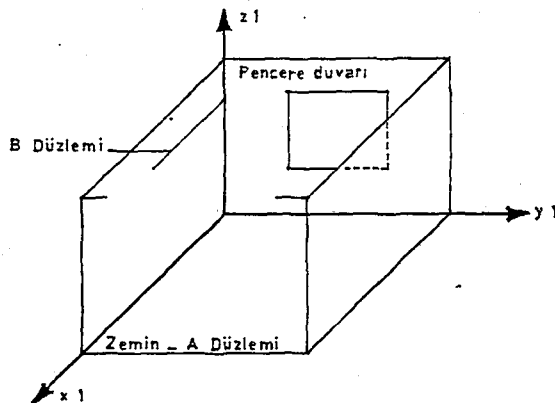
şeklinde değiştirebiliriz. (3.13) denklemlerinde gözüken y_1 değişkeni bu yeni koordinat sisteminden alınır. (3.12) denkleminde gözüken x değişkenlerinin yerlerine x_1 değişkenleri konur. Böylece x_1 ve y_1 belirli aralıklarla tarandığında istenilen bütün noktalarda $(E/LZ)_A$ değerleri bulunabilir.

E/LZ faktörünün A düzlemindeki gök bileşeni $(E/LZ)_A$, Şekil 3-2' de gösterilen kartezyen koordinatlar cinsinden

$$\begin{aligned}
 (E/LZ)_A = & \% \frac{100}{3} \left\{ \left[- \frac{2}{3} \operatorname{atg} \frac{b}{x} \frac{f}{(x^2 + f^2 + b^2)^{1/2}} \right. \right. \\
 & - \frac{1}{2} \frac{x}{(x^2 + b^2)^{1/2}} \operatorname{atg} \frac{f}{(x^2 + b^2)^{1/2}} \\
 & - \frac{2}{3} \frac{x \cdot b}{(x^2 + b^2)} \frac{f}{(x^2 + f^2 + b^2)^{1/2}} \left. \right] - \\
 & - \left[\frac{2}{3} \operatorname{atg} \frac{a}{x} \frac{f}{(x^2 + f^2 + a^2)^{1/2}} \right. \\
 & - \frac{1}{2} \frac{x}{(x^2 + a^2)^{1/2}} \operatorname{atg} \frac{f}{(x^2 + a^2)^{1/2}} \\
 & - \frac{2}{3} \frac{x \cdot a}{(x^2 + a^2)} \frac{f}{(x^2 + f^2 + a^2)^{1/2}} \left. \right] - \\
 & - \left[\frac{2}{3} \operatorname{atg} \frac{b}{x} \frac{g}{(x^2 + g^2 + b^2)^{1/2}} \right. \\
 & - \frac{1}{2} \frac{x}{(x^2 + b^2)^{1/2}} \operatorname{atg} \frac{g}{(x^2 + b^2)^{1/2}} \\
 & - \frac{2}{3} \frac{x \cdot b}{(x^2 + b^2)} \frac{g}{(x^2 + g^2 + b^2)^{1/2}} \left. \right] + \\
 & + \left[\frac{2}{3} \operatorname{atg} \frac{a}{x} \frac{g}{(x^2 + g^2 + a^2)^{1/2}} \right. \\
 & - \frac{1}{2} \frac{x}{(x^2 + a^2)^{1/2}} \operatorname{atg} \frac{g}{(x^2 + a^2)^{1/2}} \\
 & \left. \left. - \frac{2}{3} \frac{x \cdot a}{(x^2 + a^2)} \frac{g}{(x^2 + g^2 + a^2)^{1/2}} \right] \right\} \quad (3.12)
 \end{aligned}$$

olarak bulunur (E/LZ faktörünün A düzlemindeki gök bileşeninin hesaplanması Ek A' da verilmiştir).

E/LZ faktörünün gök bileşeninin B, Bl ve C düzlemlerindeki dağılımı, iç yansımış bileşenin hesabında gereklidir. Ayrıca oda duvarlarındaki parıltı dağılımının bilinmesi aydınlatma tasarımını açısından yararlıdır.



Şekil 3-3 Tarama aralığı uygulamasında kullanılan eksen takımı

B düzlemindeki bir gözleme noktasında E/LZ faktörünün gök bileşeni $(E/LZ)_B$, Şekil 3-4' de gösterilen kartezyen koordinatlar cinsinden

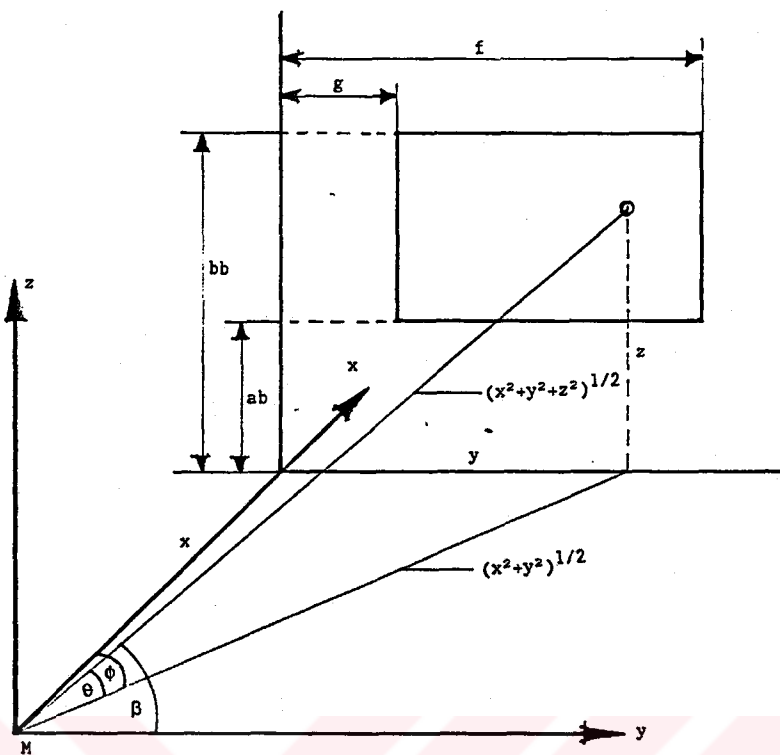
$$\begin{aligned}
 (E/LZ)_B = \% \frac{100}{3} & \left\{ \left[\frac{2}{3} \frac{x}{(x^2+f^2+bb^2)^{1/2}} - \right. \right. \\
 & \left. \left. - \frac{1}{2} \frac{x}{(x^2+f^2)^{1/2}} \operatorname{atg} \frac{bb}{(x^2+f^2)^{1/2}} \right] - \right. \\
 & \left. \left[\frac{2}{3} \frac{x}{(x^2+g^2+bb^2)^{1/2}} - \frac{1}{2} \frac{x}{(x^2+g^2)^{1/2}} \operatorname{atg} \frac{bb}{(x^2+g^2)^{1/2}} \right] - \right. \\
 & \left. \left[\frac{2}{3} \frac{x}{(x^2+f^2+ab^2)^{1/2}} - \frac{1}{2} \frac{x}{(x^2+f^2)^{1/2}} \operatorname{atg} \frac{ab}{(x^2+f^2)^{1/2}} \right] + \right. \\
 & \left. \left. + \left[\frac{2}{3} \frac{x}{(x^2+g^2+ab^2)^{1/2}} - \frac{1}{2} \frac{x}{(x^2+g^2)^{1/2}} \operatorname{atg} \frac{ab}{(x^2+g^2)^{1/2}} \right] \right\}
 \end{aligned} \tag{3.14}$$

olarak bulunur (B düzleminde E/LZ faktörünün gök bileşeninin hesaplanması EK B' de verilmiştir).

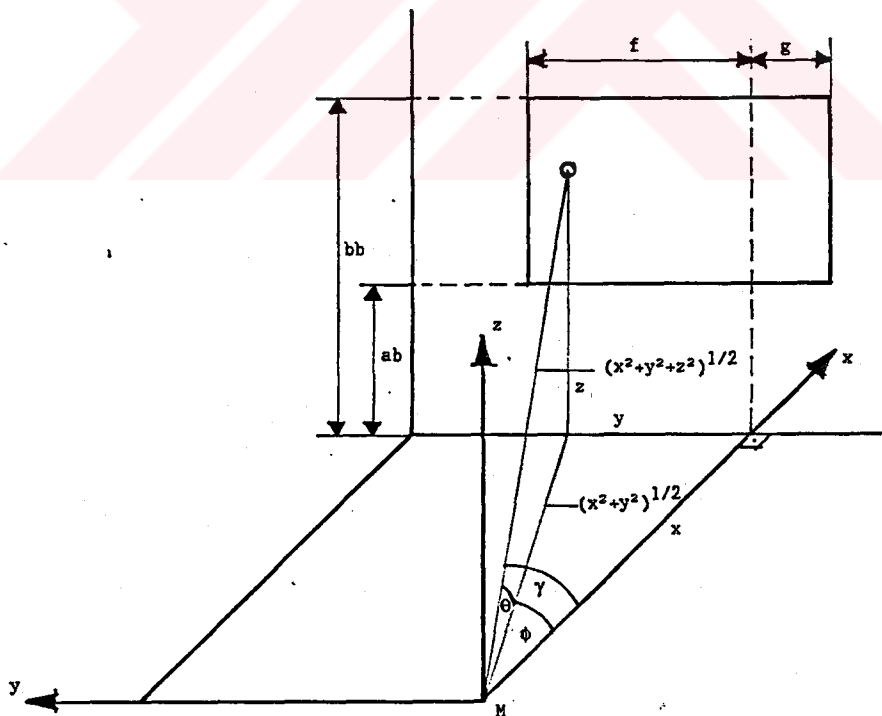
Buradan Şekil 3-3' deki koordinat sistemine geçilirse, (3.13) denklemlerine ek olarak

$$\begin{aligned}
 bb &= b - z_1 \\
 ab &= a - z_1 \quad , \quad z_1 < a \quad \text{veya} \\
 ab &= 0 \quad - , \quad z_1 \geq a
 \end{aligned} \tag{3.15}$$

yazmak gereklidir.



Şekil 3-4 B düzleminde E/LZ faktörünün hesabı için
kullanılan kartezyen koordinatlar



Şekil 3-5 C düzleminde E/LZ faktörünün hesabı için
kullanılan kartezyen koordinatlar

B1 düzlemini için, yönlere dikkat etmek koşuluyla, (3.14) denklemi olduğu gibi geçerlidir.

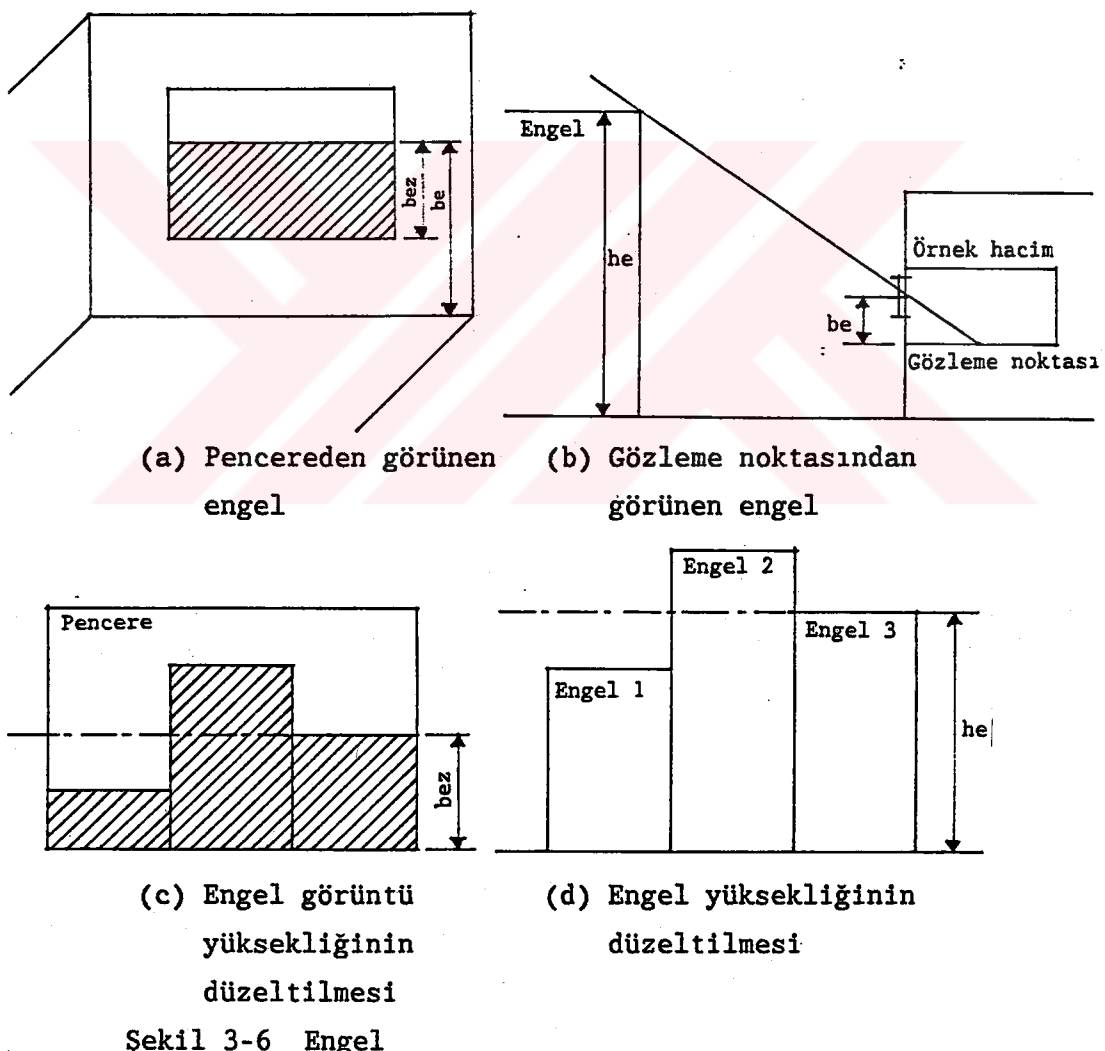
C düzleminde Şekil 3-5' deki kartezyen koordinatlar cinsinden E/LZ faktörünün gök bileşeni

$$\begin{aligned}
 (E/LZ)_C = & \% \frac{100}{3} \left\{ \left[\frac{1}{2} \frac{bb}{(x^2+bb^2)^{1/2}} \operatorname{atg} \frac{f}{(x^2+bb^2)^{1/2}} + \right. \right. \\
 & + \frac{1}{2} \frac{f}{(x^2+f^2)^{1/2}} \operatorname{atg} \frac{bb}{(x^2+f^2)^{1/2}} - \\
 & - \frac{2}{3} \frac{x^2}{(x^2+bb^2)} \frac{f}{(x^2+f^2+bb^2)^{1/2}} \right] - \\
 & - \left[\frac{1}{2} \frac{ab}{(x^2+ab^2)^{1/2}} \operatorname{atg} \frac{f}{(x^2+ab^2)^{1/2}} + \right. \\
 & + \frac{1}{2} \frac{f}{(x^2+f^2)^{1/2}} \operatorname{atg} \frac{ab}{(x^2+f^2)^{1/2}} - \\
 & - \frac{2}{3} \frac{x^2}{(x^2+ab^2)} \frac{f}{(x^2+f^2+ab^2)^{1/2}} \right] - \\
 & - \left[\frac{1}{2} \frac{bb}{(x^2+bb^2)^{1/2}} \operatorname{atg} \frac{g}{(x^2+bb^2)^{1/2}} + \right. \\
 & + \frac{1}{2} \frac{g}{(x^2+g^2)^{1/2}} \operatorname{atg} \frac{bb}{(x^2+g^2)^{1/2}} - \\
 & - \frac{2}{3} \frac{x^2}{(x^2+bb^2)} \frac{g}{(x^2+g^2+bb^2)^{1/2}} \right] + \\
 & + \left[\frac{1}{2} \frac{ab}{(x^2+ab^2)^{1/2}} \operatorname{atg} \frac{g}{(x^2+ab^2)^{1/2}} + \right. \\
 & + \frac{1}{2} \frac{g}{(x^2+g^2)^{1/2}} \operatorname{atg} \frac{ab}{(x^2+g^2)^{1/2}} - \\
 & - \frac{2}{3} \frac{x^2}{(x^2+ab^2)} \frac{g}{(x^2+g^2+ab^2)^{1/2}} \right] \} \quad (3.16)
 \end{aligned}$$

şeklinde bulunur. Burada da Şekil 3-3' deki koordinat sistemine geçirilince (3.13) ve (3.15) denklemeleri geçerlidir (C düzleminde E/LZ faktörünün gök bileşeninin hesaplanması EK C' de verilmiştir).

3.2.2. E/LZ FAKTÖRÜNÜN DIŞ YANSIMIS BİLEŞENİ

Bugün şehirlerde artan bina yükseklikleri nedeni ile tamamen engelsiz görüş alanı olan pencere'lere sahip hacimler bulmak zorlaşmıştır. Hacim içerisinde giren ışığın bazen tümü bu engellerden yansındıktan sonra gelmektedir. Tam doğru bir hesap yapabilmek için, önce engeller üzerinde oluşan düşey veya yatay aydınlichkeit düzeylerinin hesaplanması, sonra bu yüzeylerin yansıtma katsayıları da hesaba katılarak söz konusu gözleme noktasına gelen ışığın yarattığı aydınlichkeit düzeyi bulunmalıdır. Ancak karşılaşılan engellerin yansıtma faktörleri, boyutları, gözleme noktasına ve birbirlerine olan uzaklıklarının çeşitliliği düşünülecek olursa, bu yöntemin zorluğu anlaşılabilir.



Uygulamada kullanılan yöntem, gözleme noktasındaki aydınlichkeit düzeyinin hesabında, engellerin, kapattıkları gök parçasının parıltı

etkisinin 1/10'u kadar bir ağırlıkla hesaba katılmalarıdır. Bu çalışmada da E/LZ faktörünün dış yansımış bileşeni bulunurken bu yöntem kullanılmış, ayrıca şehir içinde karşılaşılan engellerin çoğunlukla sokağın öteki tarafındaki binalar dizisi olduğu düşünülerek, hazırlanan bilgisayar programında engelin, gözleme noktasının içerisinde bulunduğu binaya paralel, sonsuz bir engel olduğu varsayılmıştır. Şekil 3-6 a ve b de burada varsayılan engelin genel şekli gösterilmiştir. Eğer pencereden görülen engeller, Şekil 3-6 c'de gösterilen şekilde iseler, Şekil 3-6 c ve d'deki gibi engel yüksekliği olarak ortalama bir yüksekliğin alınması gereklidir.

3.2.3. E/LZ FAKTÖRÜNÜN İÇ YANSIMIŞ BİLEŞENİ

Hacim içerisindeki aydınlik düzeyi hesaplarında en büyük değerleri dolaysız gök ışığı verir. Dış engellerden yansiyarak gelen ışığın etkisinin bunun onda biri olarak kabul edildiği daha önce belirtildi. Gök ışığı hacim içeresine girince dolaysız olarak sadece Şekil 3-1' de belirtilen A, B, B1 ve C düzlemlerine düşer. Diğer düzlemler gökten dolaysız ışık almazlar, buralarda oluşan aydınlik düzeyleri kısmen yerden ve dış engellerden yansiyarak gelen ışiktan, kısmen de hacim içerisinde yansıyan ışiktan kaynaklanır.

Yansımalar hesaplanırken, duvarların Lambert yasasına uygun davranışları kabul edilir ve parıltıları $L = \rho E / \pi$ formülü ile verilir. Işığın, bir düzlemin herhangi bir noktasından diğer bir düzleme yansındıktan sonra meydana getireceği aydınlik düzeyini veren formül

$$E_2 = \frac{\rho E_1}{\pi} \frac{1}{r^2} \cos\alpha dS_{\text{gör}} \quad (3.17)$$

dir. Burada,

E_1 : ışığın yansındığı duvar üzerinde göz önüne alınan bir noktadaki aydınlik düzeyi,

E_2 : gözleme noktasındaki aydınlik düzeyi,

ρ : ışığın yansındığı duvarın yansıtma faktörü,

$dS_{\text{gör}}$: ışığın yansındığı noktanın içinde bulunduğu alanın, gözleme noktasından görünen alanı,

r : yansımmanın olduğu nokta ile gözleme noktası arasındaki uzaklık,

α : gözleme noktasının üzerinde bulunduğu düzlemin normali ile r doğrultusunun yaptığı açıdır.

Formülden görüldüğü gibi her yansımada aydınlik düzeyi değeri, ρ daima birden küçük olduğundan, yansıtma faktörü ile doğru orantılı ve r' nin karesi kesir çizgisinin altında olduğundan, uzaklığın karesi ile ters orantılı olarak küçülür. Bu nedenle, bu çalışmada ikinci yansımadan sonrası ihmali edilmektedir, ve A, B, B₁ ve C düzlemlerinde dolaysız gök ışığından ve varsa dış engellerden yansıyarak gelen ışıkta kaynaklanan E/LZ faktörleri hesaplanıp, bu düzlemlerdeki birinci yansımadan sonra, sadece bir yansımaya daha hesaplanmış ve toplam E/LZ değerleri belirlenmiştir. Birbirine dik veya paralel düzlemler arasındaki bütün yansımalara ait formüller, bunların çıkarılışları ve bunlara ait şekiller Ek D' de gösterilmiştir.

Ek D' de verilmiş olan bütün yansımaya formüllerinde, yani (Ek D1)' den (Ek D22)' ye kadar olan tüm denklemlerde, E_1 ile verilen aydınlik düzeyi formüllerinin, yansımamanın olduğu düzleme ait gök bileşeni ile varsa dış yansımış bileşenin toplamı olarak alınması gereklidir. Örnek olarak (Ek D1) denklemini, yani C düzleminden B düzlemine yansımayı alırsak ve basitlik amacıyla dış yansımış bileşenin olmadığını, yani engelsiz bir pencere karşısında bulduğumuzu kabul edersek, önce C düzlemine ait aydınlik düzeyi formülünü (3.16) denkleminden almamız gereklidir.

$$(E/LZ)_C = \% \frac{E}{L_z} \cdot 100 = \frac{E}{L_z} = v(g, f, ab, bb) \quad (3.18)$$

yazabilirmiz. (3.18) denklemindeki f ve g parametreleri, (3.13) denklemleri ile Şekil 3-3' deki y_1 değişkenine, ab ve bb parametreleri (3.15) denklemleri ile yine Şekil 3-3' deki z_1 değişkenine bağlı olduklarından

$$\frac{E}{L_z} = v(y_1, z_1) \quad (3.19)$$

$$E = L_z \cdot v(y_1, z_1) \quad (3.20)$$

şeklinde bir ifade kullanılabilir. Bütün bu işlemler zaman içinde belirli bir an için yapıldıklarından zenit parıltıltısı L_z sabit kabul edilmektedir.

Yansımlar hesap edilirken gösterilen bütün şekillerde aynı eksen takımı (x, y, z) kullanılmıştır ve bu eksen takımı Şekil 3-3' deki (x_1, y_1, z_1) eksen takımıdır. Dolayısıyla (Ek D1) denklemindeki $E_1(y, z)$ için (3.20) denkleminden

$$E_1(y, z) = L_z \cdot v(y, z) \quad (3.21)$$

yazabiliriz. Burada, $v(y, z)$, (3.16) denkleminin sağ tarafıdır.

(3.21) denklemini (Ek D1)' de yerine koyduğumuzda

$$d^2E = \frac{\rho}{\pi} \frac{y(U-x)}{((U-x)^2+y^2+(z-z)^2)^2} v(y, z) L_z dy dz \quad (3.22)$$

elde ederiz.

$$E = L_z \int_{y=0}^W \int_{z=0}^H \frac{\rho}{\pi} \frac{y(U-x)}{((U-x)^2+y^2+(z-z)^2)^2} v(y, z) dy dz \quad (3.23)$$

zaman içinde belirli bir anda B düzleme üzerindeki bir (X, Z) noktasında C düzleminin tümünden yansıyıp gelen gök ışığının yarattığı aydınlichkeit düzeyini verir.

Aşağıda görüldüğü gibi, yansımlar hesaplanırken, eğer hesaplarda (E/LZ) faktörleri kullanılıyorsa, formülü elde etmek için, yansımmanın olduğu düzleme ait (E/LZ) faktörünün gök bileşenini, varsa buna dış yansımış bileşeni de ekleyerek, yansımaya formülünde yerine yerleştirmek yeterlidir.

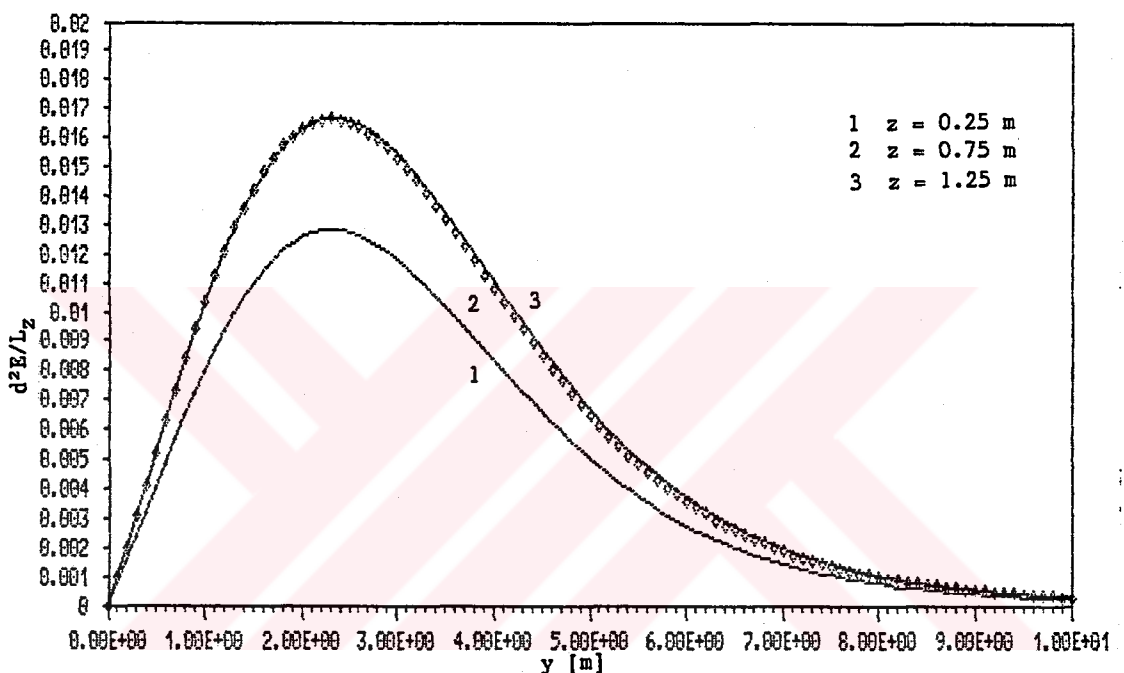
Ancak, çıkan formüllerden entegralleri analitik olarak almak çok zor olduğundan, bu çalışmada yansımaya ait entegraller Simpson yöntemi kullanılarak sayısal olarak alınmıştır. Bilindiği gibi Simpson sayısal entegral yöntemi, entegrali alınacak eğriye parabolsal bir yaklaşım getirir. Burada özel olarak bu yöntemin kullanılmasının nedeni, (3.24) denkleminde olduğu gibi yansımlara ait bütün denklemlerde, her iki değişkene bağlı olarak entegralin içinde kalan kısmın ayrı ayrı çizilebilecek eğrilerinin şekillindeki parabole benzerliklerdir. Her ne kadar z değişken olarak kullanıldığından, bu benzerlik, (3.15) denklemlerinden dolayı kısmen bozuluyorsa da, yine de parabol yaklaşımı uygun bir yaklaşım olarak kalmaya devam etmektedir.

$$\begin{aligned}
 (E/LZ)_{C-B} &= \% \frac{E}{L_z} \cdot 100 = \\
 &= \% \int_{y=0}^W \int_{z=0}^H \frac{100}{\pi} \frac{\rho}{((U-x)^2+y^2+(z-Z)^2)^2} \cdot \frac{1}{3} \cdot \\
 &\quad \cdot \left\{ \left[\frac{1}{2} \frac{bb}{(x^2+bb^2)^{1/2}} \operatorname{atg} \frac{f}{(x^2+bb^2)^{1/2}} + \right. \right. \\
 &\quad + \frac{1}{2} \frac{f}{(x^2+f^2)^{1/2}} \operatorname{atg} \frac{bb}{(x^2+f^2)^{1/2}} - \\
 &\quad - \frac{2}{3} \frac{x^2}{(x^2+bb^2)} \frac{f}{(x^2+f^2+bb^2)^{1/2}} \left. \right] - \\
 &\quad - \left[\frac{1}{2} \frac{ab}{(x^2+ab^2)^{1/2}} \operatorname{atg} \frac{f}{(x^2+ab^2)^{1/2}} + \right. \\
 &\quad + \frac{1}{2} \frac{f}{(x^2+f^2)^{1/2}} \operatorname{atg} \frac{ab}{(x^2+f^2)^{1/2}} - \\
 &\quad - \frac{2}{3} \frac{x^2}{(x^2+ab^2)} \frac{f}{(x^2+f^2+ab^2)^{1/2}} \left. \right] - \\
 &\quad - \left[\frac{1}{2} \frac{bb}{(x^2+bb^2)^{1/2}} \operatorname{atg} \frac{g}{(x^2+bb^2)^{1/2}} + \right. \\
 &\quad + \frac{1}{2} \frac{g}{(x^2+g^2)^{1/2}} \operatorname{atg} \frac{bb}{(x^2+g^2)^{1/2}} - \\
 &\quad - \frac{2}{3} \frac{x^2}{(x^2+bb^2)} \frac{g}{(x^2+g^2+bb^2)^{1/2}} \left. \right] + \\
 &\quad + \left[\frac{1}{2} \frac{ab}{(x^2+ab^2)^{1/2}} \operatorname{atg} \frac{g}{(x^2+ab^2)^{1/2}} + \right. \\
 &\quad + \frac{1}{2} \frac{g}{(x^2+g^2)^{1/2}} \operatorname{atg} \frac{ab}{(x^2+g^2)^{1/2}} - \\
 &\quad - \frac{2}{3} \frac{x^2}{(x^2+ab^2)} \frac{g}{(x^2+g^2+ab^2)^{1/2}} \left. \right] \} \quad (3.24)
 \end{aligned}$$

yazabiliriz.

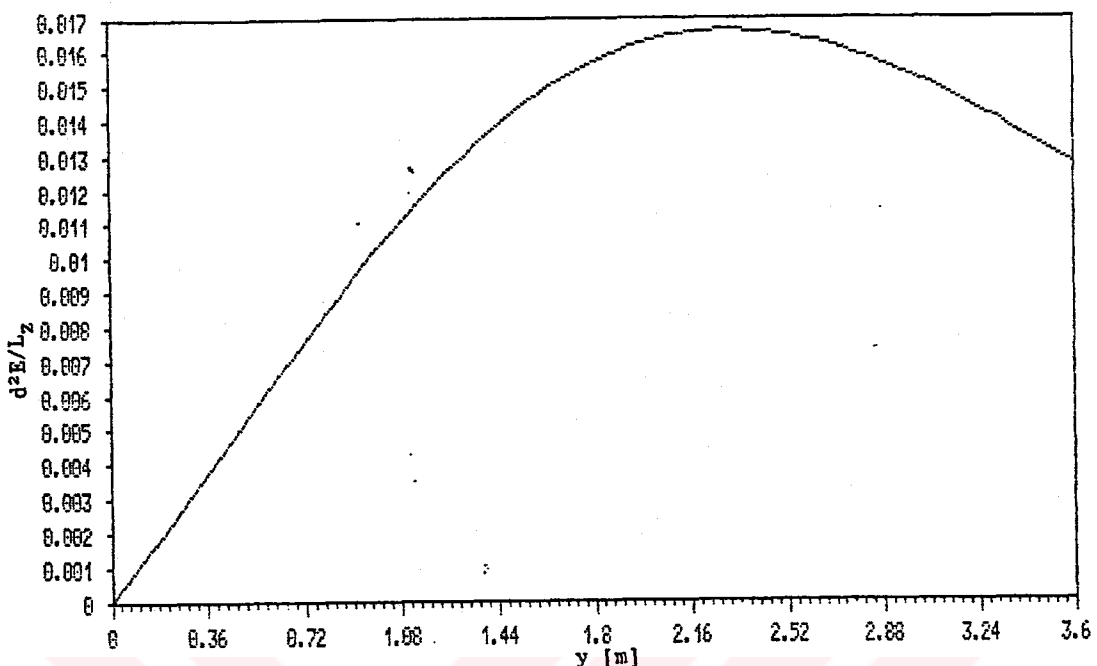
(3.24) denklemi için sayısal bir örnek verirsek ,
oda boyutları:
odanın derinliği $U = 5,40$ m.,
odanın genişliği $W = 3,60$ m,
odanın yüksekliği $H = 2,80$ m.

pencerenin Şekil 3-3' deki orijine yakın kenarının z1 ekseninden yatay uzaklığı $d = 0,40 \text{ m}$,
 pencerenin genişliği $e = 2,80 \text{ m}$,
 pencerenin alt kenar yüksekliği $a = 1,00 \text{ m}$,
 pencerenin üst kenar yüksekliği $b = 2,40 \text{ m}$ olmak üzere,
 Şekil 3-7' de, C düzlemi üzerindeki değişken y iken, $z = 0,25 \text{ m}$, $z = 0,75 \text{ m}$ ve $z = 1,25 \text{ m}$ için (3.24) denkleminde entegral işaretinin altında kalan fonksiyonun eğrisi verilmiştir.

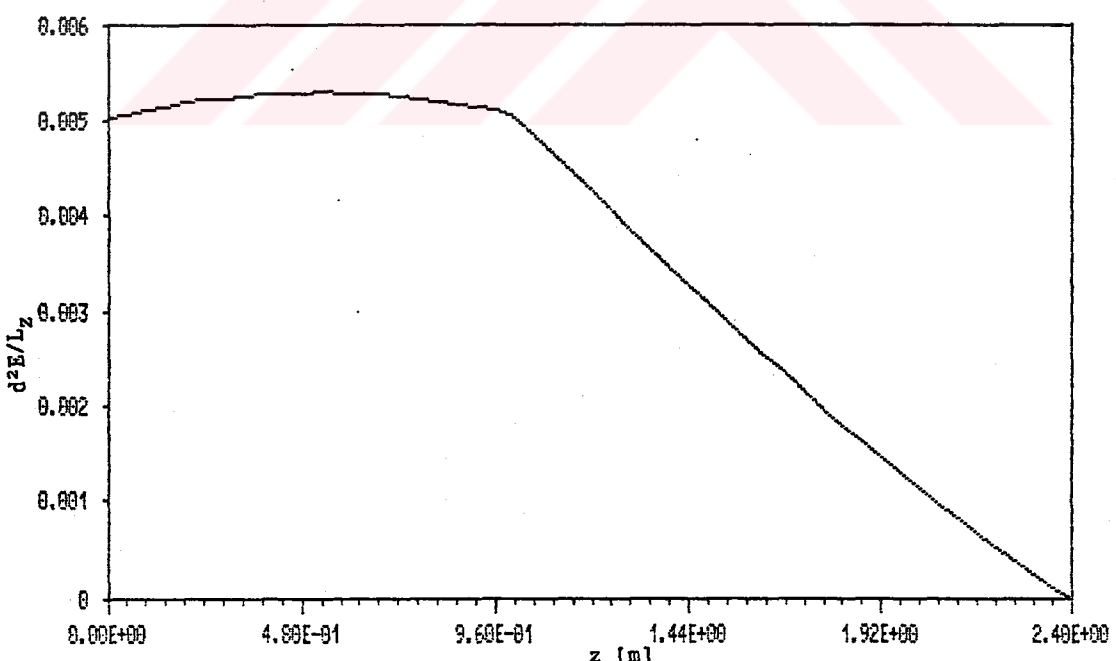


Şekil 3-7 (3.24) denkleminin entegral işaretinin altındaki kısmının $z = 0,25 \text{ m}$, $z = 0,75 \text{ m}$, ve $z = 1,25 \text{ m}$ sabit olmak üzere, y değişkenine bağlı değişimleri

Odanın genişliği W , (3.24) denkleminde gözükmediğinden ve dolayısıyla denklemi etkilemediğinden, eğrinin şeklinin daha açık gözükebilmesi amacıyla Şekil 3-7' de y değişkeni 0' dan 10 m' ye kadar değiştirilmiştir. Örnek odada bu eğri 3,60 m' de kesilmektedir (Şekil 3-8).



Şekil 3-8 Örnek oda için (3.24) denkleminin entegral işaretti altındaki kısmının, $z = 0,75$ m sabit olmak üzere, y değişkenine bağlı değişimi



Şekil 3-9 Örnek oda için (3.24) denkleminin entegral işaretti altındaki kısmının, $y = 0,50$ m sabit olmak üzere, z değişkenine bağlı değişimi

Şekil 3-9' da ise aynı oda ve aynı gözleme noktası için C düzlemi üzerindeki değişken z iken, $y = 0,50 \text{ m}$ ' deki (3.24) denkleminde entegral işaretin altındaki foksiyonun eğrisi gösterilmiştir. Şekil 3-9' da $z = a = 1 \text{ m}$ ' den sonra, yani gözleme noktasının yüksekliği pencere alt kenar yüksekliğini aşlığında, (3.15) denklemelerinin etkisi ile eğrinin şeşlinin değiştiği açıkça gözükmektedir.

3.3. E/LZ FAKTÖRÜNÜ KULLANIMINDA BİLGİSAYAR UYGULAMASI

Gündüz kullanılan hacimlerde yapay aydınlatma tasarımının, ekonomiklik faktörünü içerebilmesi için, doğal ışiktan kaynaklanan aydınlichkeit düzeyi dağılımına göre yapılması gereklidir. Otomatik ışık kontrolları kullanılsın ya da kullanılmamasın, gerekli aydınlichkeit düzeylerinin doğal ışıkla sağlandığı yerleri ayrıca yapay ışıkla gereksiz yere tekrar aydınlatarak enerji savurganlığını yapılmaması için, aydınlatma tasarımını yapılacak olan hacimlerin, tasarımın başlangıç evresinde aydınlichkeit düzeyi haritalarını çıkartmakta yarar vardır.

Bu çalışmada, yukarıda belirtilen amaca hizmet etmek üzere birbirini tamamlayan iki bilgisayar programı hazırlanmıştır. FORTRAN 77 dilinde yazılmış olan programlardan birincisi, ELZET programı, plandan ve bina tasarımcısından alınabilecek verileri kullanarak istenilen hacimlerdeki E/LZ haritalarını çıkarır, bunları sayısal veya grafik olarak bastırır. İkincisi, EDEG programı, ise zaman içinde belirli bir an için odada var olacak aydınlichkeit düzeyi dağılımını ve belirli bir ortalama aydınlichkeit düzeyine göre o anda yapay aydınlatma tarafından tamamlanması gereken aydınlichkeit düzeyi değerlerini ve yerlerini verir.

3.3.1. ELZET PROGRAMI

ELZET programı çift amaçlı bir programdır. Hem EDEG programına gerekli verileri sağlar, hem de kapalı gök tipi için zaman içinde değişimeyecek E/LZ faktörleri dağılımını kullanıcıya verir. Bu dağılım bir oda için bir kere elde edildikten sonra, EDEG programı yardımıyla istenilen her an için aydınlichkeit düzeyi diyagramları elde edilebilir.

ELZET programı iki ana bölümden oluşmaktadır. Birinci bölümde, dolaysız ışık alan düzlemler A, B, B1, C ve isteniyorsa yüksekliği ayrıca belirlenen bir çalışma düzleminde (WP) dolaysız gök ışığından kaynaklanan ve varsa dış engellerden yansıyıp gelen ışıkta kaynaklanan E/LZ faktörlerinin değerleri, pencere camının geçirgenliği de hesaba katılarak bulunmaktadır. İkinci bölümde ise iç yansımalar Simpson sayısal entegral yöntemiyle hesaplanmaktadır. Bu bölümde, daha önce de belirtildiği gibi, ikinci yansımadan sonrası hesaba katılmamış ve aşağıda, Şekil 3-1' deki duvar kodlarıyla belirtilen şu yansımalar hesaplanmıştır :

birinci yansımalar:

C-B	B-C	C-B1	B-A1	B-C1
A-B	B1-C	A-B1	C-A1	B1-C1
B1-B	A-C	B-B1	B1-A1	A-C1
			A-A1	C-C1

ikinci yansımalar:

B-A	C-A	B1-A	A1-A	C1-A
veya				
B-WP	C-WP	B1-WP	A1-WP	C1-WP

İç yansımalarдан elde edilen sonuçlar, çalışma düzlemini veya zemin üzerinde birinci bölümde elde edilmiş olan dolaysız gök ışığından ve/veya dış yansımış bileşenden kaynaklanan değerlere eklenerek oda içindeki E/LZ faktörleri dağılımı bulunur.

ELZET programı interaktif çalışan bir programdır. Programı kullanan kişinin, program çalışırken, aşağıda belirtilen soruların hepsini veya bir kısmını cevaplaması gerekmektedir.

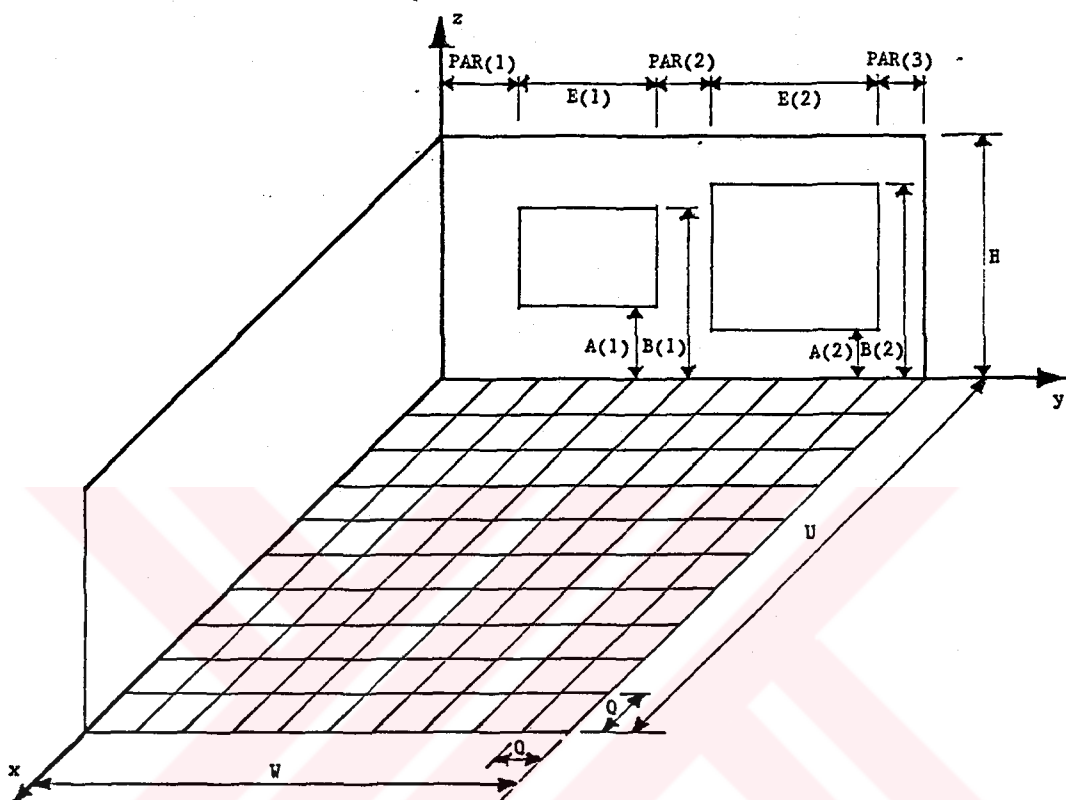
- 1) Odanın genişliğini (W) yazınız.
- 2) Odanın derinliğini (U) yazınız.
- 3) Odanın yüksekliğini (H) yazınız.
- 4) Odadaki pencere sayısını yazınız.
- 5) Şema 1' e göre , 1. pencere orijine en yakın pencere olmak üzere, pencere alt kenar yüksekliklerini (A) sıra ile yazınız.
- 6) Pencere üst kenar yüksekliklerini (B) sıra ile yazınız.
- 7) Pencere genişliklerini (E) sıra ile yazınız.
- 8) Duvar-pencere, pencere-pencere, pencere-duvar aralıklarını (PAR) sıra ile yazınız.

- 9) Sırasıyla: duvar, tavan ve zemin ışık yansıtma katsayılarını yazınız.
- 10) Pencere camlarının ışık geçirme katsayısını yazınız.
- 11) Minimum 0.25 m olmak üzere, tarama aralığını (Q) seçiniz.
- 12) Aşağıdaki yüksekliklerden birini çalışma düzlemi yüksekliği olarak seçiniz.
- 13) Şema 2' ye göre, engel yüksekliğini (HE) yazınız.
- 14) Odanın zemin kodunu (HZ) yazınız.
- 15) Engel ve bina arasındaki uzaklığı (C) yazınız.

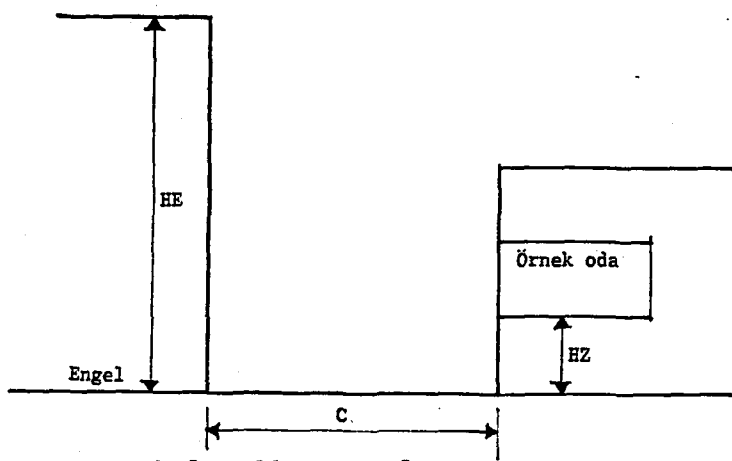
Aşağıda, sorulara ait gerekli açıklamalar yapılmıştır.

- 1)2)3) W, U ve H içten içe uzaklıklar olarak metre cinsinden verilmelidir.
- 4) ELZET programı tek duvarda penceresi olan hacimler için yazılmıştır. Birden fazla duvarda pencere varsa, ancak iç yansımalar kısmını ihmal edilerek ve program, her bir pencere duvarı için ayrı ayrı çalıştırılarak ve çalışma düzleminde gerekli uygulamalar yapılarak kullanılabilir. Eğer böyle bir amaç güdülüyorsa, 406 numaralı deyimden hemen sonra programa bir GOTO 610
- 620 numaralı deyimden hemen sonra bir GOTO 1000 deyimi eklenmeli ve,
- "Dolaysız ışık alan düzlemlerdeki, pencereden kaynaklanan E/LZ faktörleri dağılımının yoğunluk grafiklerini görmek istiyor musunuz? İstiyorsanız: 1, istemiyorsanız: 0 yazınız."
- sorusuna "1" ile cevap verilmelidir.
- 5)6)7)8) Pencere alt kenar yüksekliği, pencere üst kenar yüksekliği, pencere genişliği ve duvar-pencere, pencere-pencere, pencere-duvar aralıkları pencere camına, yani ışık geçiren yüzeye göre metre cinsinden istenmektedir. Şema 1, Şekil 3-10' da gösterilmiştir.
- 9)10) Işık geçirme ve yansıtma katsayıları, % cinsinden değil, reel sayı olarak istenmektedir. Örneğin, ışık yansıtma katsayısı $\rho = \% 60$ ise bu sayının bilgisayara veriliş şekli 0.60 olmalıdır.
- 11) Tarama aralığı Q, E/LZ faktörleri dağılımının hangi noktalarda hesaplanacağını belirler. Q eğer 0,25 m' den farklı alınacak ise DIMENSION deyimlerinin değiştirilmesi gereklidir. Bilgisayar bellek kapasitesi ve hızı yeterli ise 0,25 m' den küçük tarama aralıkları

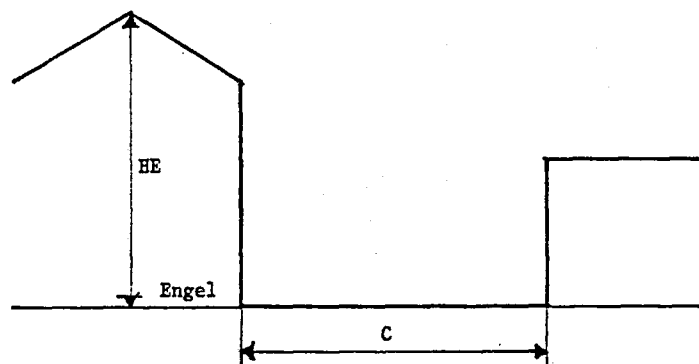
da seçilebilir, ancak bu durumda tüm matrislerin boyutları büyümektedir ve yapılacak hesap sayısı artmaktadır. Buna karşılık, Q' nun değerinin büyütülmesi durumunda, sayısal entegraller dahil tüm hesaplar bu tarama aralığına göre yapıldığından ve örneklemme sayısı azaltıldığından hesaplardaki hassasiyet düşer.



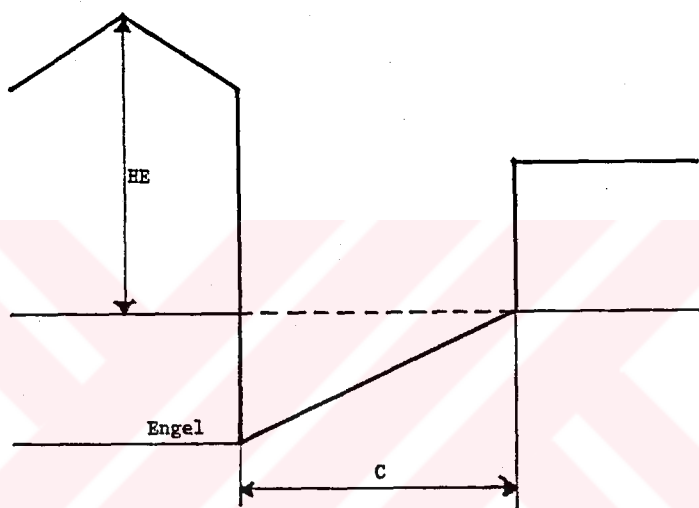
Şekil 3-10 Şema 1



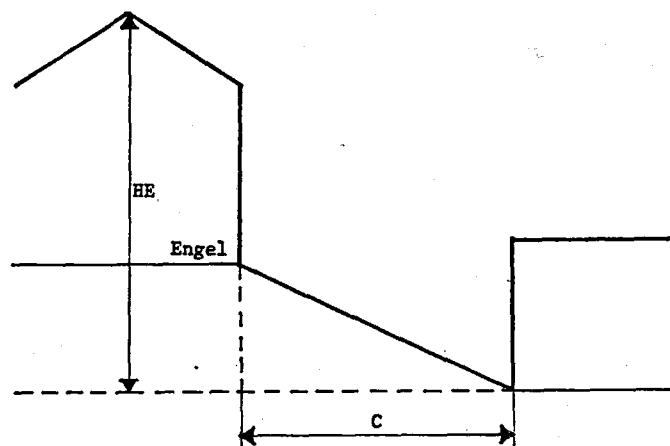
Şekil 3-11 Şema 2



(a) Engel ve örnek hacimin içinde bulunduğu bina aynı seviyede



(b) Engel zemin kodu, örnek hacimin içinde bulunduğu binanın zemin kodundan düşük



(c) Engel zemin kodu, örnek hacimin içinde bulunduğu binanın zemin kodundan yüksek

Sekil 3-12 Engel zemin kodunun belirlenmesi

- 12) Bu soruda çalışma düzlemi yüksekliği olarak önerilen yükseklikler tarama aralığı Q' nun tam katlarıdır. Eğer çalışma düzlemi yüksekliği hassasiyetinden vazgeçilemiyor ise, Q' nun değeri, Q' nun bir tam katı bu yüksekliği verecek şekilde ve Q' nun belirlenmesinde göz önünde bulundurulması gereken tüm noktalara dikkat edilerek değiştirilmelidir.
- 13) Engel yüksekliği HE, engel olarak kabul edilen binanın zemin koduna göre değil, örnek hacimin içinde bulunduğu binanın zemin koduna göre belirlenir (Şekil 3-12). Şema-2, Şekil 3-11' de gösterilmiştir.
- 14) Oda zemin kodu HZ, engel yüksekliği HE gibi, kendi içinde bulunduğu binanın zemin koduna göre metre cinsinden belirlenir.
- 15) Bu çalışmada engelin, örnek hacimin içinde bulunduğu binaya paralel olduğu varsayıldığından, C mesafesi Şekil 3-12'deki gibi belirlenir.

Soruların cevapları, bilgisayar terminalinin ekranında sorunun arkasından "?" işaretinin çıktığından sonra verilmeli ve her bir soruda istenen soruya göre cevaplar, virgül ile ayrılarak yazılmalıdır.

Program çalıştırılmadan önce, E/LZ faktörleri haritası çıkarılacak hacime ait veriler hazırlanmalı ve bu verilere göre aşağıda gösterilen hesaplar ve bunlara bağlı program üzerindeki değişiklikler yapılmalıdır. FORTRAN 77 bilgisayar dilinde, ana programda DIMENSION ve hem ana hem de alt programlarda FORMAT deyimleri içerisinde değişken kullanılmadığından, bu deyimlerdeki boyutlandırmaların her özel hacime göre ayrıca yapılması gerekmektedir.

IPEN : Odadaki pencere sayısı

U : odanın derinliği [m]

W : Odanın genişliği [m]

H : Odanın yüksekliği [m]

Q : tarama aralığı

NX : $\left(\frac{U}{Q} - 1 \right)$ sayısının kesir bölümü

NY : $\left(\frac{W}{Q} - 1 \right)$ sayısının kesir bölümü

NZ : $(\frac{H}{Q} - 1)$ sayısının kesir bölümü

NM : NX, NY ve NZ arasında en büyük olanı

olmak üzere ELZET ana programının DIMENSION deyimi bu değişkenler cinsinden

DIMENSION A(IPEN), B(IPEN), E(IPEN), PAR(NM), D(IPEN), D1(IPEN),
ZD(NM), FEB(NX,NZ), FEB1(NX,NZ), FEC(NY,NZ), FEA(NX,NY),
AM(NM,NM), WPM(NM,NM), FEWP(NX,NY), FXY(NM,NM),
XM(NM,NM), NFX(NM,NM), BUF(NM,NM), ZH(NM)

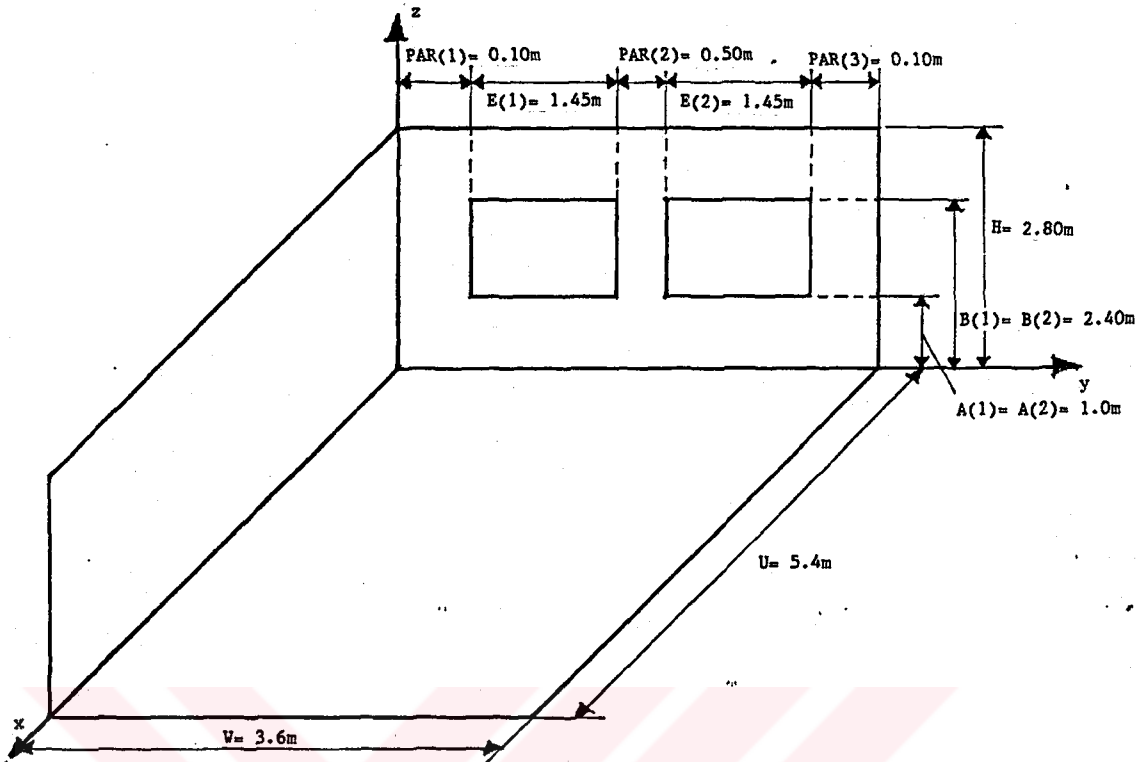
şeklinde ifade edilebilir.

ELZET programının kullandığı tüm alt programlara, dizi ve matris boyutları değişken olarak aktarıldığından, buralarda bir değişiklik yapılması gerekmemektedir. Ancak, programın doğru işleyebilmesi, matrislerin alt programlar ile ana program arasında düzgün taşınabilmesi için yukarıdaki değerlerin doğru verilmeleri gerekmektedir.

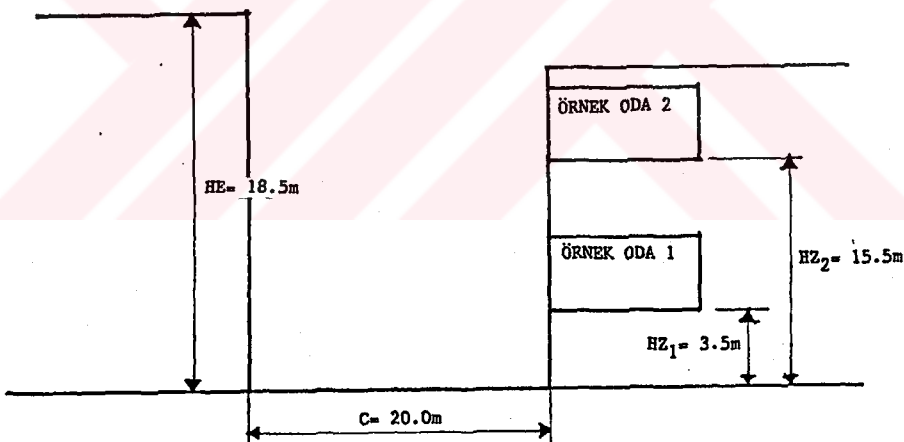
ELZET programının EDEG' e veri olarak kullanılacaklar dışındaki tüm çıkışlarını W5, W5B, W5C, GGA, GGB ve GGC alt programları gerçekleştirdiklerinden, Q' nun veya oda boyutlarının değişmesi halinde bu alt programlardaki FORMAT deyimleri değiştirilmelidirler. Ana programda, EDEG' e veri hazırlayan çıkışların FORMAT deyimlerinde herhangi bir değişiklik yapmaya gerek yoktur. Kullanım kolaylığı açısından, alt programlardaki FORMAT deyimlerinde değişmesi gereken yerler Ek E' de verilmişlerdir.

ELZET programının kullanımına örnek olmak üzere, Şekil 3-13' de boyutları ve Şekil 3-14' de engel ile ilişkileri belirlenmiş olan, aynı bina içerisindeki aynı tipte iki hacim ele alınmıştır.

Söz konusu hacimlerde,
duvarların ışık yansıtma katsayıları : 0.6,
tavanın ışık yansıtma katsayıısı : 0.8,
zeminin ışık yansıtma katsayıısı : 0.3,
pencere camlarının ışık geçirgenlikleri : 0.75,
tarama aralığı : 0.25 m,
çalışma düzlemi yüksekliği : 0.75 m alınmıştır.



Şekil 3-13 Örnek hacimin boyutları



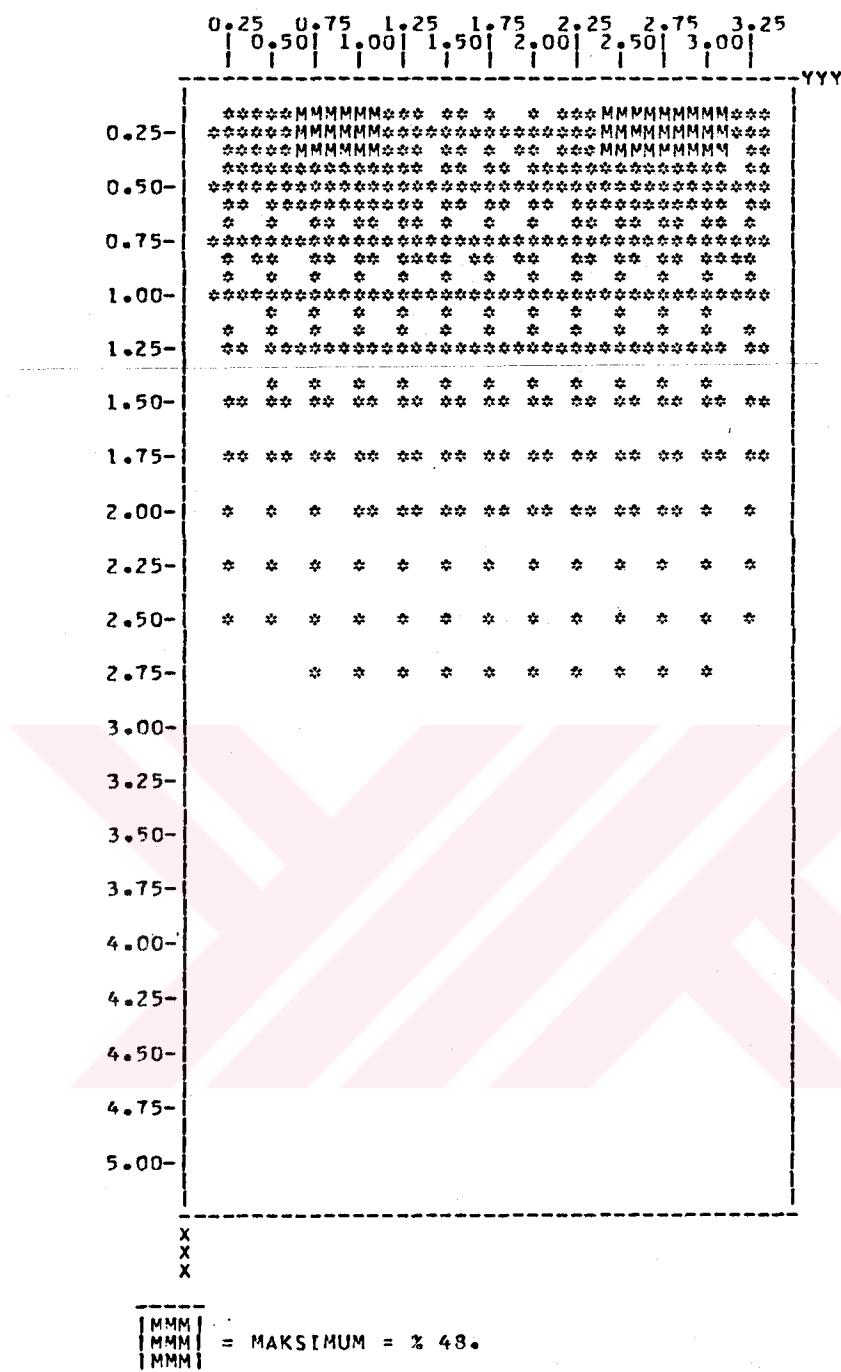
Şekil 3-14 Örnek hacimin engel ile ilişkileri

ELZET programının akış diyagramı Ek F' de, programın dökümü ise Ek G de verilmiştir.

Örnek oda 1 için sonuçlar :

	0,25	0,50	0,75	1,00	1,25	1,50	1,75	2,00	2,25	2,50	2,75	3,00	3,25	YYY
0,25-	36	45	48	48	44	35	26	31	41	47	48	46	40	
0,50-	33	40	44	44	41	36	32	34	40	44	44	42	36	
0,75-	25	31	33	34	33	31	29	30	32	34	34	32	28	
1,00-	19	23	25	26	25	25	24	24	25	26	25	24	21	
1,25-	15	17	18	19	19	19	19	19	19	19	19	18	16	
1,50-	11	13	14	14	15	15	15	15	15	15	15	14	12	
1,75-	8	9	10	10	11	11	11	11	11	11	11	10	9	
2,00-	6	7	7	8	8	8	8	8	8	8	8	7	6	
2,25-	4	5	5	5	6	6	6	6	6	6	6	5	5	
2,50-	3	3	4	4	4	4	4	4	4	4	4	4	3	
2,75-	2	2	3	3	3	3	3	3	3	3	3	2	2	
3,00-	1	2	2	2	2	2	2	2	2	2	2	2	2	
3,25-	1	1	1	1	1	1	1	1	1	1	1	1	1	
3,50-	1	1	1	1	1	1	1	1	1	1	1	1	1	
3,75-	0	0	0	0	0	0	0	0	0	0	0	0	0	
4,00-	0	0	0	0	0	0	0	0	0	0	0	0	0	
4,25-	0	0	0	0	0	0	0	0	0	0	0	0	0	
4,50-	0	0	0	0	0	0	0	0	0	0	0	0	0	
4,75-	0	0	0	0	0	0	0	0	0	0	0	0	0	
5,00-	0	0	0	0	0	0	0	0	0	0	0	0	0	

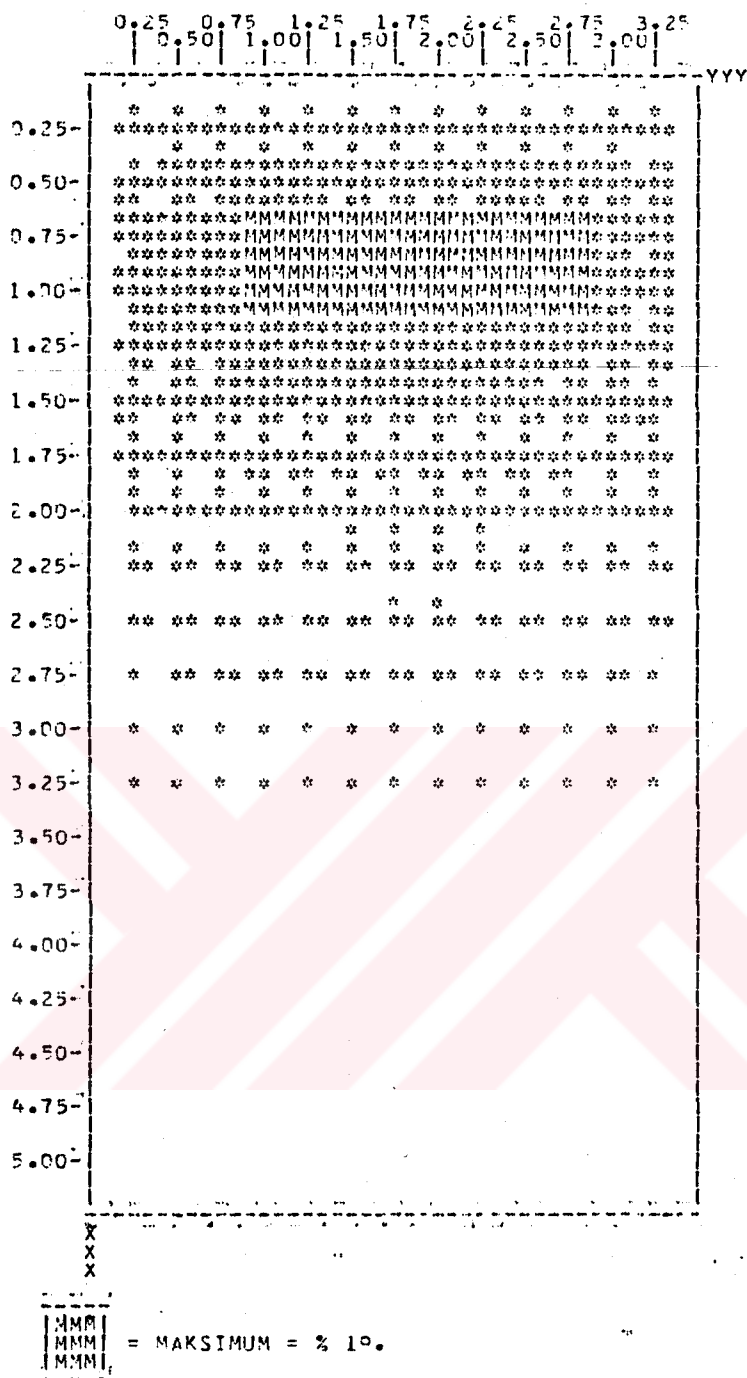
Şekil 3-15 Çalışma düzleminde pencereden kaynaklanan E/LZ faktörleri dağılımı [%]



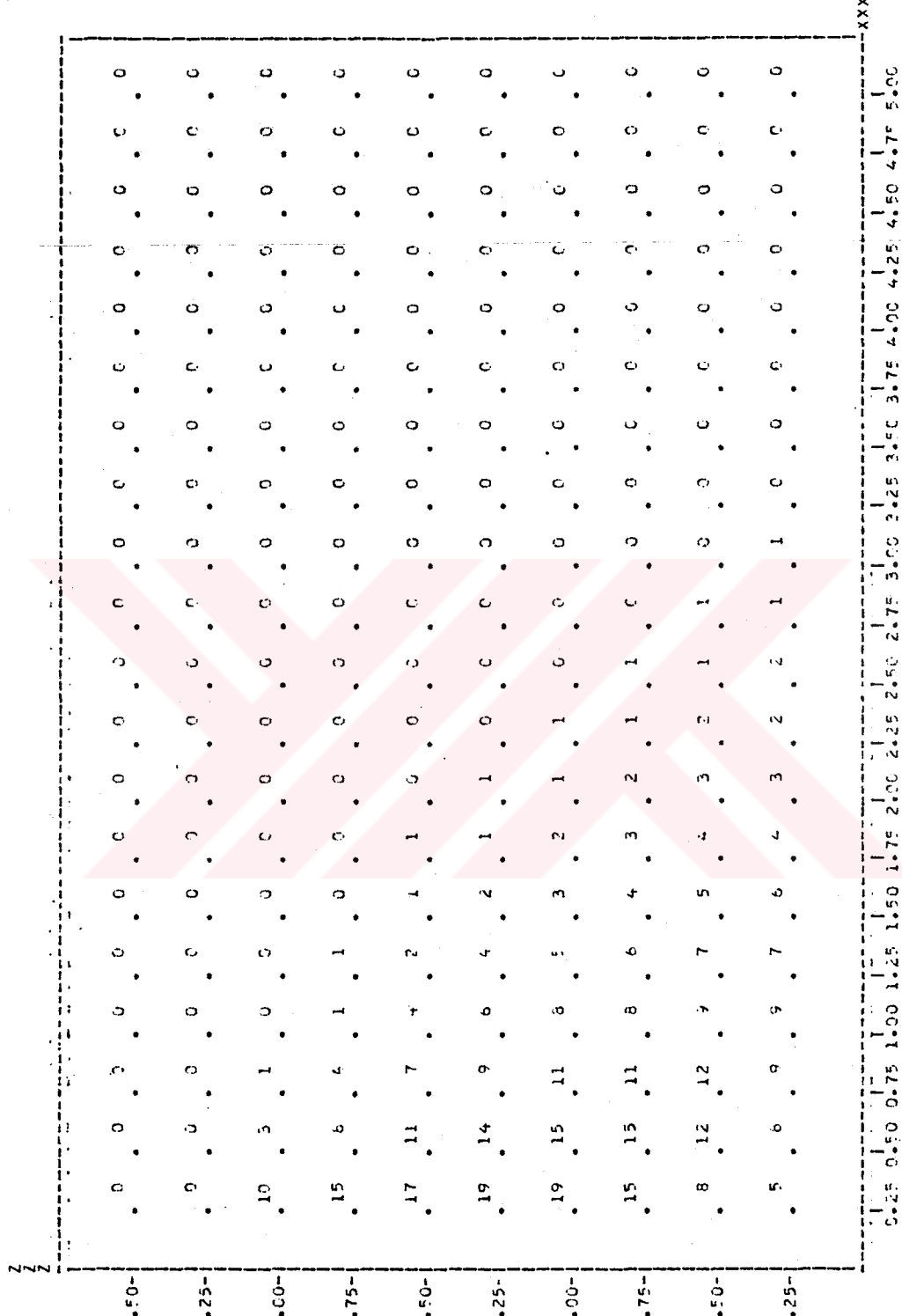
Şekil 3-16 Çalışma düzleminde pencereden kaynaklanan E/LZ faktörleri dağılımı yoğunluk grafiği

	0.25	0.50	0.75	1.00	1.25	1.50	1.75	2.00	2.25	2.50	2.75	3.00	3.25
	0.25	0.50	0.75	1.00	1.25	1.50	1.75	2.00	2.25	2.50	2.75	3.00	3.25
0.25+	9	9	10	10	10	10	9	10	10	10	10	9	8
0.50+	13	15	15	17	17	16	14	16	17	17	16	15	13
0.75+	15	17	17	19	19	19	19	19	19	19	19	18	16
1.00+	15	17	18	19	19	19	19	19	19	19	19	17	15
1.25+	13	15	15	17	19	18	18	18	19	18	17	16	14
1.50+	12	13	14	15	15	16	14	16	15	15	15	14	12
1.75+	10	11	12	13	13	14	14	14	14	13	12	12	11
2.00+	9	10	10	11	11	12	12	12	11	11	11	10	9
2.25+	7	8	7	9	9	10	10	10	10	9	9	8	8
2.50+	6	7	7	8	8	8	9	9	9	8	7	7	7
2.75+	5	6	6	6	7	7	7	7	7	7	6	6	6
3.00+	5	5	5	5	6	6	6	6	6	5	5	5	5
3.25+	4	4	4	5	5	5	5	5	5	5	4	4	4
3.50+	3	4	4	4	4	4	4	4	4	4	4	4	3
3.75+	3	3	3	3	3	3	3	3	3	3	3	3	3
4.00+	2	3	3	3	3	3	3	3	3	3	3	3	3
4.25+	2	2	2	2	2	3	3	3	3	2	2	2	2
4.50+	2	2	2	2	2	2	2	2	2	2	2	2	2
4.75+	2	2	2	2	2	2	2	2	2	2	2	2	2
5.00+	1	1	2	2	2	2	2	2	2	2	2	2	1

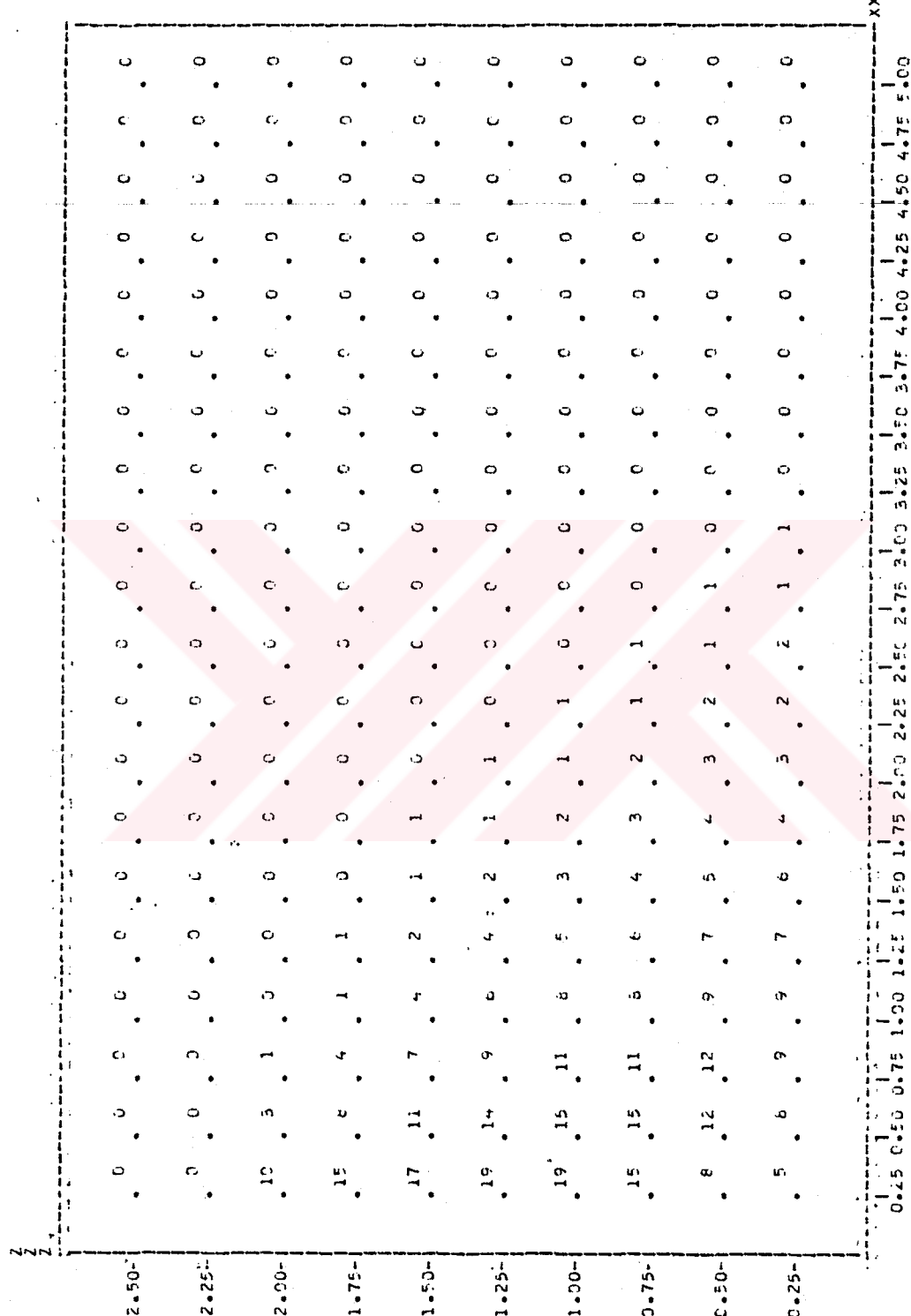
Şekil 3-17 A düzleminde pencereden kaynaklanan E/LZ faktörleri dağılımı [%]



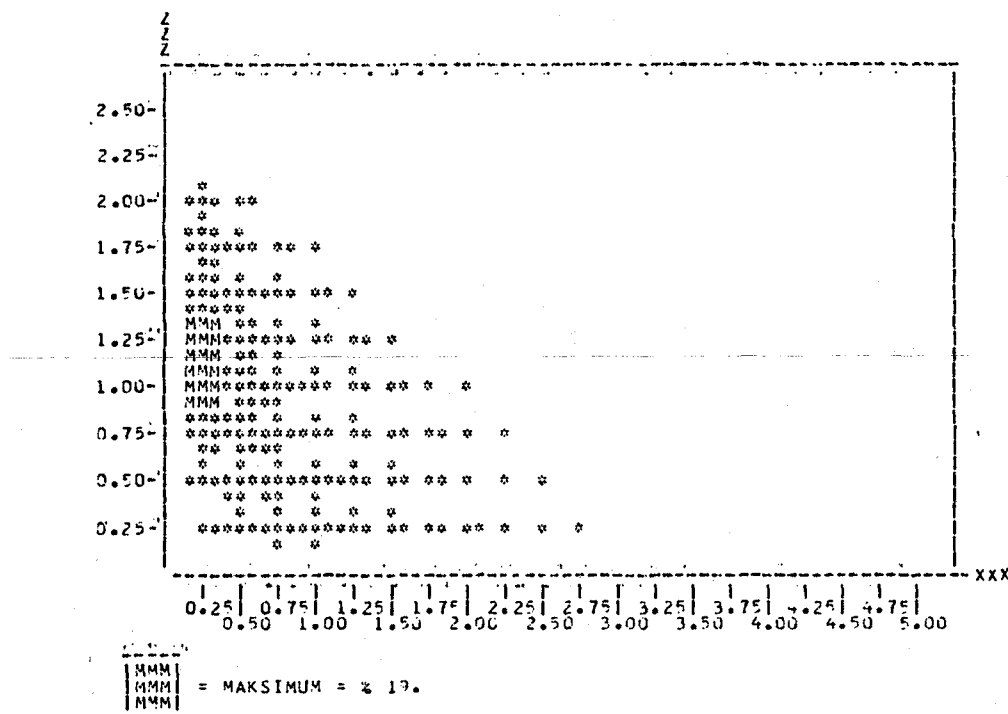
Şekil 3-18 A düzleminde pencereden kaynaklanan E/LZ faktörleri dağılımı yoğunluk grafiği



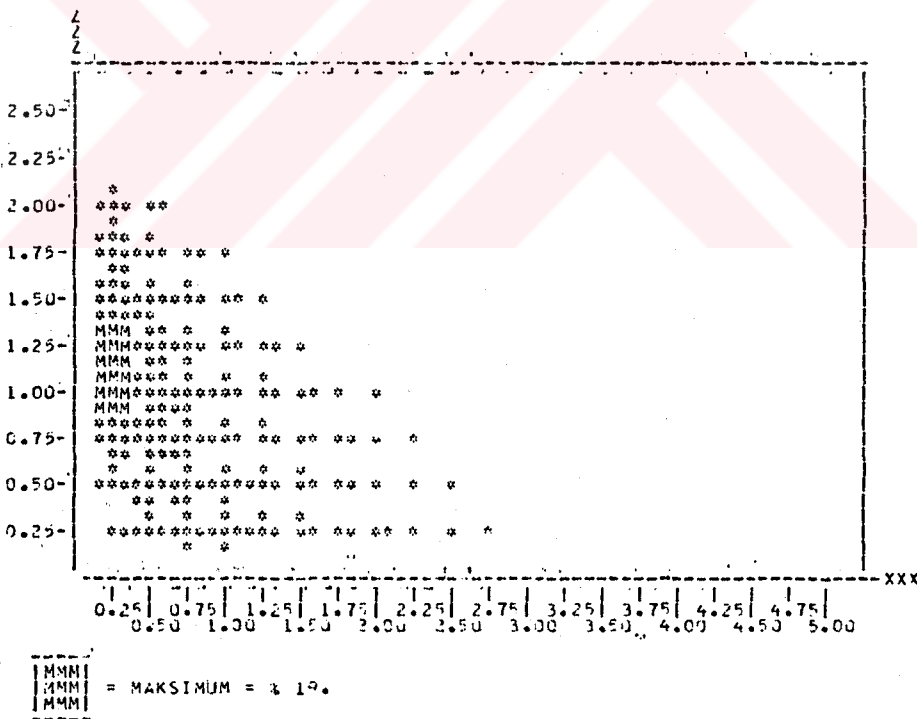
Şekil 3-19 B düzleminde pencereden kaynaklanan E/LZ faktörleri dağılımı [%]



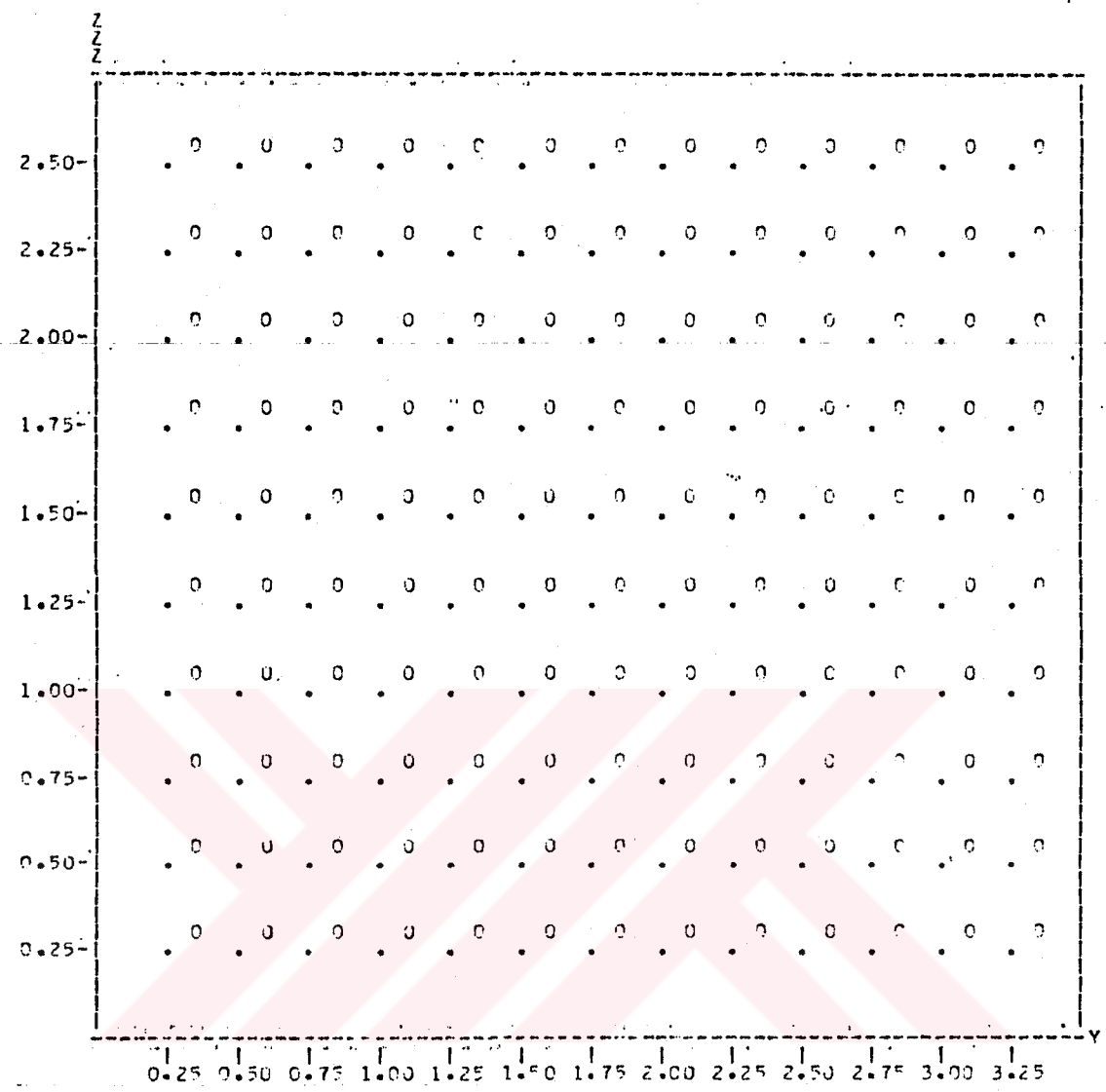
Şekil 3-20 B1 düzleminde pencereden kaynaklanan E/LZ faktörleri dağılımı [%]



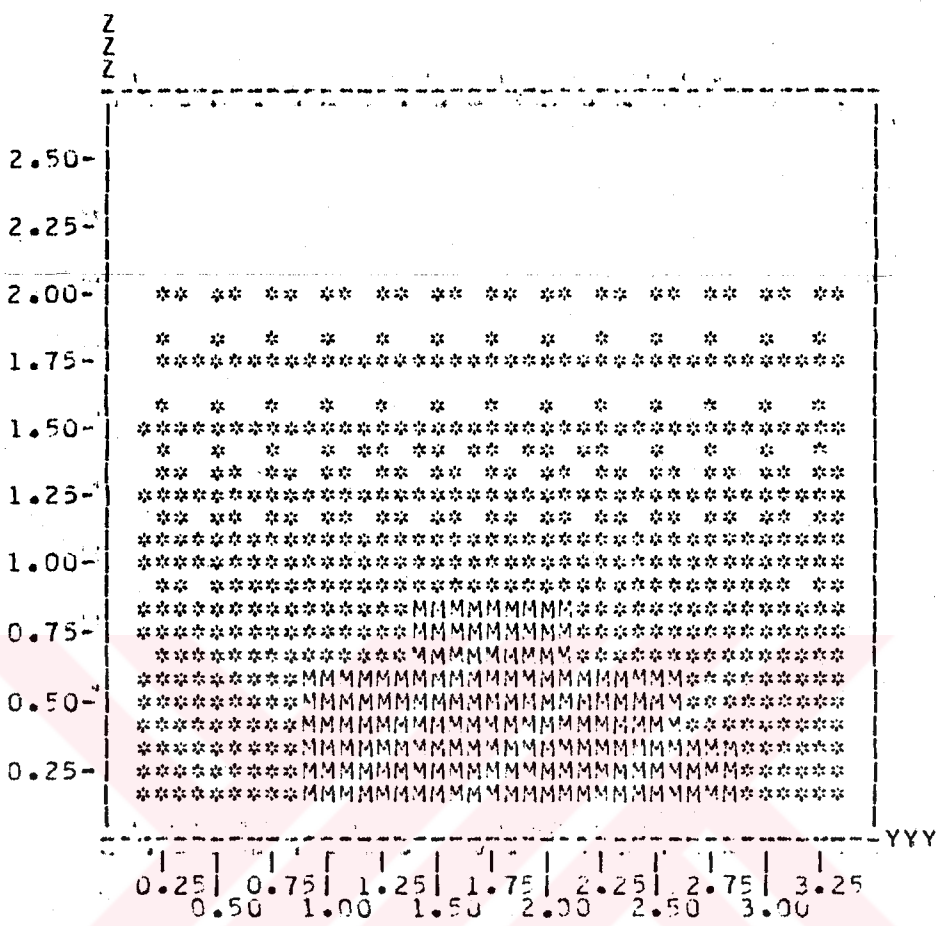
Şekil 3-21 B düzleminde pencereden kaynaklanan E/LZ faktörleri dağılımı yoğunluk grafiği



Şekil 3-22 B1 düzleminde pencereden kaynaklanan E/LZ faktörleri dağılımı yoğunluk grafiği

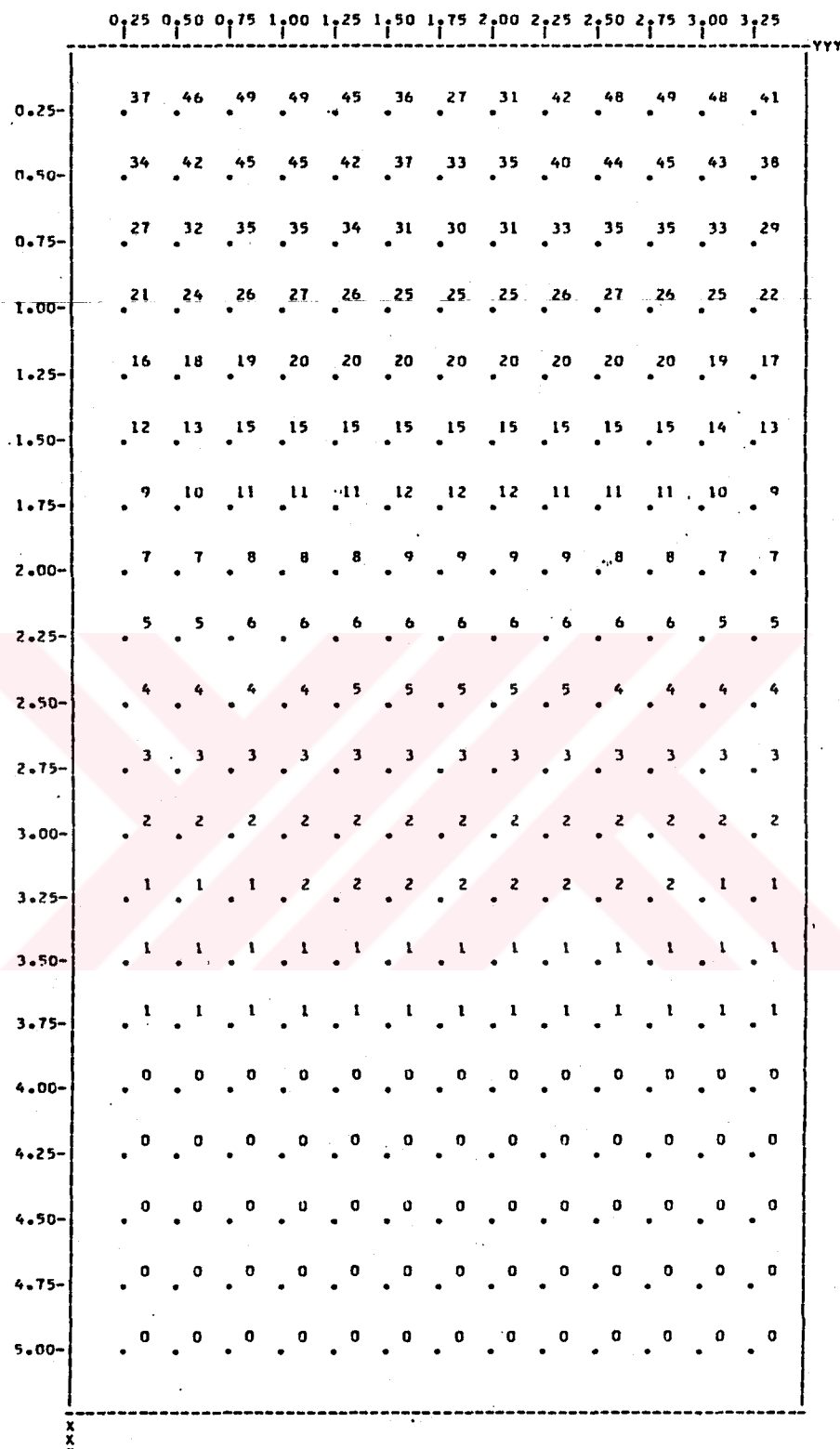


Şekil 3-23 C düzleminde pencereden kaynaklanan E/LZ faktörleri dağılımı [%]

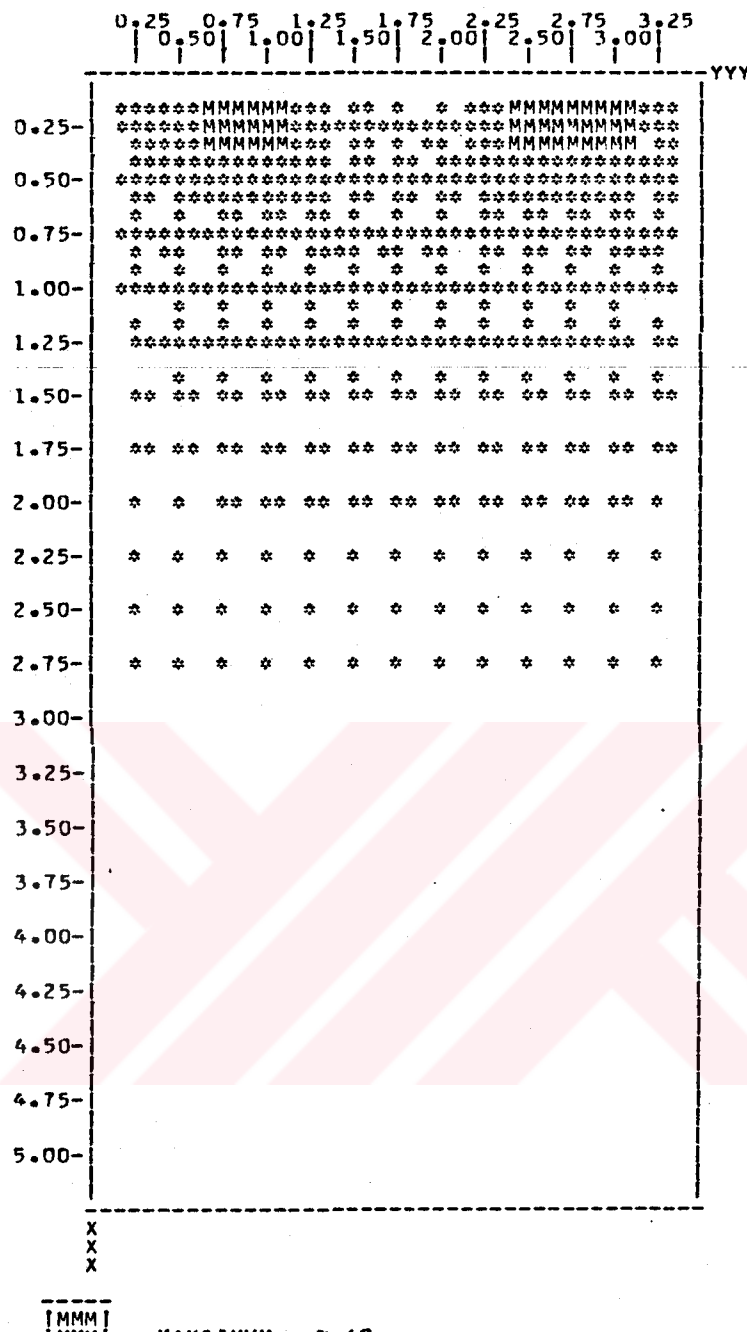


[MMM] = MAKSIMUM = % 0.
 [MMM]
 [MMM]

Şekil 3-24 C düzleminde pencereden kaynaklanan E/LZ faktörleri dağılımı yoğunluk grafiği



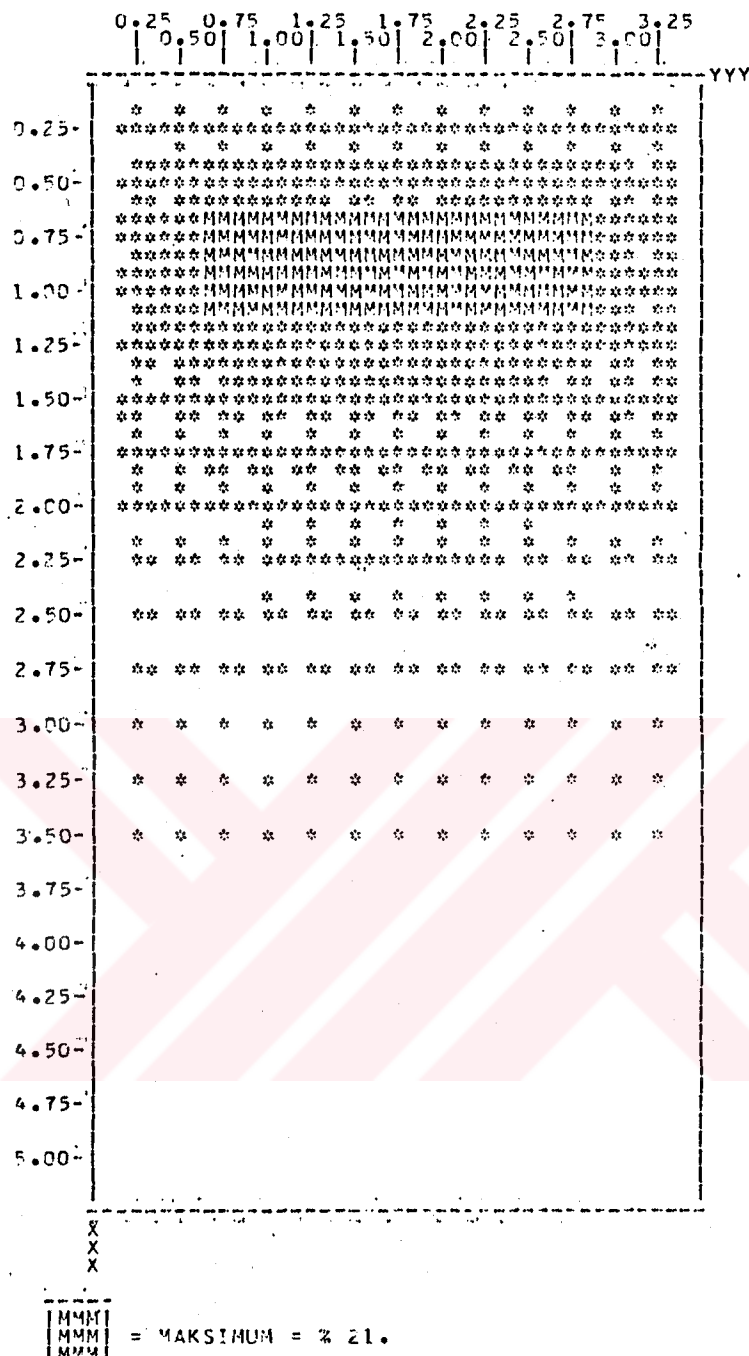
Şekil 3-25 Çalışma düzleminde pencereden ve iç yansımalarlardan kaynaklanan E/LZ faktörleri dağılımı [%]



Şekil 3-26 Çalışma düzleminde pencereden ve iç yansımalarlardan kaynaklanan E/LZ faktörleri dağılımı yoğunluk grafiği

	0,25	0,50	0,75	1,00	1,25	1,50	1,75	2,00	2,25	2,50	2,75	3,00	3,25	YYY
X	9	10	11	11	11	11	11	11	11	11	11	11	11	9
0,25-	14	16	18	18	18	18	17	17	18	18	18	17	15	
0,50-	17	19	20	21	21	20	20	20	21	21	20	19	18	
0,75-	16	19	20	20	21	21	21	21	21	21	20	19	17	
1,00-	15	17	18	19	19	19	19	19	19	19	18	17	16	
1,25-	13	14	15	16	16	16	16	16	16	16	16	15	14	
1,50-	10	11	12	12	13	13	13	13	13	12	12	11	10	
2,00-	8	8	9	9	10	10	10	10	10	9	9	9	8	
2,25-	6	6	7	7	7	7	7	7	7	7	7	7	6	
2,50-	4	5	5	5	5	6	6	6	6	5	5	5	5	
2,75-	3	4	4	4	4	4	4	4	4	4	4	4	3	
3,00-	2	3	3	3	3	3	3	3	3	3	3	3	2	
3,25-	2	2	2	2	2	2	2	2	2	2	2	2	2	
3,50-	1	1	1	1	1	1	1	1	1	1	1	1	1	
3,75-	1	1	1	1	1	1	1	1	1	1	1	1	1	
4,00-	1	1	1	1	1	1	1	1	1	1	1	1	1	
4,25-	0	1	1	1	1	1	1	1	1	1	1	1	1	
4,50-	0	0	1	1	1	1	1	1	1	1	1	0	0	
4,75-	0	0	0	0	1	1	1	1	1	0	0	0	0	
5,00-	0	0	0	0	0	0	0	0	0	0	0	0	0	

Şekil 3-27 A düzleminde pencereden ve iç yansımalarдан kaynaklanan E/LZ faktörleri dağılımı [%]

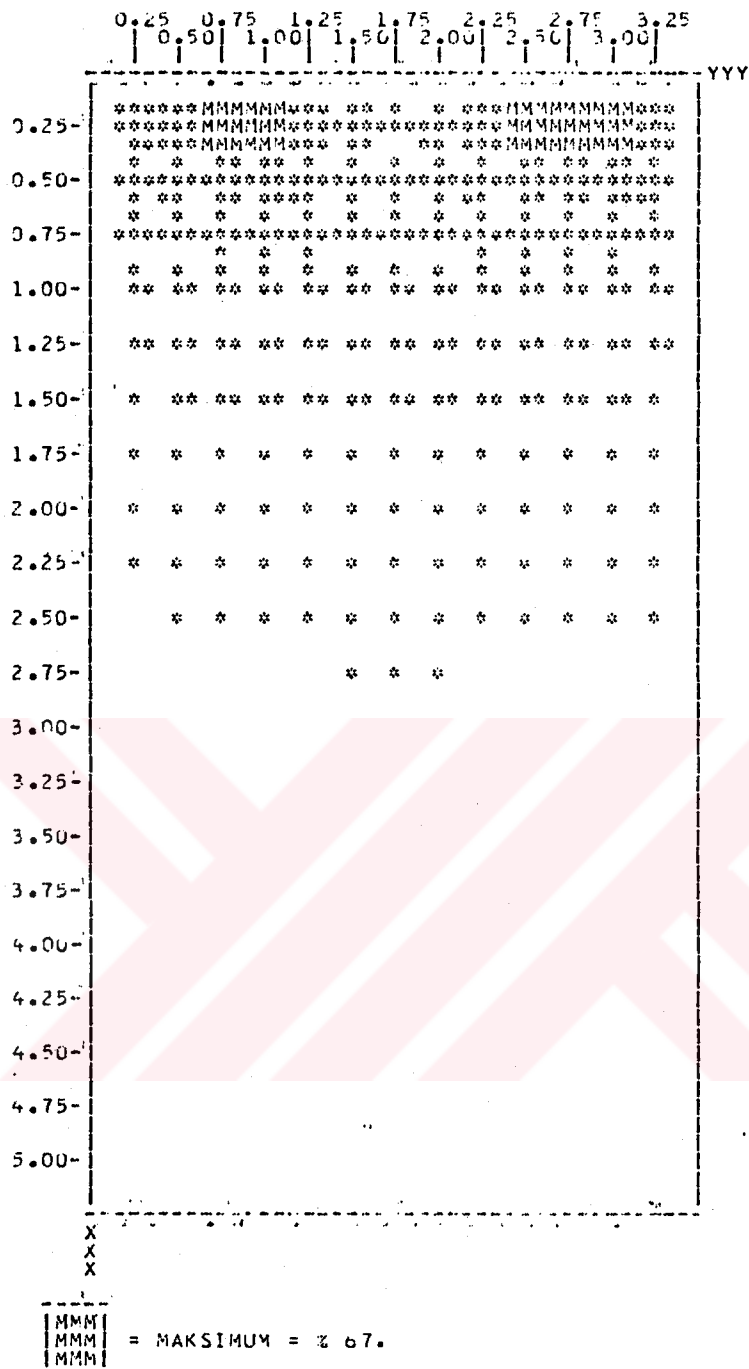


Şekil 3-28 A düzleminde pencereden ve iç yansimalardan kaynaklanan E/LZ faktörleri dağılımı yoğunluk grafiği

Örnek oda 2 için sonuçlar :

	0,25	0,50	0,75	1,00	1,25	1,50	1,75	2,00	2,25	2,50	2,75	3,00	3,25	YYY
0,25-	51	53	67	67	60	46	23	37	58	46	67	65	58	
0,50-	34	43	47	47	43	37	32	34	41	46	47	45	38	
0,75-	26	29	32	33	31	29	27	29	30	32	33	31	26	
1,00-	17	20	22	23	23	22	21	21	22	23	23	21	19	
1,25-	12	14	15	16	17	16	14	16	15	17	14	15	13	
1,50-	9	10	11	12	12	12	12	12	12	12	12	11	10	
1,75-	7	8	9	9	9	9	9	9	9	9	9	8	7	
2,00-	5	6	5	7	7	7	7	7	7	7	7	6	6	
2,25-	4	5	5	5	5	5	5	5	5	5	5	3	4	
2,50-	3	4	4	4	4	4	4	4	4	4	4	4	3	
2,75-	3	3	3	3	3	3	3	3	3	3	3	3	3	
3,00-	2	2	2	3	3	3	3	3	3	3	2	2	2	
3,25-	2	2	2	2	2	2	2	2	2	2	2	2	2	
3,50-	1	2	2	2	2	2	2	2	2	2	2	2	1	
3,75-	1	1	1	1	1	1	1	1	1	1	1	1	1	
4,00-	1	1	1	1	1	1	1	1	1	1	1	1	1	
4,25-	1	1	1	1	1	1	1	1	1	1	1	1	1	
4,50-	1	1	1	1	1	1	1	1	1	1	1	1	1	
4,75-	1	1	1	1	1	1	1	1	1	1	1	1	1	
5,00-	1	1	1	1	1	1	1	1	1	1	1	1	1	

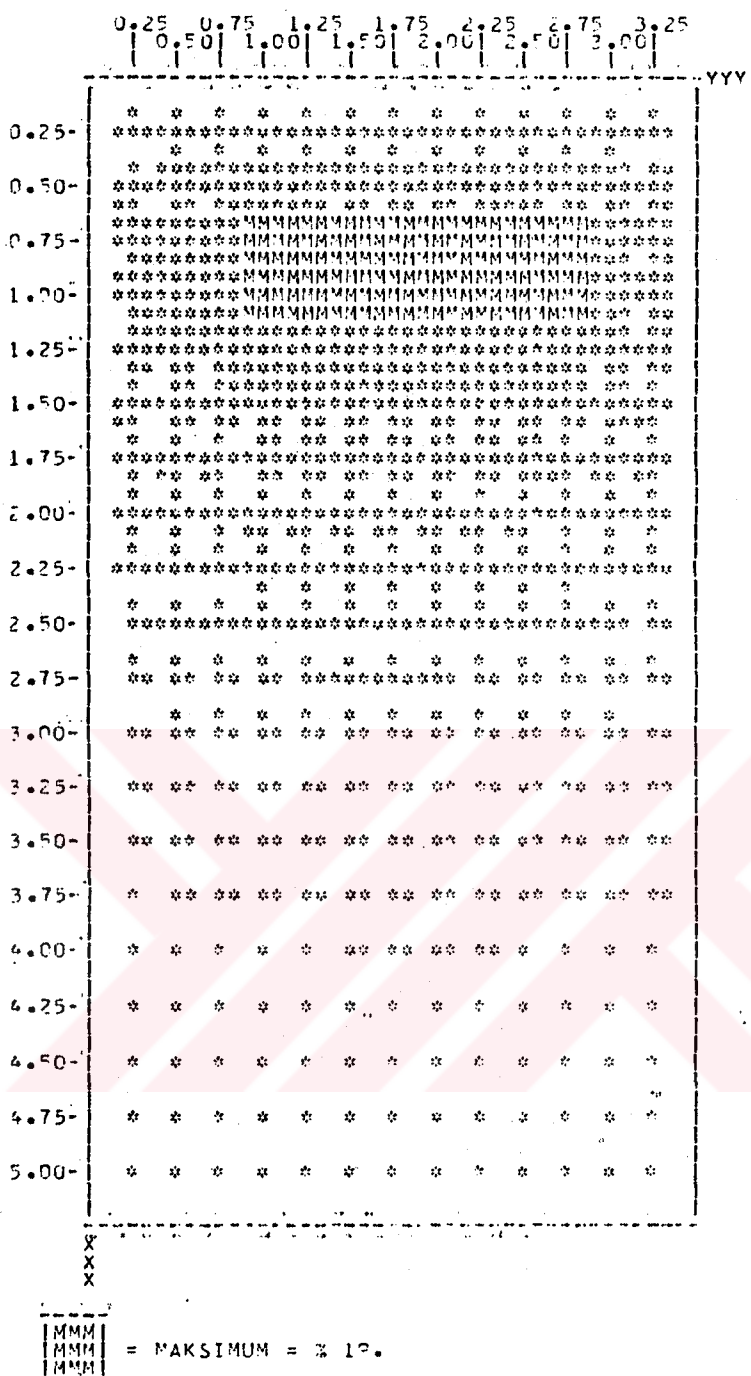
Şekil 3-29 Çalışma düzleminde pencereden kaynaklanan E/LZ faktörleri dağılımı [%]



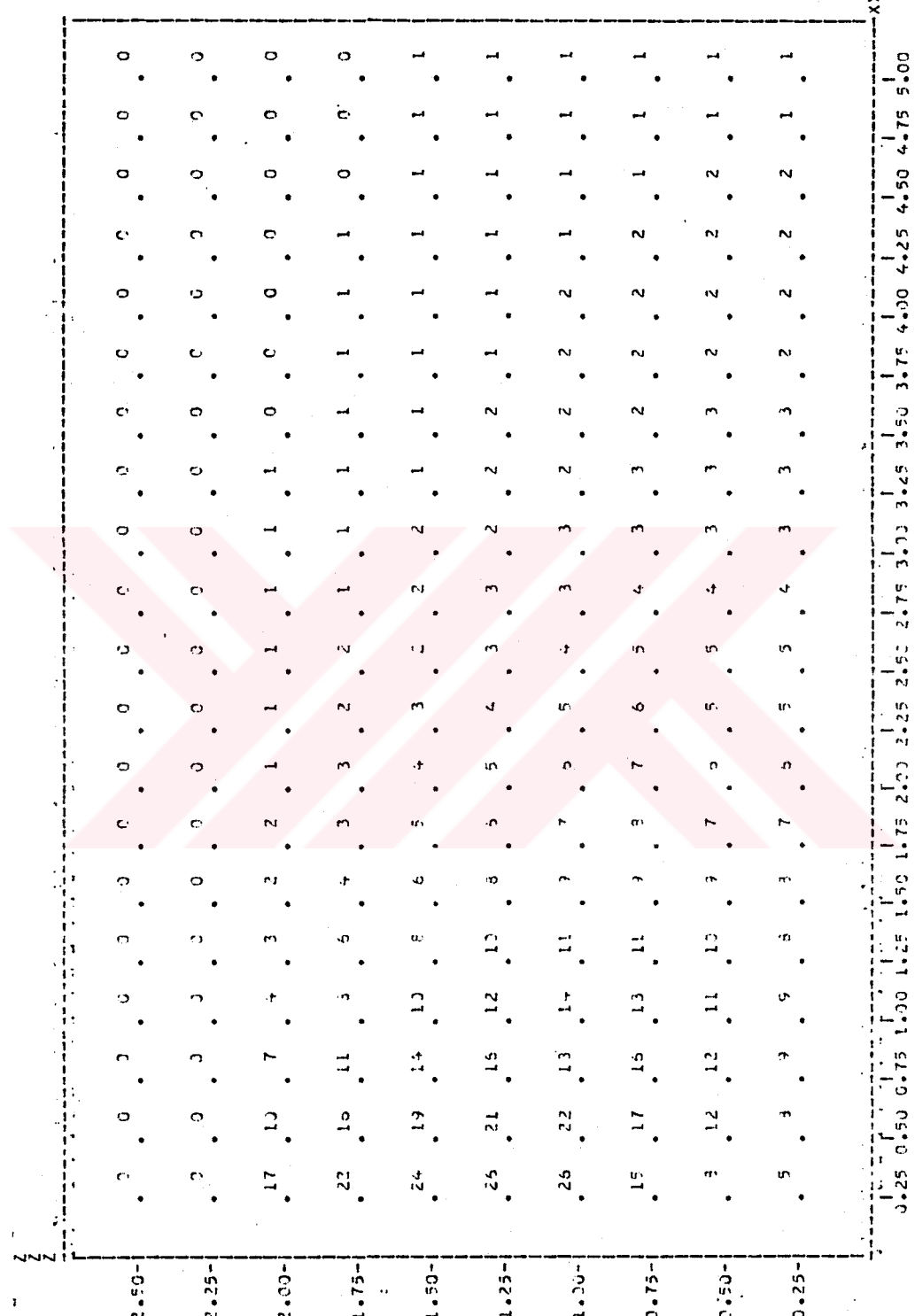
Şekil 3-30. Çalışma düzleminde pencereden kaynaklanan E/LZ faktörleri dağılımı yoğunluk grafiği

	0.25	0.50	0.75	1.00	1.25	1.50	1.75	2.00	2.25	2.50	2.75	3.00	3.25	YYY
0.25	8	9	19	10	10	10	9	10	10	10	10	10	9	9
0.50	13	15	15	17	17	16	16	16	17	17	17	16	15	13
0.75	15	17	19	19	19	19	19	19	19	19	19	19	18	16
1.00	15	17	18	19	19	19	19	19	19	19	19	19	17	15
1.25	13	15	16	17	18	18	18	18	19	19	19	18	16	14
1.50	12	13	14	15	15	15	15	15	15	15	15	14	13	12
1.75	9	10	11	11	12	12	12	12	12	12	11	11	10	9
2.00	7	7	8	8	9	9	9	9	9	9	9	9	9	7
2.25	5	6	6	6	7	7	7	7	7	6	6	6	5	5
2.50	4	4	4	5	5	5	5	5	5	5	5	4	4	4
2.75	3	3	3	3	3	3	3	3	3	3	3	3	3	3
3.00	2	2	2	2	2	2	2	2	2	2	2	2	2	2
3.25	1	1	1	1	2	2	2	2	2	2	1	1	1	1
3.50	1	1	1	1	1	1	1	1	1	1	1	1	1	1
3.75	0	0	0	0	0	0	0	0	0	0	0	0	0	0
4.00	0	0	0	0	0	0	0	0	0	0	0	0	0	0
4.25	0	0	0	0	0	0	0	0	0	0	0	0	0	0
4.50	0	0	0	0	0	0	0	0	0	0	0	0	0	0
4.75	0	0	0	0	0	0	0	0	0	0	0	0	0	0
5.00	0	0	0	0	0	0	0	0	0	0	0	0	0	0

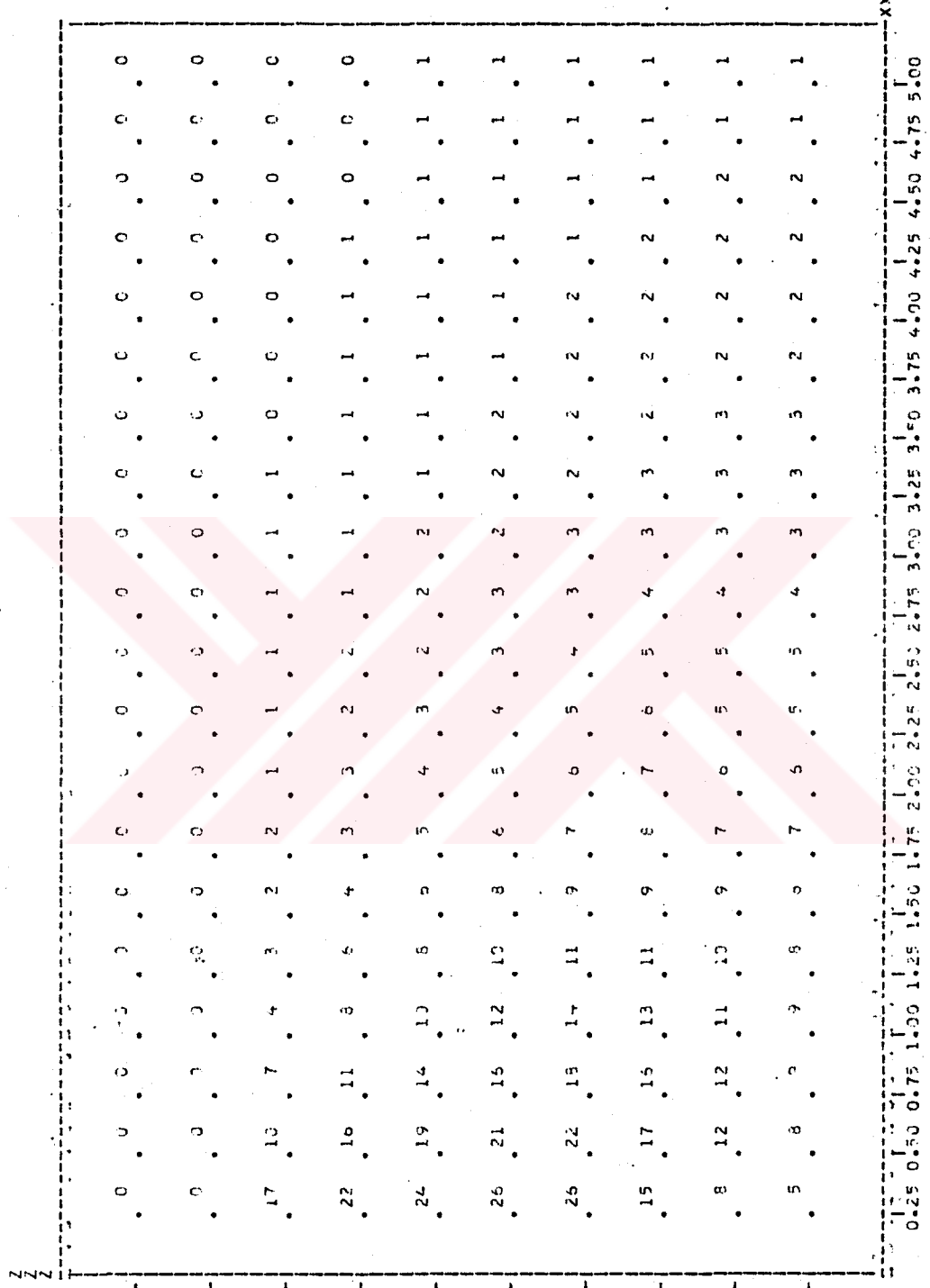
Şekil 3-31 A düzleminde pencereden kaynaklanan E/LZ faktörleri dağılımı [%]



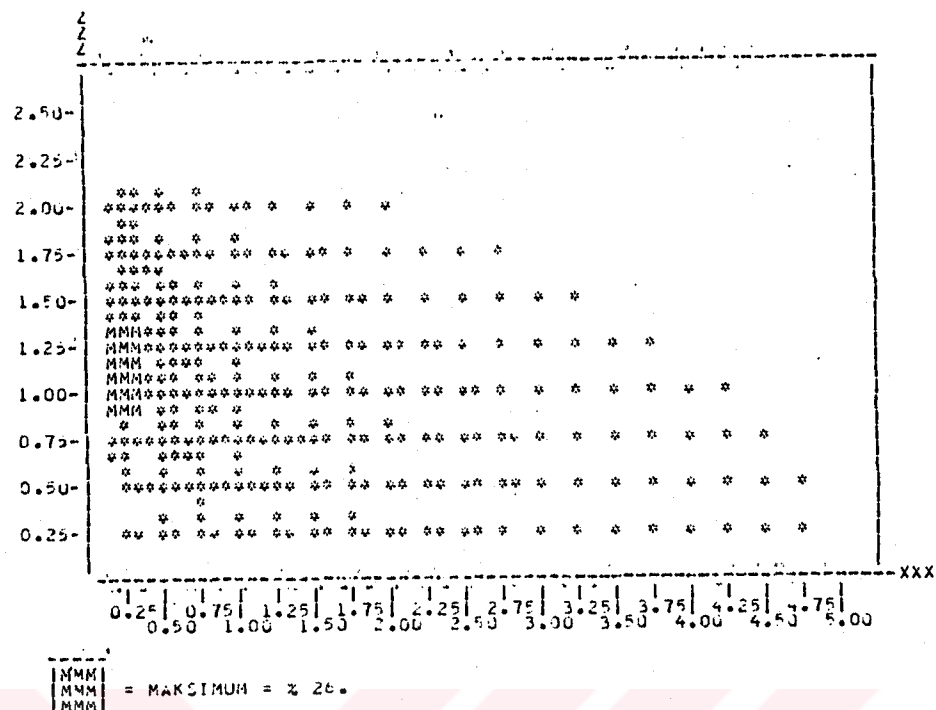
Şekil 3-32 A düzleminde pencereden kaynaklanan E/LZ faktörleri dağılımı yoğunluk grafiği



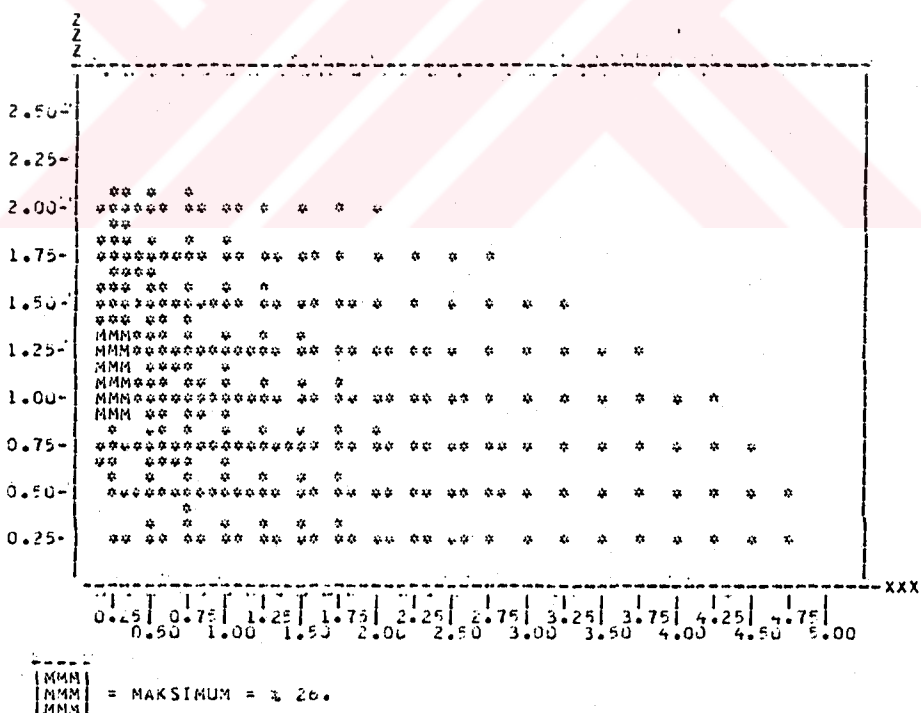
Şekil 3-33 B düzleminde pencereden kaynaklanan E/LZ faktörleri dağılımı [%]



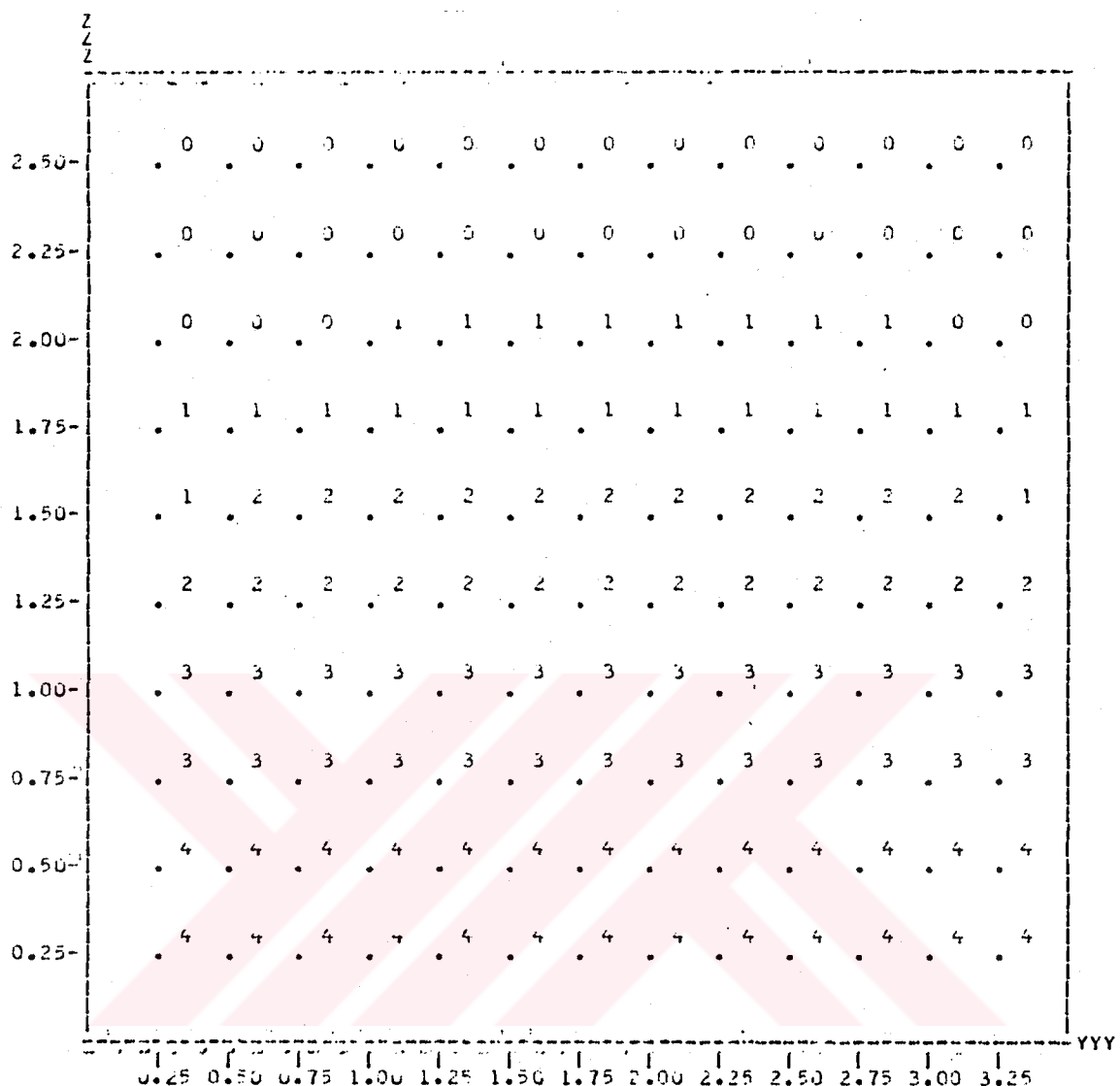
Sekil 3-34 B1 düzleminde pencereden kaynaklanan E/LZ faktörleri dağılımı [%]



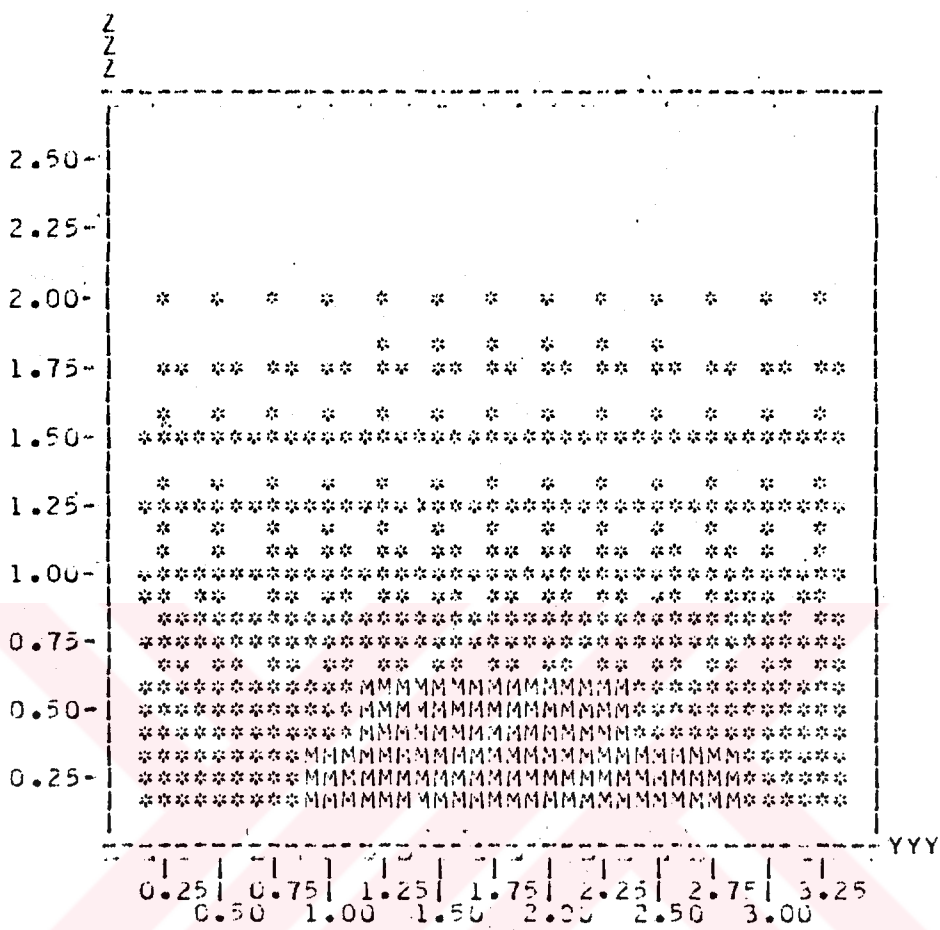
Şekil 3-35 B düzleminde pencereden kaynaklanan E/LZ faktörleri dağılımı yoğunluk grafiği



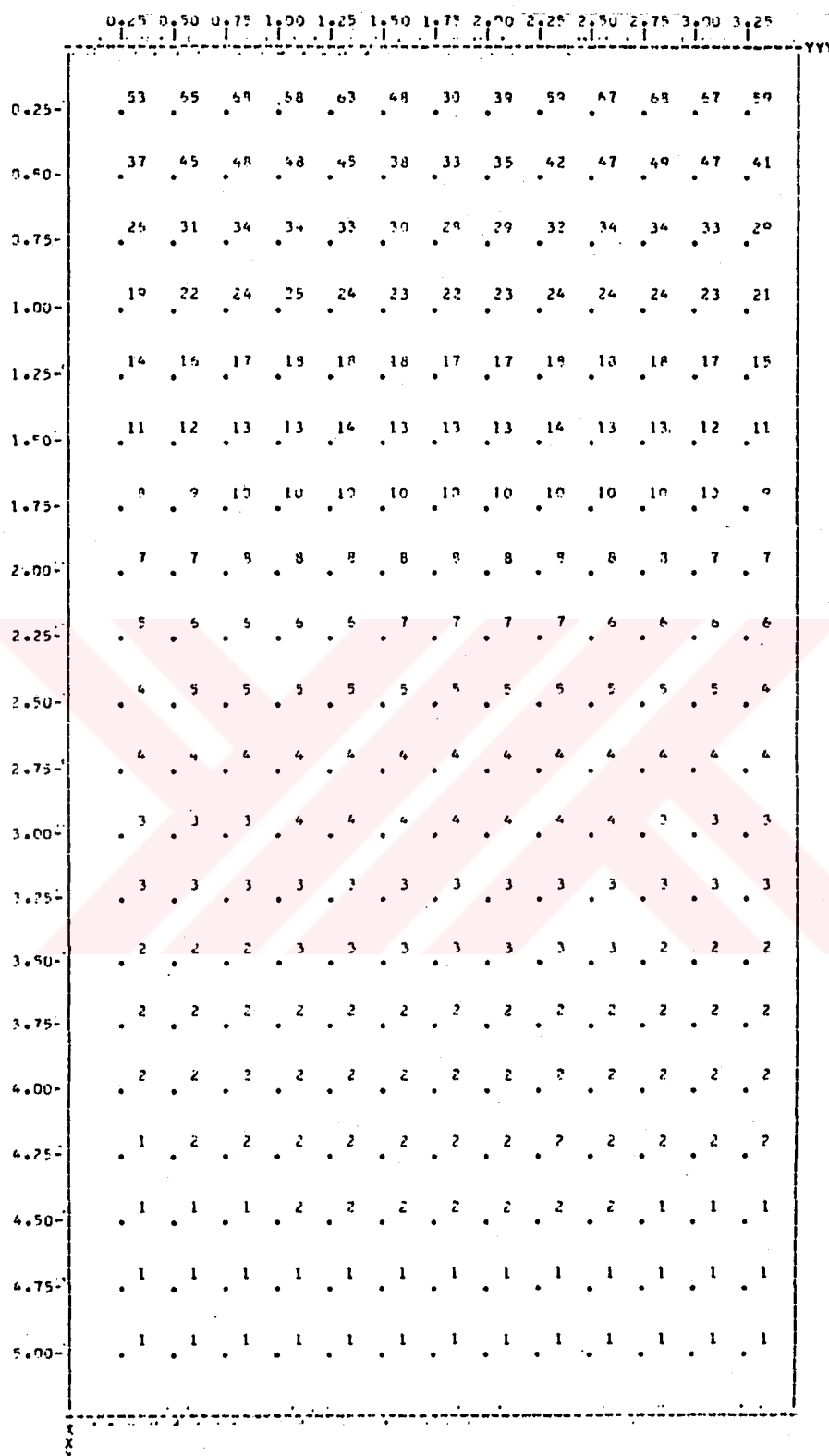
Şekil 3-36 B1 düzleminde pencereden kaynaklanan E/LZ faktörleri dağılımı yoğunluk grafiği



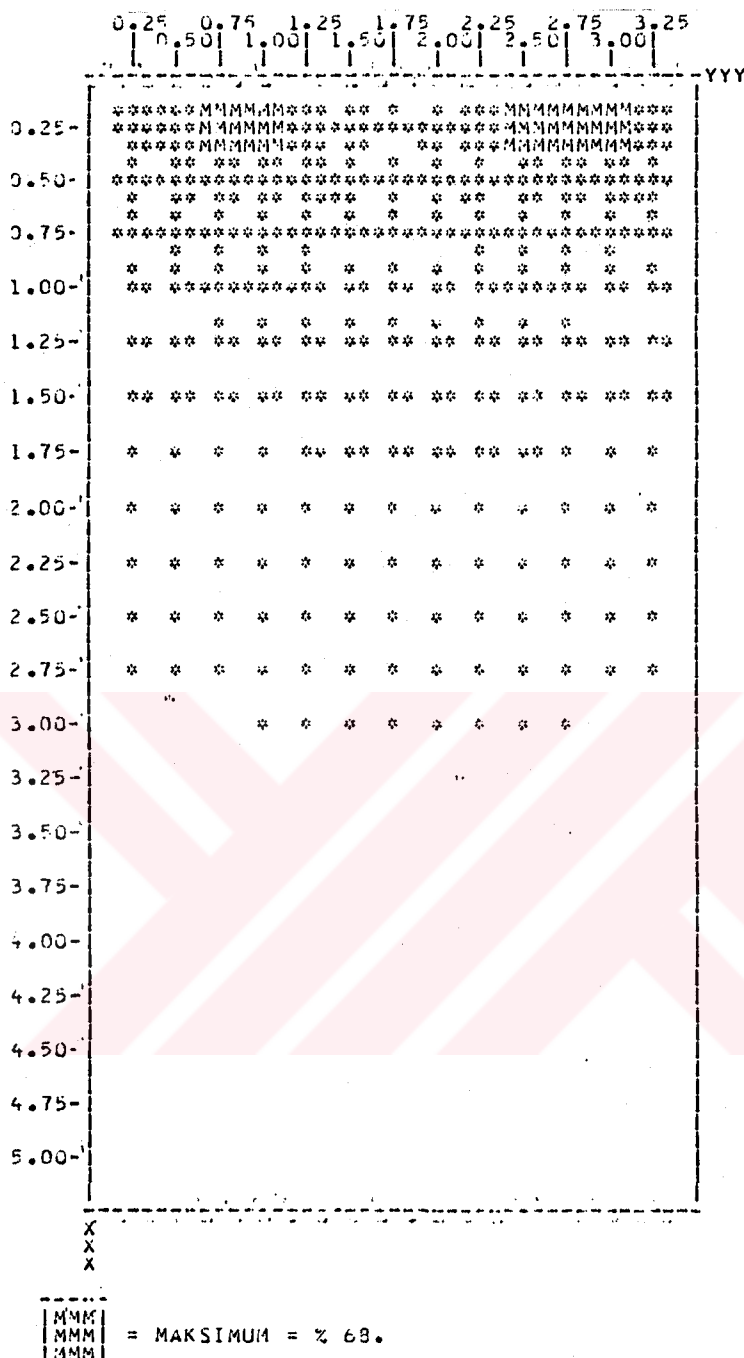
Şekil 3-37 C düzleminde pencereden kaynaklanan E/LZ faktörleri dağılımı [%]



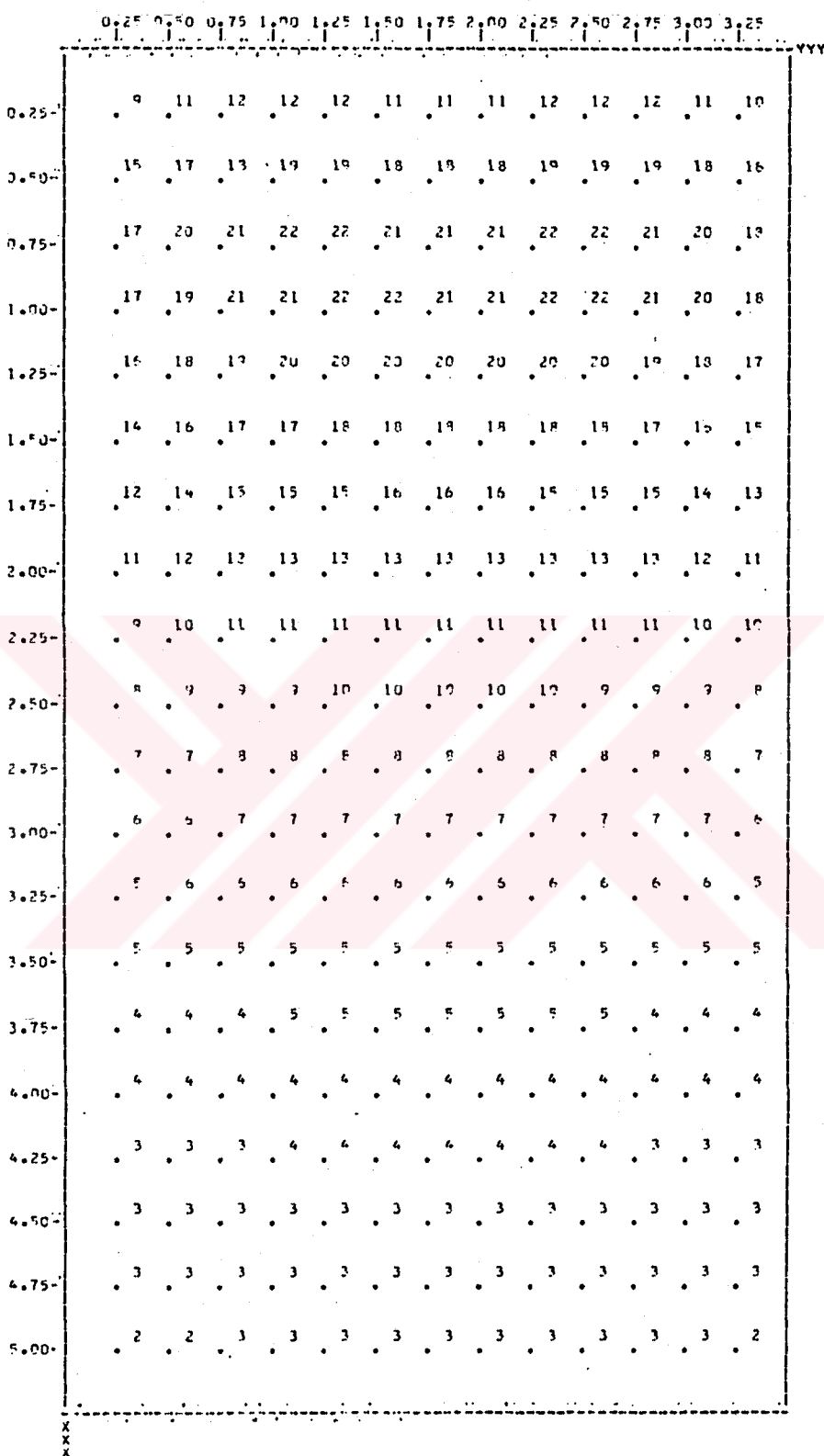
Şekil 3-38 C düzleminde pencereden kaynaklanan E/LZ faktörleri dağılımı yoğunluk grafiği



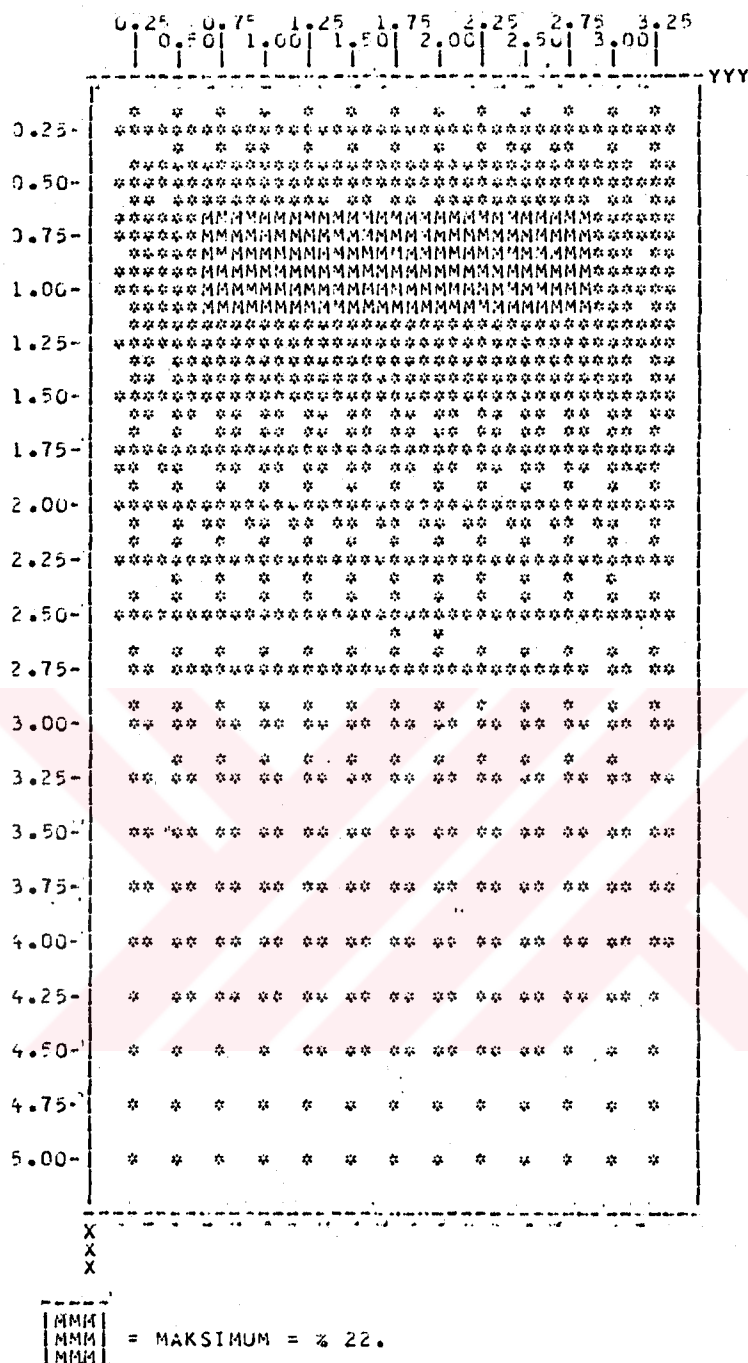
Şekil 3-39 Çalışma düzleminde pencereden ve iç yansımalarдан kaynaklanan E/LZ faktörleri dağılımı [%]



Şekil 3-40 Çalışma düzleminde pencereden ve iç yansımalarдан kaynaklanan E/LZ faktörleri dağılımı yoğunluk grafiği



Şekil 3-41 A düzleminde pencereden ve iç yansımalarдан kaynaklanan E/LZ faktörleri dağılımı [%]



Şekil 3-42 A düzleminde pencereden ve iç yansımalarдан kaynaklanan E/LZ faktörleri dağılımı yoğunluk grafiği

3.3.2. EDEG PROGRAMI

EDEG programı, verilerinin bir kısmını ELZET programından, bir kısmını da kullanıcıdan alarak, söz konusu olan hacimde belirli bir tarih ve saatte oluşan aydınlichkeit düzeyi değerlerini ve belirli bir ortalama aydınlichkeit düzeyi altında kabul edilebilir rahatsız etmeyen aydınlichkeit düzeyi değişimine göre, bu odada yapay ışık ile sağlanması gereken aydınlichkeit düzeyi dağılımını hesaplar.

EDEG programı da ELZET programı gibi interaktif çalışan bir program olduğundan, programı kullanan kişinin programın çalışması sırasında aşağıda belirtilen soruları cevaplaması gereklidir.

- 1) Aydınlichkeit düzeyi dağılımlarını hangi ay için görmek istiyorsunuz? Ocak 1. ay olmak üzere, sayısal olarak yazınız.
- 2) Aydınlichkeit düzeyi dağılımlarını söz konusu ayın hangi günü için görmek istiyorsunuz?
- 3) Aydınlichkeit düzeyi dağılımlarını söz konusu günün hangi saat için görmek istiyorsunuz? 1.00 ile 24.00 arasında bir saat seçiniz.
- 4) İçerisinde aydınlichkeit düzeyi dağılımları hesaplanan binanın bulunduğu şehrin enlem derecesini yazınız.
- 5) Tasarım konusu olan hacimde sağlanması istenen ortalama aydınlichkeit düzeyini (E0) ve bu aydınlichkeit düzeyi altında, kabul edilebilir rahatsız etmeyen aydınlichkeit düzeyi farkını (EF) yazınız.

Ortalama aydınlichkeit düzeyi E0 belirlendikten sonra, bu aydınlichkeit düzeyi altındaki, kabul edilebilir rahatsız etmeyen aydınlichkeit düzeyi farkı EF, en fazla E0' in %10' u olarak alınabilir [40].

EDEG programının DIMENSION deyimi 3.3.1.. bölümündeki değişkenler cinsinden

DIMENSION EM(NX,NY), NFX(NM,NM), NAY(11), ZD(NM)
şeklinde ifade edilebilir.

EDEG programının kullanımına örnek olmak üzere, Şekil 3-13' de boyutları ve Şekil 3-14' de engel ile ilişkileri belirlenmiş olan aynı bina içerisindeki Örnek Oda 1 ve Örnek Oda 2 alınmıştır. Binanın İstanbul'da, yani 41. enlem derecesinde bulunduğu kabul edilmiş ve, en iyi ve en kötü ışık koşullarını vereceklerinden hesaplar gündönümüleri, 21 Aralık ve 21 Haziran için

yapılmıştır. Elde edilen aydınlık düzeyi dağılımları bu tarihlerde saat 8.00, 12.00 ve 17.00 için, $E_0 = 500 \text{ lx}$ ve $E_F = 50 \text{ lx}$ alınarak çıkarılmıştır.

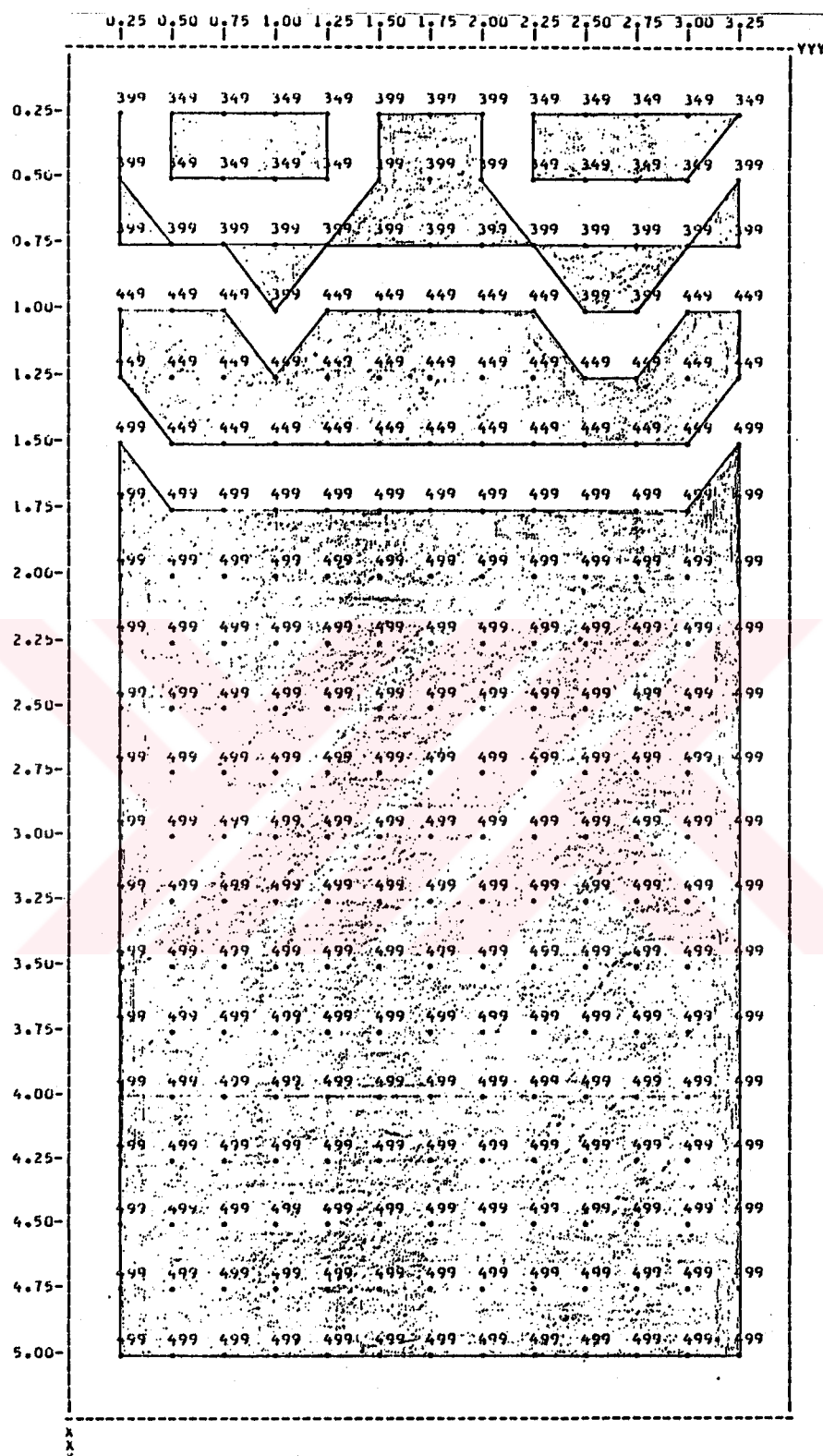
EDEG programının akış diyagramı Ek H' da, programın dökümü ise Ek I' da verilmiştir.

Örnek oda 1 için sonuçlar:

	0 25	0 50	0 75	1 00	1 25	1 50	1 75	2 00	2 25	2 50	2 75	3 00	3 25	YYY
0.25-	142	170	188	187	173	137	103	120	162	183	189	182	159	
0.50-	131	159	172	173	162	141	126	133	154	170	174	166	144	
0.75-	103	122	132	134	129	120	115	117	126	133	134	127	112	
1.00-	79	91	99	102	100	97	95	96	99	102	101	95	84	
1.25-	60	69	74	77	77	76	76	76	77	77	76	71	64	
1.50-	46	51	56	58	59	59	59	59	59	59	57	53	48	
1.75-	34	38	41	43	44	44	44	44	44	43	42	39	36	
2.00-	25	28	30	31	32	33	33	33	33	32	31	29	26	
2.25-	19	20	22	23	24	24	24	24	24	23	22	21	19	
2.50-	14	15	16	17	17	18	18	18	17	17	16	15	14	
2.75-	10	11	12	12	12	13	13	13	13	12	12	11	10	
3.00-	7	8	8	9	9	9	9	9	9	9	8	8	7	
3.25-	5	5	6	6	6	6	6	6	6	6	6	6	5	
3.50-	3	4	4	4	4	4	4	4	4	4	4	4	3	
3.75-	2	2	2	2	2	2	2	2	2	2	2	2	2	
4.00-	2	2	2	2	2	2	2	2	2	2	2	2	2	
4.25-	1	2	2	2	2	2	2	2	2	2	2	2	1	
4.50-	1	1	1	1	2	2	2	2	2	1	1	1	1	
4.75-	1	1	1	1	1	1	1	1	1	1	1	1	1	
5.00-	1	1	1	1	1	1	1	1	1	1	1	1	1	

Şekil 3-43 21 Aralık - Saat : 8.00

Çalışma düzlemini üzerindeki aydınlatık düzeyi
dağılımı [lx]



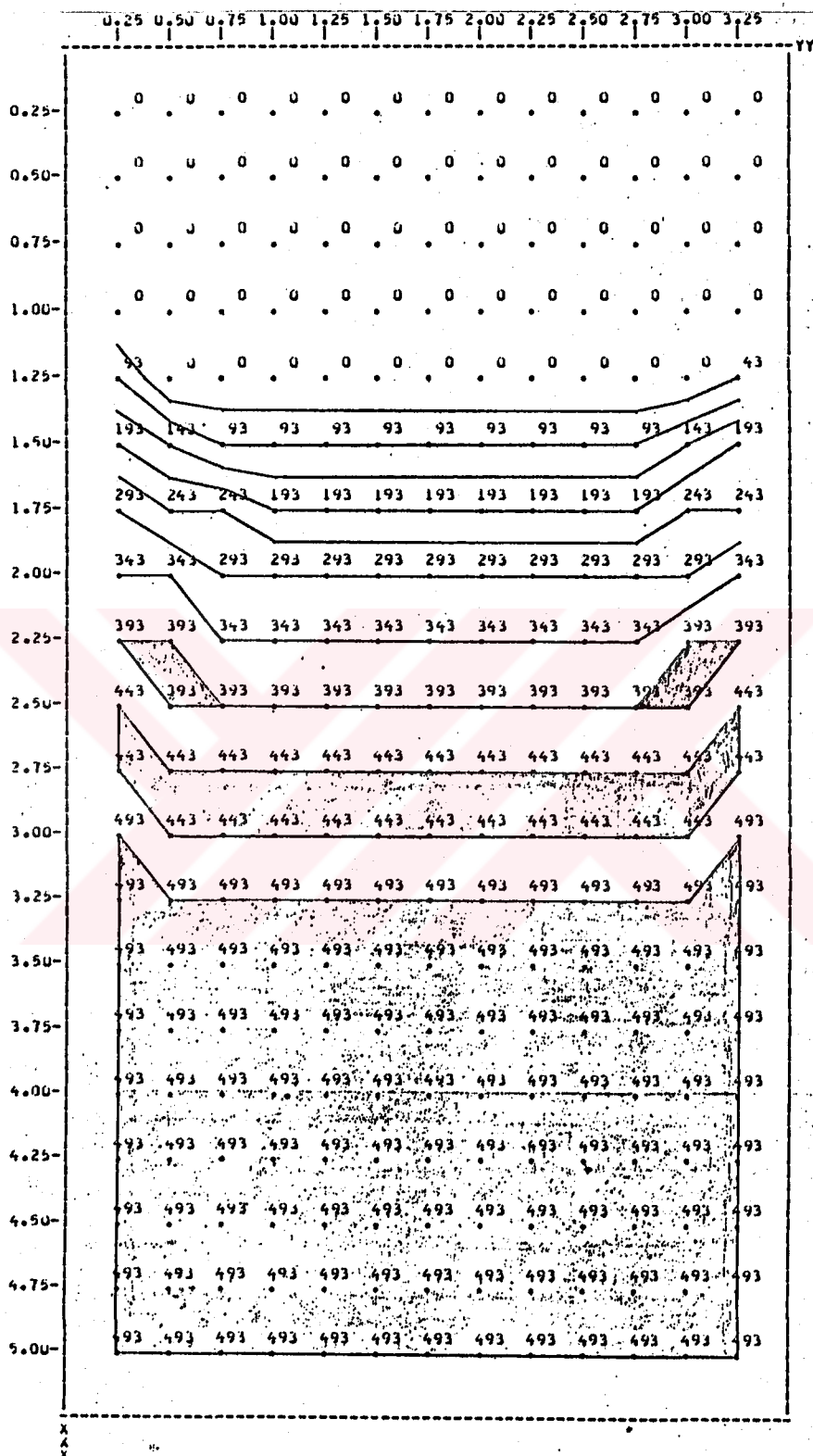
Şekil 3-44 21 Aralık - Saat : 8.00

Çalışma düzlemi üzerinde sağlanması gereken
aydınlatık düzeyi dağılımı [lx]

	0.25	0.50	0.75	1.00	1.25	1.50	1.75	2.00	2.25	2.50	2.75	3.00	3.25	YYY
0.25-	1047	1301	1388	1384	1280	1015	765	886	1195	1357	1396	1349	1175	.
0.50-	968	1176	1276	1281	1198	1046	933	987	1142	1258	1288	1229	1066	.
0.75-	761	904	980	995	957	891	848	868	931	985	993	942	826	.
1.00-	583	677	733	753	742	718	702	709	733	751	745	703	625	.
1.25-	444	508	549	569	572	566	561	563	570	572	559	527	472	.
1.50-	338	381	411	429	437	438	438	438	438	433	420	394	356	.
1.75-	250	280	301	316	324	328	329	328	326	320	308	289	263	.
2.00-	186	206	221	232	239	243	245	244	241	235	226	212	194	.
2.25-	138	152	162	170	176	179	180	180	177	172	165	156	143	.
2.50-	102	111	119	124	128	131	132	131	129	126	121	114	106	.
2.75-	74	81	86	90	92	94	95	95	93	91	87	83	77	.
3.00-	53	58	61	64	66	67	67	67	66	64	62	59	55	.
3.25-	37	40	42	44	45	46	46	46	45	44	43	41	38	.
3.50-	24	26	28	29	29	30	30	30	30	29	28	27	25	.
3.75-	14	16	17	17	18	18	18	18	18	17	17	16	15	.
4.00-	11	12	13	14	14	14	14	14	14	14	13	13	12	.
4.25-	10	11	12	12	12	13	13	13	12	12	12	11	10	.
4.50-	9	10	11	11	11	11	12	11	11	11	11	10	9	.
4.75-	8	9	10	10	10	11	11	11	10	10	10	9	8	.
5.00-	7	8	9	9	9	10	10	10	10	9	9	8	7	.

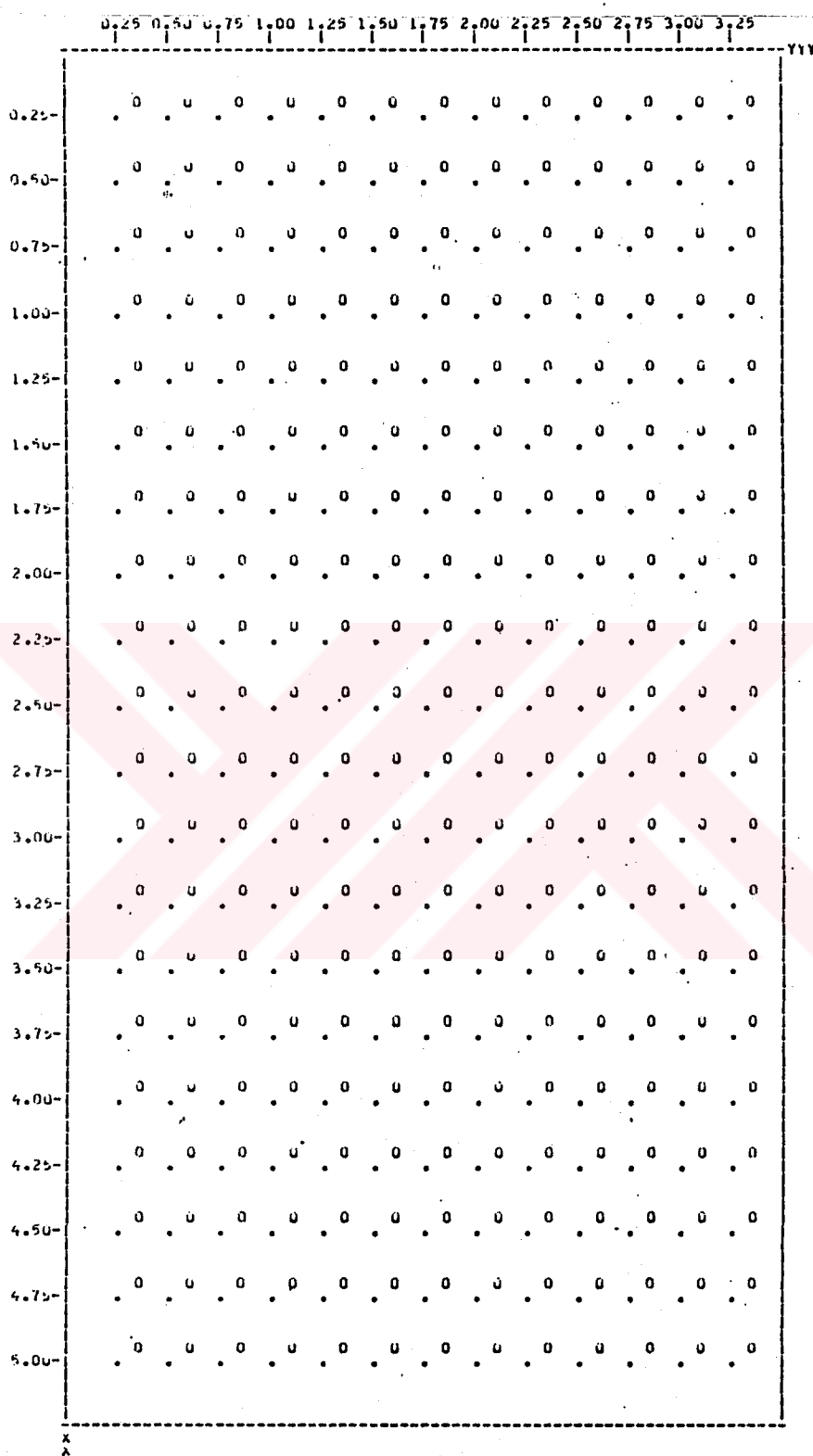
Şekil 3-45 21 Aralık - Saat : 12.00

Çalışma düzlemini üzerindeki aydınlatık düzeyi
dağılımını [lx]



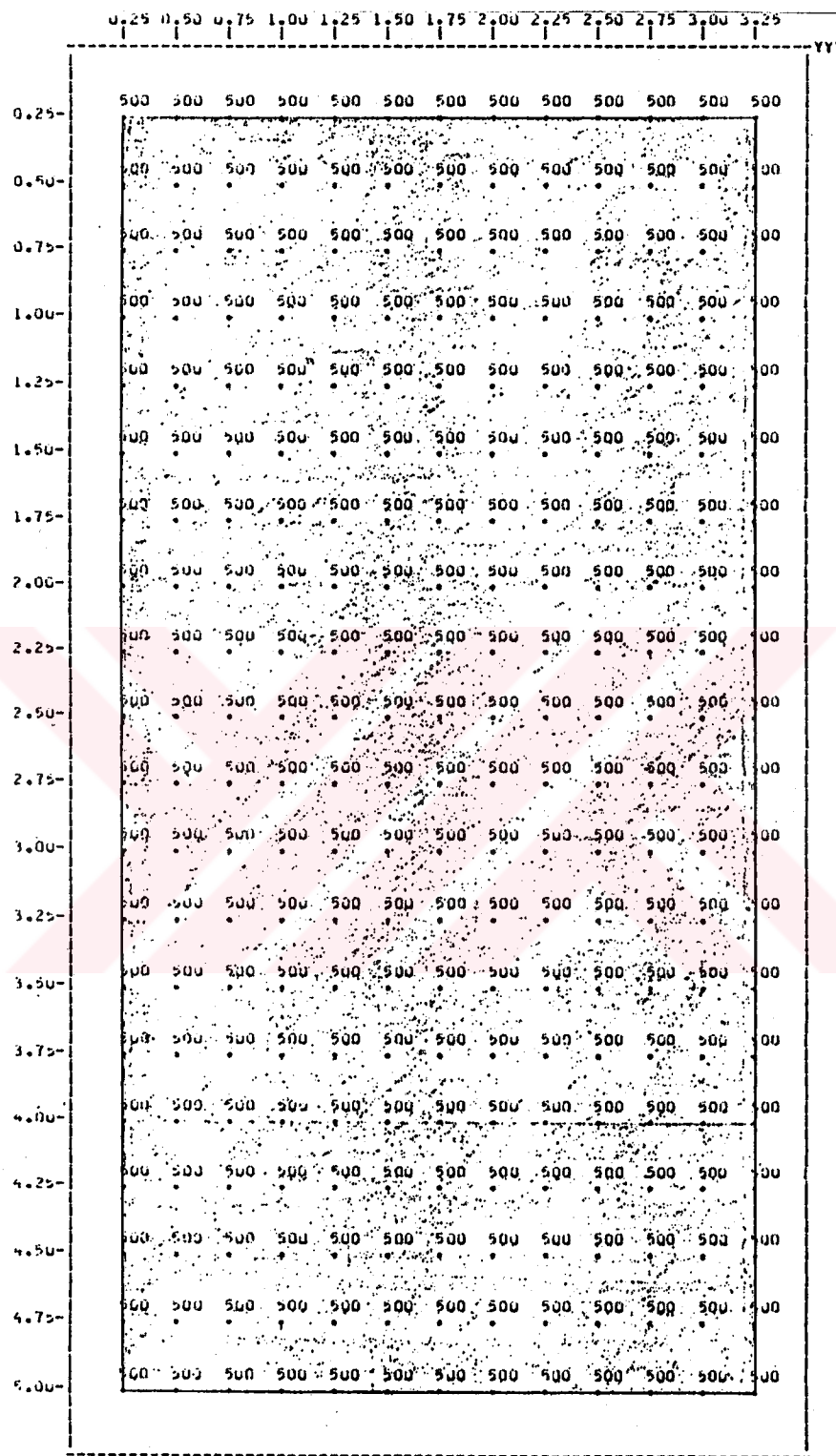
Şekil 3-46 21 Aralık - Saat : 12.00

Çalışma düzlemini üzerinde sağlanması gereken
aydınlatık düzeyi dağılımı [lx]



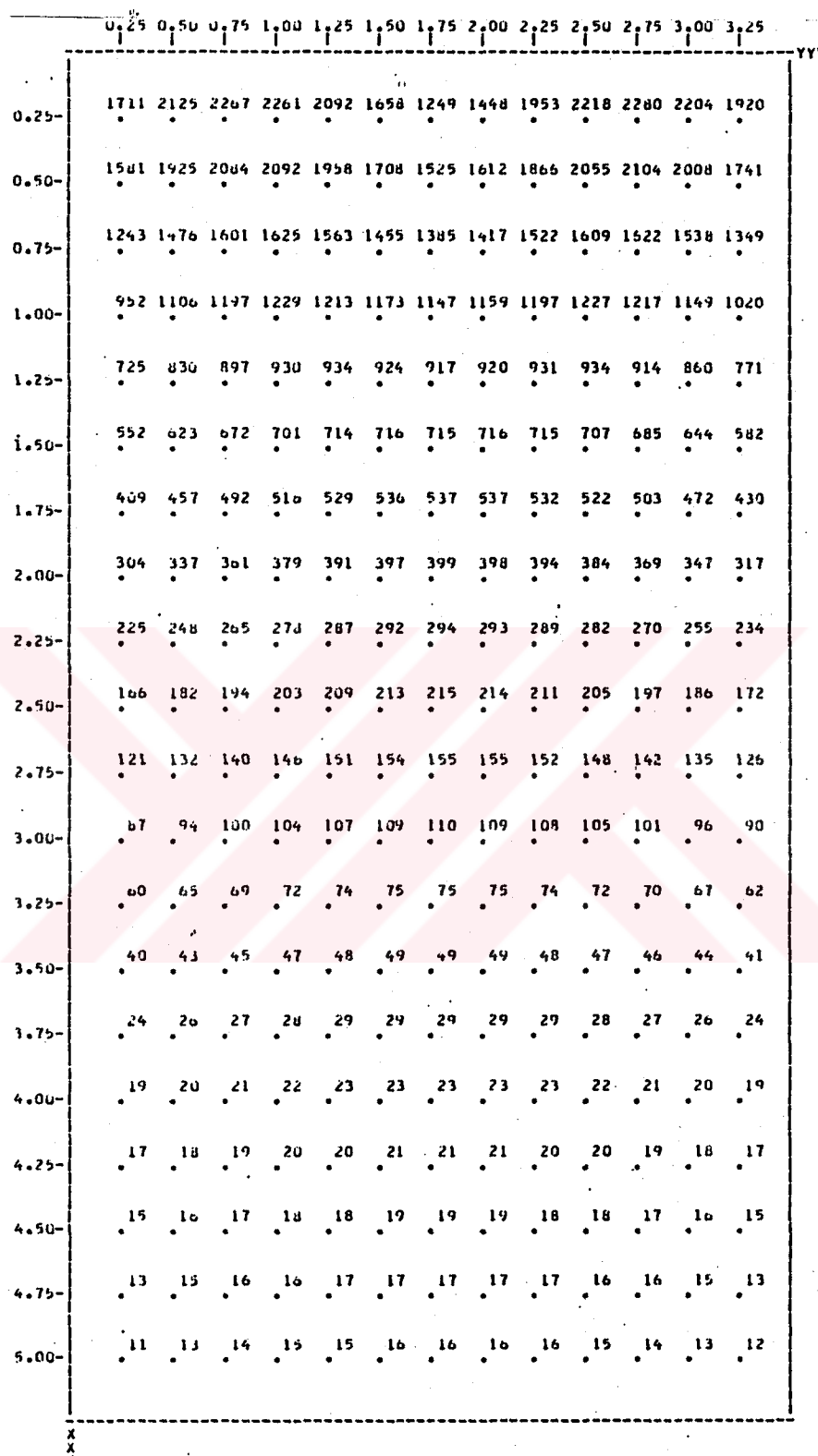
Şekil 3-47 21 Aralık - Saat : 17.00

Çalışma düzlemini üzerindeki aydınlatık düzeyi
dağılımı [lx]



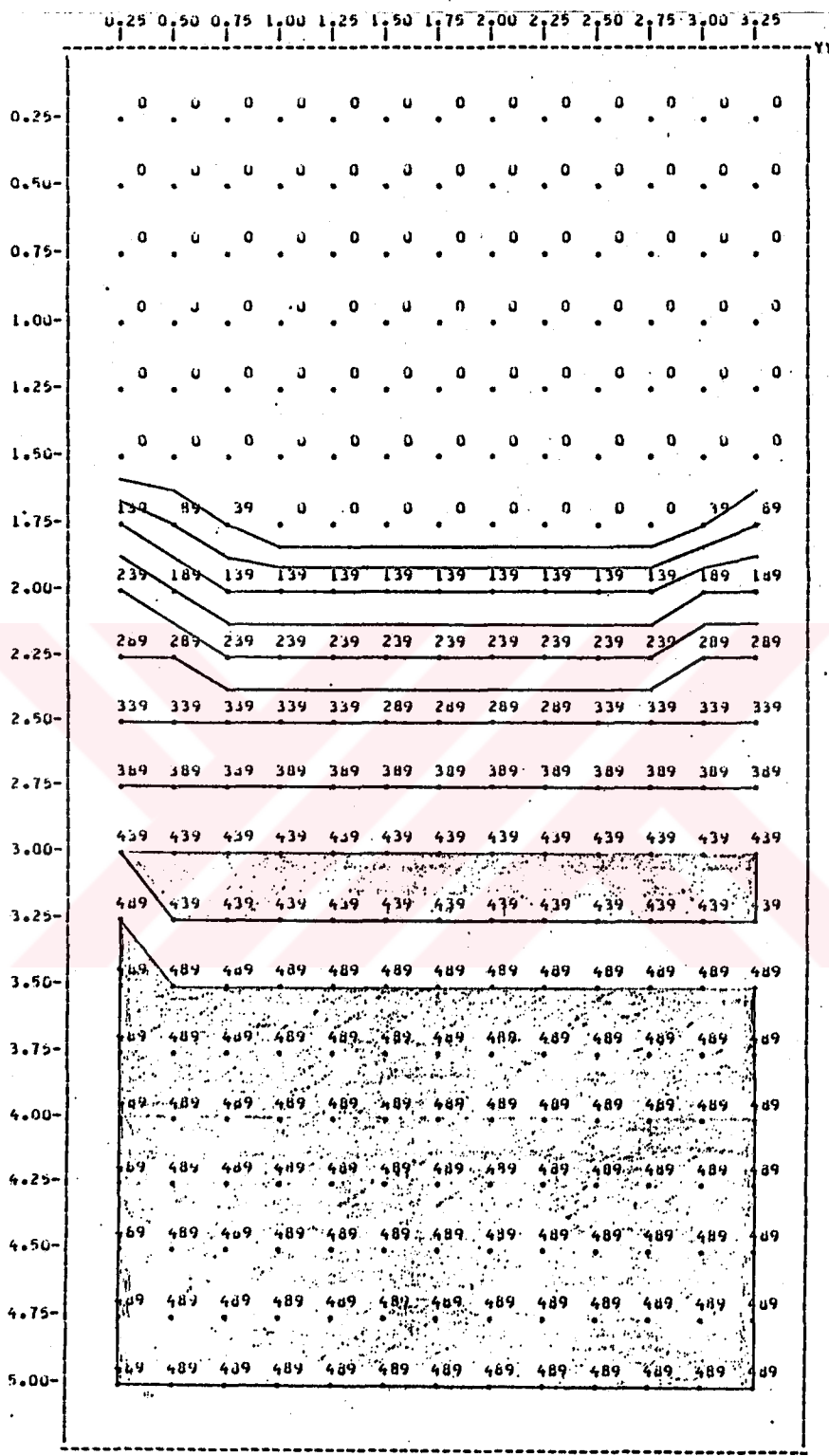
Şekil 3-48 21 Aralık - Saat : 17.00

Çalışma düzlemini üzerinde sağlanması gereken
aydınlatık düzeyi dağılımı [lx]



Şekil 3-49 21 Haziran - Saat : 8.00

Çalışma düzlemini üzerindeki aydınlatık düzeyi
dağılımını [lx]



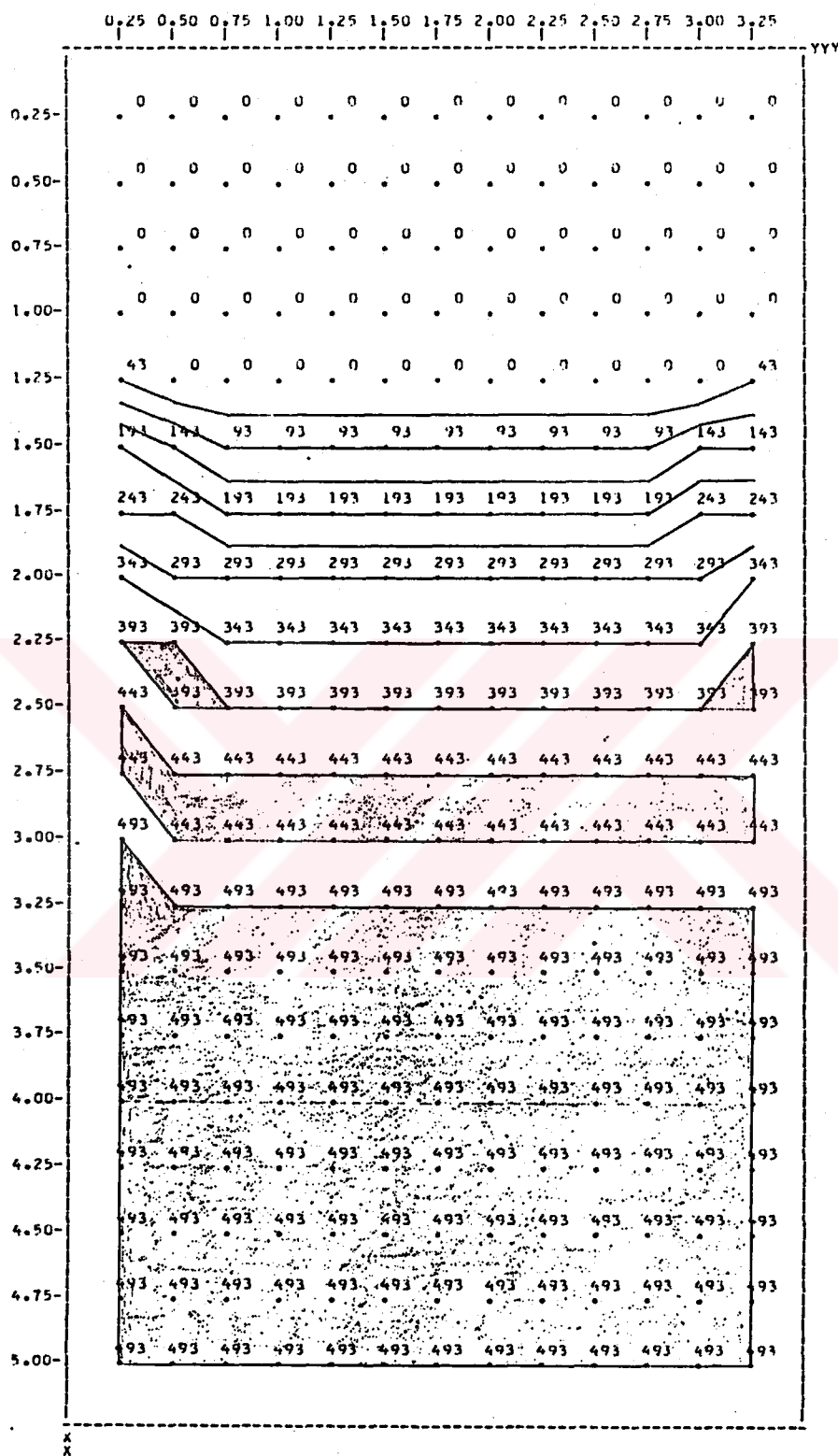
Şekil 3-50 21 Haziran - Saat : 8.00

Çalışma düzlemini üzerinde sağlanması gereken
aydınlatık düzeyi dağılımı [lx]

	0.25	0.50	0.75	1.00	1.25	1.50	1.75	2.00	2.25	2.50	2.75	3.00	3.25	YYY
0.25-	1078	1339	1428	1424	1318	1045	787	912	1230	1397	1436	1388	1210	
0.50-	996	1213	1313	1318	1233	1076	961	1015	1176	1295	1325	1265	1097	
0.75-	783	930	1009	1024	985	917	872	893	959	1014	1022	969	850	
1.00-	600	697	754	775	764	739	723	730	754	773	767	724	643	
1.25-	457	523	565	586	589	582	577	580	587	588	576	542	436	
1.50-	348	392	423	442	450	451	451	451	450	446	432	406	367	
1.75-	258	288	310	325	333	337	339	318	335	329	317	297	271	
2.00-	191	212	228	239	246	250	252	251	248	242	232	218	200	
2.25-	142	156	167	175	181	184	185	185	182	177	170	160	148	
2.50-	105	114	122	128	132	134	135	135	133	129	124	117	109	
2.75-	76	83	88	92	95	97	98	97	96	93	90	85	79	
3.00-	55	59	63	65	67	69	69	69	68	66	64	61	57	
3.25-	38	41	43	45	46	47	48	47	47	46	44	42	39	
3.50-	25	27	29	30	30	31	31	31	30	30	29	28	26	
3.75-	15	16	17	18	18	18	18	18	18	18	17	16	15	
4.00-	12	13	13	14	14	14	15	14	14	14	13	13	12	
4.25-	10	11	12	12	13	13	13	13	13	12	12	11	11	
4.50-	9	10	11	11	12	12	12	12	12	11	11	10	10	
4.75-	8	9	10	10	11	11	11	11	11	10	10	9	8	
5.00-	7	8	9	7	10	10	10	10	10	9	9	8	7	

Şekil 3-51 21 Haziran - Saat : 12.00

Çalışma düzlemini üzerindeki aydınlatık düzeyi
dağılımı [lx]



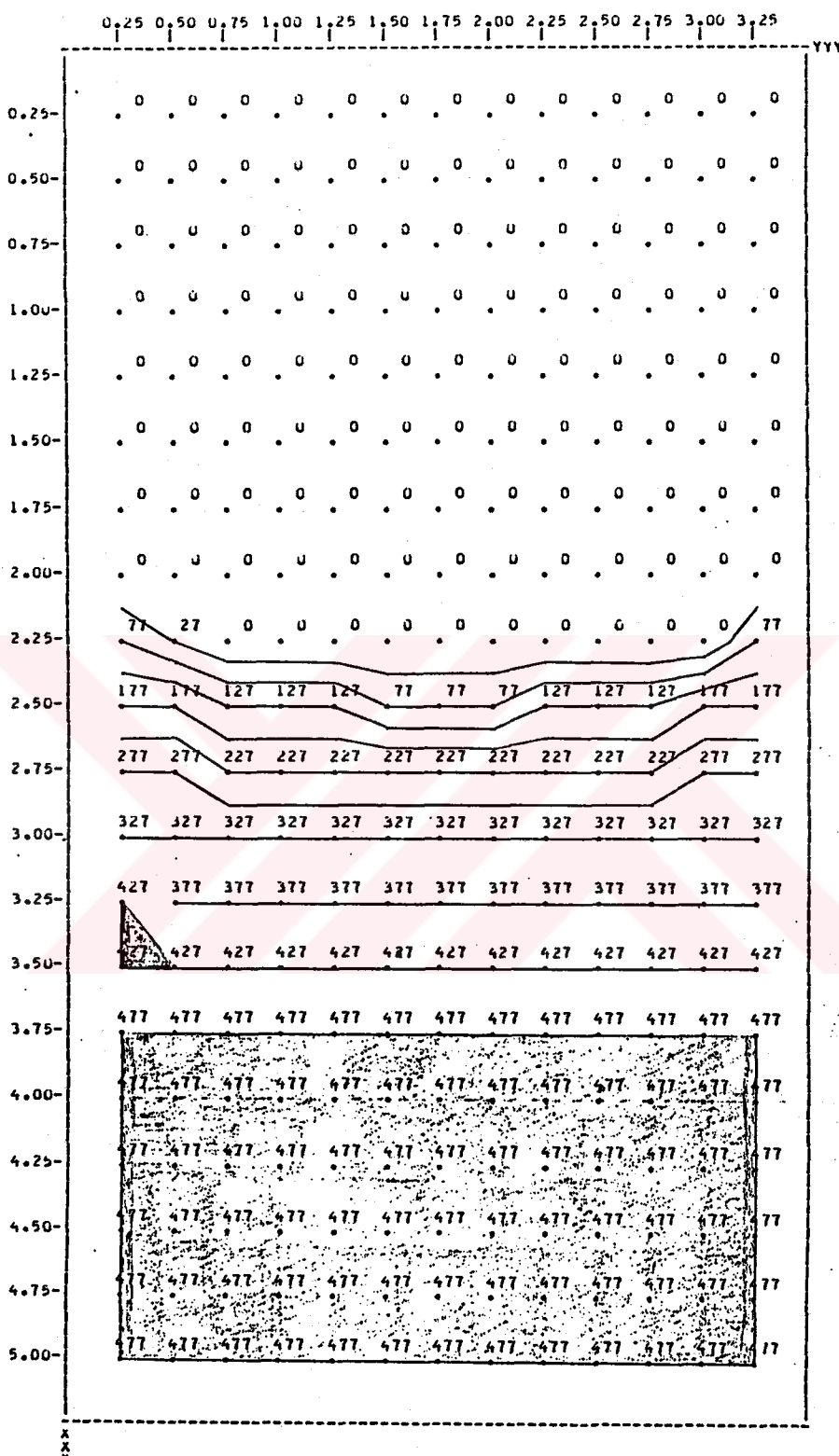
Şekil 3-52 21 Haziran - Saat : 12.00

Çalışma düzlemini üzerinde sağlanması gereken
aydınlatık düzeyi dağılımı [lx]

	0.25	0.50	0.75	1.00	1.25	1.50	1.75	2.00	2.25	2.50	2.75	3.00	3.25	YYY
0.25-	3417	4243	4527	4514	4176	3311	2495	2891	3900	4428	4552	4400	3834	
0.50-	3157	3844	4162	4177	3909	3411	3045	3218	3726	4104	4201	4010	3477	
0.75-	2482	2447	3198	3246	3121	2906	2765	2830	3038	3213	3239	3072	2693	
1.00-	1902	2208	2391	2455	2421	2342	2291	2314	2391	2451	2430	2295	2038	
1.25-	1448	1657	1791	1856	1866	1846	1830	1837	1859	1865	1824	1718	1540	
1.50-	1102	1243	1341	1400	1425	1429	1428	1429	1428	1413	1369	1286	1163	
1.75-	817	913	983	1030	1057	1069	1073	1071	1063	1042	1004	943	858	
2.00-	606	672	721	757	780	793	798	795	786	767	736	692	634	
2.25-	649	695	529	555	573	584	588	586	578	563	540	508	468	
2.50-	332	363	387	405	418	426	429	428	421	410	394	372	344	
2.75-	242	264	280	292	302	307	310	309	304	296	284	270	251	
3.00-	174	188	199	208	214	218	219	218	215	210	202	192	180	
3.25-	121	131	138	143	147	150	151	150	148	144	139	133	124	
3.50-	80	86	90	94	96	98	98	98	97	94	91	87	82	
3.75-	47	52	54	56	57	58	58	58	57	56	54	52	49	
4.00-	37	41	43	44	45	46	46	46	45	44	43	41	38	
4.25-	33	36	38	39	40	41	41	41	41	39	38	36	34	
4.50-	30	32	34	36	37	37	38	37	37	36	34	33	30	
4.75-	26	29	31	33	34	34	35	34	34	33	31	29	27	
5.00-	23	26	28	30	31	32	32	32	31	30	29	26	23	

Şekil 3-53 21 Haziran - Saat : 17.00

Çalışma düzlemini üzerindeki aydınlatık düzeyi
dağılımı [lx]



Şekil 3-54 21 Haziran - Saat : 17.00

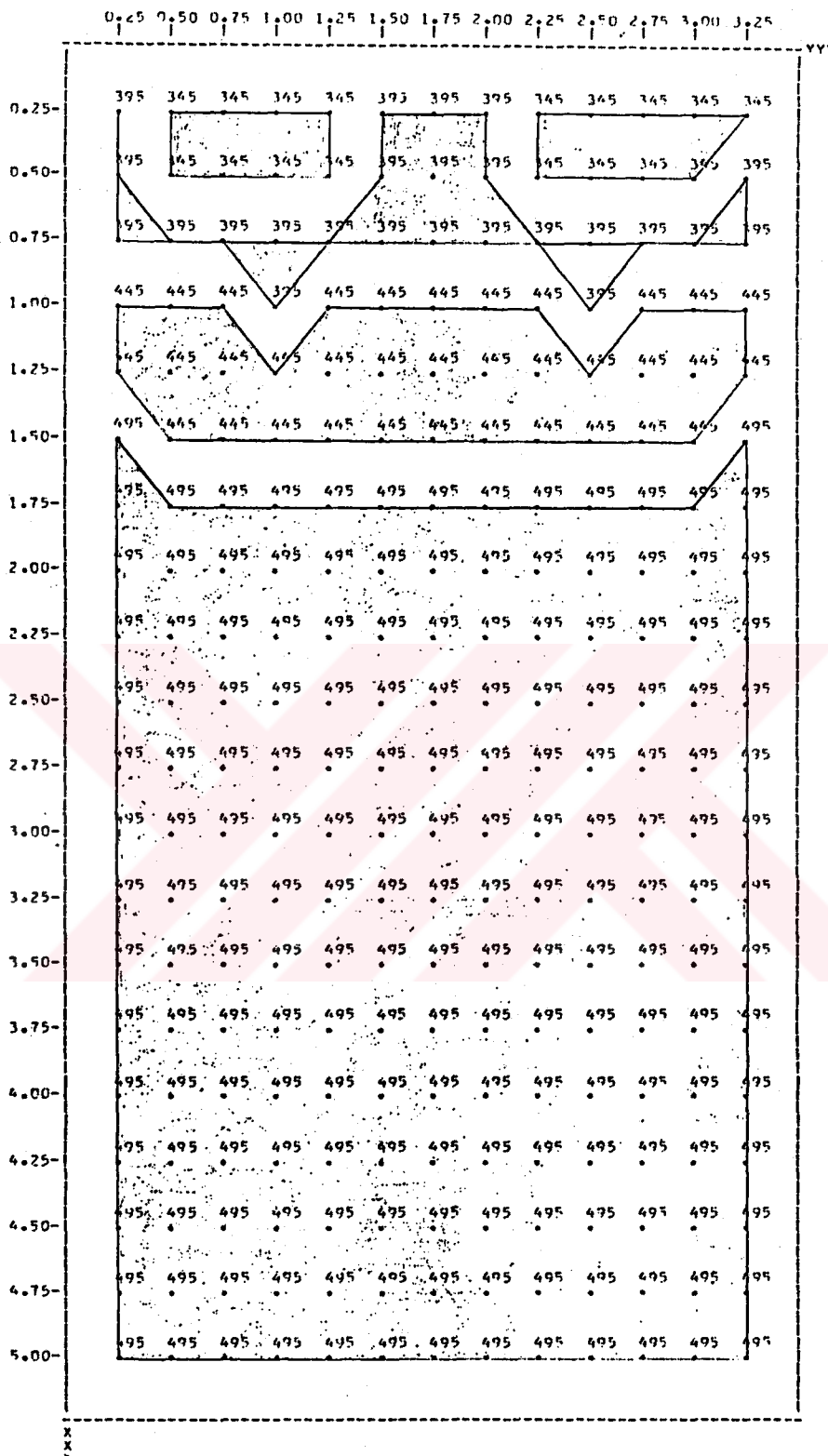
Çalışma düzlemi üzerinde sağlanması gereken
aydınlatık düzeyi dağılımını [lx]

Örnek oda 2 için sonuçlar:

	0.25	0.50	0.75	1.00	1.25	1.50	1.75	2.00	2.25	2.50	2.75	3.00	3.25	YYY
0.25-	144	179	190	189	175	139	105	122	164	186	191	185	162	
0.50-	135	163	176	176	164	144	128	130	157	173	177	170	148	
0.75-	107	126	136	138	132	123	117	120	128	130	138	131	116	
1.00-	83	90	103	105	103	100	97	96	102	105	104	99	89	
1.25-	64	73	78	80	80	79	78	79	80	80	79	75	68	
1.50-	50	56	60	62	63	63	62	62	63	62	61	58	53	
1.75-	40	44	47	48	49	50	50	50	49	49	47	45	42	
2.00-	37	35	37	38	39	40	40	40	39	39	37	36	33	
2.25-	26	26	30	31	31	32	32	32	32	31	30	29	27	
2.50-	21	23	24	25	26	26	26	26	26	25	24	23	22	
2.75-	18	19	20	21	21	21	22	21	21	21	20	19	18	
3.00-	15	16	17	17	18	18	18	18	18	17	17	16	15	
3.25-	13	14	14	15	15	15	15	15	15	15	14	14	13	
3.50-	11	12	12	12	13	13	13	13	13	12	12	12	11	
3.75-	9	10	10	11	11	11	11	11	11	11	10	10	10	
4.00-	8	9	9	9	9	10	10	10	10	10	9	9	8	
4.25-	7	8	8	8	8	8	9	9	8	8	8	8	7	
4.50-	7	7	7	7	8	8	8	8	8	9	7	7	7	
4.75-	6	6	7	7	7	7	7	7	7	7	7	7	6	
5.00-	5	6	6	6	6	7	7	7	6	6	6	6	5	

Şekil 3-55 21 Aralık - Saat : 8.00

Çalışma düzlemi üzerindeki aydınlatık düzeyi
dağılımı [lx]



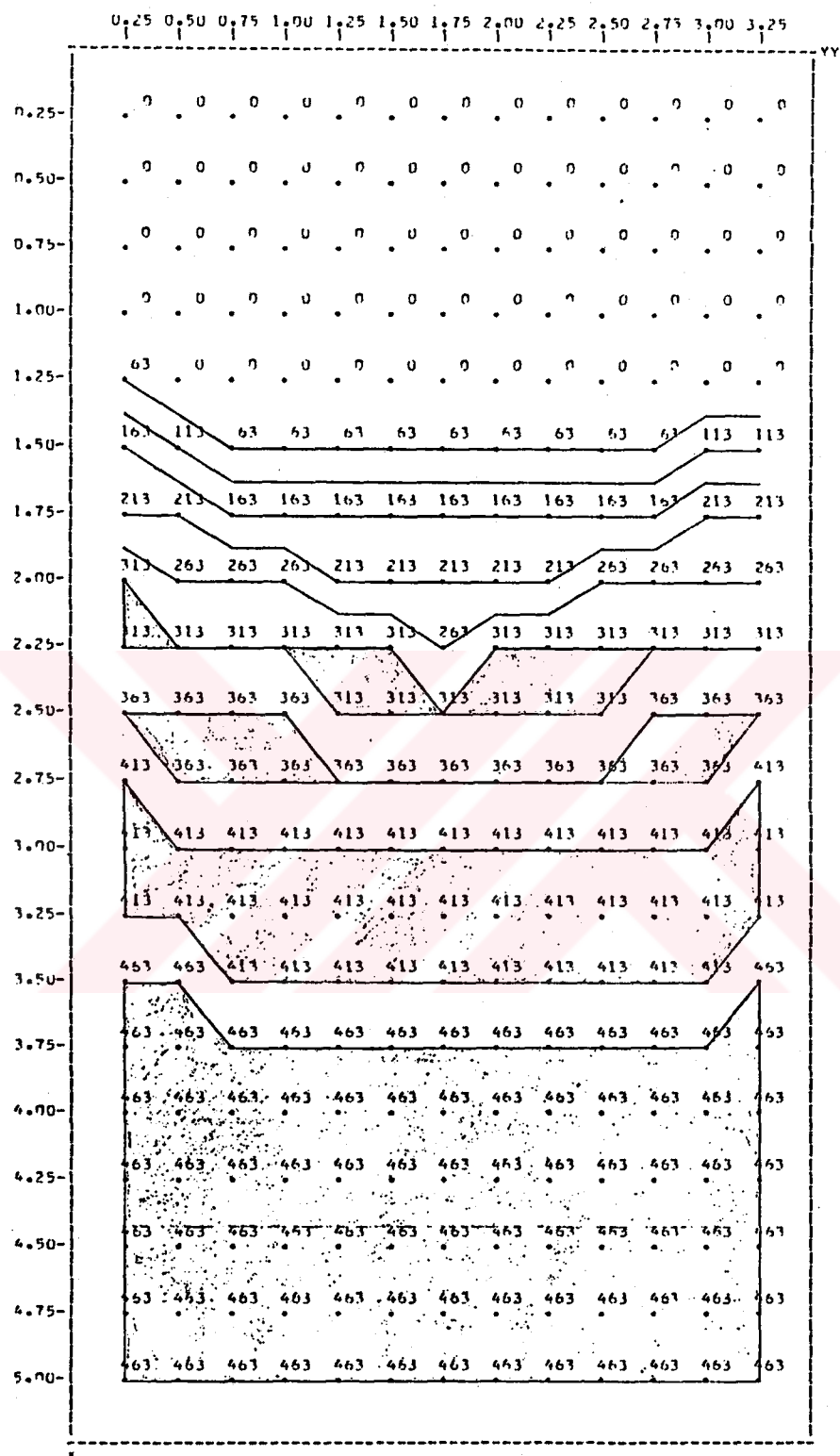
Şekil 3-56 21 Aralık - Saat : 8.00

**Çalışma düzlemini üzerinde sağlanması gereken
aydınlatık düzeyi dağılımı [lx]**

	0,25	0,50	0,75	1,00	1,25	1,50	1,75	2,00	2,25	2,50	2,75	3,00	3,25	YYY
0,25-	1417	1760	1877	1872	1732	1373	1035	1199	1617	1836	1888	1825	1590	
0,50-	1309	1594	1726	1732	1621	1415	1263	1335	1545	1702	1742	1663	1442	
0,75-	1029	1222	1326	1346	1294	1205	1147	1174	1260	1333	1343	1274	1117	
1,00-	789	915	992	1018	1004	971	950	960	991	1016	1007	952	845	
1,25-	601	687	743	770	774	765	759	762	771	773	756	712	639	
1,50-	457	515	556	581	591	593	592	592	592	586	568	533	482	
1,75-	339	379	408	427	438	443	445	444	441	432	416	391	356	
2,00-	251	279	299	314	324	329	331	330	326	318	305	287	263	
2,25-	186	205	219	230	238	242	244	243	240	233	224	211	194	
2,50-	138	150	160	168	173	177	178	177	175	170	163	154	143	
2,75-	100	109	116	121	125	127	128	128	126	123	119	112	104	
3,00-	72	78	83	86	89	90	91	91	89	87	84	80	74	
3,25-	50	54	57	59	61	62	62	62	61	60	58	55	52	
3,50-	33	36	38	39	40	41	41	41	40	39	38	36	34	
3,75-	20	21	22	23	24	24	24	24	24	23	23	22	20	
4,00-	15	17	18	18	19	19	19	19	19	18	19	17	16	
4,25-	14	15	16	16	17	17	17	17	17	16	16	15	14	
4,50-	12	13	14	15	15	15	16	15	15	15	14	14	13	
4,75-	11	12	13	14	14	14	14	14	14	14	13	12	11	
5,00-	9	11	12	12	13	13	13	13	13	12	12	11	10	

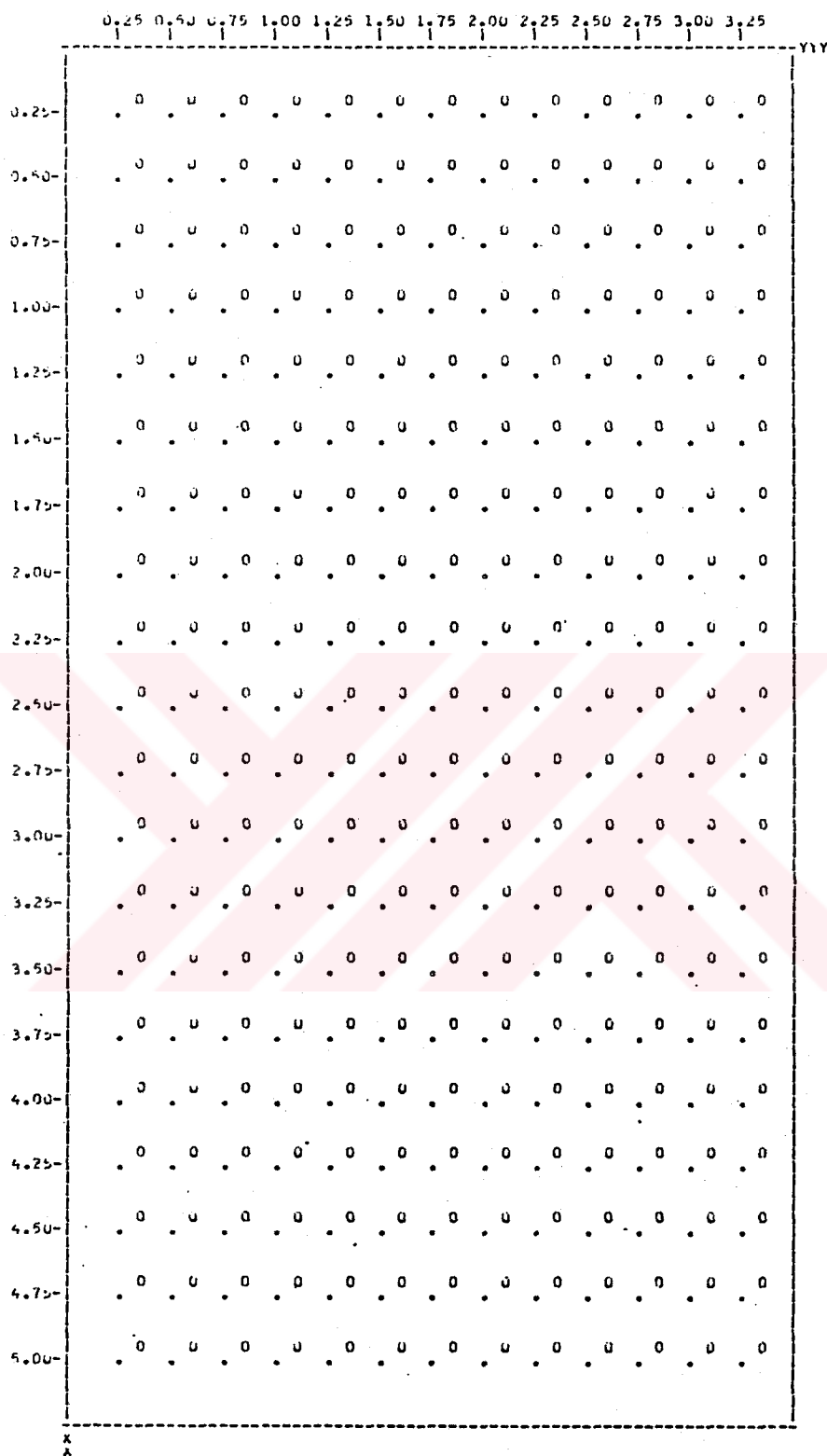
Şekil 3-57 21 Aralık - Saat : 12.00

Çalışma düzlemini üzerindeki aydınlatık düzeyi
dağılımını [lx]



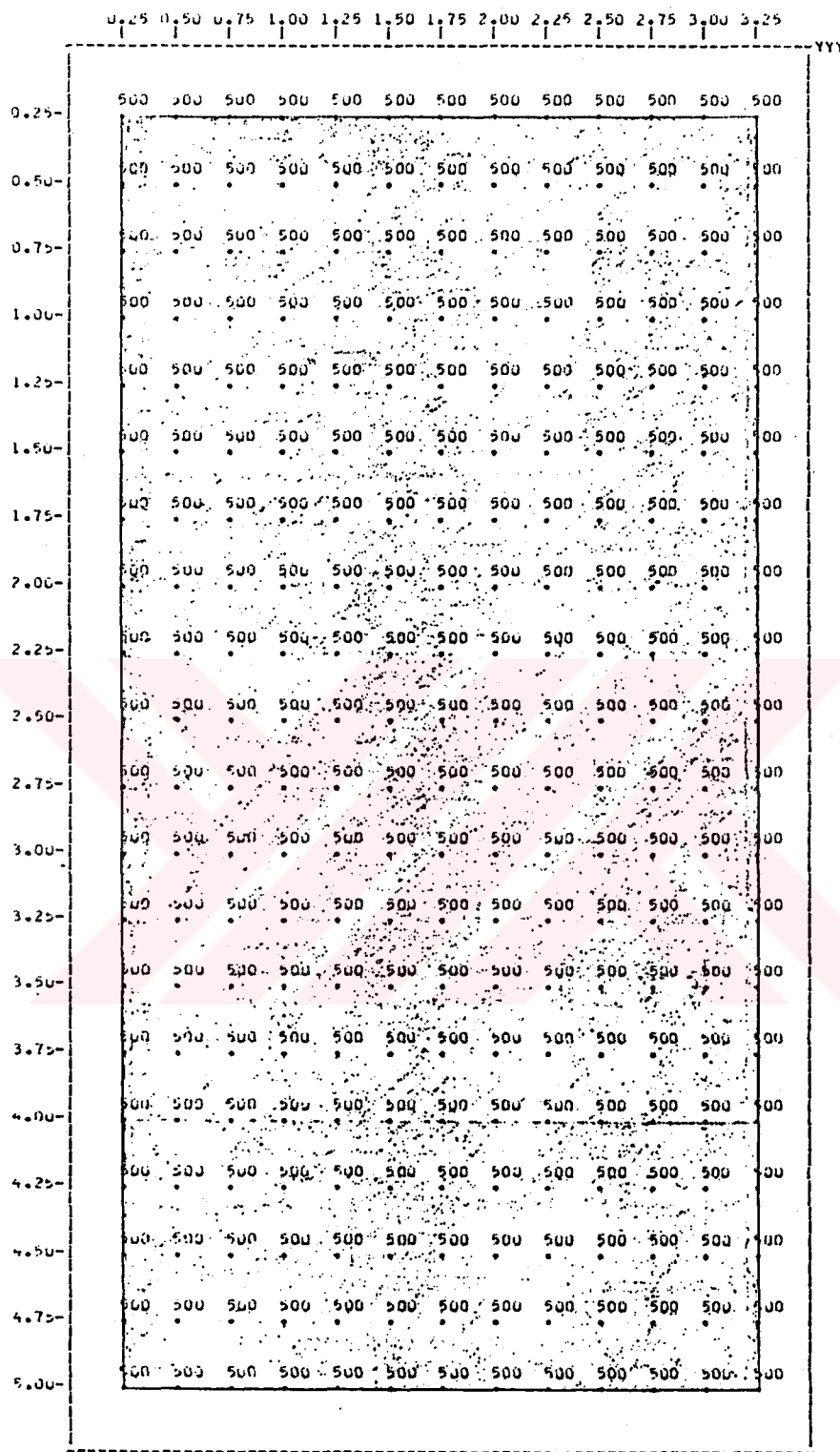
Şekil 3-58 21 Aralık - Saat : 12.00

**Çalışma düzlemini üzerinde sağlanması gereken
aydınlatık düzeyi dağılımı [lx]**



Şekil 3-59 21 Aralık - Saat : 17.00

Çalışma düzlemini üzerindeki aydınlatık düzeyi
dağılımı [lx]



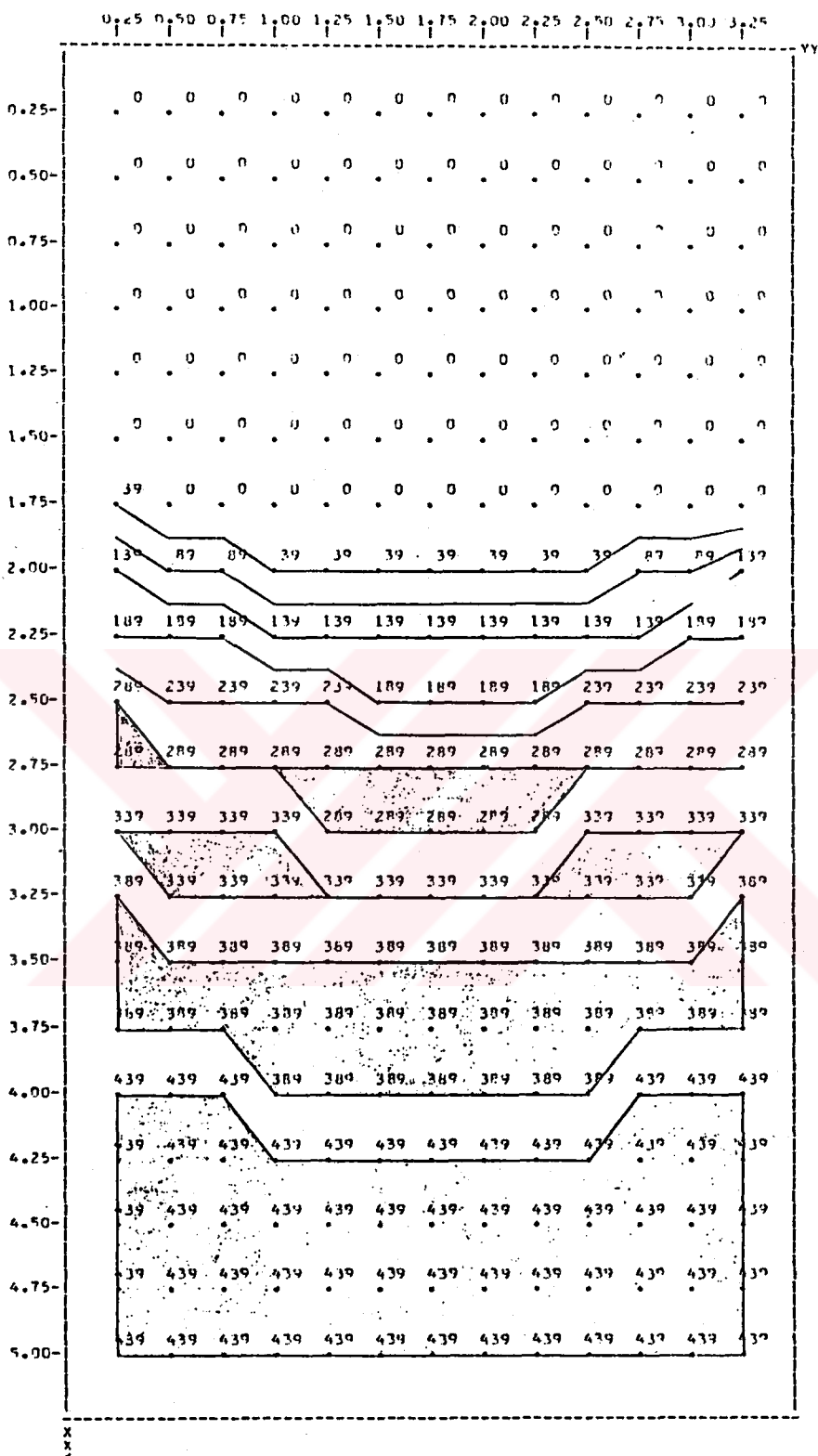
Şekil 3-60 21 Aralık - Saat : 17.00

Çalışma düzlemini üzerinde sağlanması gereken
aydınlatık düzeyi dağılımı [lx]

	0,25	0,50	0,75	1,00	1,25	1,50	1,75	2,00	2,25	2,50	2,75	3,00	3,25	yyy
0,25-	1746	2163	2301	2291	2119	1685	1275	1474	1980	2247	2312	2240	1957	
0,50-	1630	1972	2124	2126	1989	1738	1553	1641	1896	2088	2141	2052	1791	
0,75-	1295	1528	1645	1663	1596	1486	1415	1448	1554	1645	1663	1587	1403	
1,00-	1007	1159	1243	1268	1247	1205	1178	1190	1231	1254	1259	1200	1077	
1,25-	777	882	943	969	969	957	948	952	965	971	956	910	825	
1,50-	608	680	723	747	756	756	754	755	756	752	734	699	641	
1,75-	479	531	563	584	594	599	600	599	596	588	572	545	503	
2,00-	385	422	446	462	472	478	480	479	475	466	452	432	401	
2,25-	311	340	358	371	380	385	387	386	382	375	361	347	324	
2,50-	257	279	292	302	309	314	316	315	311	305	295	284	266	
2,75-	213	231	241	249	255	259	260	259	256	251	244	235	221	
3,00-	160	194	202	208	213	216	217	216	214	209	204	196	186	
3,25-	153	164	171	176	179	182	183	182	180	177	172	166	158	
3,50-	132	141	146	150	153	155	156	155	153	151	147	142	136	
3,75-	114	122	126	129	132	133	134	134	132	130	127	123	117	
4,00-	100	106	110	113	115	116	117	116	115	113	110	107	102	
4,25-	88	94	97	100	101	103	103	103	102	100	97	94	90	
4,50-	79	84	87	89	91	92	93	93	91	90	87	84	80	
4,75-	70	76	79	82	84	85	85	85	84	82	80	76	71	
5,00-	61	69	73	76	78	79	79	79	78	76	74	69	52	

Şekil 3-61 21 Haziran - Saat : 8.00

Çalışma düzlemini üzerindeki aydınlatık düzeyi
dağılımı [lx]



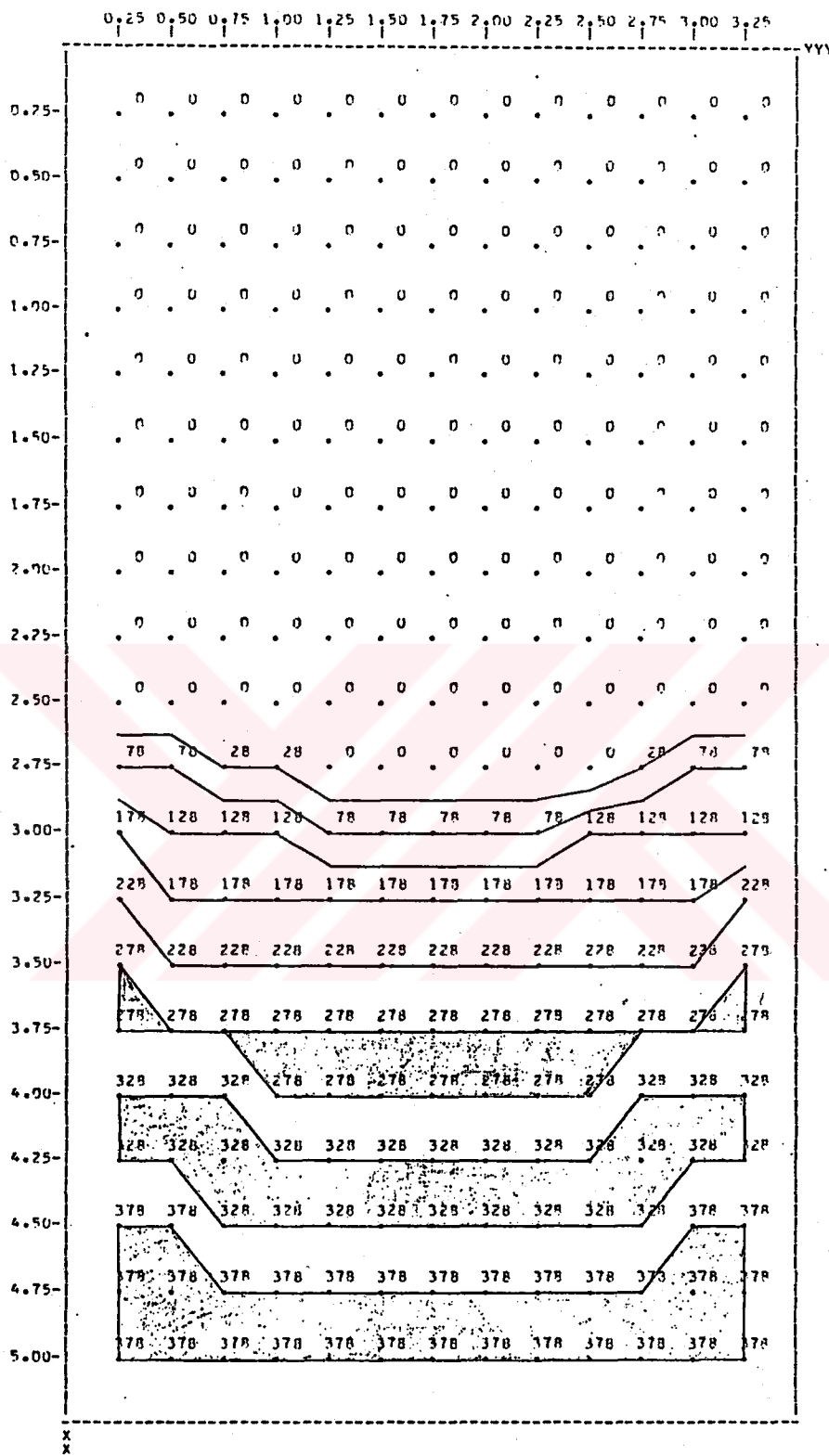
Şekil 3-62 21 Haziran - Saat : 8.00

Çalışma düzlemi üzerinde sağlanması gereken
aydınlatık düzeyi dağılımı [lx]

	0+25	0+50	0+75	1+00	1+25	1+50	1+75	2+00	2+25	2+50	2+75	3+00	3+25	Y/Y
0+25-	3487	4319	4595	4575	4232	3364	2547	2943	3954	4486	4617	4472	3908	
0+50-	3259	3338	4241	4246	3971	3469	3102	3276	3787	4170	4275	4097	3576	
0+75-	2587	3051	3286	3320	3187	2967	2925	2891	3102	3204	3121	3169	2802	
1+00-	2011	2315	2482	2533	2490	2406	2353	2377	2457	2524	2514	2395	2150	
1+25-	1552	1762	1882	1735	1935	1911	1893	1901	1926	1939	1909	1817	1648	
1+50-	1214	1357	1444	1492	1509	1509	1506	1508	1510	1501	1466	1396	1279	
1+75-	956	1061	1125	1165	1187	1196	1198	1197	1191	1175	1142	1088	1004	
2+00-	768	843	890	923	943	954	958	956	948	931	903	862	801	
2+25-	621	680	715	741	759	769	773	771	763	748	725	694	643	
2+50-	513	556	583	603	613	627	630	628	621	609	591	566	532	
2+75-	426	451	482	498	509	517	520	518	512	502	487	468	441	
3+00-	360	387	403	415	425	431	433	432	427	418	407	392	372	
3+25-	305	328	341	351	358	363	365	364	360	353	344	332	315	
3+50-	263	281	291	293	305	309	311	310	306	301	293	284	271	
3+75-	227	243	252	258	263	266	268	267	264	259	253	245	234	
4+00-	200	213	220	225	220	232	233	232	230	226	220	214	205	
4+25-	176	188	194	199	203	205	206	205	203	199	194	189	180	
4+50-	157	167	174	179	182	185	186	185	183	179	174	168	160	
4+75-	139	151	158	164	167	170	171	170	168	164	159	152	142	
5+00-	122	137	146	152	156	158	159	158	156	153	147	138	125	

Şekil 3-63 21 Haziran - Saat : 12.00

Çalışma düzlemini üzerindeki aydınlatık düzeyi
dağılımı [lx]



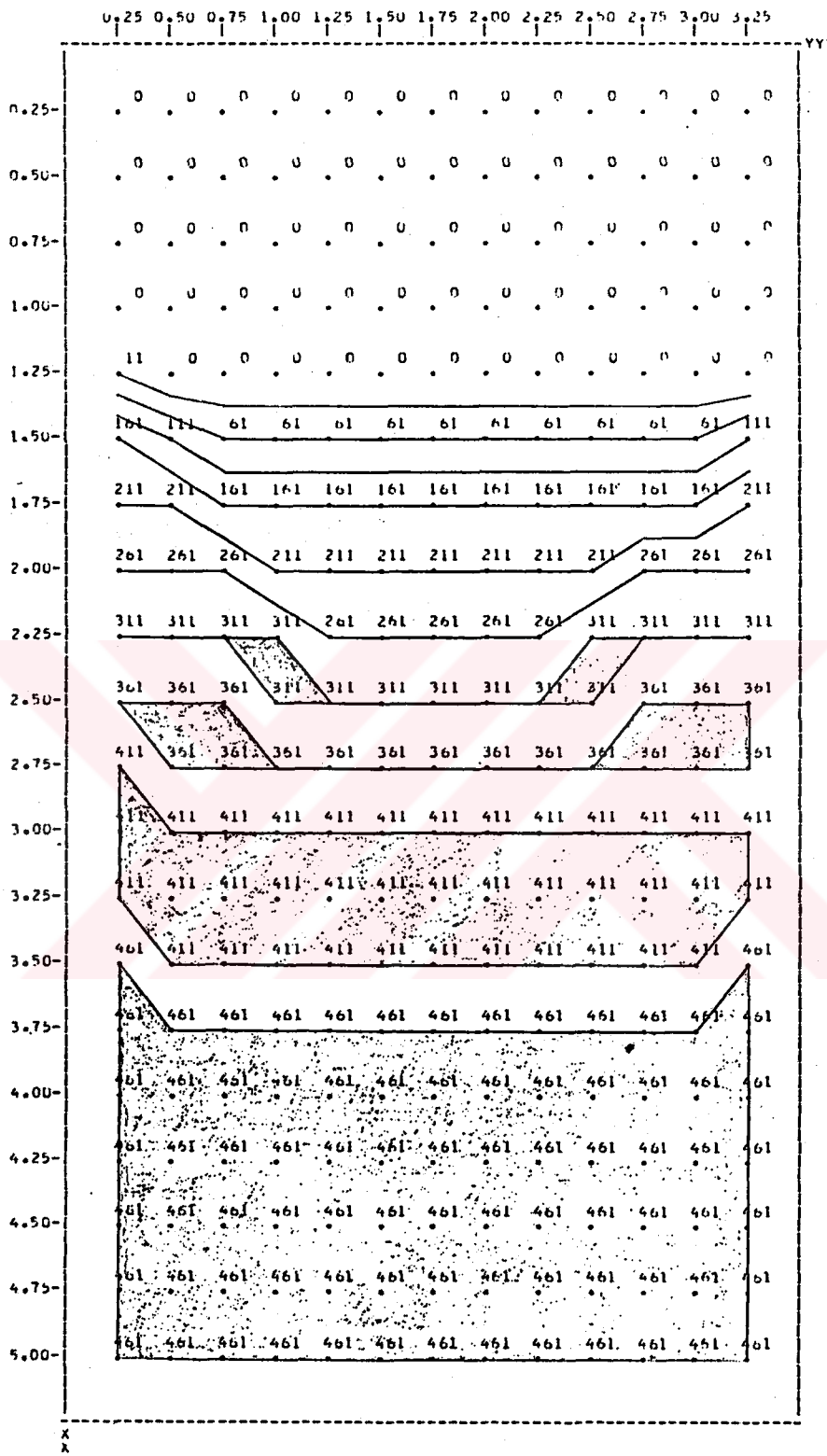
Şekil 3-64 21 Haziran - Saat : 12.00

Çalışma düzlemini üzerinde sağlanması gereken
aydınlatık düzeyi dağılımı [lx]

	0.25	0.50	0.75	1.00	1.25	1.50	1.75	2.00	2.25	2.50	2.75	3.00	3.25	YYY
0.25-	1100	1363	1450	1443	1335	1061	803	929	1247	1415	1457	1411	1233	
0.50-	1027	1242	1338	1340	1253	1095	979	1034	1195	1316	1342	1293	1128	
0.75-	816	963	1037	1043	1006	936	991	912	979	1076	1048	1000	884	
1.00-	635	730	783	794	786	759	742	750	775	796	733	756	678	
1.25-	490	556	594	610	611	603	597	600	608	612	602	573	520	
1.50-	383	428	456	471	476	476	475	476	476	474	463	443	406	
1.75-	302	335	355	368	374	377	378	370	376	371	360	343	317	
2.00-	242	266	281	291	298	301	302	302	299	294	285	272	253	
2.25-	196	214	226	234	239	243	244	243	241	236	227	219	204	
2.50-	162	175	184	190	195	198	199	198	196	192	185	179	168	
2.75-	134	145	152	157	161	163	164	163	162	158	154	143	139	
3.00-	114	122	127	131	134	136	137	136	135	132	128	124	117	
3.25-	96	104	108	111	113	114	115	115	113	111	109	105	99	
3.50-	83	89	92	94	96	98	98	98	97	95	93	90	85	
3.75-	72	77	79	81	83	84	84	84	83	82	80	77	74	
4.00-	63	67	69	71	72	73	74	73	73	71	70	68	65	
4.25-	55	59	61	63	64	65	65	65	64	63	61	59	57	
4.50-	50	53	55	56	58	58	59	58	58	56	55	53	50	
4.75-	44	48	50	52	53	54	54	54	53	52	50	48	45	
5.00-	39	43	46	48	49	50	50	50	49	48	46	44	39	

Şekil 3-65 21 Haziran - Saat : 17.00

Çalışma düzlemini üzerindeki aydınlatık düzeyi
dağılımını [lx]



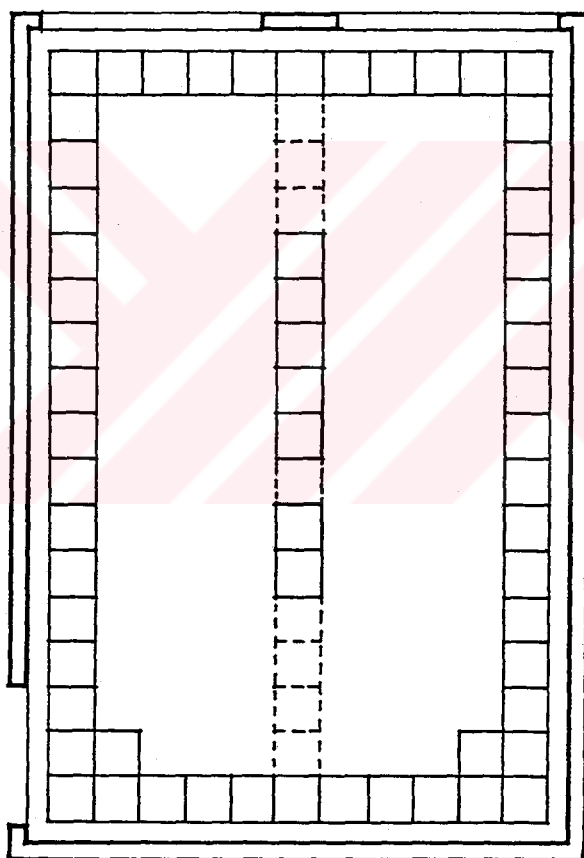
Şekil 3-66 21 Haziran - Saat : 17.00

Çalışma düzlemini üzerinde sağlanması gereken
aydınlatık düzeyi dağılımı [lx]

3.4. DOĞAL IŞIĞI TAMAMLAYICI YAPAY AYDINLATMA UYGULAMASI

Örnek oda 2 için, 21 Aralık gününe ait, doğal aydınlatmayı tamamlayıcı yapay aydınlatma sistemi için bir öneri yapılmıştır. Kullanılan armatürler, üstleri ve yanları alimünyum ayna ve altları 30x30 cm ebadında opal camdan oluşan, içerilerinde birer tane 11 W/900 lm' lik PL tipi fluoresan lamba bulunan armatürlerdir. Bu aygıtlar tavana gömülü olarak kullanılmak üzere tasarlanmıştır. Alimünyum aynanın ışık yutma katsayısı yaklaşık %12, opal camın ışık geçirgenliği ise yaklaşık %55 seçildiğinde armatürün verimi %48 olarak kabul edilebilir.

Örnek oda 2 için yapay aydınlatma sistemi Şekil 3-67' deki gibi tasarlanmıştır.

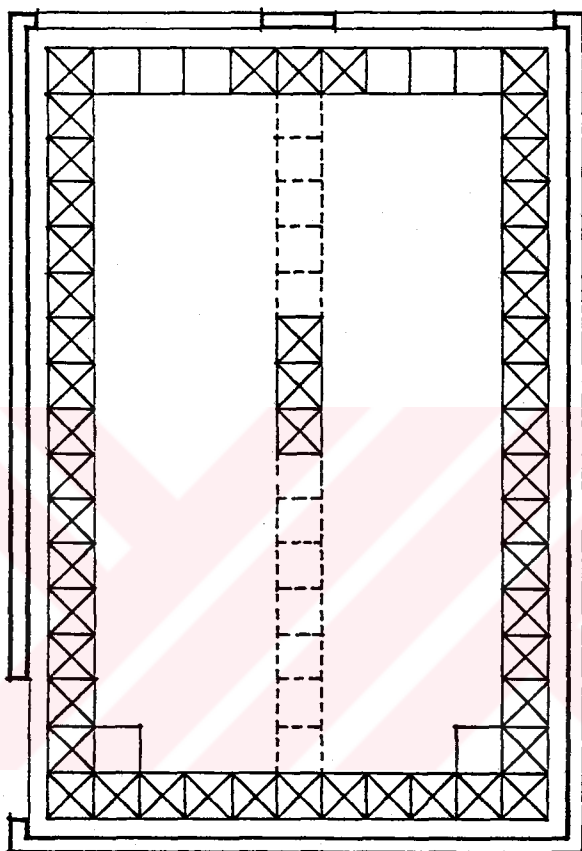


Şekil 3-67 Örnek oda 2 için doğal ışığı tamamlayıcı yapay aydınlatma sistemi

Bu sistem içerisinde, sabah saat 8.00' den başlayarak akşam saat 17.00' ye kadar devreye sokulması gereken armatürler her saat

başı için Şekil 3-68' den Şekil 3-71' e kadar X işaretleri ile belirlenmiştir.

Bu armatür kombinasyonlarıyla örnek oda 2 içerisinde var olan doğal ışık koşulları altında yaklaşık 500 lx' lük minimum aydınlichkeit düzeyi 50 lx' lük salınımlarla her noktada sağlanabilmektedir.



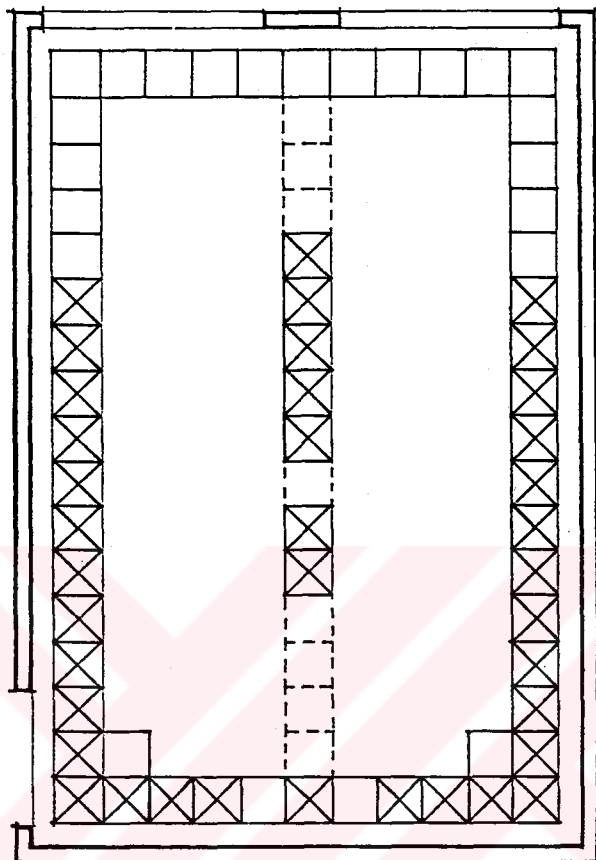
Şekil 3-68 Saat : 8.00 veya 16.00

Devrede olan armatür sayısı : 49

Doğal aydınlatma göz önüne alınmadığı takdirde söz konusu hacime uygulanması gereken aydınlatma sistemi saat 17.00' ye ait olan şekildir (Şekil 3-72). Burada armatürler, doğal ışık mevcut olmadığından sadece yapay ışık tarafından sağlanan aydınlichkeit düzeyi tüm çalışma düzlemini üzerinde ortalama 500 lx, ve düzgünlik faktörü 0,90 olacak şekilde yerleştirilmişlerdir.

İngiltere' de yapılmış olan davranış araştırmaları göstermiştir ki, özellikle çok kullanıcılı büro hacimlerinde insanlar bir hacime girmeye başladıkça lambaları da yakmaya

başlamakta ve hiç söndürmemektedirler. Lambalar ancak bu hacimden son kişi çıkarken söndürülmektedir. Özellikle bürolarda bunun sonucunda bütün ışıklar bütün gün açık kalmakta ve akşam iş bitiminde hepsi söndürülmektedir [41], [42], [43], [44].



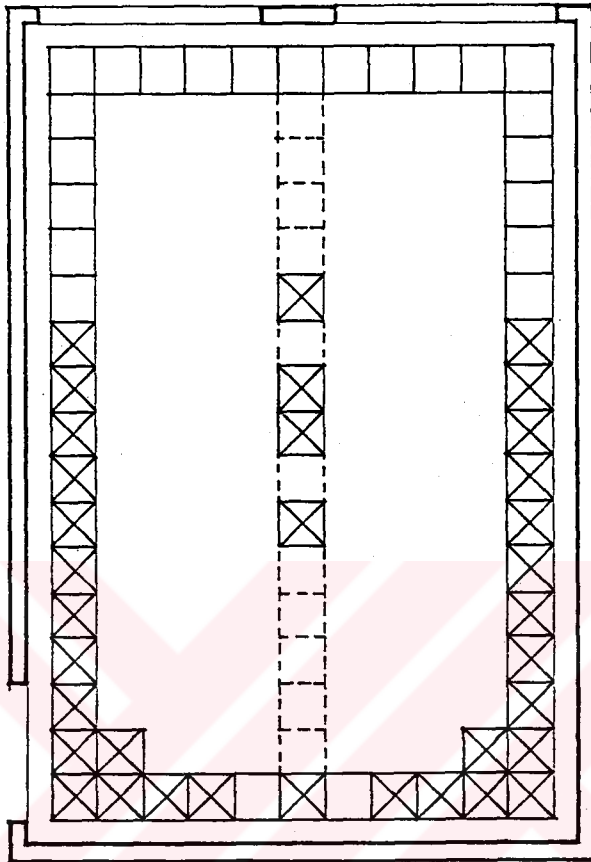
Şekil 3-69 Saat : 9.00 veya 15.00

Devrede olan armatür sayısı : 38

Örnek olarak alınan odada gün ışığı hesaba katılmadan bir aydınlatma tasarımlı yapıldığı varsayılsa, aynı sistem kullanılarak hacimi aydınlatmak için 53 armatür kullanılması gereği görülür. Yukarıda bahsedilen davranış araştırmalarının sonuçlarına dayanılarak bu armatürlerin bütün gün devrede olacakları varsayılsa, söz konusu aydınlatma sistemi bir günde $15 \times 53 \times 9 = 7.155$ kWh enerji çeker, bir yıl için bunun toplamı $5 \times 52 \times 7.155 = 1860.3$ kWh eder.

Doğal aydınlatma göz önüne alınarak ve bu çalışmada ortaya konmuş olan bilgisayar programları yardımıyla elde edilen tamamlayıcı noktasal yapay aydınlatma değerlerine dayanılarak

hazırlanmış olan yapay aydınlatma sistemi ile bir gün içinde örnek odada aydınlatma amacıyla harcanan elektrik enerjisi miktarı 5.145 kWh' e düşürülebilir. Bu, doğal aydınlatma göz önüne alınmadan yapılan aydınlatmaya göre %28 bir artırım demektir.

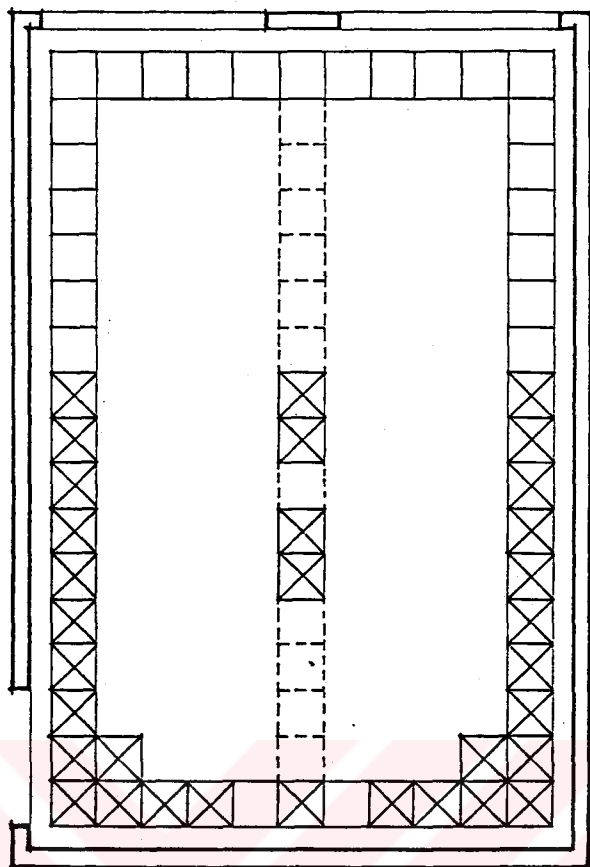


Şekil 3-70 Saat : 10.00 veya 14.00

Devrede olan armatür sayısı : 35

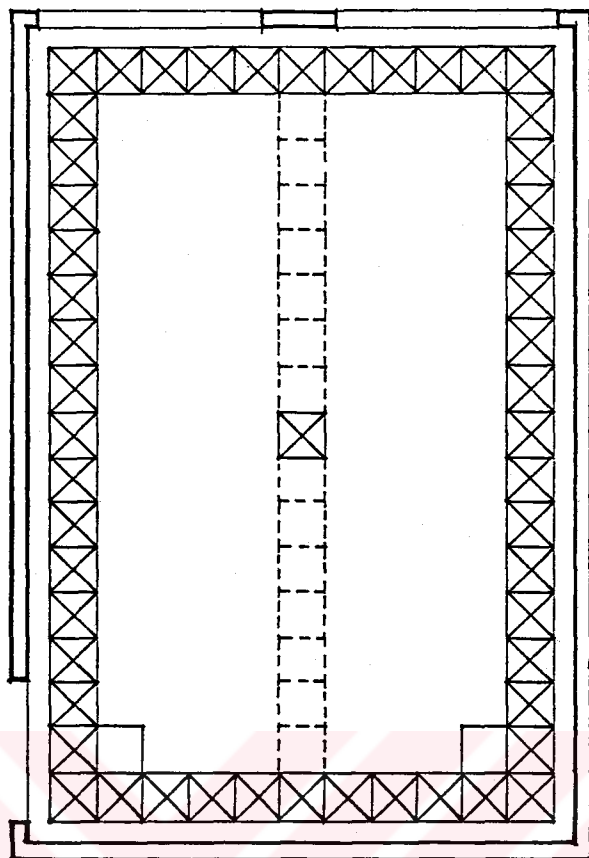
Yukarıda önerilen yapay aydınlatma sistemi 21 Aralık gününün ışık koşullarına göre hazırlanmıştır, yani en kötü durumu içerir. Bu sistem, yalnız saatlere göre değil, ayrıca mevsimlere veya aylara göre değişir hale getirilebilir ve bu durumda yapılacak artırım daha büyük olacaktır.

Yapay aydınlatmanın nerelerde tamamlayıcı bir ışık kaynağı olarak devreye girmesi gereğinin önceden hesaplanması ve sistemin buna dayanılarak tasarlanması aydınlatma enerjisi açısından %30 dolayında bir artırım getirmesinin yanı sıra ışık dağılımının düzgünliğini sağlaması açısından da faydalıdır.



Şekil 3-71 Saat : 11.00 veya 12.00 veya 13.00

Devrede olan armatür sayısı : 33



Sekil 3-72 Saat : 17.00

Devrede olan armatür sayısı : 53

SONUÇ

Doğal ışığın hacim içindeki dağılımını hesaplamak uzun ve uğraştırıcı yöntemlerle gerçekleştirildiğinden, ülkemizde aydınlatma tasarımcıları tasarımlarını, ya tamamen karanlık ortamlar için yapmakta, ya da hacime giren doğal ışığı yaklaşık olarak hesaba katmaktadır. Bu çalışmada, yapay aydınlatma tasarımcısına, aydınlatma tasarımını yaptığı hacimin içindeki doğal ışık dağılımını kolay ve çok kısa sürede sayısal değerleri ile birlikte elde edebileceğि bir araç hazırlanmıştır. Bu araç, bina planından okunabilecek verileri kullanarak kademeli olarak çalıştırılabilen iki bilgisayar programından oluşmaktadır.

Bu bilgisayar programları, mevcut binalarda yapay aydınlatma sistemini daha ekonomik bir şekilde getirmek için de kullanılabilirler. Mevcut binalarda, hacim içindeki doğal ışık dağılımının belirlenmesi ölçme yoluyla gerçekleştirilebilirse de, doğal ışık dağılımı hacimlerde yıl içinde sürekli değiştiğinden, sağlıklı sonuçlar elde etmek için yapılacak ölçmelerin uzun zaman dilimleri içine yayılması gereklidir. Ölçme süresinin uzunluğu ise tasarım süresini ve malyetini arttırmaktadır.

Ayrıca, bu çalışmada ortaya konan bilgisayar programlarının çıktılarına dayanılarak, yapay aydınlatma sisteminin tasarımının bilgisayar yardımıyla yapılması da mümkündür.

Program çıktılarının veri olarak kullanılabileceği diğer bir alan, otomatik ışık kontrol sistemlerinin tasarımıdır. Yapay ışığın doğal ışığa göre kontrolü zamana bağlı olarak önceden programlanmış bir şemaya göre yapılabilir. Bir hacimin içindeki doğal ışık dağılımını istenen herhangi bir an için önceden belirlemek mümkün

olduğuna göre, bunu tamamlayıcı yapay ışık dağılımını da bulmak mümkündür. Bu da otomatik ışık kontrolünde kullanılacak şemayı verir.

Bir başka sistem, binanın tepesine yerleştirilecek ve zenit parıltısını ölçeceğ bir fotoelemandan elde edilecek verileri, ELZET programının çıkışları olan ve her hacimde zamana göre sabit E/LZ haritaları ile birlikte değerlendiren bir otomatik kontrol elemanın bina içindeki yapay ışık kaynaklarına kumanda etmesidir.

Hacimleri kullanan insanlar geri besleme elemanları olarak kabul edilmediklerinde, önerilen sistemlerin ikisi de açık çevrimli kontrol sistemleridir. Ancak kullanıcılar kumanda olanağını daima vermek gereklidir, ve hacimlerde merkezi kumandaya göre öncelikli ışık açma/kapama olanaklarının bulunmasında yarar vardır.

İstanbul ve çevresinde, kapalı gök modelinin gerektirdiği bulutluluk koşulları sene içinde ortalama % 70' lik bir oranda ortaya çıkmaktadır. Geri kalan sürede açık gök modeli geçerlidir. Bu çalışma, açık gök modeli için de hesaplar yapıp, meteorolojik verilere dayanılarak bu modelin geçerli olduğu mevsim bölgelerinde sonuçlar bu modele göre elde edilerek, geliştirilebilir. Ancak açık gök modeline ait parıltı dağılımı çok karmaşık bir ifadeye sahip olduğundan, dolaysız olarak gök ışığından kaynaklanan aydınlichkeit düzeylerinin bulunmasında dahi sayısal hesap yöntemleri kullanmak zorunluğunu doğabiliyor. Bu çalışmada kapalı gök modeli için yapılan hesaplarda bu aşamaya analitik olarak varılmıştır. Gök modelinin gerçeğe göre getirdiği hata hesaba katılmadığında analitik çözüm fazla zaman ve para harcamadan sıfır hata demektir. Hazırlanan modele, sayısal yöntemler ve dış yansımalar ait yapılan kabullerle birlikte, hata bu aşamadan sonra girmektedir. Ancak tamamen engelli olmayan hacimlerde ışık dağılımını ağırlıklı olarak etkileyen etken dolaysız gök ışığı olduğundan, bu hata ihmali edilebilir.

Bugüne kadar uluslararası örgütlerce standart olarak kabul edilen ve ülkemizde egemen olan meteorolojik koşullar açısından geçerli olabilecek iki gök modeli, kapalı gök modeli ve açık gök modelidir. Bu iki model de gerçek gök koşullarına ancak bir yaklaşım getirmektedirler. Hem İstanbul ilinin meteorolojik

verileri bu il ve çevresinde yıl içinde büyük oranda kapalı gök modelinin gerektirdiği bulutluluk koşullarının ortaya çıktığını gösterdiğinden, hem de tasarım açısından kapalı gök modeli en kötü koşulları verdiğinde, bu çalışmada, daha önce de belirtildiği gibi, bu gök modeli esas alınmıştır. Gerçek gök modeli üzerinde senelerden beri çalışmalar yapılmaktadır. Bu araştırmalar sonuçlandığında, bu çalışmanın da gerçek gök modeline uygulanması gerekecektir.

KAYNAKLAR

- [1] REHM, S., Beeinflussung von Gesundheit und Wohlbefinden durch Licht, *Lichttechnik*, Nr.9, 444-446, 1980
- [2] WESTON, H.C., *Sight Light and Work*, H.K. Lewis, 1962
- [3] ESKENAZİ, M., *Aydınlatma Notları*, Matbaa Teknisyenleri Basımevi, 1970
- [4] MESHKOV, V.V., *Fundamentals of Illumination Engineering*, MIR Publishers, 1981
- [5] ÖZKAYA, M., *Aydınlatma Tekniği*, Bursa Üniversitesi Yayınları, 1981
- [6] MOON, P., *Scientific Basis of Illuminating Engineering*, Dover Publications, 1961
- [7] SOMMER, J., Einfluss der Beleuchtung auf Intelligenz-, Konzentrations- und Reaktionsleistungen, *Lichttechnik*, Nr.8, 342-345, 1977
- [8] STECK, B., Photobiologische Wirkungen der optischen Strahlung auf den Menschen, *Lichttechnik*, Nr.1, 23-27, 1976
- [9] SCHMEIL, O., *Der Mensch, Quelle und Meyer*, 1968
- [10] LOGAN, H.L., The Relationship of Light to Health, *Illuminating Engineering*, 159-167, March 1967
- [11] HOLLWICH, F., DIECKHUES, B., MEINERS, C.O., Die physiologische Bedeutung des Lichtes für den Menschen, *Lichttechnik*, Nr.10, 388,394, 1975
- [12] Handbuch für Beleuchtung, Verlag W. Girardet, 1975
- [13] STECK, B., Die Einwirkung der optischen Strahlung (Licht, UV und IR) auf den Organismus des Menschen, Technisch-wissenschaftliche Abhandlungen der Osram-Gesellschaft, Vol.11, 416-428, 1973
- [14] VEM-Handbuch Beleuchtungstechnik, VEB Verlag Technik, 1975
- [15] KÜÇÜKDÖĞU, M.Ş., İklimsel Konfor ve Aydinlık Seviyesine Bağlı Görsel Konfor Gereksinmeleri Açısından, Pencerelerin Tasarlanmasında Kullanılabilecek bir Yöntem, İ.T.Ü. Mimarlık Fakültesi Baskı atölyesi, 1976
- [16] HOPKINSON, R.G., COLLINS, J.B., *The Ergonomics of Lighting*, Macdonald Technical and Scientific, 1970

- [17] Elektrik Mühendisliği Proje Düzenleme Esasları,
T.C. Bayındırılık Bakanlığı Personeli Biriktirme ve
Yardımlaşma Sandığı, Sayı.76/33, 1977
- [18] Elektrik Mühendisliği Cep Kitabı, TMMOB Elektrik Mühendisleri
Odası İstanbul Şubesi, 1982
- [19] The IES Code-Interior Lighting, The Illuminating Engineering
Society, 1977
- [20] KÜÇÜKDOĞU, M.Ş., Günüşiginden Yararlanmada En Etkili Olan Hacim
Derinliğinin Belirlenmesi, İ.T.Ü. Mimarlık Fakültesi
Baskı atölyesi, 1982
- [21] YÜCEL, A., Işıksal Aydınlığın Bulanıklık Faktörüne Bağlı
Değişimini, Güneş Enerjisi ve Çevre Dizaynı Ulusal
Sempozyumu, 1978
- [22] KROCHMANN, J., Über die Berechnung der Beleuchtung von
Innenräumen mit Tageslicht, Fakultaet für
Elektrotechnik der Technischen Universitaet Berlin,
1964
- [23] LITTLEFAIR, P.J., The luminous efficacy of daylight: a review,
Lighting Research and Technology, Vol.17, Nr.4,
162-181, 1985
- [24] HENDERSON, S.T., MARSDEN,A.M., Lamps and Lighting,
Edward Arnold, 1972
- [25] KILIÇ.,A., ÖZTÜRK, A., Güneş Enerjisi, Kipaş Dağıtımçılık, 1983
- [26] KROCHMANN, J., SEIDL, M., Quantitative Data on Daylight for
Illuminating Engineering, Lighting Research and
Technology, Vol.6, Nr.3, 165-171, 1974
- [27] GRIFFITH, J.W., WENZLER., O.F., CONOVER, E.W., The Importance
of Ground Reflection In Daylighting,
Illuminating Engineering, Vol.48, 35-38, 1953
- [28] KROCHMANN, J., Über die Berechnung des Tageslichtquotienten bei
klarem Himmel, Lichttechnik, Nr.8, 91A-94A, 1965
- [29] CIE TECHNICAL COMMITTEE TC-4.2., Standardization of Luminance
Distribution on Clear Skies, Publication CIE,
Nr.22, 1973
- [30] KITTLER, R., Standardization of Outdoor Conditions for the
Calculation of Daylight Factor with Clear Skies,
Bouwcentrum International, 273-285, 1967
- [31] BERGEM-JANSEN, P.M., SOELEMAN, R.S., Analysis of the Thermal
and Daylighting Performance of Windows,
TNO Research Institute for Environmental Hygiene,
Publication No.679, 1979
- [32] BERGEM-JANSEN, P.M., Window Design from Visual and Thermal
Points Of View, TNO Research Institute for
Environmental Hygiene, Publication No.645, 1979

- [33] KÜÇÜKDOĞU, M.Ş., A Graphical Model for Determining the Locations and Dimensions of Windows from a Natural Lighting and Natural Climatisation Standpoint, Proceedings of Windows in Building Design and Maintenance Congress Goteborg Sweden, 134-139, 1984
- [34] KAO CHEN, New Concepts in Interior Lighting Design, IEEE Transactions on Industry Applications, Vol.IA-20, Nr.5, 1179-1184, 1984
- [35] IES Lighting Handbook, Illuminating Engineering Society, 1966
- [36] WEGNER, J., Über die verschiedenen Methoden der Tagesbeleuchtungsbewertung und -planung, Lichttechnik, Nr.10, 555-559, 1960
- [37] DAHMEN, E., Zur Ermittlung des Raumwirkungsgrades und zur Darstellung des Innenreflexionsanteils des Tageslichtquotienten, Lichttechnik, Nr.9, 452-454, 1962
- [38] KROCHMANN, J., GILG, J., Über die Berechnung des Tageslichtes in Raeumen mit Oberlicht nach der Wirkungsgradmethode, Lichttechnik, Nr.6, 353-356, 1971
- [39] BIESELE, R.L., ARNER, W.J., CONOVER, E.W., A Lumen Method of Daylighting Design, Illuminating Engineering, Vol.48, 39-48, 1953
- [40] MOON, P., SPENCER, D.E., Lighting Design, Addison-Wesley, 1948
- [41] CRISP, V.H.C., A Case for "Active" Daylighting by Appropriate Management of Electric Lighting, Energy and Buildings, Vol.6, 151-158, 1984
- [42] HUNT, D.R.G., The Use of Artificial Lighting in Relation to Daylight Levels and Occupancy, Building and Environment, Vol.14, 21-33, 1979
- [43] CRISP, V.H.C., HENDERSON, G., The energy management of artificial lighting use, Lighting Research and Technology, Vol.14, 193-205, 1982
- [44] CRISP, V.H.C., The light switch in buildings, Lighting Research and Technology, Vol.10, 69-82, 1978
- [45] DAVIS, G.B., Introduction to Electronic Computers, McGraw-Hill, 1971

EK A

E/LZ FAKTÖRÜNÜN A DÜZLEMİNDEKİ GÖK BİLEŞENİNİN HESAPLANMASI

Şekil 3-2' de,

a : pencere alt kenar yüksekliği,
b : pencere üst kenar yüksekliği,

d : Şekil 3-3' de gözüken eksen takımının orijinine en yakın olan pencere kenarının, orijine olan yataydaki uzaklığı,

e : pencerenin eni,

f : Şekil 3-2' deki eksen takımının pencere duvarına dik olan ekseninin (x ekseni) pencere duvarını kestiği noktadan, pencerenin, Şekil 3-3' de gözüken eksen takımının orijini tarafındaki, kenarına olan yatay uzaklık,

g : aynı noktadan pencerenin diğer kenarına olan yatay uzaklık,

θ : göz önüne alınan dS gök parçasının yükseklik açısı,

ϕ : dS gök parçası ile M gözleme noktasını birleştiren doğrunun (x,y) düzlemine izdüşümü ile x ekseni arasında kalan açıdır.

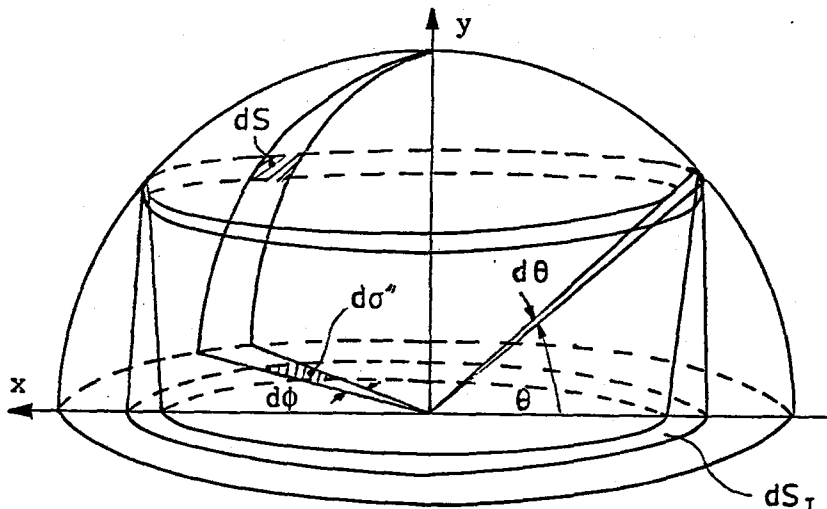
Burada, her bir gözleme noktasındaki hesap için Şekil 3-2' deki eksen takımı, Şekil 3-3' deki eksen takımına göre yer değiştirir. Bu hareket sırasında g ve f değerleri (3.13) denklemlerine göre değişirler.

A düzleminde E/LZ faktörünün gök bileşeninin hesaplanabilmesi için,

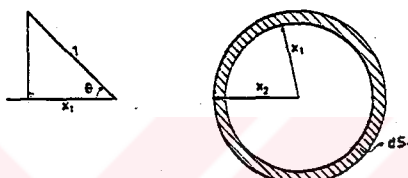
$$\begin{aligned} (E/LZ)_A &= \% \frac{E}{L_z} \cdot 100 = && \text{(Ek A1)} \\ &= \% \frac{100}{3} \int_0^{\pi} \int_{\phi} \sin\theta \cos\theta (1+2\sin\theta) d\theta d\phi \end{aligned}$$

denkleminin çözülmesi gereklidir. Bu denklemin elde edilmesi ise şu şekildedir:

Gök kubeyi, parıltısı sabit kabul edilebilecek küçük gök elemanlarına bölersek, bu gök elemanlarının her birini bir noktasal kaynak olarak kabul edebiliriz ve bunlara katı açı yöntemini uygulayabiliriz.



Şekil A.1 Gözleme noktasının etrafına yerleştirilen birim yarıküre



Şekil A.2 Birim yarıküreye ait koordinatlar

$$\cos\theta = x_2 ; \cos(\theta + \Delta\theta) = x_1 ; dS_T = \pi x_2^2 - \pi x_1^2$$

$$dS_T = \pi(x_2^2 - x_1^2) = -\pi \left(\frac{\cos^2(\theta + \Delta\theta) - \cos^2\theta}{\Delta\theta} \right) \Delta\theta =$$

$$= -\pi \frac{d\cos^2\theta}{d\theta} d\theta = \pi 2 \cos\theta \sin\theta d\theta$$

$$\phi = 2\pi \text{ için } dS_T = 2\pi \cos\theta \sin\theta d\theta$$

$$\phi = d\phi \text{ için } d\sigma'' = \frac{dS_T \cdot d\phi}{2\pi}$$

θ ve ϕ açılarıyla belirlenen gök elemanının yatay düzleme izdüşümü

$$d\sigma'' = \cos\theta \sin\theta d\theta d\phi \quad (\text{Ek A2})$$

dir. Katı açı ile aydınlik düzeyi hesabını veren formül

$$E = \int_S L \cdot d\sigma'' \quad (\text{Ek A3})$$

dür. Parıltı, kapalı gök modeli için (2.12) denklemi ile $L = L_z(1+2\sin\theta)/3$ olarak verilmiş olduğuna göre (Ek A2) ve (2.12) denklemlerini (Ek A3) denkleminde yerine koyarsak (Ek A1) denklemi elde ederiz.

(Ek A1) denklemi Şekil 3-2' deki kartezyen koordinatlar cinsinden ifade etmek için, bu şekilde göre

$$\theta = \operatorname{atg} \frac{z}{(x^2+y^2)^{1/2}} ; \quad \phi = \operatorname{atg} \frac{y}{x}$$

$$J = \begin{vmatrix} \frac{d\theta}{dz} & \frac{d\theta}{dy} \\ \frac{d\phi}{dz} & \frac{d\phi}{dy} \end{vmatrix} = \frac{d\theta}{dz} \frac{d\phi}{dy} - \frac{d\theta}{dy} \frac{d\phi}{dz}$$

$$\frac{d\theta}{dy} \frac{d\phi}{dz} = 0 \quad (\frac{d\phi}{dz} = 0)$$

$$\frac{d\theta}{dz} = \frac{(x^2+y^2)^{1/2}}{x^2+y^2+z^2} ; \quad \frac{d\phi}{dy} = \frac{x}{x^2+y^2}$$

$$d\theta d\phi = \frac{x}{(x^2+y^2)^{1/2} (x^2+y^2+z^2)} dy dz$$

$$\sin\theta = \frac{z}{(x^2+y^2+z^2)^{1/2}} \quad \cos\theta = \frac{(x^2+y^2)^{1/2}}{(x^2+y^2+z^2)^{1/2}}$$

$$(E/LZ)_A = \% \frac{E}{L_z} \cdot 100 = \quad (\text{Ek A4})$$

$$= \% \frac{100}{3} \int_{y=-g}^f \int_{z=a}^b \left(\frac{x z}{(x^2+y^2+z^2)^2} + \frac{2 x z^2}{(x^2+y^2+z^2)^{5/2}} \right) dy dz$$

yazabiliriz. (Ek A4) entegrali çözüldüğünde, (3.12) denklemi elde edilir.

EK B

E/LZ FAKTÖRÜNÜN B DÜZLEMİNDEKİ GÖK BİLEŞENİNİN HESAPLANMASI

Şekil 3-4' de,

ab : pencere alt kenar yüksekliği,

bb : pencere üst kenar yüksekliği,

g : x ekseninin pencere duvarını kestiği noktadan, pencerenin yakın kenarına olan yatay uzaklık,

f : aynı noktadan pencerenin uzak kenarına olan yatay uzaklık,

θ : göz önüne alınan dS gök parçasının yükseklik açısı,

ϕ : dS gök parçası ile M gözleme noktasını birleştiren doğrunun (x,y) düzlemine izdüşümü ile x ekseni arasında kalan açı,

β : dS gök parçası ile M gözleme noktasını birleştiren doğru ile (x,z) düzleminin (B düzlemini) dikinin (y ekseni) yaptığı açıdır.

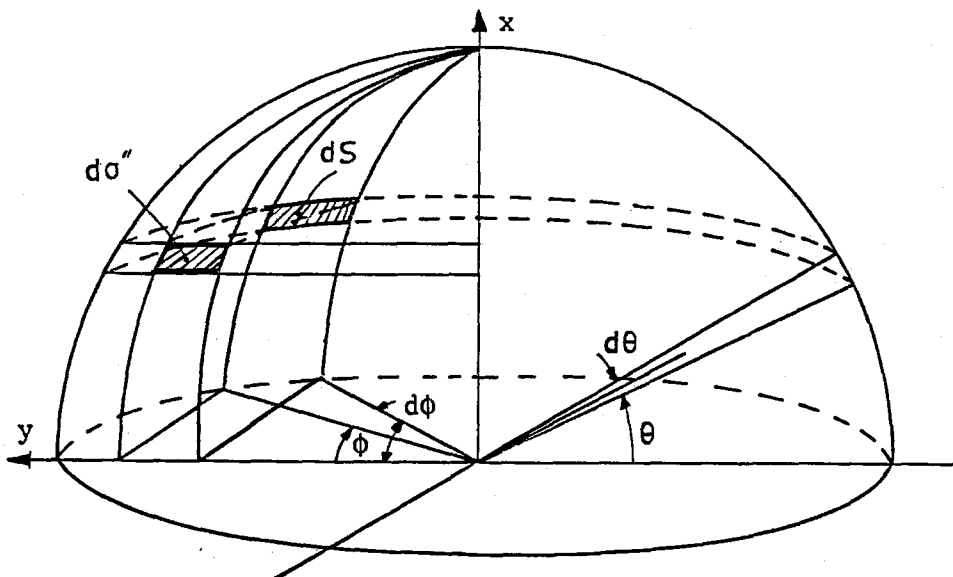
Burada, her bir gözleme noktasındaki hesap için Şekil 3-4' deki eksen takımı B düzlemini üzerinde, Şekil 3-3' deki eksen takımına göre yer değişir. Bu hareket sırasında ab ve bb değerleri (3.15) denklemlerine göre değişirler. B düzleminde hesap yaparken f ve g değerleri sabittirler ve bu değerler de (3.13) denklemlerine göre belirlenirler.

B düzleminde E/LZ faktörünün gök bileşeninin hesaplanabilmesi için

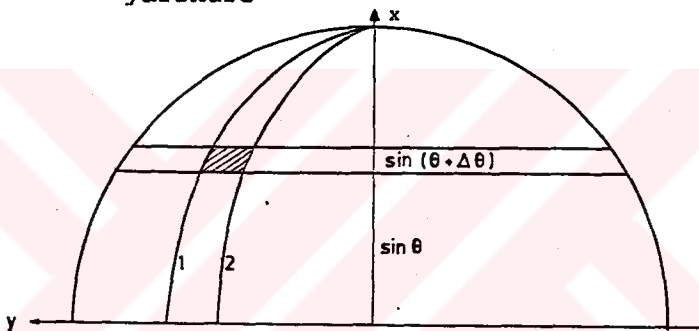
$$\begin{aligned} (E/LZ)_B &= \% \frac{E}{L_z} \cdot 100 = && \text{(Ek B1)} \\ &= \% \frac{100}{3} \int_{\theta} \int_{\phi} (1+2\sin\theta) \cos\theta \cos\beta \, d\theta \, d\phi = \\ &= \% \frac{100}{3} \int_{\theta} \int_{\phi} (1+2\sin\theta) \sin\phi \cos^2\theta \, d\theta \, d\phi \end{aligned}$$

denkleminin çözülmesi gereklidir. Bu denklemin elde edilmesi ise şu şekildedir:

Ek A' da olduğu gibi, gök kubbeyi, parıltısı sabit kabul edilebilecek kadar küçük gök elemanlarına bölersek, bu gök elemanlarının her birini bir noktasal kaynak olarak kabul edebiliriz ve bunlara katı açı yöntemini uygulayabiliriz.



Şekil B.1 Gözleme noktasının etrafına yerleştirilen birim yarıküre



Şekil B.2 Birim yarıküreye ait koordinatlar

Şekil B.2' deki (1) elipsi için

$$\frac{y_1^2}{\cos^2 \phi} + x^2 = 1 \quad (\text{Ek B2})$$

benzer olarak (2) elipsi için

$$\frac{y_2^2}{\cos^2(\phi + \Delta\phi)} + x^2 = 1 \quad (\text{Ek B3})$$

yazabiliris. (Ek B2) denlemesini

$$y_1 = (1-x^2)^{1/2} \cos \phi \quad (\text{Ek B4})$$

ve (Ek B3) denlemesini

$$y_2 = (1-x^2)^{1/2} \cos(\phi + \Delta\phi) \quad (\text{Ek B5})$$

şeklinde ifade edip, bunların arasındaki farkın entegralini $\sin \theta'$ dan $\sin(\theta + \Delta\theta)'$ ya kadar alırsak, Şekil B.2' de taralı olarak gösterilen $d\sigma''$ alanını buluruz.

EK C

E/LZ FAKTÖRÜNÜN C DÜZLEMİNDEKİ GÖK BİLEŞENİNİN HESAPLANMASI

Şekil 3-5' de,

ab : pencere alt kenar yüksekliği,

bb : pencere üst kenar yüksekliği,

f : Şekil 3-5' deki eksen takımının pencere duvarına dik olan ekseninin (x ekseni) pencere duvarını kestiği noktadan, pencerenin, Şekil 3-3' de gözüken eksen takımının orijini tarafındaki, kenarına olan yatay uzaklık,

g : aynı noktadan pencerenin diğer kenarına olan yatay uzaklık,

θ : göz önüne alınan dS gök parçasının yükseklik açısı,

ϕ : dS gök parçası ile M gözleme noktasını birleştiren doğrunun (x,y) düzlemine izdüşümü ile x ekseni arasında kalan açı,

γ : dS gök parçası ile M gözleme noktasını birleştiren doğru ile (y,z) düzleminin (C düzlemi) dikinin (x ekseni) yaptığı açıdır.

C düzlemi üzerinde değişik gözleme noktalarında hesap yaparken, Şekil 3-5' deki eksen takımını C düzlemi üzerinde, Şekil 3-3' deki eksen takımına göre yer değiştirir. Her bir gözleme noktasındaki hesap için, ab ve bb değerleri (3.15) denklemlerine göre, f ve g değerleri ise (3.13) denklemlerine göre yeniden belirlenirler.

$$\begin{aligned}
 (E/LZ)_C &= \% \frac{E}{L_z} \cdot 100 = \\
 &= \% \frac{100}{3} \int_0^{\pi} \int_{\phi} (1+2\sin\theta) \cos\theta \cos\gamma \, d\theta \, d\phi = \\
 &= \% \frac{100}{3} \int_0^{\pi} \int_{\phi} (1+2\sin\theta) \cos^2\theta \cos\phi \, d\theta \, d\phi
 \end{aligned}$$

C düzleminde E/LZ faktörünün gök bileşeninin hesabı için yukarıdaki denklemin çözümü gereklidir. Bu denklemin çararlılığı ise şöyledir:

Ek A ve Ek B' de olduğu gibi burada da, gök kubbeyi, parıltısı sabit kabul edilebilecek kadar küçük gök elemanlarına bölersek, bu gök elemanlarının her birini bir noktasal kaynak olarak kabul edebiliriz ve bunlara katı açı yöntemini uygulayabiliriz.

$$\begin{aligned}
 d\sigma'' &= \int_{\sin\theta}^{\sin(\theta+\Delta\theta)} (1-x^2)^{1/2} (\cos\phi - \cos(\phi+\Delta\phi)) dx = \\
 &= -(\cos(\phi+\Delta\phi) - \cos\phi) \cdot \\
 &\quad \cdot \left[\frac{x}{2} (1-x^2)^{1/2} - \frac{1}{2} \arcsin x \right] \frac{\sin(\theta+\Delta\theta)}{\sin\theta} = \\
 &= -(\cos(\phi+\Delta\phi) - \cos\phi) \left(\frac{1}{2} \sin(\theta+\Delta\theta) (1-\sin^2(\theta+\Delta\theta))^{1/2} + \right. \\
 &\quad \left. + \frac{1}{2} (\theta+\Delta\theta) - \left(\frac{1}{2} \sin\theta (1-\sin^2\theta)^{1/2} + \frac{1}{2} \theta \right) \right) = \\
 &= -\frac{\cos(\phi+\Delta\phi) - \cos\phi}{\Delta\phi} \Delta\phi \frac{1}{2} \left(\frac{1}{2} \frac{\sin 2(\theta+\Delta\theta) - \sin 2\theta}{\Delta\theta} \Delta\theta + \right. \\
 &\quad \left. + \frac{(\theta+\Delta\theta) - \theta}{\Delta\theta} \Delta\theta \right) = \\
 &= -\frac{1}{2} \frac{d\cos\phi}{d\phi} d\phi \left(\frac{1}{2} \frac{dsin 2\theta}{d\theta} d\theta + \frac{d\theta}{d\theta} d\theta \right) = \\
 &= \frac{1}{2} \sin\phi d\phi (\cos 2\theta d\theta + d\theta) = \\
 &= \frac{1}{2} \sin\phi d\phi ((2\cos^2\theta - 1 + 1)d\theta) \\
 d\sigma'' &= \sin\phi \cos^2\theta d\theta d\phi \tag{Ek B6}
 \end{aligned}$$

θ ve ϕ açılarıyla belirlenen gök elemanının B düzlemine izdüşümünü veren (Ek B6) denklemini ve kapalı gök modeli için parıltı dağılımını veren (2.12) denklemini, katı açı ile aydınlik düzeyi hesabını veren (Ek A3) denkleminde yerine koyup, bunu da E/LZ faktörünü hesaplamak için kullanılan (3.1) formülüne yerleştirirsek, (Ek B1) denklemi elde edilir.

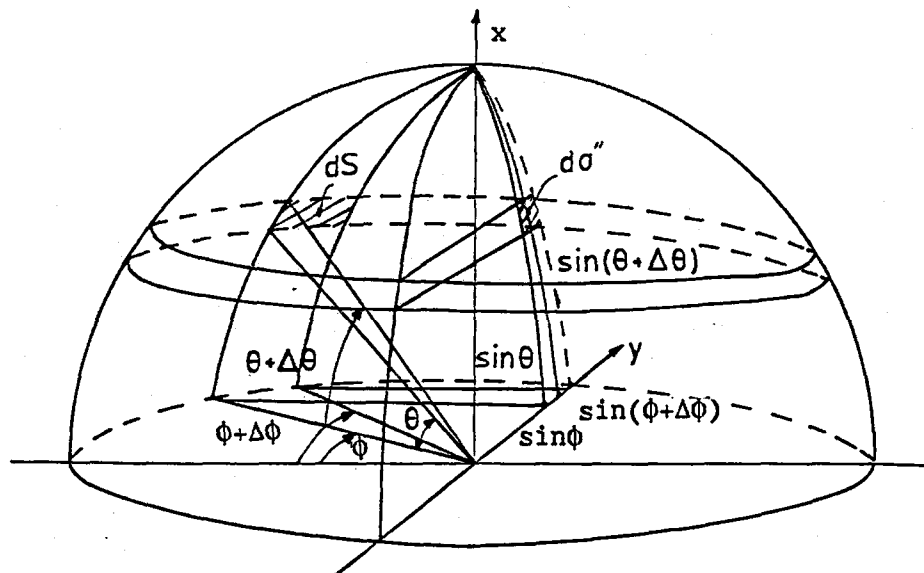
Şekil 3-4' e göre (Ek B1) denklemini kartezyen koordinatlar cinsinden ifade ederken, Ek A' daki θ , ϕ , $d\theta$, $d\phi$, $\sin\theta$, $\cos\theta$ ifadeleri burada da aynen geçerlidirler. Bunlara ek olarak,

$$\sin\phi = \frac{y}{(x^2+y^2)^{1/2}}$$

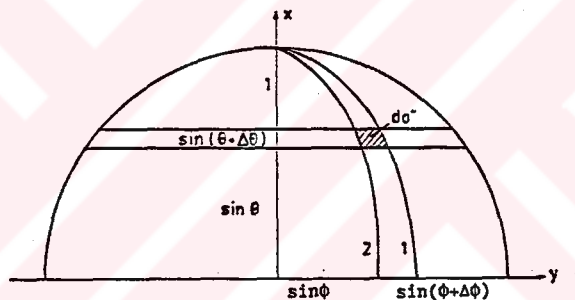
şeklinde bulunur. Böylece

$$\begin{aligned}
 (E/LZ)_B &= \% \frac{E}{L_z} \cdot 100 = \tag{Ek B7} \\
 &= \% \frac{100}{3} \int_{y=g}^f \int_{z=ab}^{bb} \left(\frac{x y}{(x^2+y^2+z^2)^2} + 2 \frac{x y z}{(x^2+y^2+z^2)^{5/2}} \right) dy dz
 \end{aligned}$$

yazılabilir. (Ek B7) entegrali çözüldüğünde, (3.14) denklemi elde edilir.



Şekil C.1 Gözleme noktasının etrafına yerleştirilen birim yarıküre



Şekil C.2 Birim yarı küreye ait koordinatlar

Şekil C.2' deki (2) elipsi için

$$\frac{y_2^2}{\sin^2 \phi} + x^2 = 1 \quad (\text{Ek C2})$$

benzer olarak (1) elipsi için

$$\frac{y_1^2}{\sin^2(\phi + \Delta\phi)} + x^2 = 1 \quad (\text{Ek C3})$$

yazabiliriz. (Ek C2) denklemini

$$y_2 = (1 - x^2)^{1/2} \sin \phi \quad (\text{Ek C4})$$

ve (Ek C3) denklemini

$$y_1 = (1 - x^2)^{1/2} \sin(\phi + \Delta\phi) \quad (\text{Ek C5})$$

şeklinde ifade edip, aralarındaki farkın entegralini $\sin\theta'$ dan $\sin(\theta+\Delta\theta)'$ ya kadar alırsak, Şekil C.2' de taralı olarak gösterilen $d\sigma''$ alanını buluruz.

$$\begin{aligned}
 d\sigma'' &= \int_{\sin\theta}^{\sin(\theta+\Delta\theta)} (1-x^2)^{1/2} (\sin(\phi+\Delta\phi) - \sin\phi) dx = \\
 &= (\sin(\phi+\Delta\phi) - \sin\phi) \left[\frac{x}{2} (1-x^2)^{1/2} + \frac{1}{2} \arcsinx \right] \frac{\sin(\theta+\Delta\theta)}{\sin\theta} = \\
 &= (\sin(\phi+\Delta\phi) - \sin\phi) \left(\frac{1}{2} \sin(\theta+\Delta\theta) (1-\sin^2(\theta+\Delta\theta))^{1/2} + \right. \\
 &\quad \left. + \frac{1}{2} (\theta+\Delta\theta) - \left(\frac{1}{2} \sin\theta (1-\sin^2\theta)^{1/2} + \frac{1}{2} \theta \right) \right) = \\
 &= (\sin(\phi+\Delta\phi) - \sin\phi) \left(\frac{1}{2} \sin(\theta+\Delta\theta) \cos(\theta+\Delta\theta) + \frac{1}{2} (\theta+\Delta\theta) - \right. \\
 &\quad \left. - \sin\theta \cos\theta - \frac{1}{2} \theta \right) = \\
 &= \frac{1}{2} \frac{\sin(\phi+\Delta\phi) - \sin\phi}{\Delta\phi} \Delta\phi \left(\frac{1}{2} \frac{\sin 2(\theta+\Delta\theta) - \sin 2\theta}{\Delta\theta} \Delta\theta + \right. \\
 &\quad \left. + \frac{(\theta+\Delta\theta) - \theta}{\Delta\theta} \Delta\theta \right) = \\
 &= \frac{1}{2} \frac{dsin\phi}{d\phi} d\phi \left(\frac{1}{2} \frac{dsin 2\theta}{d\theta} d\theta + \frac{d\theta}{d\theta} d\theta \right) = \\
 &= \frac{1}{2} \cos\phi d\phi (2\cos^2\theta - 1 + 1) d\theta \\
 d\sigma'' &= \cos\phi \cos^2\theta d\theta d\phi \tag{Ek C6}
 \end{aligned}$$

θ ve ϕ açılarıyla belirlenen gök elemanın C düzleme izdüşümünü veren (Ek C6) denklemini ve kapalı gök modeli için parıltı dağılımını veren (2.12) denklemini, katı açı ile aydınlik düzeyi hesabını veren (Ek A3) denkleminde yerine koyup, bunu da E/LZ faktörünü hesaplamak için kullanılan (3.1) formülüne yerleştirirsek, (Ek C1) denklemi elde edilir.

Şekil 3-5' e göre (Ek C1) denklemini kartezyen koordinatlar cinsinden ifade ederken, Ek A' daki θ , ϕ , $d\theta$, $d\phi$, $\sin\theta$, $\cos\theta$ ifadeleri burada da aynen geçerlidirler. Bunlara ek olarak,

$$\cos\phi = \frac{x}{(x^2+y^2)^{1/2}}$$

şeklinde bulunur. Böylece

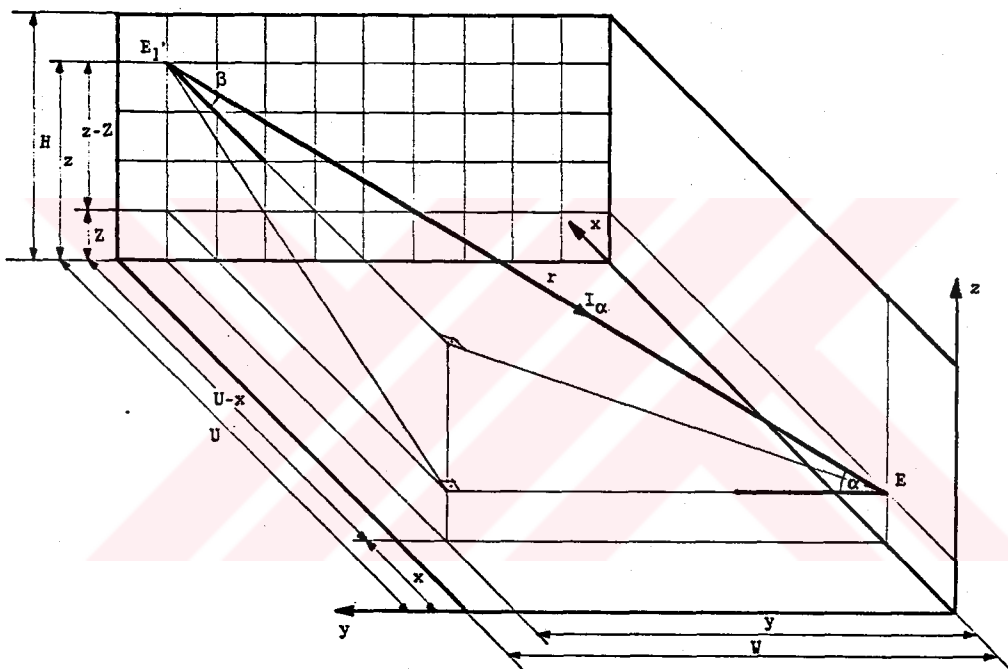
$$(E/LZ)_C = \% \frac{E}{L_z} \cdot 100 = \quad (\text{Ek C7})$$

$$= \% \frac{100}{3} \int_{y=-g}^f \int_{z=ab}^{bb} \left(\frac{x^2}{(x^2+y^2+z^2)^2} + 2 \frac{x^2 y}{(x^2+y^2+z^2)^{5/2}} \right) dy dz$$

yazılabilir. (Ek C7) entegrali çözüldüğünde, (3.16) denklemi elde edilir.

EK D
İÇ YANSIMALARA AİT FORMÜLLER

- C Düzleminden B düzlemine yansima :



Şekil D.1 C Düzleminden B düzlemine yansima

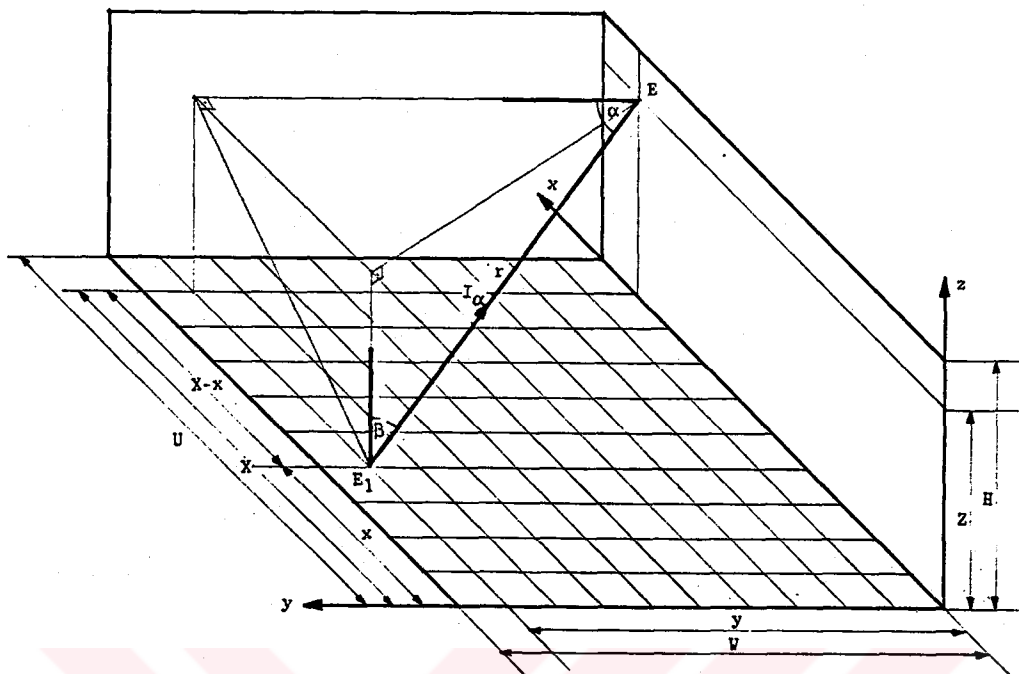
$$E = \frac{I_\alpha}{r^2} \cos\alpha ; \quad r^2 = (U-x)^2 + y^2 + (z-Z)^2 ; \quad \cos\alpha = \frac{y}{r}$$

$$I_\alpha = L dS_{gör} = L \cos\beta dy dz$$

$$\cos\beta = \frac{U-x}{r} ; \quad L = \frac{\rho}{\pi} E_1(y, z)$$

$$d^2E = \frac{\rho}{\pi} \frac{y(U-x)}{((U-x)^2 + y^2 + (z-Z)^2)^2} E_1(y, z) dy dz \quad (\text{Ek D1})$$

- A Düzleminden B düzlemine yansımaya :



Şekil D.2 A Düzleminden B düzlemine yansımaya

$$E = \frac{I_\alpha}{r^2} \cos\alpha ; \quad r^2 = (X-x)^2 + y^2 + Z^2 ; \quad \cos\alpha = \frac{y}{r}$$

$$I_\alpha = L dS_{\text{gör}} = L \cos\beta dx dy$$

$$\cos\beta = \frac{Z}{r} ; \quad L = \frac{\rho}{\pi} E_1(x, y)$$

$$d^2E = \frac{\rho}{\pi} \frac{y Z}{((X-x)^2 + y^2 + Z^2)^2} E_1(x, y) dx dy \quad (\text{Ek D2})$$

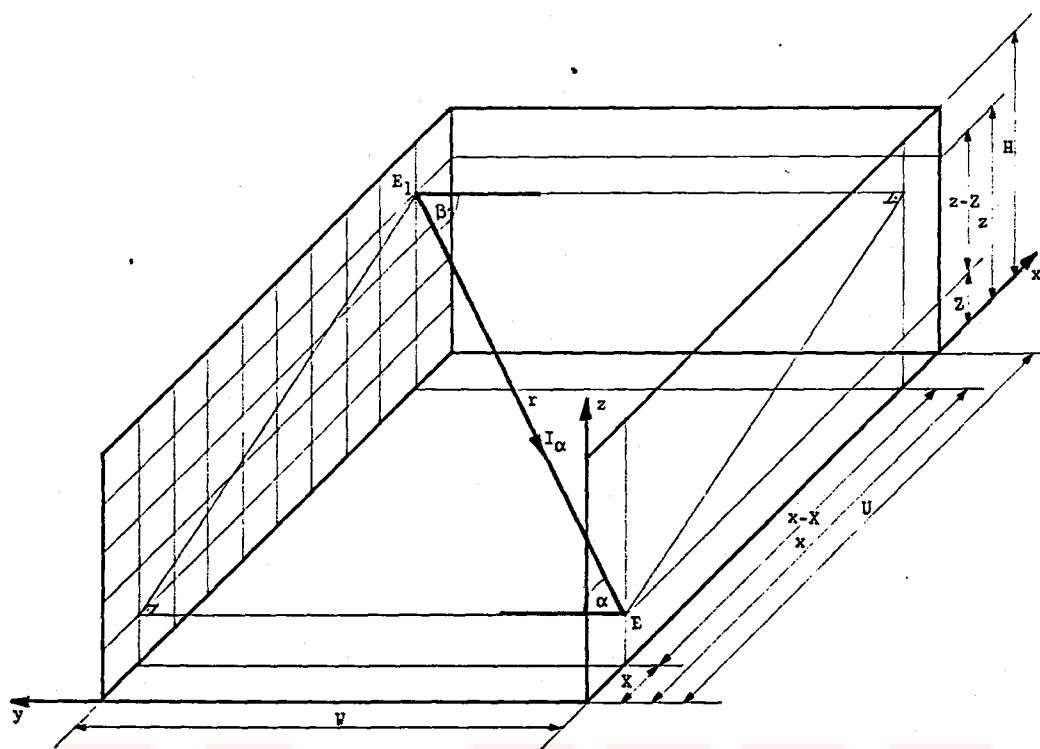
- Bl Düzleminden B düzlemine yansımaya :

$$E = \frac{I_\alpha}{r^2} \cos\alpha ; \quad r^2 = (x-X)^2 + W^2 + (z-Z)^2 ; \quad \cos\alpha = \frac{W}{r}$$

$$I_\alpha = L dS_{\text{gör}} = L \cos\beta dx dz$$

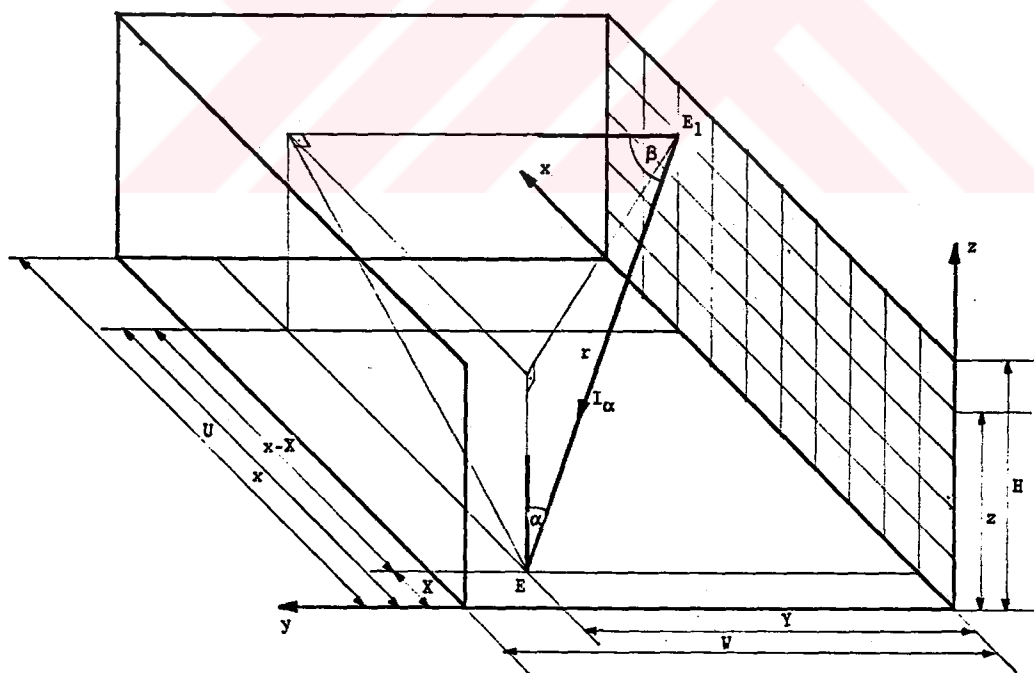
$$\cos\beta = \frac{W}{r} ; \quad L = \frac{\rho}{\pi} E_1(x, z)$$

$$d^2E = \frac{\rho}{\pi} \frac{W^2}{((x-X)^2 + W^2 + (z-Z)^2)^2} E_1(x, z) dx dz \quad (\text{Ek D3})$$



Şekil D.3 Bl Düzleminden B düzlemine yansımıza

- B Düzleminden A düzlemine yansımıza :



Şekil D.4 B Düzleminden A düzlemine yansımıza

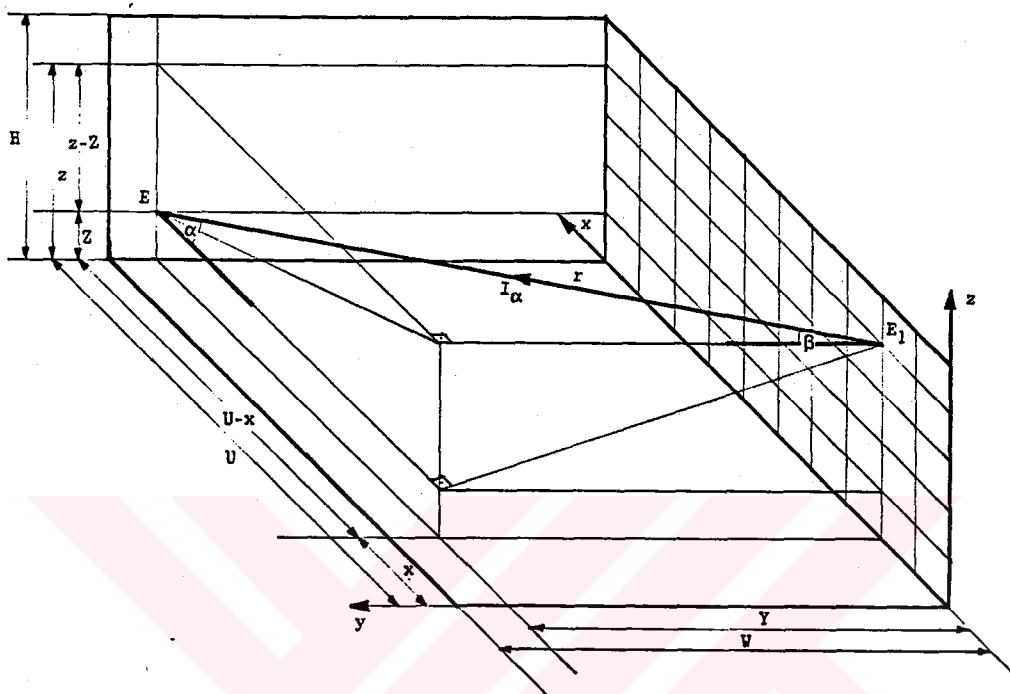
$$E = \frac{I_\alpha}{r^2} \cos\alpha ; \quad r^2 = (x-X)^2 + Y^2 + z^2 ; \quad \cos\alpha = \frac{z}{r}$$

$$I_\alpha = L dS_{\text{gör}} = L \cos\beta dx dz$$

$$\cos\beta = \frac{Y}{r} ; \quad L = \frac{\rho}{\pi} E_1(x, z)$$

$$d^2E = \frac{\rho}{\pi} \frac{Y z}{((x-X)^2 + Y^2 + z^2)^2} E_1(x, z) dx dz \quad (\text{Ek D4})$$

- B Düzleminden C düzlemine yansima :



Şekil D.5 B Düzleminden C düzlemine yansima

$$E = \frac{I_\alpha}{r^2} \cos\alpha ; \quad r^2 = (U-x)^2 + y^2 + (z-Z)^2 ; \quad \cos\alpha = \frac{U-x}{r}$$

$$I_\alpha = L dS_{\text{gör}} = L \cos\beta dx dz$$

$$\cos\beta = \frac{y}{r} ; \quad L = \frac{\rho}{\pi} E_1(x, z)$$

$$d^2E = \frac{\rho}{\pi} \frac{y (U-x)}{((U-x)^2 + y^2 + (z-Z)^2)^2} E_1(x, z) dx dz \quad (\text{Ek D5})$$

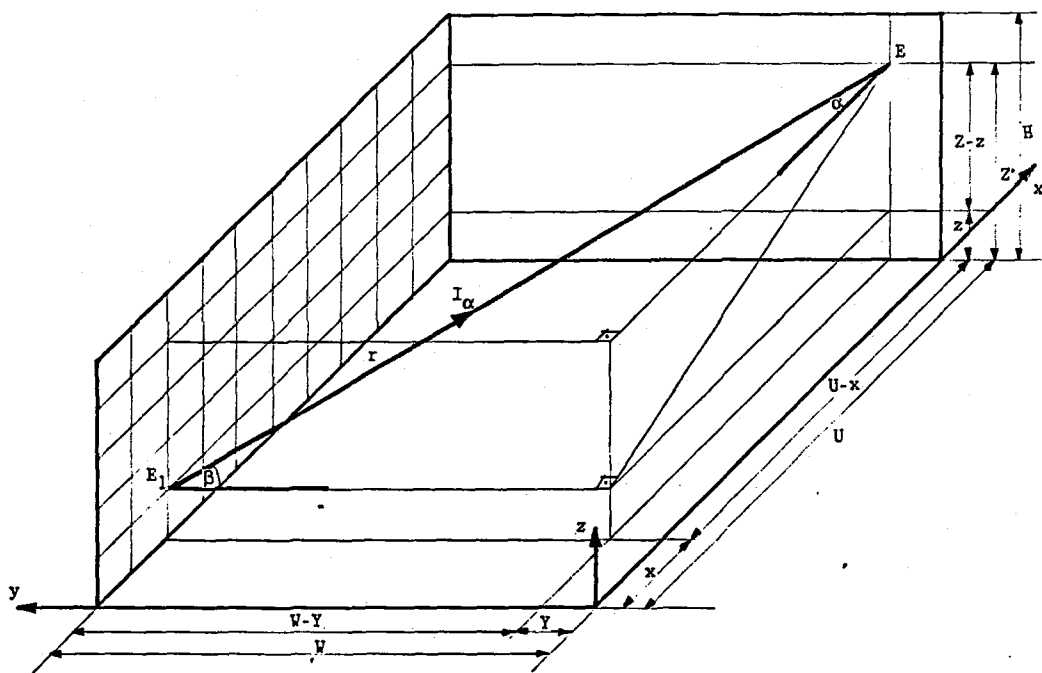
- Bl Düzlemindem C düzlemine yansima :

$$E = \frac{I_\alpha}{r^2} \cos\alpha ; \quad r^2 = (U-x)^2 + (W-Y)^2 + (Z-z)^2 ; \quad \cos\alpha = \frac{U-x}{r}$$

$$I_\alpha = L dS_{\text{gör}} = L \cos\beta dx dz$$

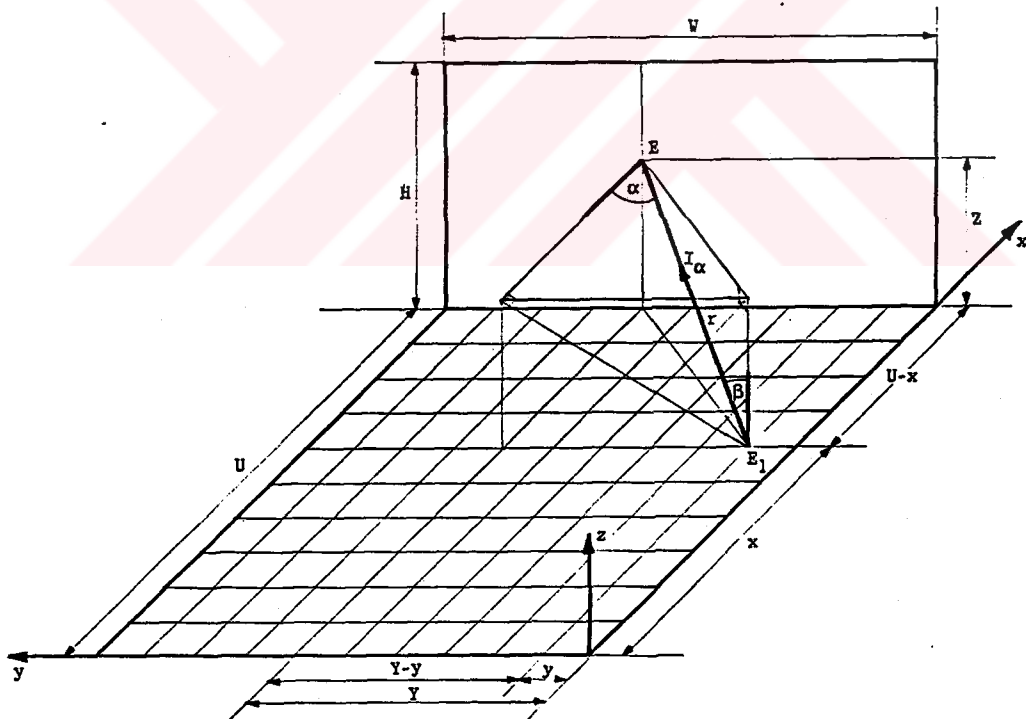
$$\cos\beta = \frac{W-Y}{r} ; \quad L = \frac{\rho}{\pi} E_1(x, z)$$

$$d^2E = \frac{\rho}{\pi} \frac{(W-Y) (U-x)}{((U-x)^2 + (W-Y)^2 + (Z-z)^2)^2} E_1(x, z) dx dz \quad (\text{Ek D6})$$



Şekil D.6 B1 Düzleminden C düzlemine yansımaya

- A Düzleminden C düzlemine yansımaya :



Şekil D.7 A Düzleminden C düzlemine yansımaya

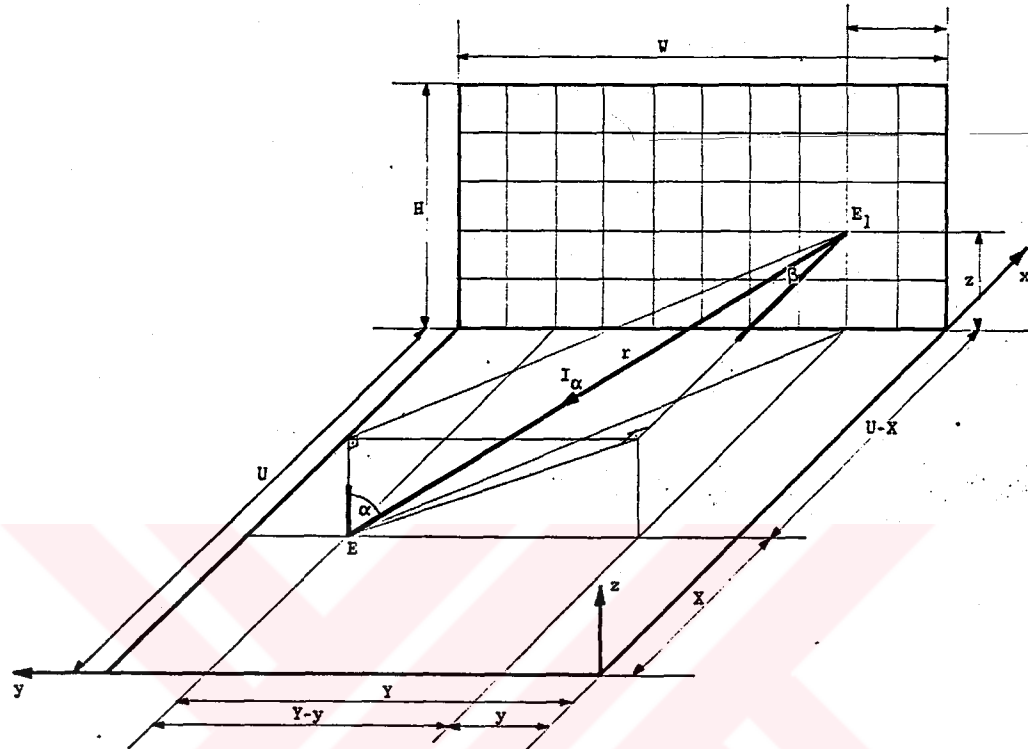
$$E = \frac{I_\alpha}{r^2} \cos\alpha ; \quad r^2 = (U-x)^2 + (Y-y)^2 + Z^2 ; \quad \cos\alpha = \frac{U-x}{r}$$

$$I_\alpha = L dS_{\text{gör}} = L \cos\beta dx dy$$

$$\cos\beta = \frac{Z}{r} ; L = \frac{\rho}{\pi} E_1(x, y)$$

$$d^2E = \frac{\rho}{\pi} \frac{Z(U-x)}{((U-x)^2+(Y-y)^2+Z^2)^2} E_1(x, y) dx dy \quad (\text{Ek D7})$$

- C Düzleminden A düzlemine yansımıma :



Şekil D.8 C Düzleminden A düzlemine yansımıma

$$E = \frac{I_\alpha}{r^2} \cos\alpha ; r^2 = (U-X)^2 + (Y-y)^2 + z^2 ; \cos\alpha = \frac{z}{r}$$

$$I_\alpha = L dS_{\text{gör}} = L \cos\beta dy dz$$

$$\cos\beta = \frac{U-X}{r} ; L = \frac{\rho}{\pi} E_1(y, z)$$

$$d^2E = \frac{\rho}{\pi} \frac{z(U-X)}{((U-X)^2+(Y-y)^2+z^2)^2} E_1(y, z) dy dz \quad (\text{Ek D8})$$

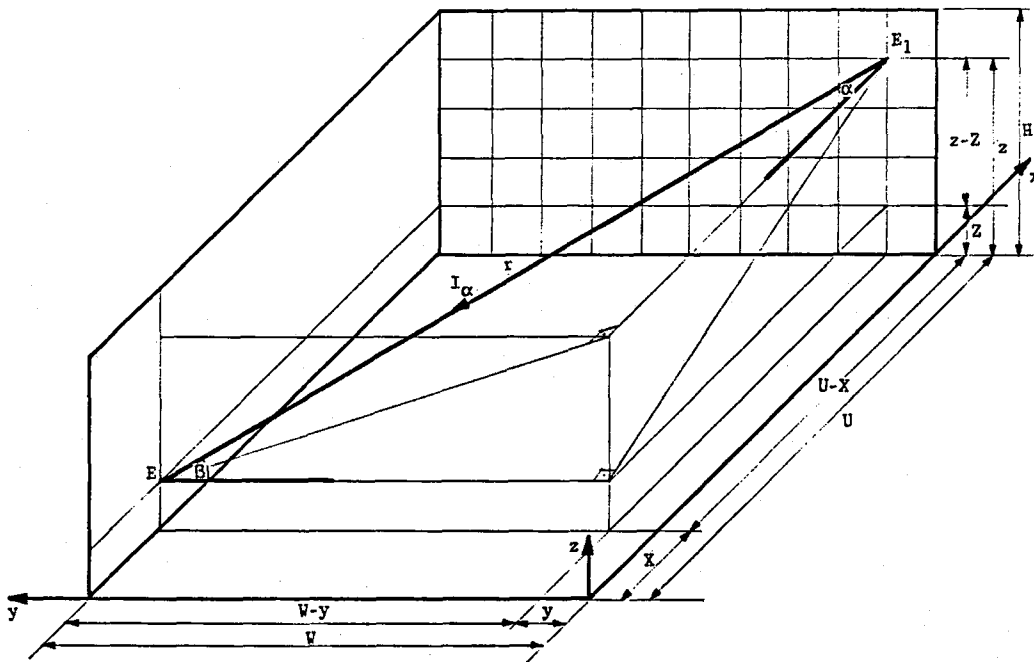
- C Düzleminden B1 düzlemine yansımıma :

$$E = \frac{I_\alpha}{r^2} \cos\alpha ; r^2 = (U-X)^2 + (W-y)^2 + (z-Z)^2 ; \cos\alpha = \frac{W-y}{r}$$

$$I_\alpha = L dS_{\text{gör}} = L \cos\beta dy dz$$

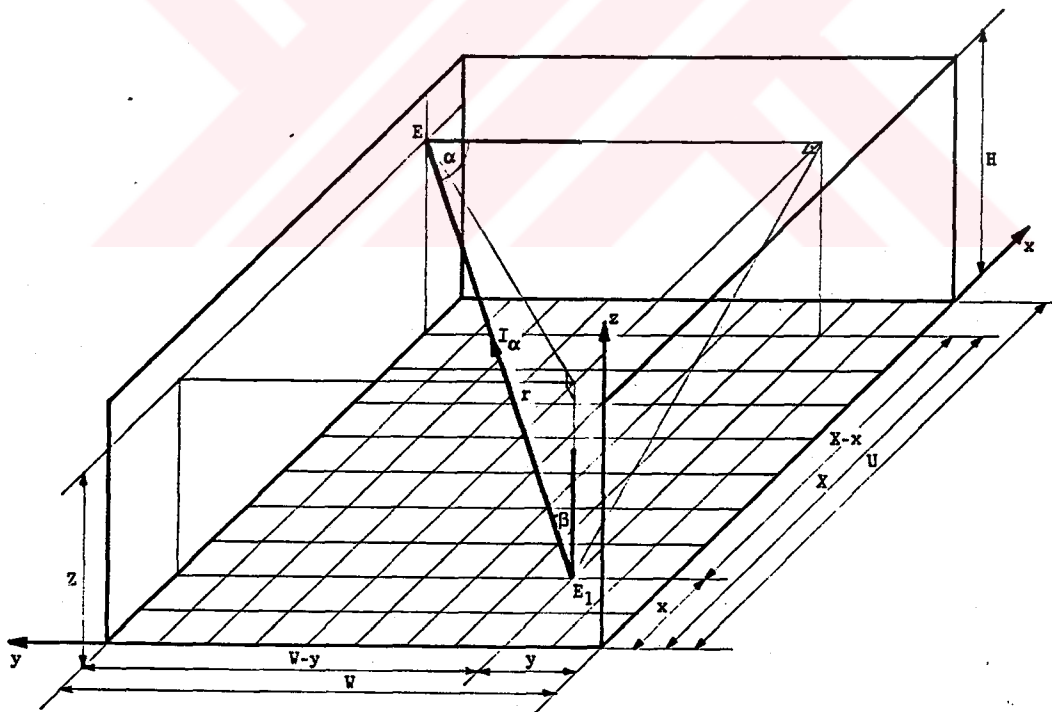
$$\cos\beta = \frac{U-X}{r} ; L = \frac{\rho}{\pi} E_1(y, z)$$

$$d^2E = \frac{\rho}{\pi} \frac{(W-y)(U-X)}{((U-X)^2+(W-y)^2+(z-Z)^2)^2} E_1(y, z) dy dz \quad (\text{Ek D9})$$



Şekil D.9 C Düzleminden B1 düzlemine yansima

- A Düzleminden B1 düzlemine yansima :



Şekil D.10 A Düzleminden B1 düzlemine yansima

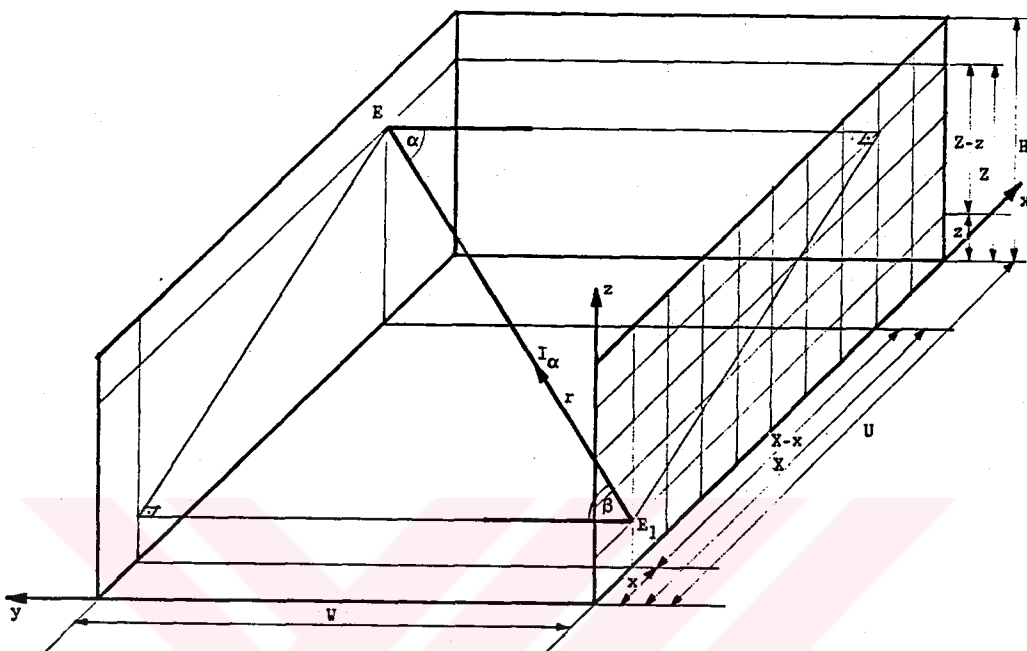
$$E = \frac{I_\alpha}{r^2} \cos\alpha ; \quad r^2 = (X-x)^2 + (W-y)^2 + Z^2 ; \quad \cos\alpha = \frac{W-y}{r}$$

$$I_\alpha = L dS_{\text{gör}} = L \cos\beta dx dy$$

$$\cos\beta = \frac{z}{r} ; \quad L = \frac{\rho}{\pi} E_1(x, y)$$

$$d^2E = \frac{\rho}{\pi} \frac{z(w-y)}{((x-x)^2+(w-y)^2+z^2)^2} E_1(x, y) dx dy \text{ (Ek D10)}$$

- B Düzleminden B1 düzlemine yansımıma :



Şekil D.11 B Düzleminden B1 düzlemine yansımıma

$$E = \frac{I_\alpha}{r^2} \cos\alpha ; \quad r^2 = (x-x)^2 + w^2 + (z-z)^2 ; \quad \cos\alpha = \frac{w}{r}$$

$$I_\alpha = L dS_{gör} = L \cos\beta dx dz$$

$$\cos\beta = \frac{w}{r} ; \quad L = \frac{\rho}{\pi} E_1(x, z)$$

$$d^2E = \frac{\rho}{\pi} \frac{w^2}{((x-x)^2+w^2+(z-z)^2)^2} E_1(x, z) dx dz \text{ (Ek D11)}$$

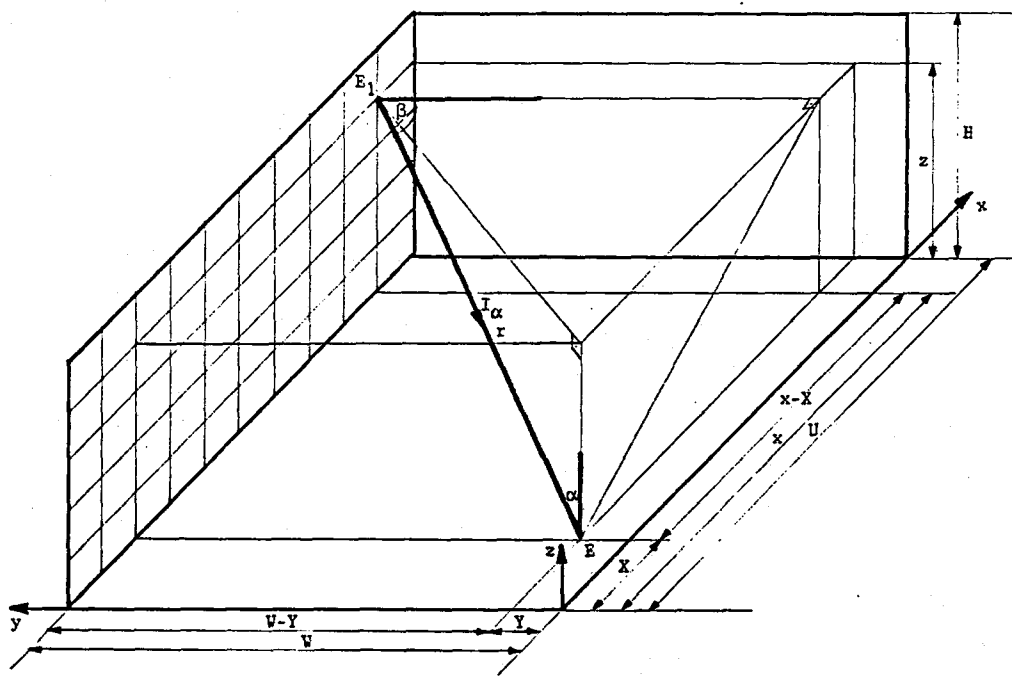
- B1 Düzleminden A düzlemine yansımıma :

$$E = \frac{I_\alpha}{r^2} \cos\alpha ; \quad r^2 = (x-X)^2 + (w-y)^2 + z^2 ; \quad \cos\alpha = \frac{z}{r}$$

$$I_\alpha = L dS_{gör} = L \cos\beta dx dz$$

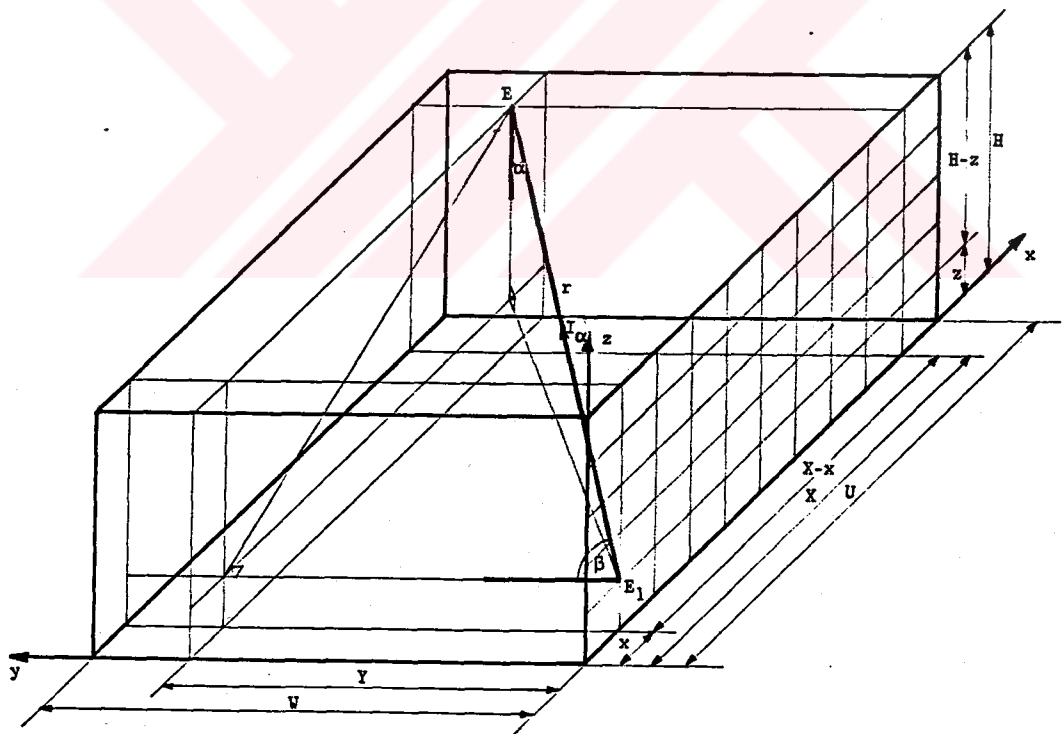
$$\cos\beta = \frac{w-y}{r} ; \quad L = \frac{\rho}{\pi} E_1(x, z)$$

$$d^2E = \frac{\rho}{\pi} \frac{z(w-y)}{((x-X)^2+(w-y)^2+z^2)^2} E_1(x, z) dx dz \text{ (Ek D12)}$$



Şekil D.12 B1 Düzleminden A düzlemine yansima

- B Düzleminden A1 düzlemine yansima :



Şekil D.13 B Düzleminden A1 düzlemine yansima

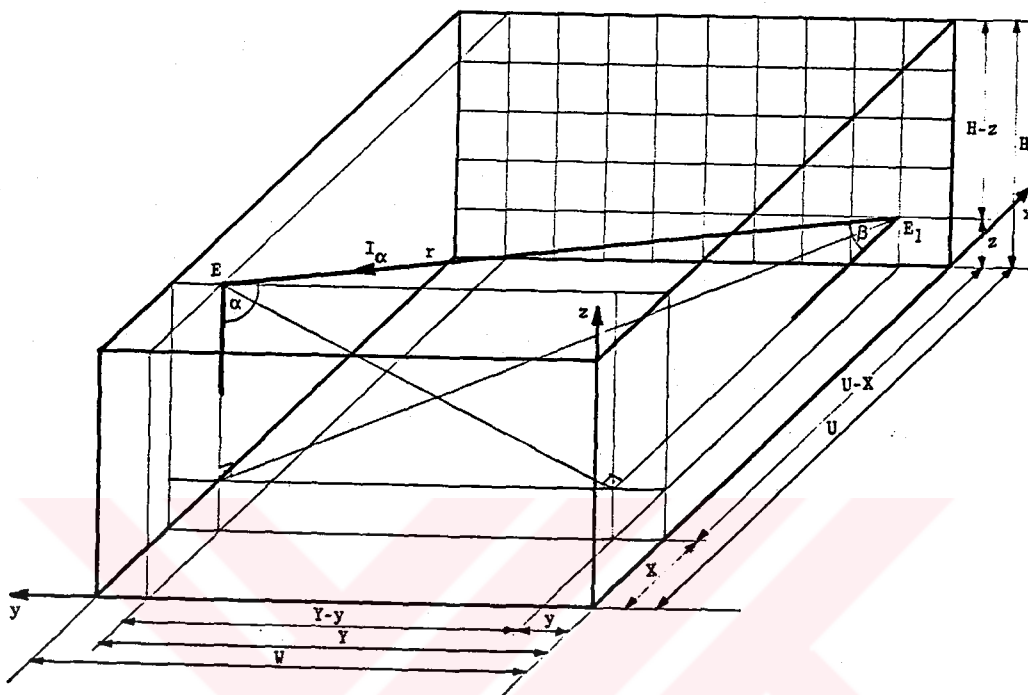
$$E = \frac{I_\alpha}{r^2} \cos\alpha ; \quad r^2 = (X-x)^2 + Y^2 + (H-z)^2 ; \quad \cos\alpha = \frac{H-z}{r}$$

$$I_\alpha = L dS_{\text{gör}} = L \cos\beta dx dz$$

$$\cos\beta = \frac{Y}{r} ; \quad L = \frac{\rho}{\pi} E_1(x, z)$$

$$d^2E = \frac{\rho}{\pi} \frac{Y(H-z)}{((X-x)^2+Y^2+(H-z)^2)^2} E_1(x, z) dx dz \quad (\text{Ek D13})$$

- C Düzleminden Al düzlemine yansima :



Şekil D.14 C Düzleminden Al düzlemine yansima

$$E = \frac{I_\alpha}{r^2} \cos\alpha ; \quad r^2 = (U-X)^2 + (Y-y)^2 + (H-z)^2 ; \quad \cos\alpha = \frac{H-z}{r}$$

$$I_\alpha = L dS_{\text{gör}} = L \cos\beta dy dz$$

$$\cos\beta = \frac{U-X}{r} ; \quad L = \frac{\rho}{\pi} E_1(y, z)$$

$$d^2E = \frac{\rho}{\pi} \frac{(H-z)(U-X)}{((U-X)^2+(Y-y)^2+(H-z)^2)^2} E_1(y, z) dy dz \quad (\text{Ek D14})$$

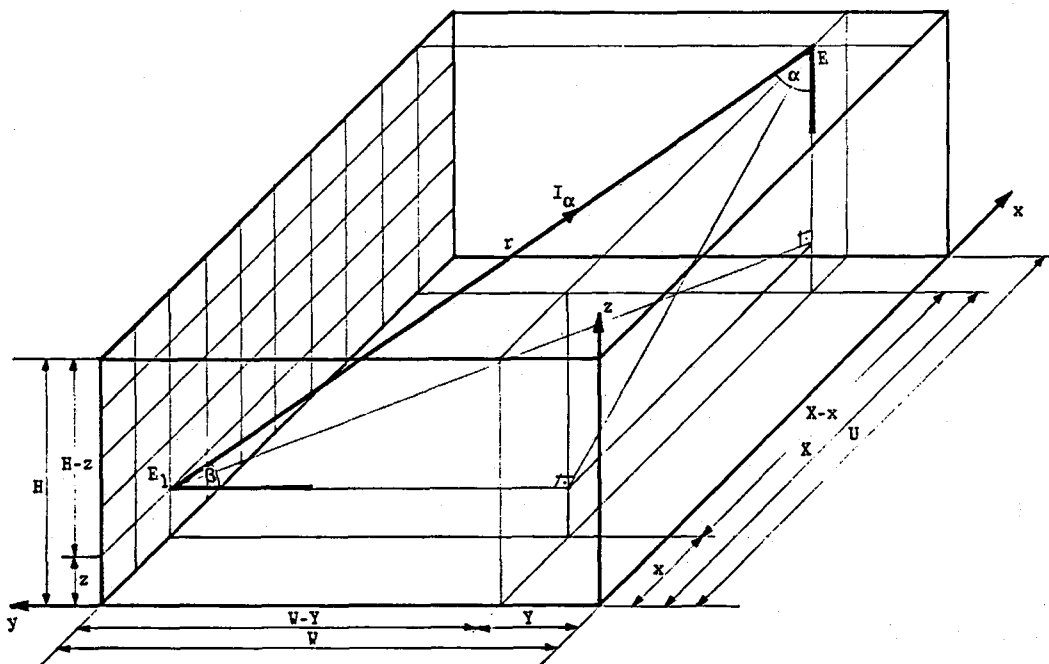
- B1 Düzleminden Al düzlemine yansima :

$$E = \frac{I_\alpha}{r^2} \cos\alpha ; \quad r^2 = (X-x)^2 + (W-Y)^2 + (H-z)^2 ; \quad \cos\alpha = \frac{H-z}{r}$$

$$I_\alpha = L dS_{\text{gör}} = L \cos\beta dy dz$$

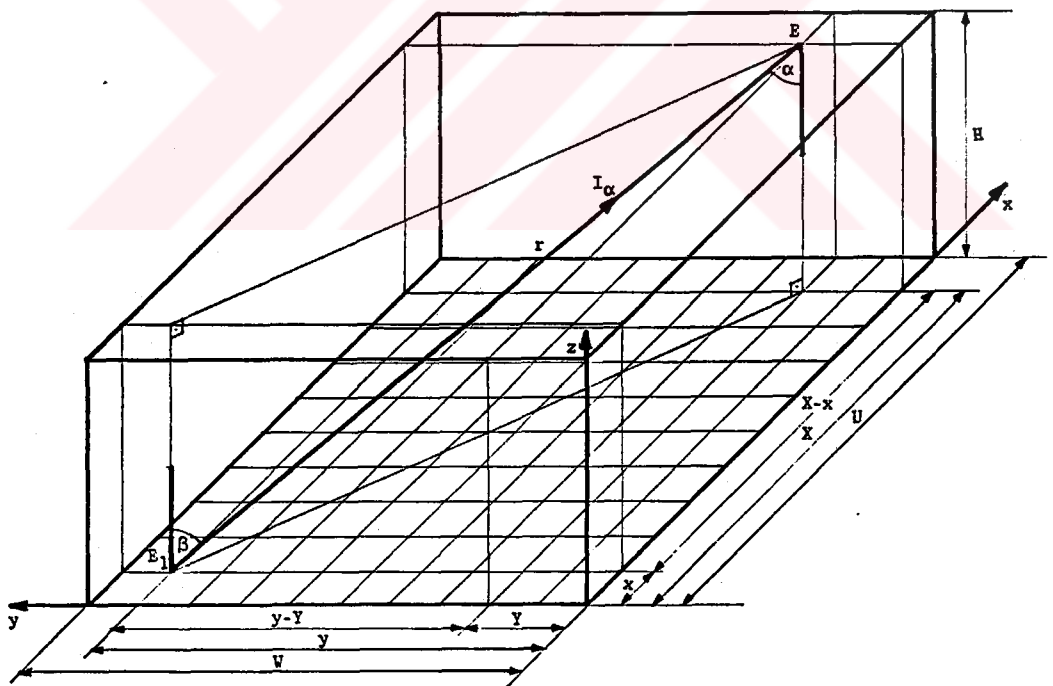
$$\cos\beta = \frac{W-Y}{r} ; \quad L = \frac{\rho}{\pi} E_1(y, z)$$

$$d^2E = \frac{\rho}{\pi} \frac{(W-Y)(H-z)}{((X-x)^2+(W-Y)^2+(H-z)^2)^2} E_1(y, z) dy dz \quad (\text{Ek D15})$$



Şekil D.15 B1 Düzleminden Al düzlemine yansıtma

- A Düzleminden Al düzlemine yansıtma :



Şekil D.16 A Düzleminden Al düzlemine yansıtma

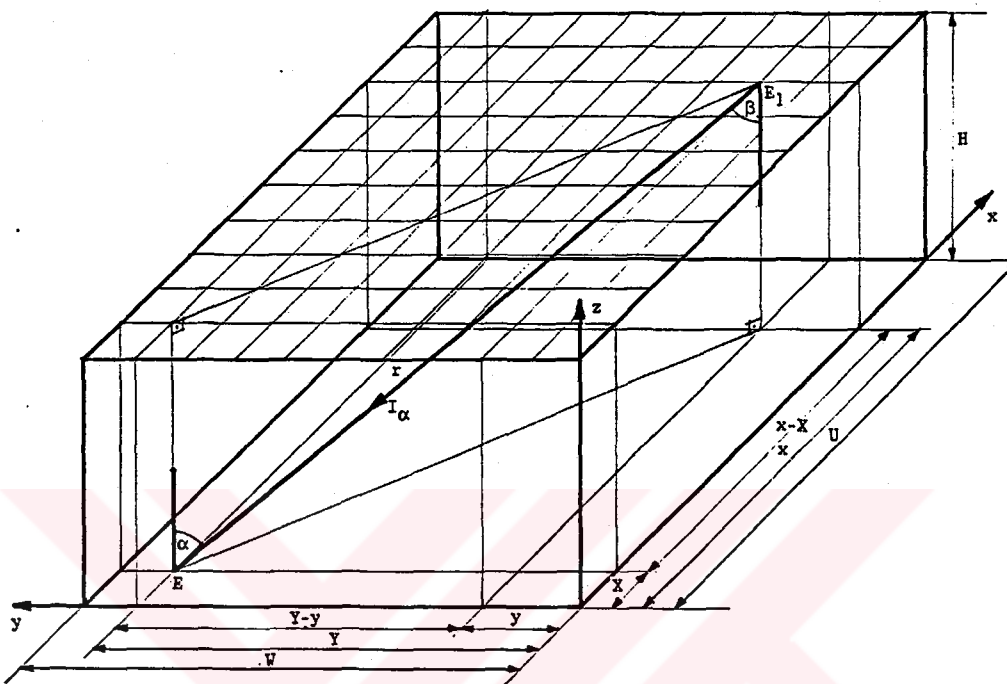
$$E = \frac{I_\alpha}{r^2} \cos\alpha ; \quad r^2 = (X-x)^2 + (y-Y)^2 + H^2 ; \quad \cos\alpha = \frac{H}{r}$$

$$I_\alpha = L dS_{\text{gör}} = L \cos\beta dx dy$$

$$\cos\beta = \frac{H}{r} ; \quad L = \frac{\rho}{\pi} E_1(x, y)$$

$$d^2E = \frac{\rho}{\pi} \frac{H^2}{((X-x)^2 + (Y-y)^2 + H^2)^2} E_1(x, y) dx dy \quad (\text{Ek D16})$$

- A1 Düzleminden A düzlemine yansımıma :



Şekil D.17 A1 Düzleminden A düzlemine yansımıma

$$E = \frac{I_\alpha}{r^2} \cos\alpha ; \quad r^2 = (x-X)^2 + (Y-y)^2 + H^2 ; \quad \cos\alpha = \frac{H}{r}$$

$$I_\alpha = L dS_{\text{gör}} = L \cos\beta dx dy$$

$$\cos\beta = \frac{H}{r} ; \quad L = \frac{\rho}{\pi} E_1(x, y)$$

$$d^2E = \frac{\rho}{\pi} \frac{H^2}{((x-X)^2 + (Y-y)^2 + H^2)^2} E_1(x, y) dx dy \quad (\text{Ek D17})$$

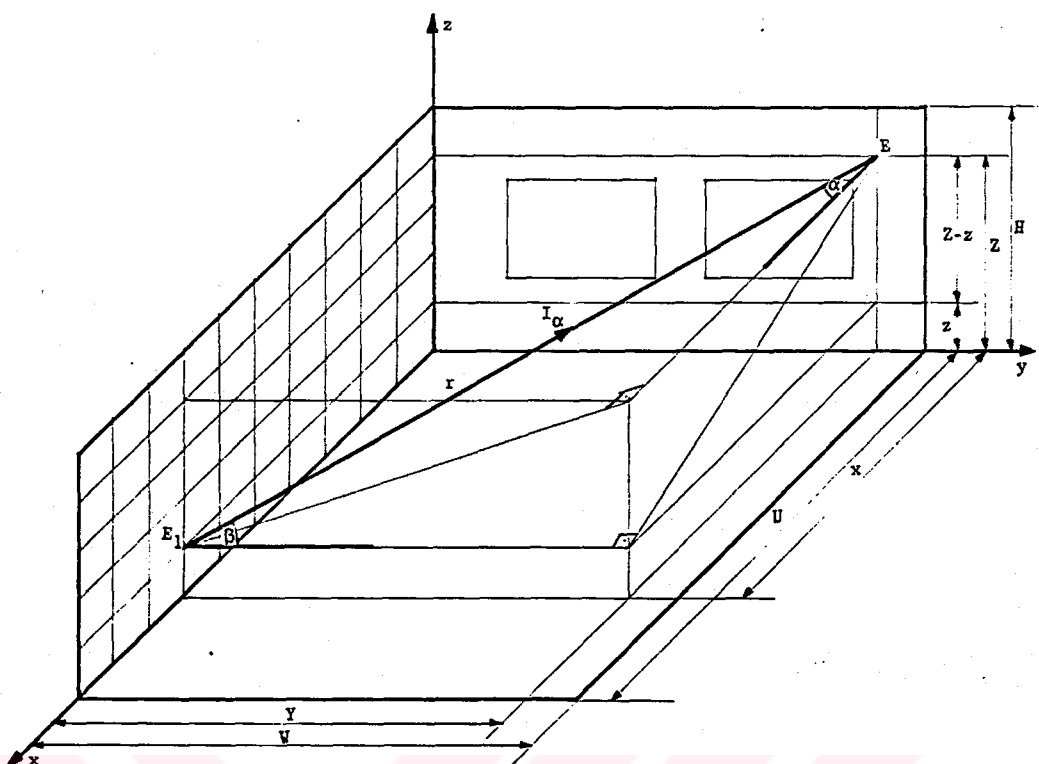
- B Düzleminden C1 düzlemine yansımıma :

$$E = \frac{I_\alpha}{r^2} \cos\alpha ; \quad r^2 = x^2 + Y^2 + (Z-z)^2 ; \quad \cos\alpha = \frac{x}{r}$$

$$I_\alpha = L dS_{\text{gör}} = L \cos\beta dx dz$$

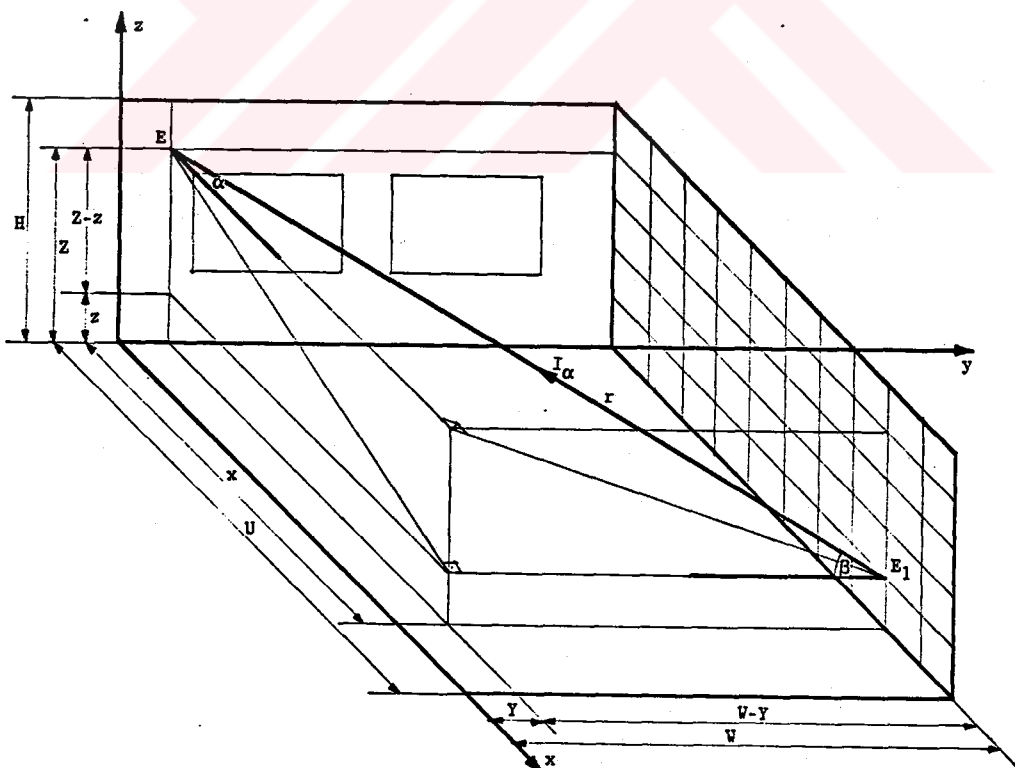
$$\cos\beta = \frac{Y}{r} ; \quad L = \frac{\rho}{\pi} E_1(x, z)$$

$$d^2E = \frac{\rho}{\pi} \frac{x Y}{(x^2 + Y^2 + (Z-z)^2)^2} E_1(x, z) dx dz \quad (\text{Ek D18})$$



Şekil D.18 B Düzleminden Cl düzlemine yansımıza

- $B1$ Düzleminden Cl düzlemine yansımıza :



Şekil D.19 $B1$ Düzleminden Cl düzlemine yansımıza

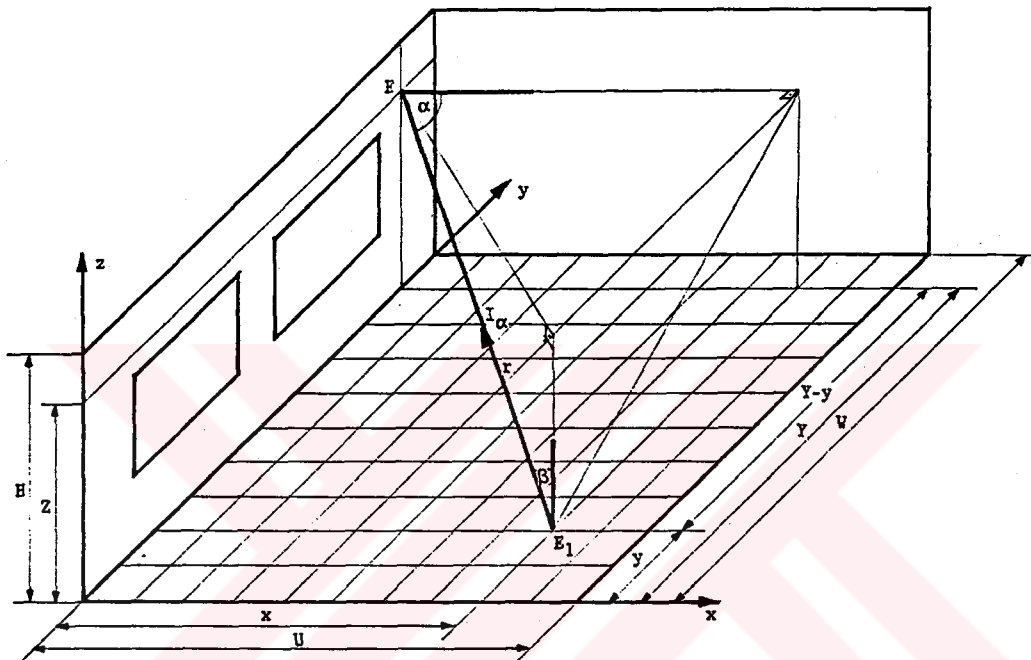
$$E = \frac{I_\alpha}{r^2} \cos\alpha ; \quad r^2 = x^2 + (W-Y)^2 + (Z-z)^2 ; \quad \cos\alpha = \frac{x}{r}$$

$$I_\alpha = L dS_{\text{gör}} = L \cos\beta dx dz$$

$$\cos\beta = \frac{W-Y}{r} ; \quad L = \frac{\rho}{\pi} E_1(x, z)$$

$$d^2E = \frac{\rho}{\pi} \frac{x (W-Y)}{(x^2 + (W-Y)^2 + (Z-z)^2)^2} E_1(x, z) dx dz \quad (\text{Ek D19})$$

- A Düzleminden C1 düzlemine yansima :



Şekil D.20 A Düzleminden C1 düzlemine yansima

$$E = \frac{I_\alpha}{r^2} \cos\alpha ; \quad r^2 = x^2 + (Y-y)^2 + Z^2 ; \quad \cos\alpha = \frac{x}{r}$$

$$I_\alpha = L dS_{\text{gör}} = L \cos\beta dx dy$$

$$\cos\beta = \frac{Z}{r} ; \quad L = \frac{\rho}{\pi} E_1(x, y)$$

$$d^2E = \frac{\rho}{\pi} \frac{x Z}{(x^2 + (Y-y)^2 + Z^2)^2} E_1(x, y) dx dy \quad (\text{Ek D20})$$

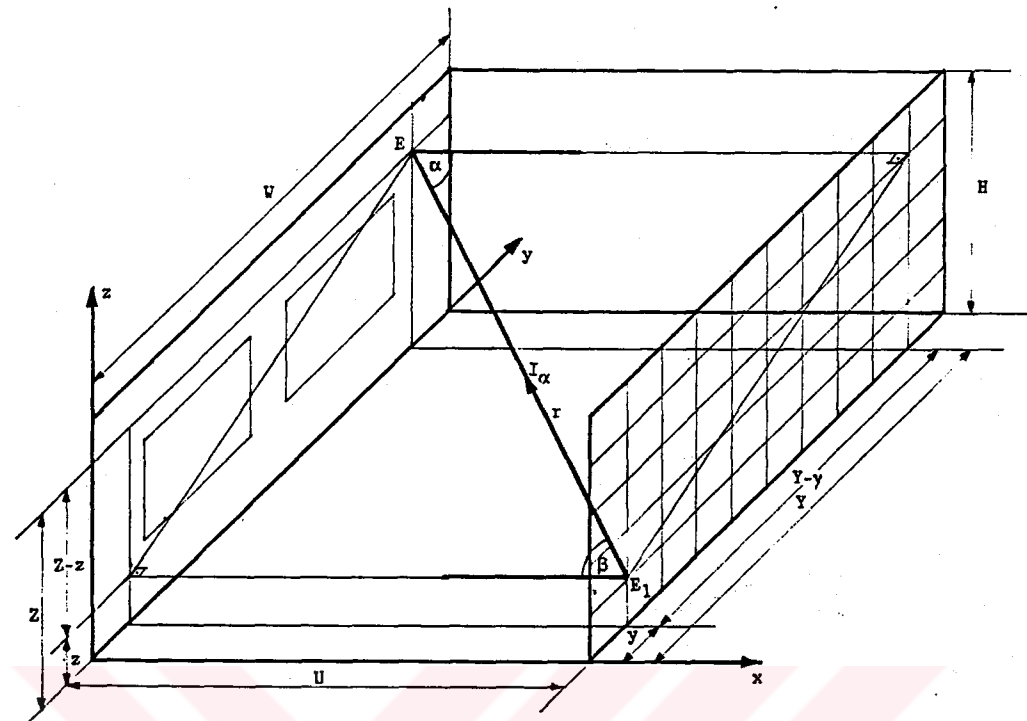
- C Düzleminden C1 düzlemine yansima :

$$E = \frac{I_\alpha}{r^2} \cos\alpha ; \quad r^2 = U^2 + (Y-y)^2 + (Z-z)^2 ; \quad \cos\alpha = \frac{U}{r}$$

$$I_\alpha = L dS_{\text{gör}} = L \cos\beta dy dz$$

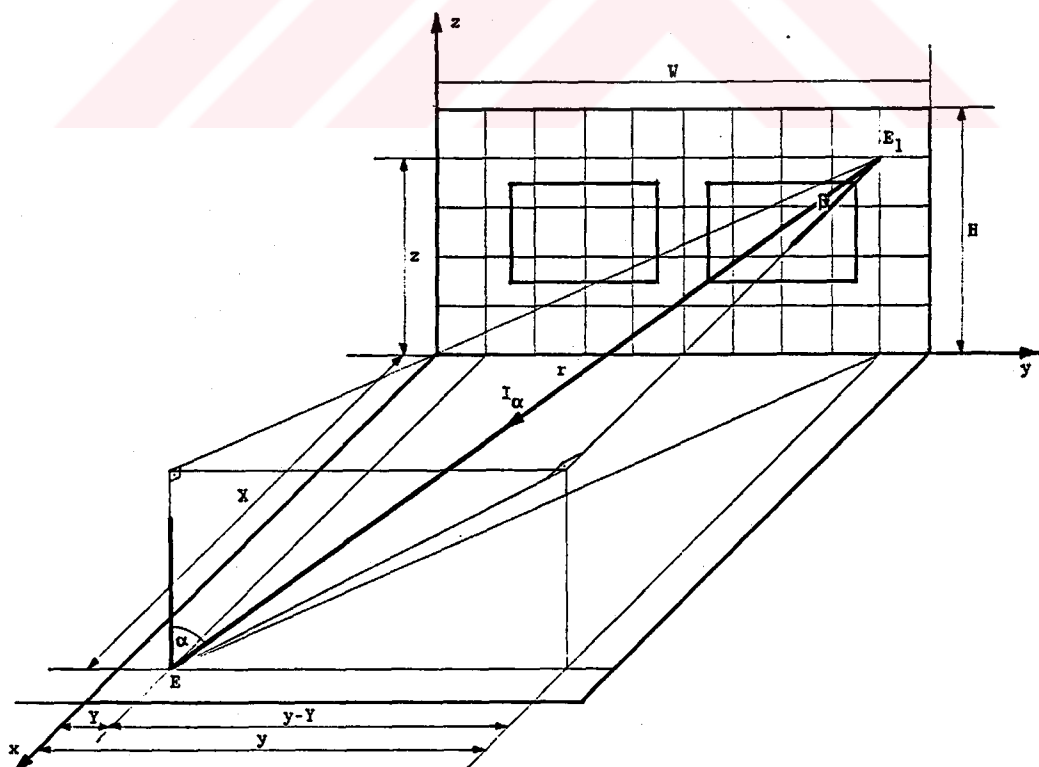
$$\cos\beta = \frac{U}{r} ; \quad L = \frac{\rho}{\pi} E_1(y, z)$$

$$d^2E = \frac{\rho}{\pi} \frac{U^2}{(U^2 + (Y-y)^2 + (Z-z)^2)^2} E_1(y, z) dy dz \quad (\text{Ek D21})$$



Şekil D.21 C Düzleminden C1 düzleme yansımı

- C1 Düzleminden A düzleme yansımı :



Şekil D.22 C1 Düzleminden A düzleme yansımı

$$E = \frac{I_\alpha}{r^2} \cos\alpha ; \quad r^2 = X^2 + (y - Y)^2 + z^2 ; \quad \cos\alpha = \frac{z}{r}$$

$$I_\alpha = L dS_{\text{gör}} = L \cos\beta dy dz$$

$$\cos\beta = \frac{x}{r} ; \quad L = \frac{\rho}{\pi} E_1(y, z)$$

$$d^2E = \frac{\rho}{\pi} \frac{x z}{(X^2 + (y - Y)^2 + z^2)^2} E_1(y, z) dy dz \quad (\text{Ek D22})$$

EK E

ALT PROGRAMLARDA FORMAT DEYİMLERİNDE DEĞİŞMESİ GEREKEN BÖLÜMLER

Kullanım kolaylığı açısından, alt programlardaki FORMAT deyimlerinde değişmesi gereken yerler, bölüm 3.3.1' de ve aşağıda değerleri verilen değişkenler cinsinden, gösterilmişlerdir.

s : Q' nun karakter sayısı (örnek: Q=0.25 için s=4)
t : Q' nun kesir kısmında kalan anlamlı karakter sayısı (örnek: Q=0.25 için t=2)

olmak üzere, W5 alt programına ait FORMAT deyimleri

```
10 FORMAT( (s+2)X,3X,NY( (5-s)X,1Fs.t ) )
20 FORMAT( (s+2)X,1X,NY("      |" ) )
30 FORMAT( (s+2)X,( 5(NY+1)+1 )("-"),"YYY" )
40 FORMAT( 2( (s+2)X,"|", ( 5(NY+1)-1 )X,"|",/ ), (s+2)X,"|",(
      5(NY+1)-1 )X,"|" )
50 FORMAT( (s+2)X,"|",2X,NY(1X,1I4),2X,"|" )
60 FORMAT( 1X,1Fs.t,"-|",NY(4X,"."),4X,"|" )
70 FORMAT( (s+2)X,"|", ( 5(NY+1)-1 )X,"|",/,(s+2)X,( 5(NY+1)+1 )("-"),
      "/ ,2( (s+2)X,"X",/ ),(s+2)X,"X" )
```

şeklindedirler.

W5B alt programına ait FORMAT deyimleri:

```
5 FORMAT( 2( (s+2)X,"Z",/ ),(s+2)X,"Z" )
30 FORMAT( (s+2)X,(5(NX+1)+1 )("-") )
40 FORMAT( 2( (s+2)X,"|", ( 5(NX+1)-1 )X,"|",/ ),(s+2)X,"|",(
      5(NX+1)-1 )X,"|" )
50 FORMAT( (s+2)X,"|",2X,NX( 1X,1I4 ),2X,"|" )
60 FORMAT( 1X,1Fs.t,"-|",NX( 4X,"." ),4X,"|" )
70 FORMAT( (s+2)X,"|", ( 5(NX+1)-1 )X,"|",/,(s+2)X,( 5(NX+1)+1 )("-"),
      "XXX" )
90 FORMAT( (s+2)X,1X,NX( "      |" ) )
100 FORMAT( (s+2)X,3X,NX( (5-s)X,1Fs.t ) )
```

W5C alt programına ait FORMAT deyimleri:

```
5 FORMAT( 2( (s+2)X,"Z",/ ),(s+2)X,"Z" )
30 FORMAT( (s+2)X,(5(NY+1)+1 )("-") )
```

```

40 FORMAT( 2( (s+2)X,"|", ( 5(NY+1)-1 )X,"|", / ),(s+2)X,"|",(
5(NY+1)-1 )X,"|" )

50 FORMAT( (s+2)X,"|",2X,NY( 1X,1I4 ),2X,"|" )

60 FORMAT( (6-s-1)X,1Fs.t,"-",|",NY( 4X, ". " ),4X,"|" )

70 FORMAT( (s+2)X,"|", ( 5(NY+1)-1 )X,"|", /,(s+2)X,( 5(NY+1)+1 )("-"),
"YYY" )

90 FORMAT( (s+2)X,1X,NY( "      |" ) )

100 FORMAT( (s+2)X,3X,NY( (5-s)X,1Fs.t ) )

```

Yukarıda verilen değişkenlere ek olarak, grafik çıkışlar için,

NY çift ise NPY = NY/2
 NY tek ise NPY = ((NY-1)/2) + 1
 NX çift ise NPX = NX/2
 NX tek ise NPX = ((NX-1)/2) + 1
 değerleri gereklidir.

GGA alt programına ait FORMAT deyimleri:

```

10 FORMAT( (s+2)X,NPY( 2X,1Fs.t ) )

20 FORMAT( (s+2)X,3X,(NY-NPY)( "|", (5-s)X,1Fs.t ) )

30 FORMAT( (s+2)X,1X,NY( 2X,"|" ) )

40 FORMAT( (s+2)X,( 3(NY+1)+1 )("-"),"YYY" )

50 FORMAT( (s+2)X,"|", ( 3(NY+1)-1 )X,"|" )

60 FORMAT( (s+2)X,"|",1X,NY( A3 ),1X,"|" )

150 FORMAT( (6-s-1)X,1Fs.t,"-",|",1X,NY( A3 ),1X,"|" )

160 FORMAT( (s+2)X,( 3(NY+1)+1 )("-"), /,3( (s+2)X,"X", / ) )

190 FORMAT( 3X,"----", /,3X,"|MMM|" )

200 FORMAT( 3X,"|MMM| = MAKSİMUM =",1F4.0 )

201 FORMAT( 3X,"|MMM|", /,3X,"----" )

```

GGB alt programına ait FORMAT deyimleri:

```

10 FORMAT( 2( (s+2)X,"Z", / ),(s+2)X,"Z" )

20 FORMAT( (s+2)X,( 3(NX+1)+1 )("-") )

30 FORMAT( (s+2)X,"|", ( 3(NX+1)-1 )X,"|" )

40 FORMAT( (s+2)X,"|",1X,NX( A3 ),1X,"|" )

50 FORMAT( (6-s-1)X,1Fs.t,"-",|",1X,NX( A3 ),1X,"|" )

60 FORMAT( (s+2)X,( 3(NX+1)+1 )("-"),"XXX" )

150 FORMAT( (s+2)X,1X,NX( 2X,"|" ) )

160 FORMAT( (s+2)X,1X,NPX( (5-s)X,1Fs.t,"|" ) )

170 FORMAT( (s+2)X,,3X,(NX-NPX)( 2X,1Fs.t ) )

200 FORMAT( 3X,"----", /,3X,"|MMM|" )

201 FORMAT( 3X,"|MMM| = MAKSİMUM =",1F4.0 )

202 FORMAT( 3X,"|MMM|", /,3X,"----" )

205 FORMAT( (s+2)X,1X,(NPX-1)( (5-s)X,1Fs.t,"|" ),(5-s)X,1Fs.t )

```

GGC alt programına ait FORMAT deyimleri:

```
10 FORMAT( 2( (s+2)X,"Z",/ ),(s+2)X,"Z" )
20 FORMAT( (s+2)X,( 3(NY+1)+1 )("-") )
30 FORMAT( (s+2)X,"|", ( 3(NY+1)-1 )X,"|" )
40 FORMAT( (s+2)X,"|",1X,NY( A3 ),1X,"|" )
50 FORMAT( (6-s-1)X,1Fs.t,"-",1X,NY( A3 ),1X,"|" )
60 FORMAT( (s+2)X,( 3(NY+1)+1 )("-"),"YYY" )
150 FORMAT( (s+2)X,1X,NY( 2X,"|" ) )
160 FORMAT( (s+2)X,1X,NPY( (5-s)X,1Fs.t,"|" ) )
170 FORMAT( (s+2)X,,3X,(NY-NPY)( 2X,1Fs.t ) )
200 FORMAT( 3X,"-----",/,3X,"|MMM|" )
201 FORMAT( 3X,"|MMM| = MAKSİMUM =",1F4.0 )
202 FORMAT( 3X,"|MMM|",/,3X,"-----" )
205 FORMAT( (s+2)X,1X,(NPY-1)( (5-s)X,1Fs.t,"|" ),(5-s)X,1Fs.t )
```

EK F

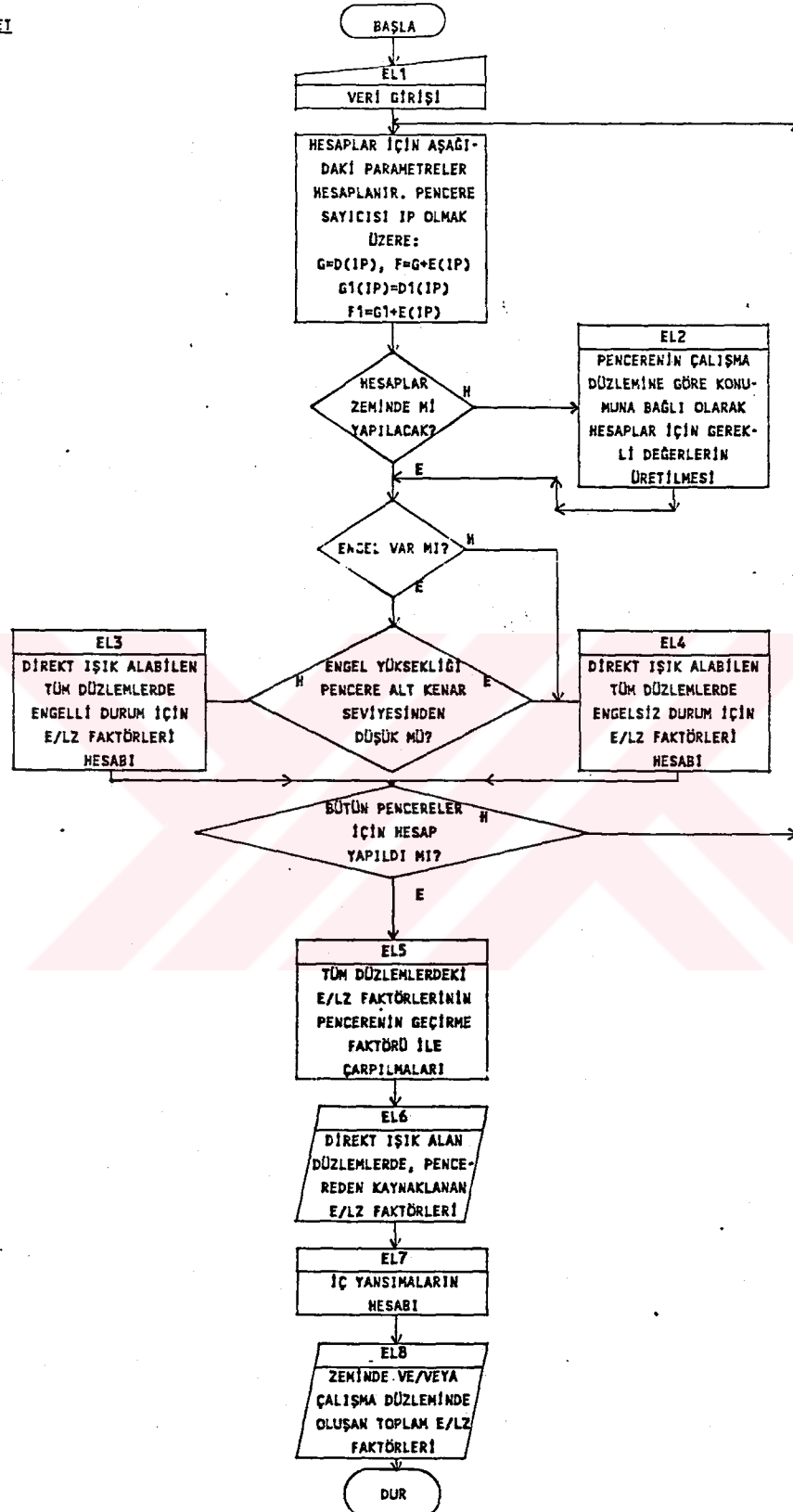
ELZET PROGRAMININ AKIŞ DİYAGRAMI

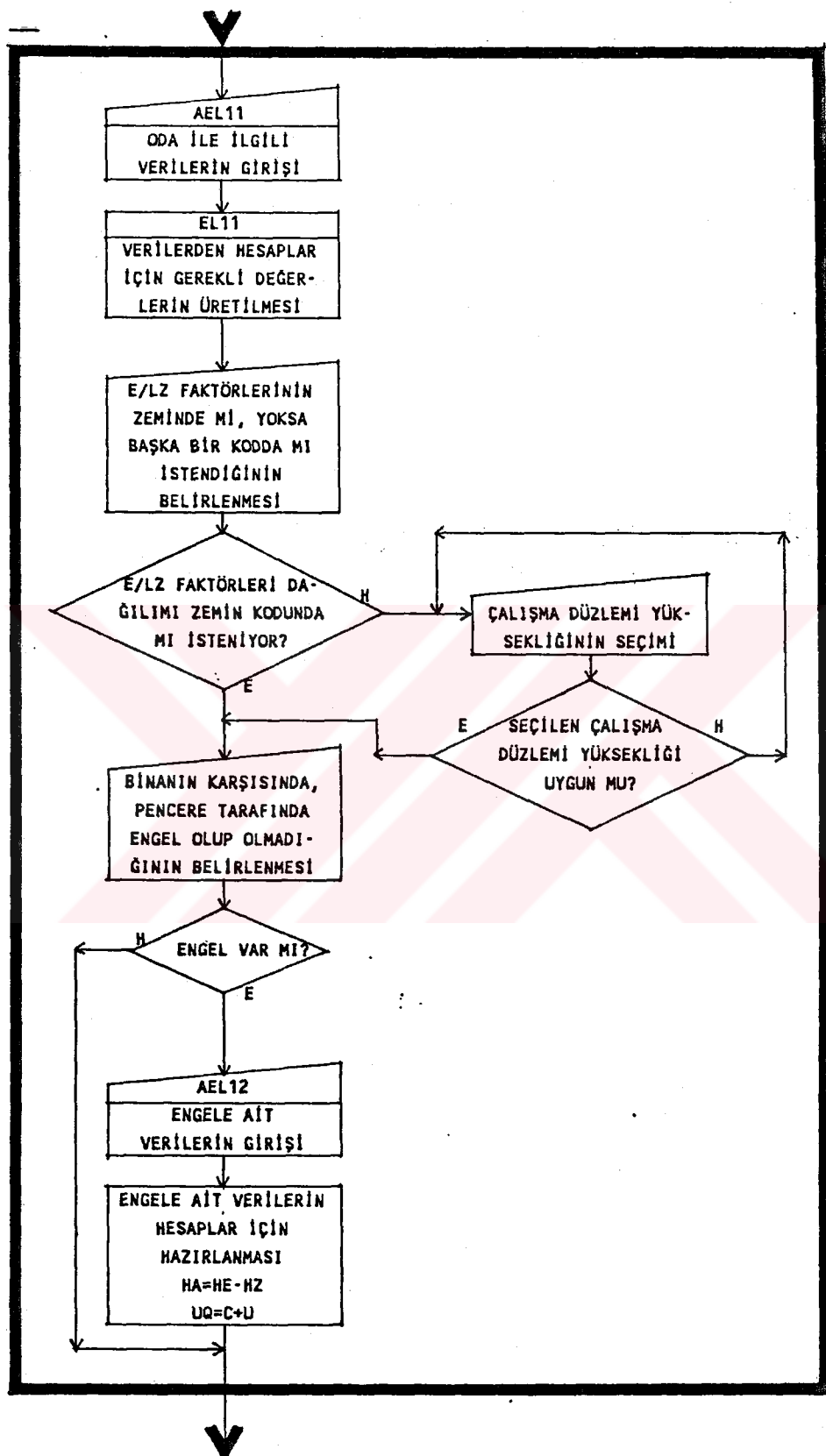
ELZET programının ve bu ana program ile birlikte çalışan alt programların akış diyagramlarında ANSI (American National Standards Institute) sembolleri kullanılmıştır [45].

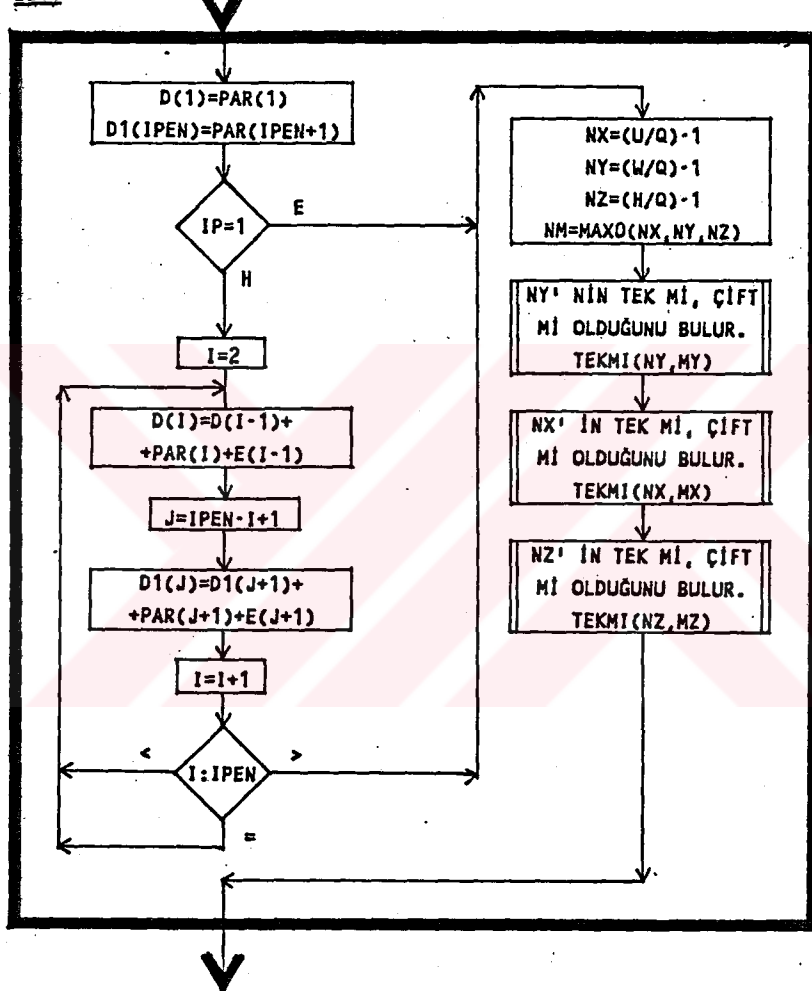
Program akışının bir bakışta görülebilmesi amacıyla programlar, tümü bir sayfaya sığacak şekilde bloklar halinde verilmişlerdir. Her bir blok ayrıca daha sonra detaylı olarak gösterilmiştir. Blok adları, program parçası olarak gözüktükleri yerlerde blokların üst taraflarında ayrı bir bölmede verilmiştir. Program parçasının detayını gösteren ayrı blokda ise, bu adlar, büyük blok belirten kalın çizilmiş dikdörtgenin sol üst köşesine yerleştirilmiştir.

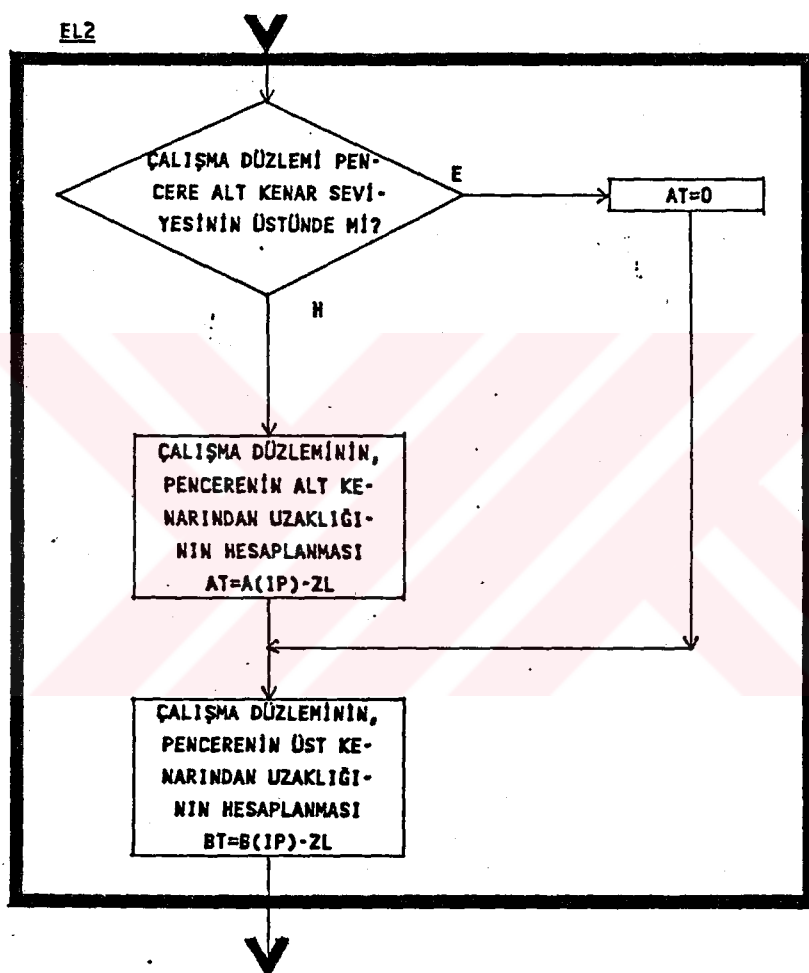
İsimleri AEL ile başlayan bloklar akış diyagramı halinde detaylandırmamışlardır, bunlara ait açıklamalar bu ekin sonunda metine ve programa dayalı olarak verilmiştir.

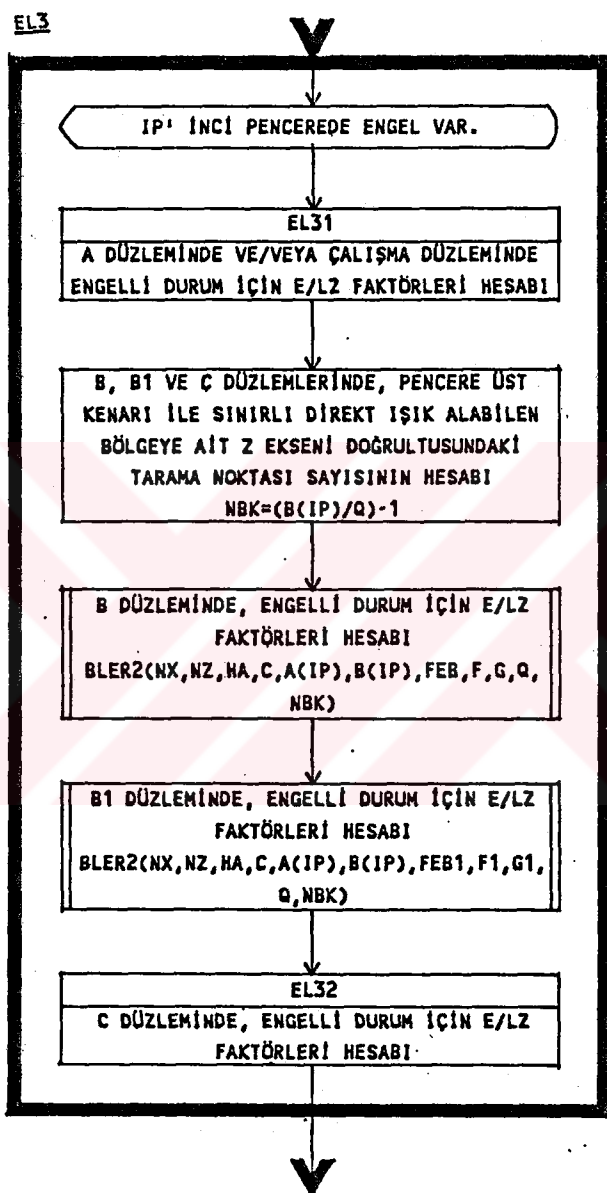
ELZET

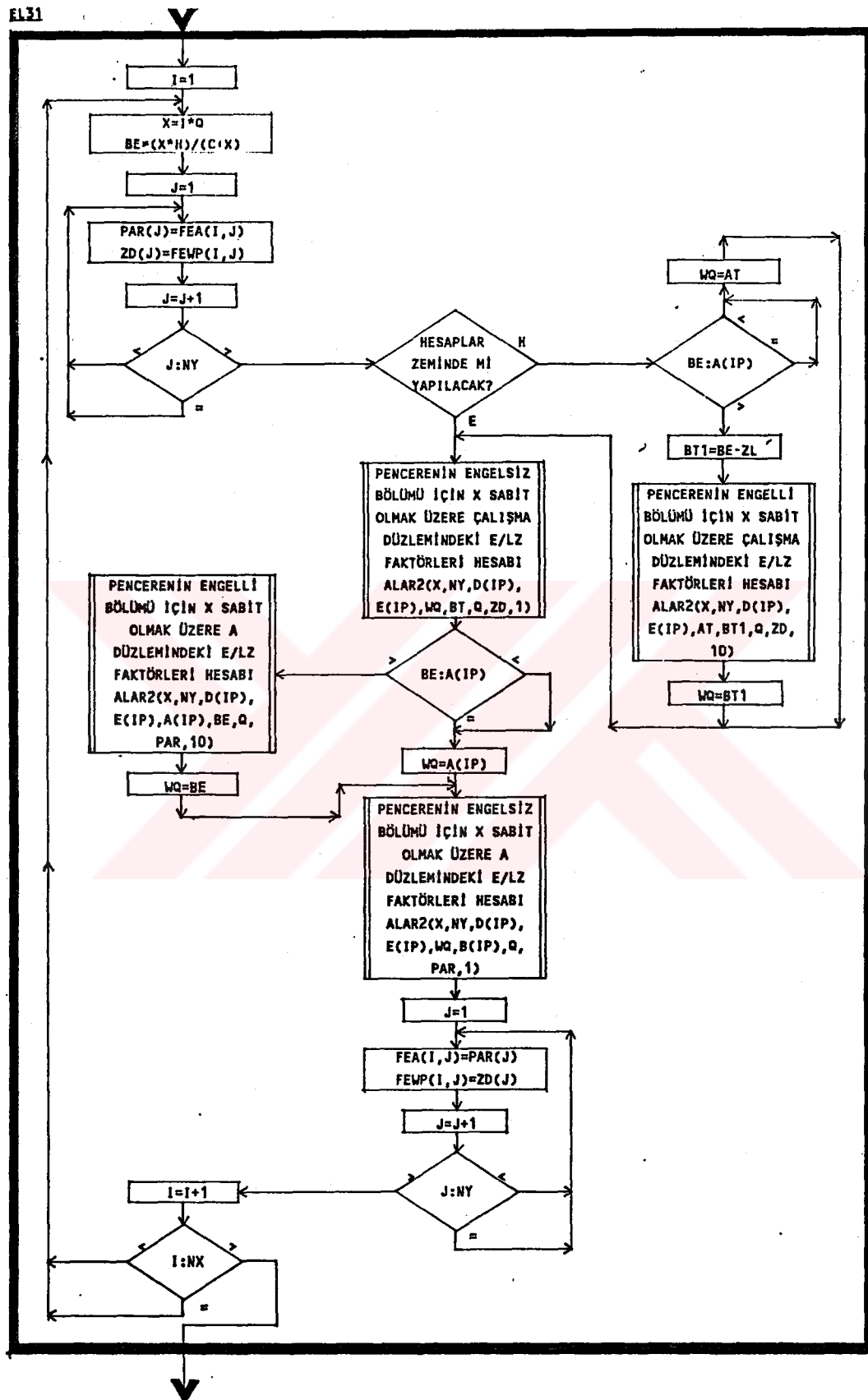




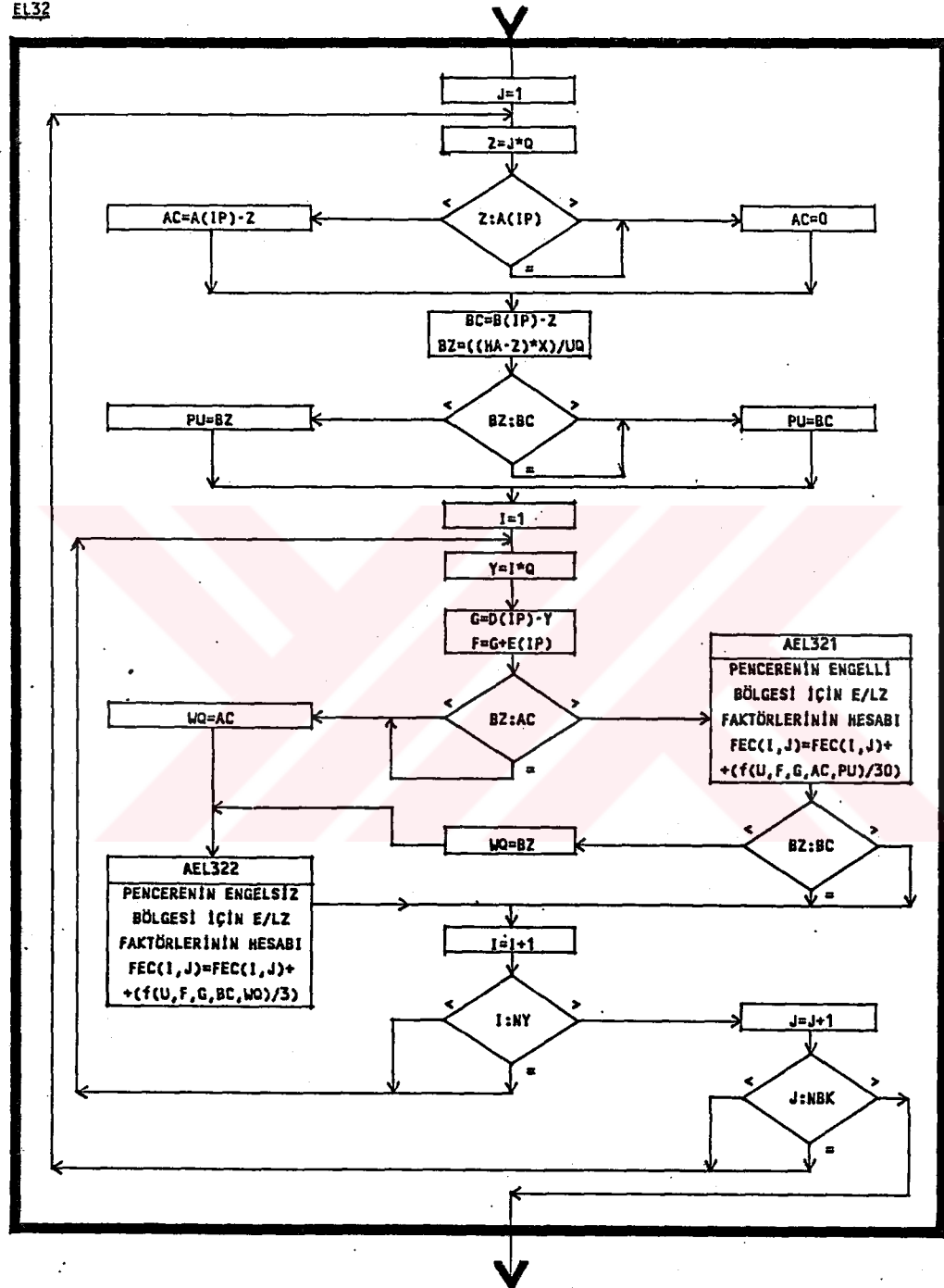
EL11

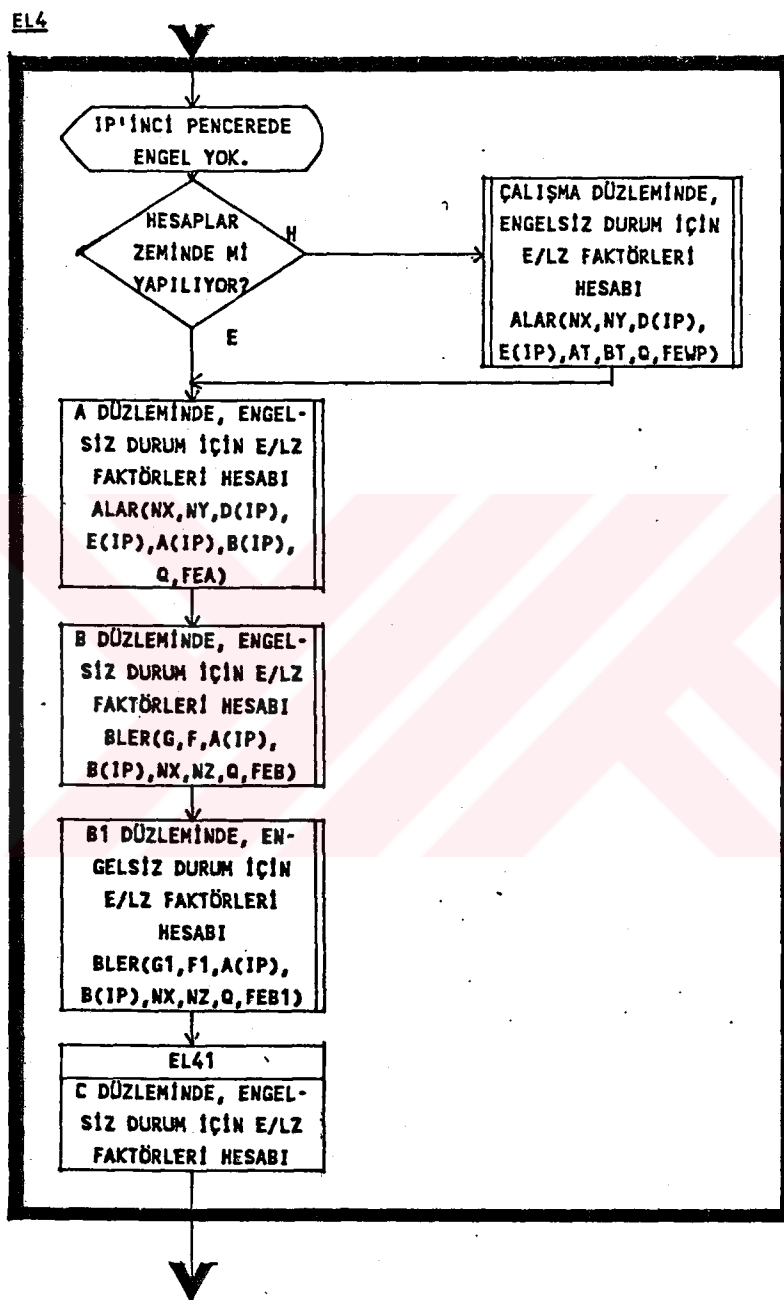




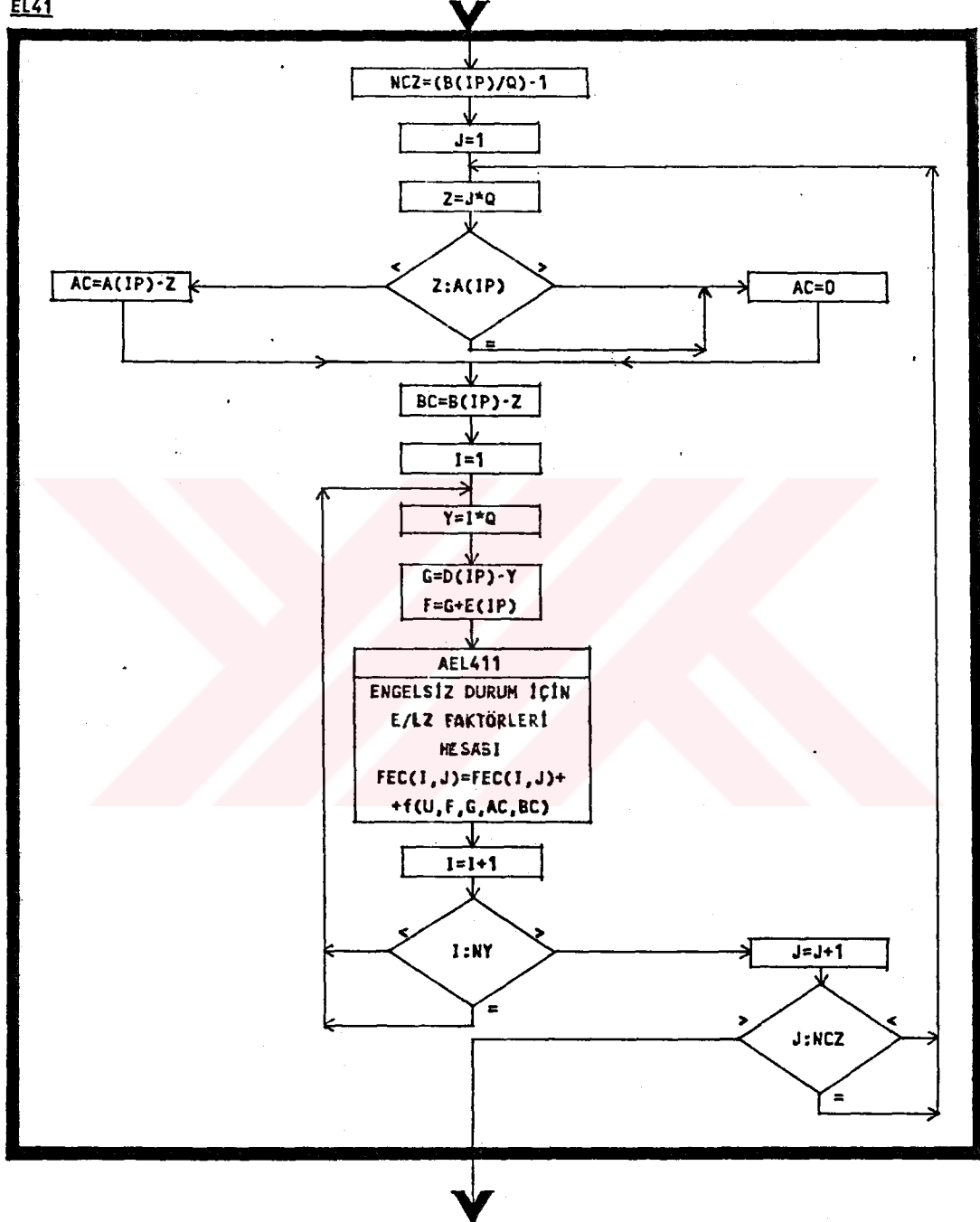


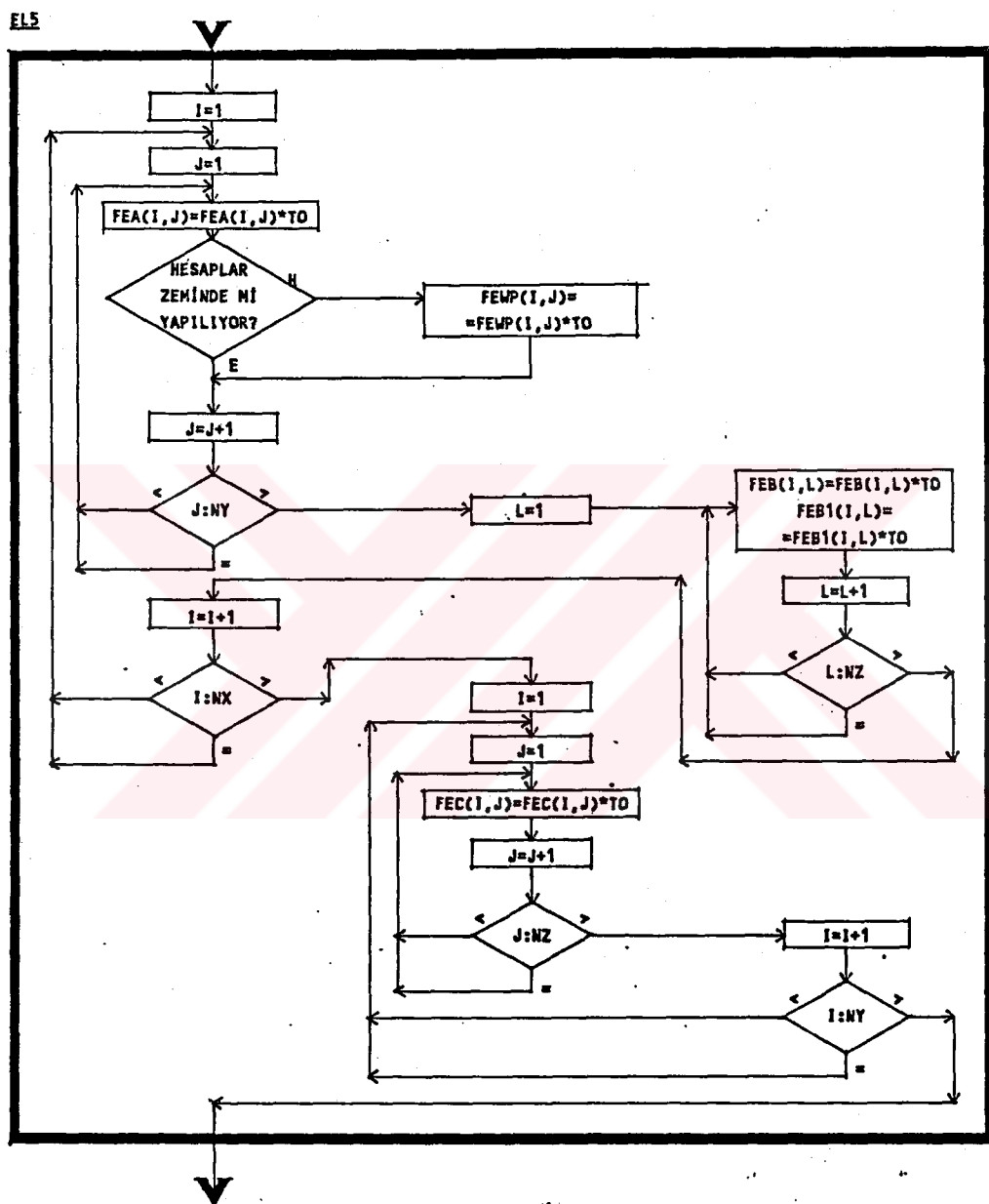
EL32

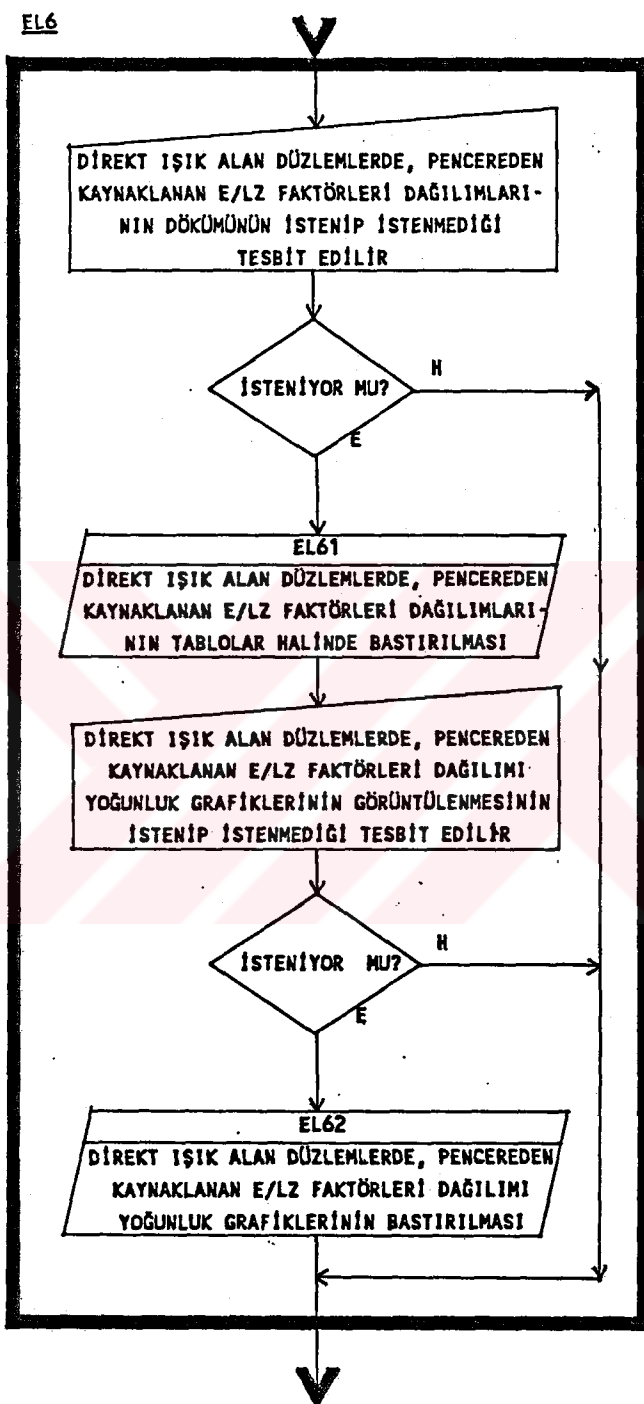


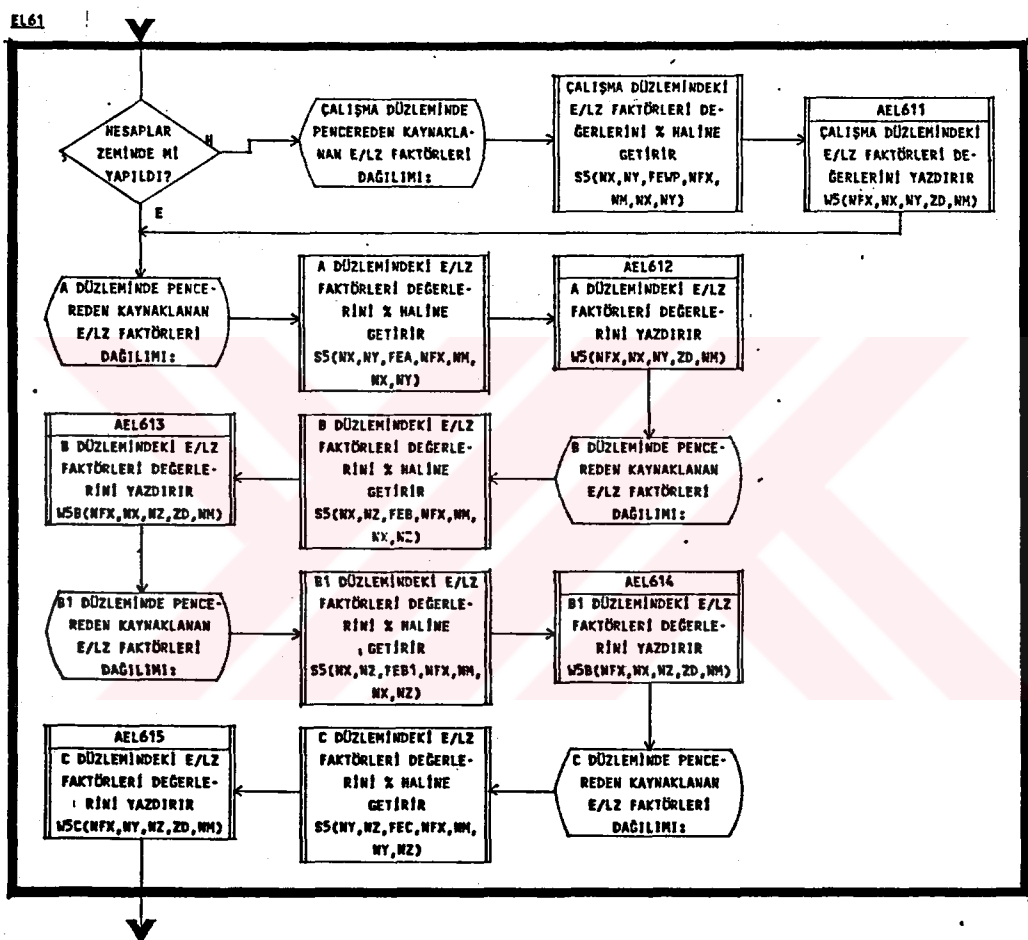


EL41

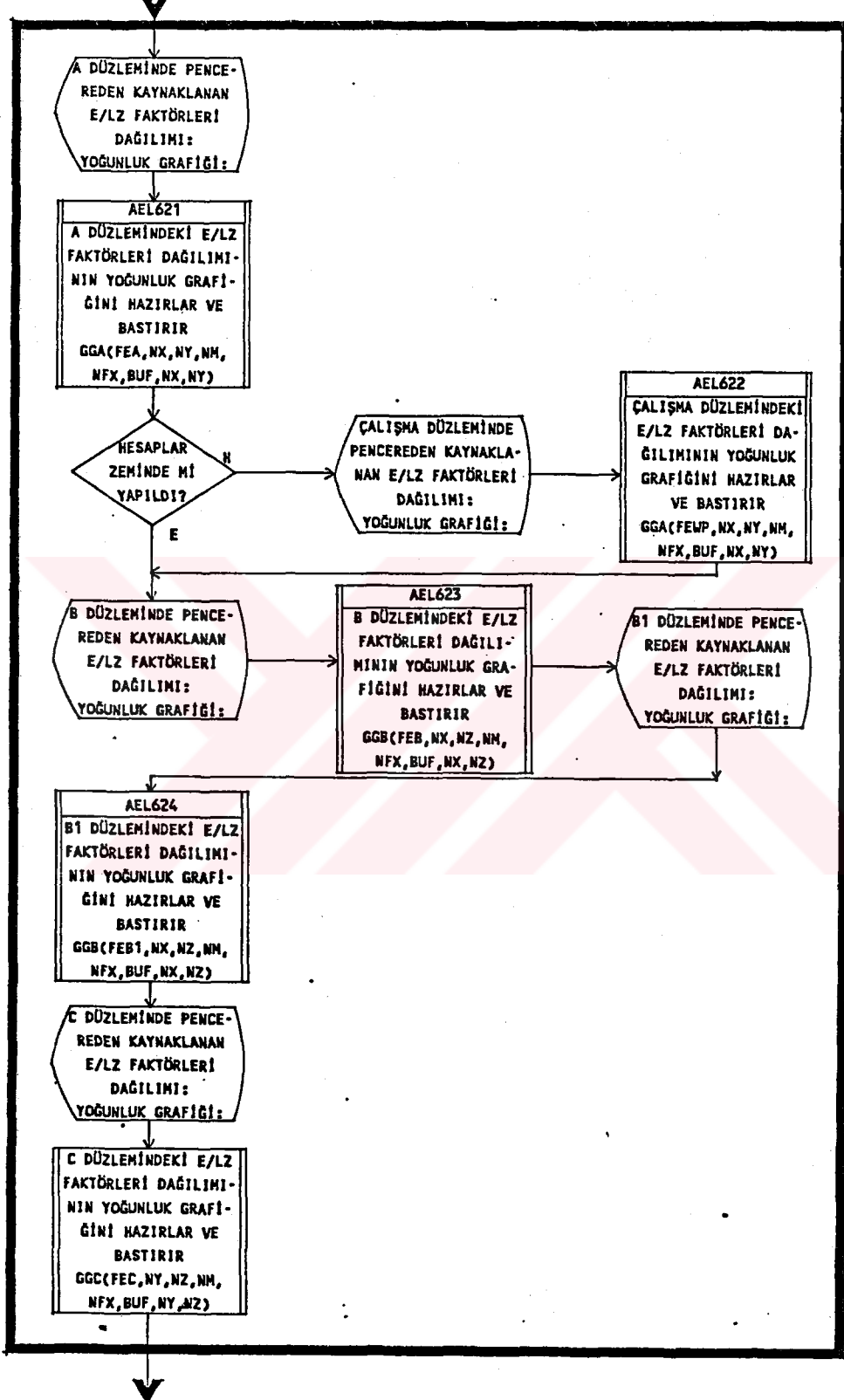








EL62



EL7

V

EL71

C, A, B1 DÜZLEMLERİNDEN B DÜZLEMİNE YANSMALARIN HESABI, B DÜZLEMİ MATRİSİNE YERLEŞTİRİLMELERİ, BUNA B DÜZLEMİNDE, PENCEREDEN KAYNAKLANAN E/LZ FAKTÖRLERİNİN EKLENMESİ VE B DÜZLEMİNDEN A VE/VEYA ÇALIŞMA DÜZLEMİNE YANSMANIN HESAPLANIP, AİT OLDUKLARI DÜZLEM MATRİSLERİNE YERLEŞTİRİLMELERİ

V

EL72

B, B1, A DÜZLEMLERİNDEN C DÜZLEMİNE YANSMALARIN HESABI, C DÜZLEMİ MATRİSİNE YERLEŞTİRİLMELERİ, BUNA C DÜZLEMİNDE, PENCEREDEN KAYNAKLANAN E/LZ FAKTÖRLERİNİN EKLENMESİ VE C DÜZLEMİNDEN A VE/VEYA ÇALIŞMA DÜZLEMİNE YANSMANIN HESAPLANIP, AİT OLDUKLARI DÜZLEM MATRİSLERİNE YERLEŞTİRİLMELERİ

V

EL73

C, A, B DÜZLEMLERİNDEN B1 DÜZLEMİNE YANSMALARIN HESABI, B1 DÜZLEMİ MATRİSİNE YERLEŞTİRİLMELERİ, BUNA B1 DÜZLEMİNDE, PENCEREDEN KAYNAKLANAN E/LZ FAKTÖRLERİNİN EKLENMESİ VE B1 DÜZLEMİNDEN A VE/VEYA ÇALIŞMA DÜZLEMİNE YANSMANIN HESAPLANIP, AİT OLDUKLARI DÜZLEM MATRİSLERİNE YERLEŞTİRİLMELERİ

V

EL74

B, C, B1, A DÜZLEMLERİNDEN A1 DÜZLEMİNE YANSMALARIN HESABI, A1 DÜZLEMİ MATRİSİNE YERLEŞTİRİLMELERİ VE A1 DÜZLEMİNDEN A VE/VEYA ÇALIŞMA DÜZLEMİNE YANSMANIN HESAPLANIP, AİT OLDUKLARI DÜZLEM MATRİSLERİNE YERLEŞTİRİLMELERİ

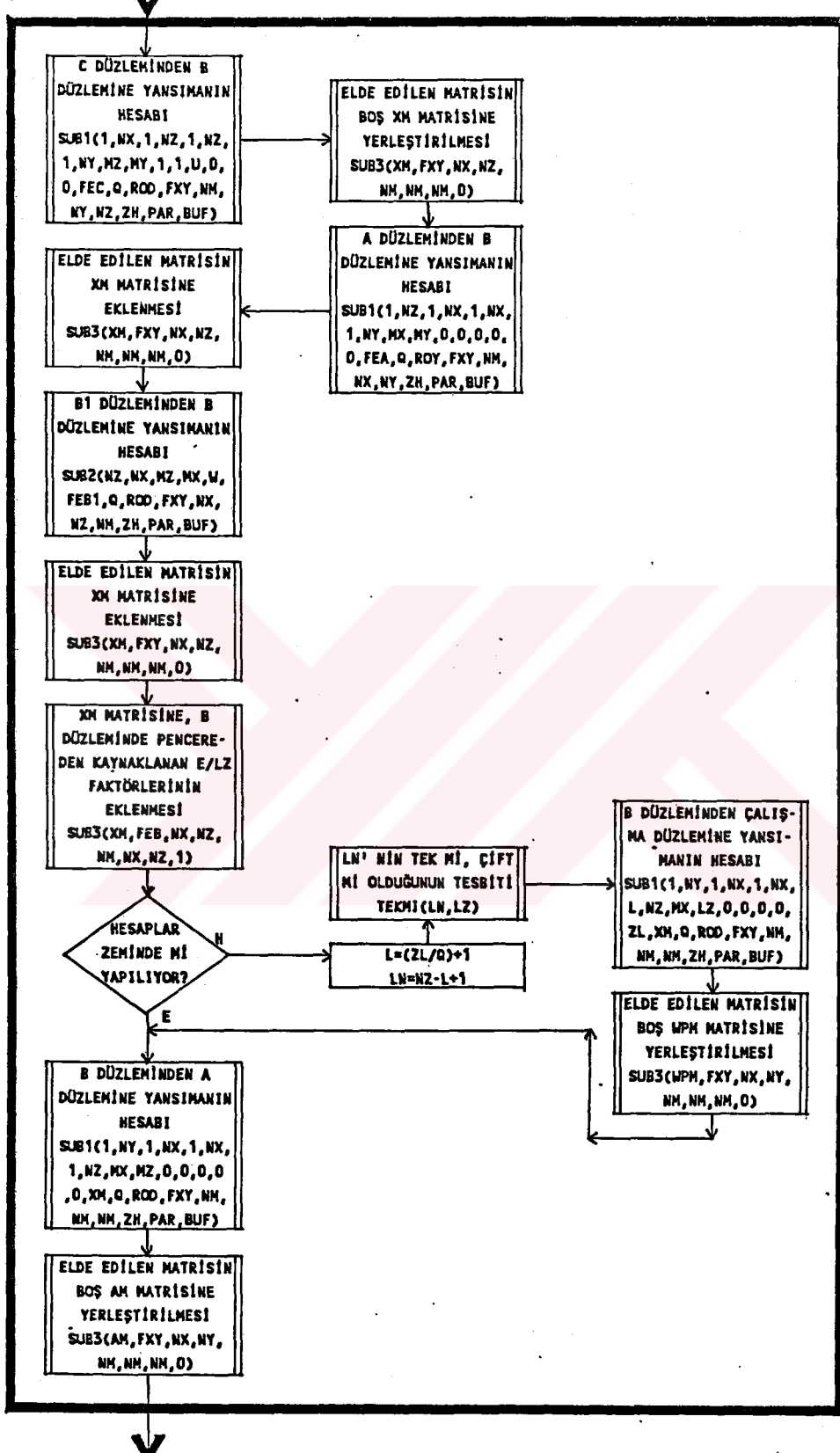
V

EL75

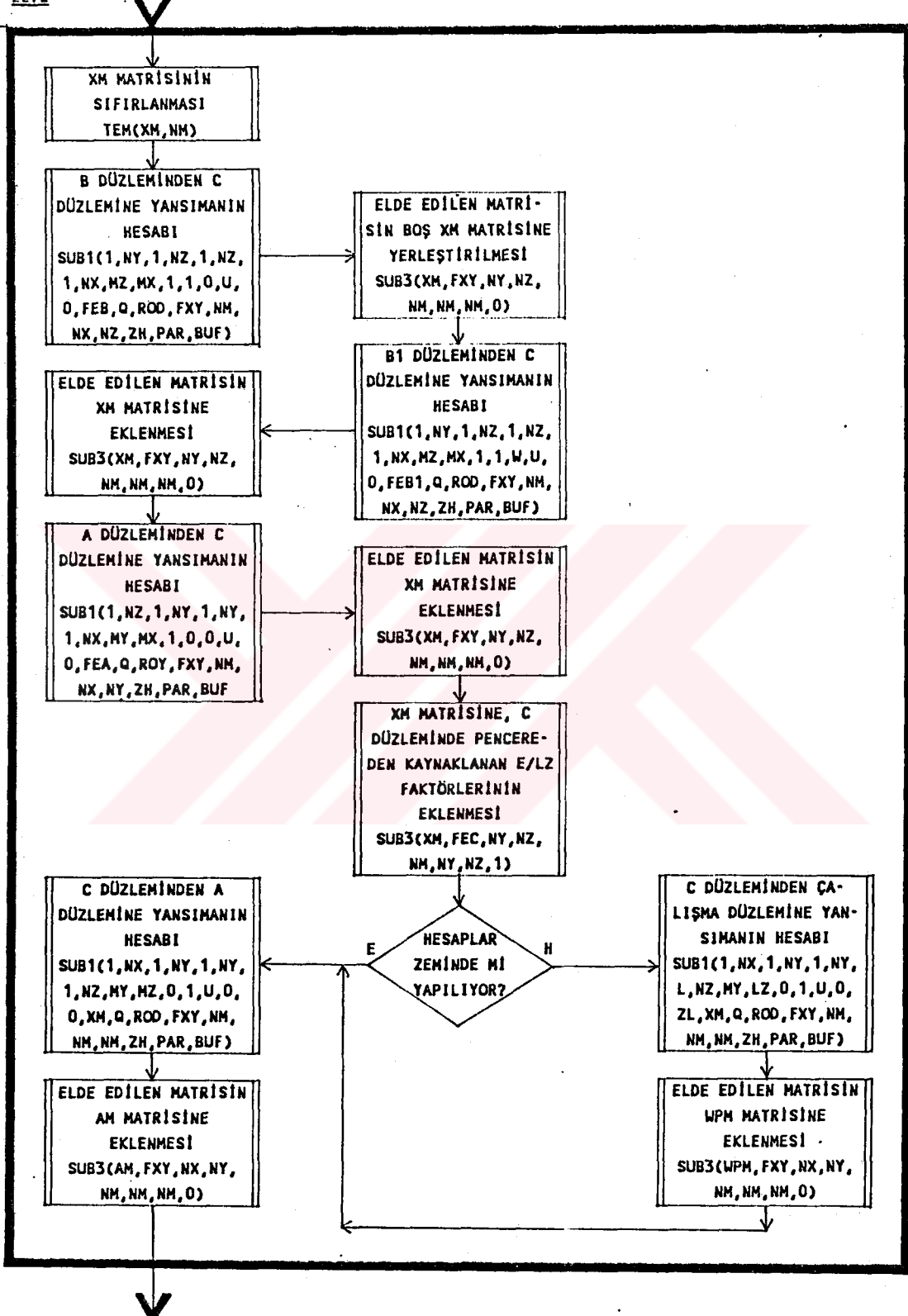
B, B1, A, C DÜZLEMLERİNDEN C1 DÜZLEMİNE YANSMALARIN HESABI, C1 DÜZLEMİ MATRİSİNE YERLEŞTİRİLMELERİ VE C1 DÜZLEMİNDEN A VE/VEYA ÇALIŞMA DÜZLEMİNE YANSMANIN HESAPLANIP, AİT OLDUKLARI DÜZLEM MATRİSİNE YERLEŞTİRİLMELERİ, C1 ÜZERİNDE PENCERELERİN BULUNDUKLARI YERLERDEN A VE/VEYA ÇALIŞMA DÜZLEMİNE YANSMANIN HESABI, AİT OLDUKLARI MATRİSLERDEN ÇIKARILMASI, ELDE EDİLEN A DÜZLEMİ VE/VEYA ÇALIŞMA DÜZLEMİ MATRİSİNE, PENCEREDEN KAYNAKLANAN E/LZ FAKTÖRLERİNİN EKLENMESİ

V

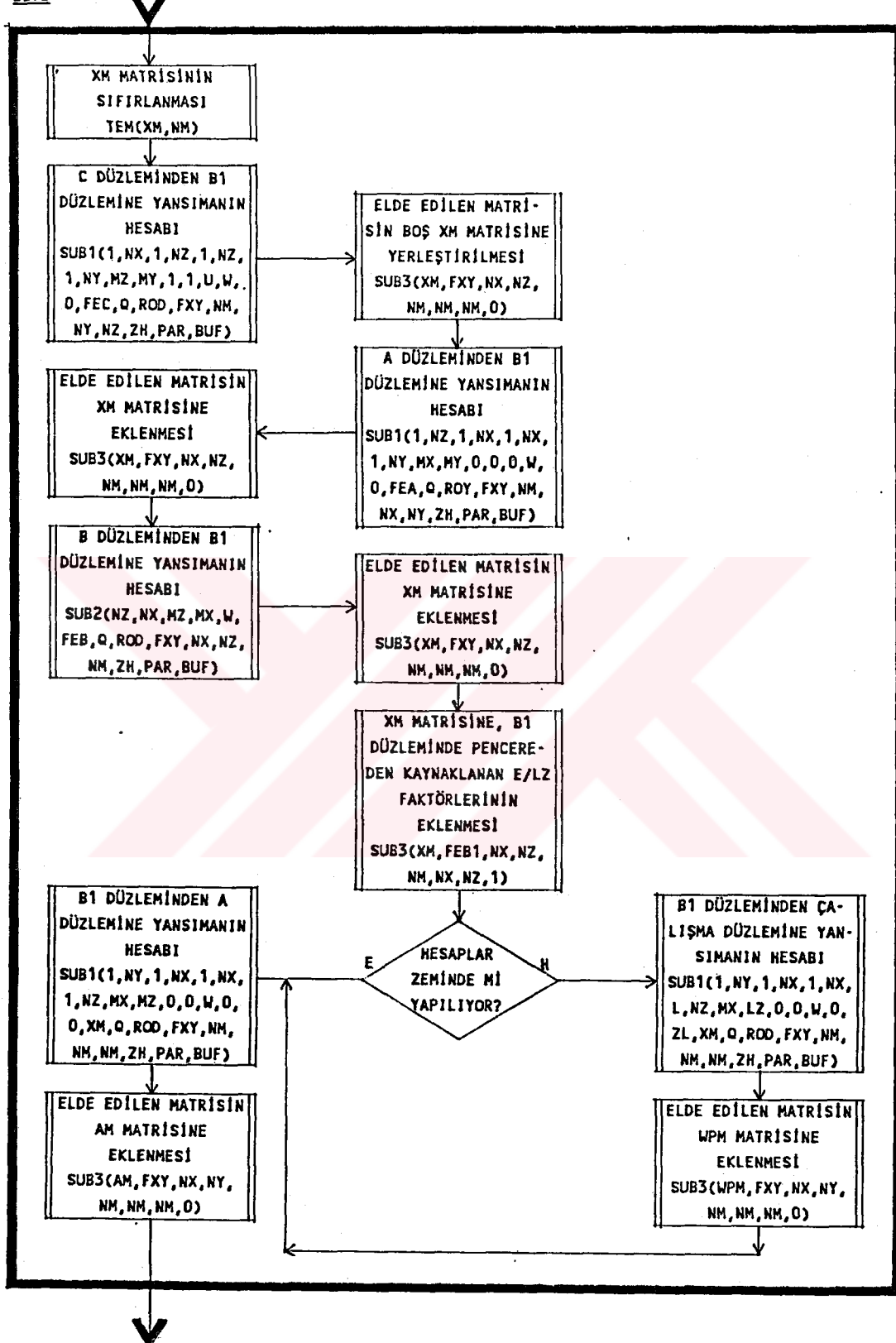
EL71



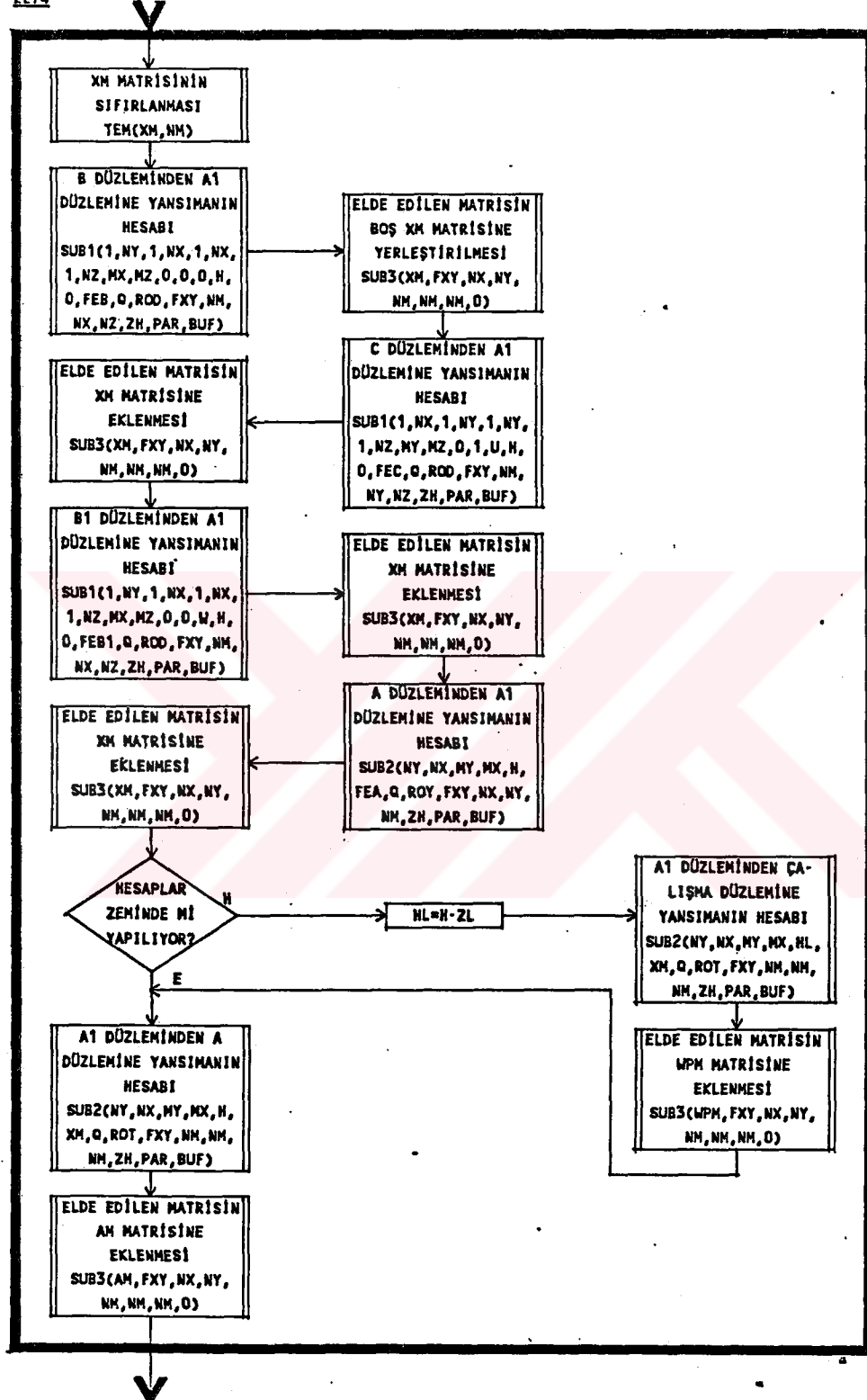
EL72



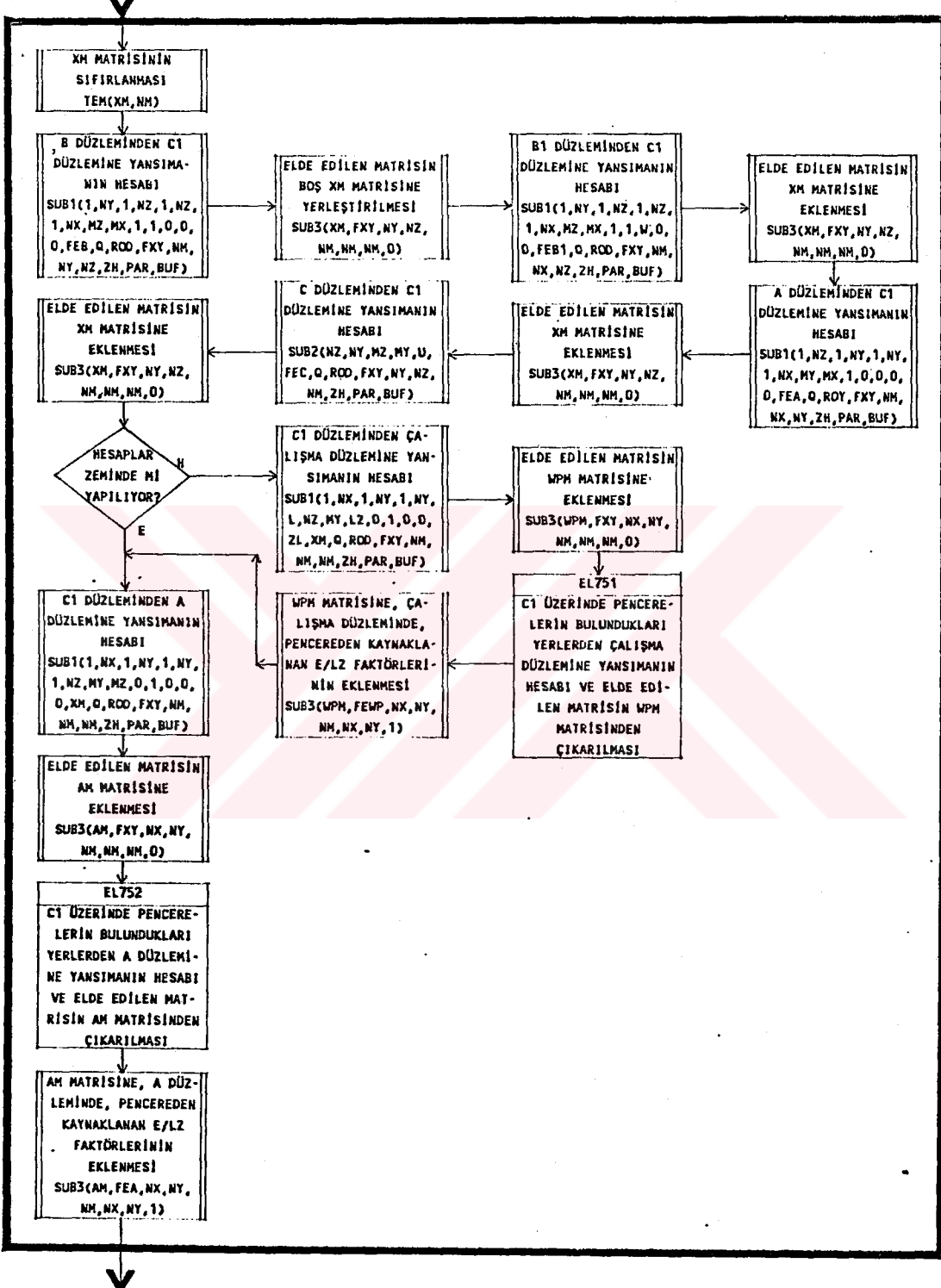
EL73



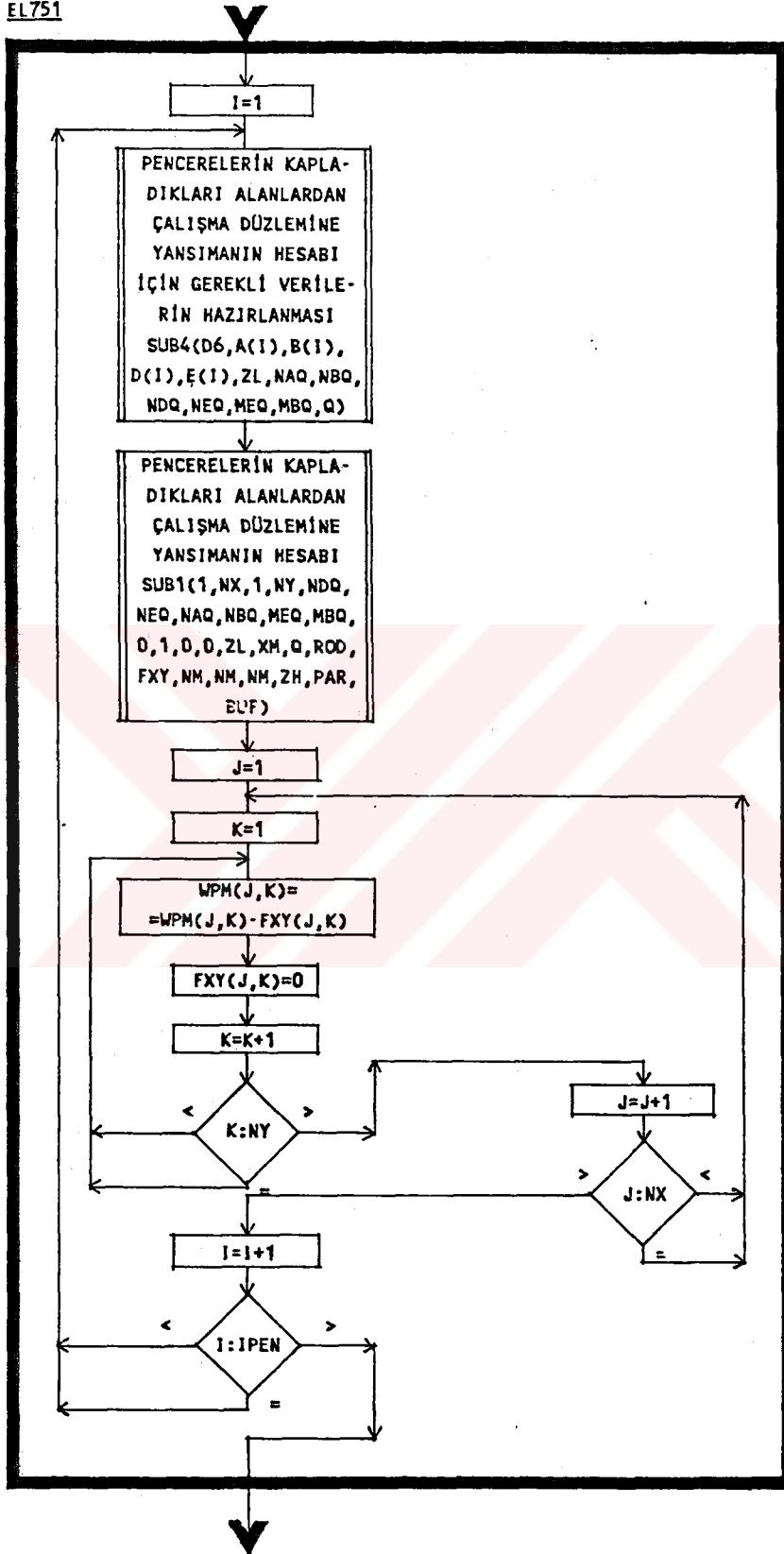
EL74



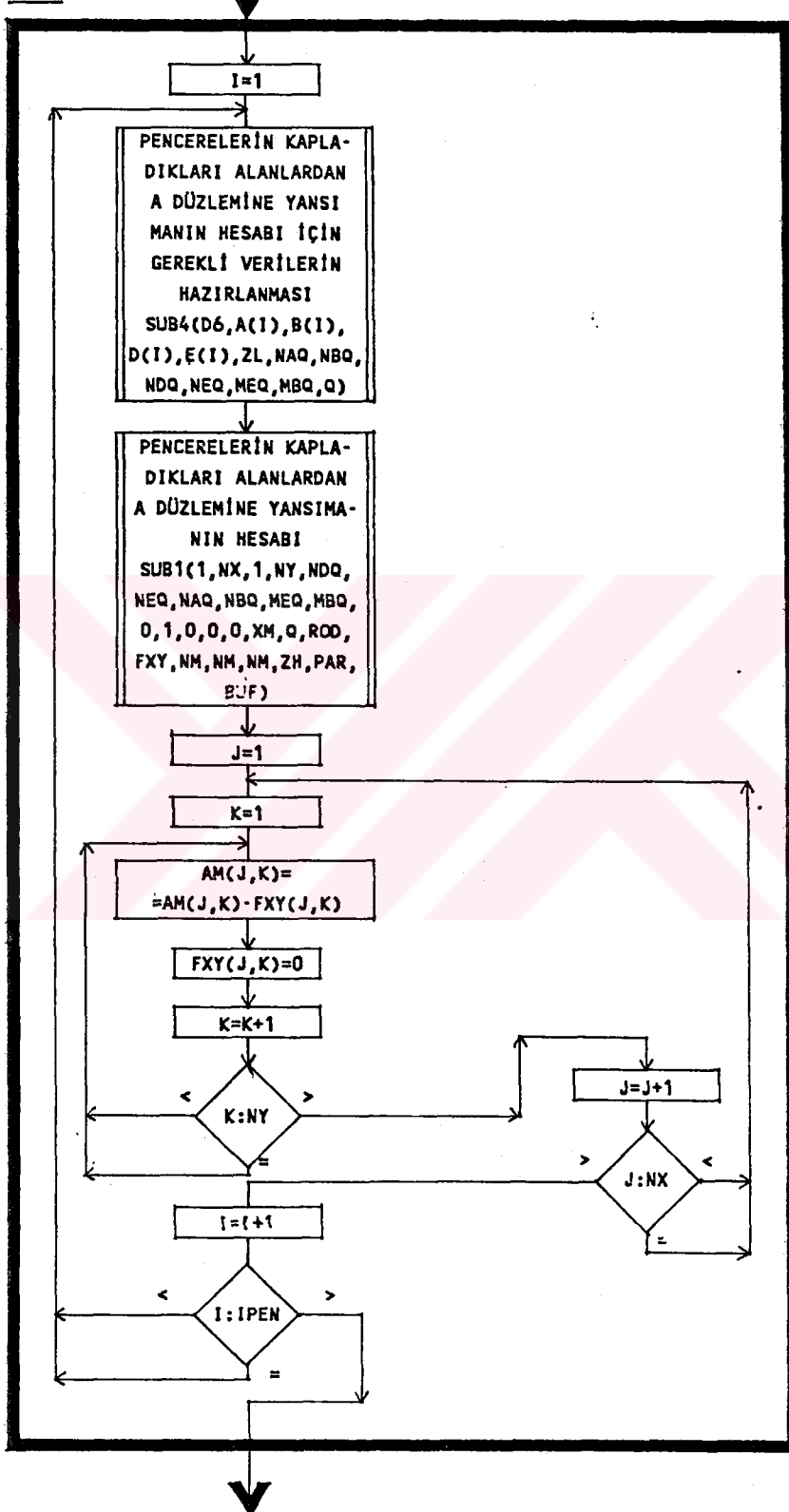
EL75

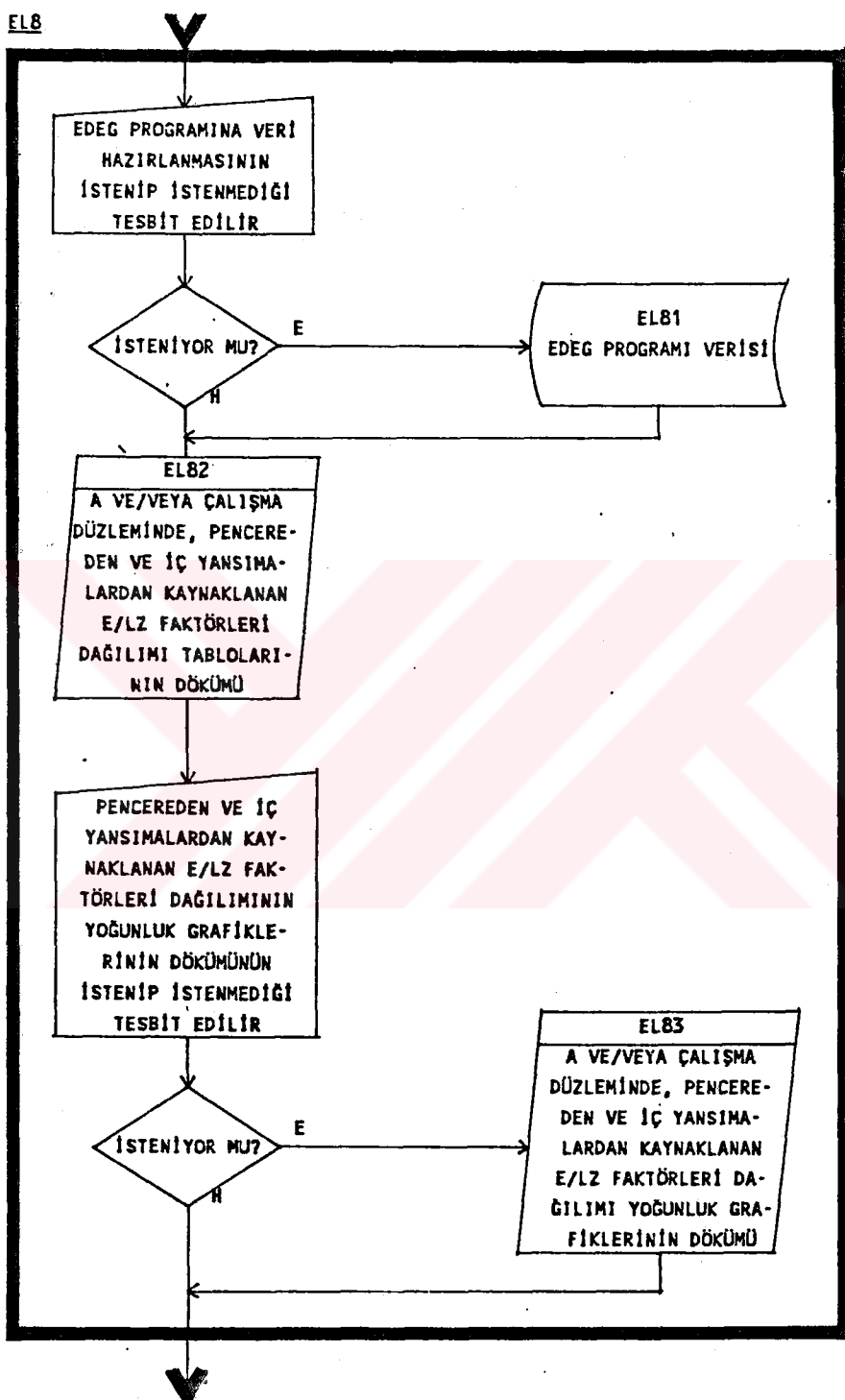


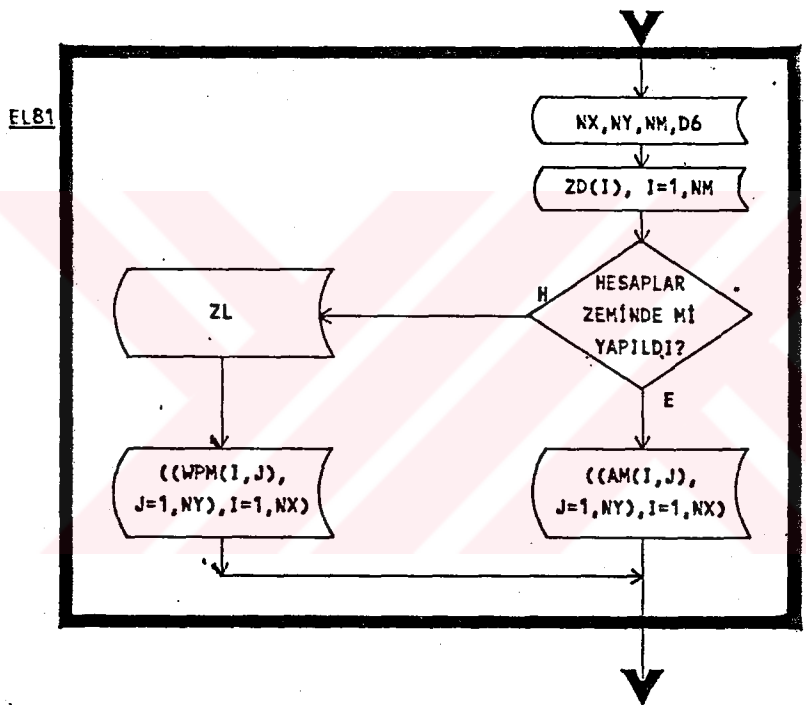
EL751



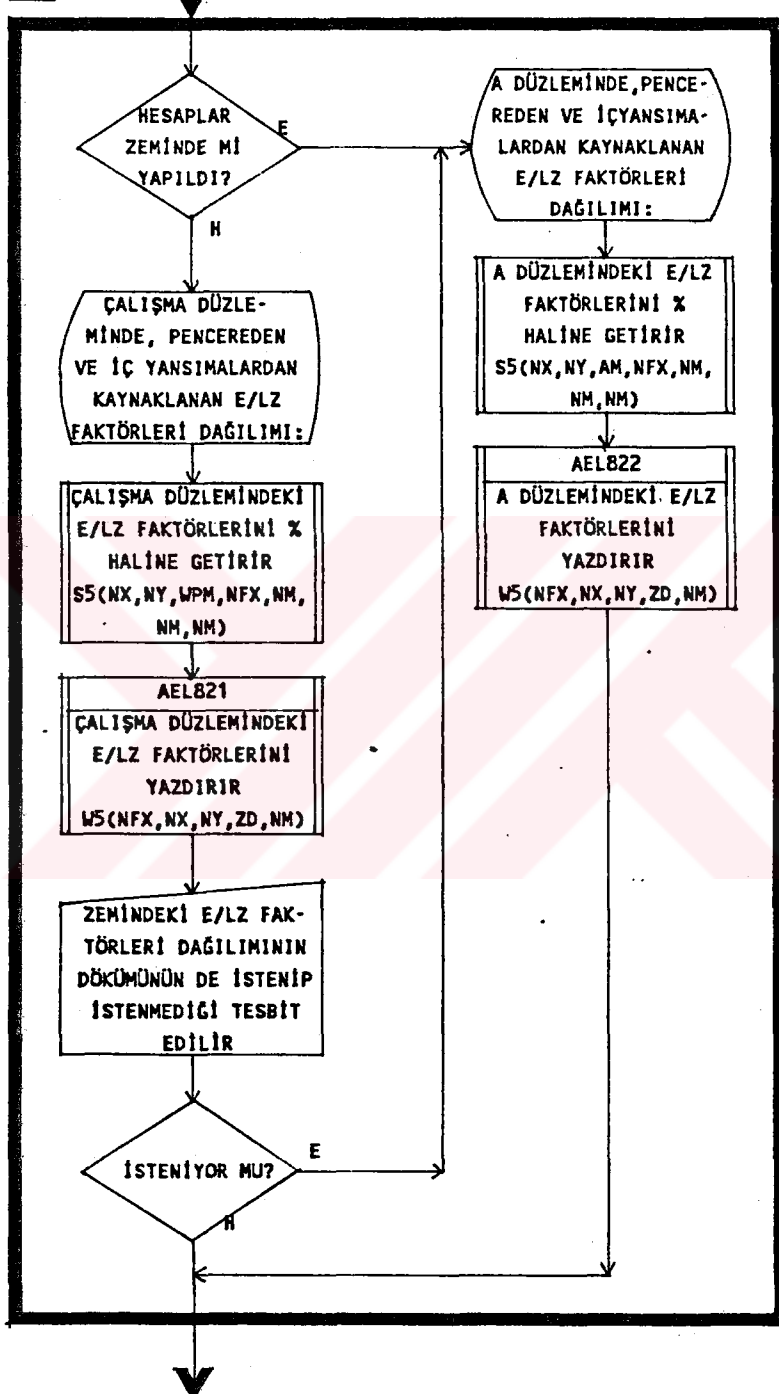
EL752



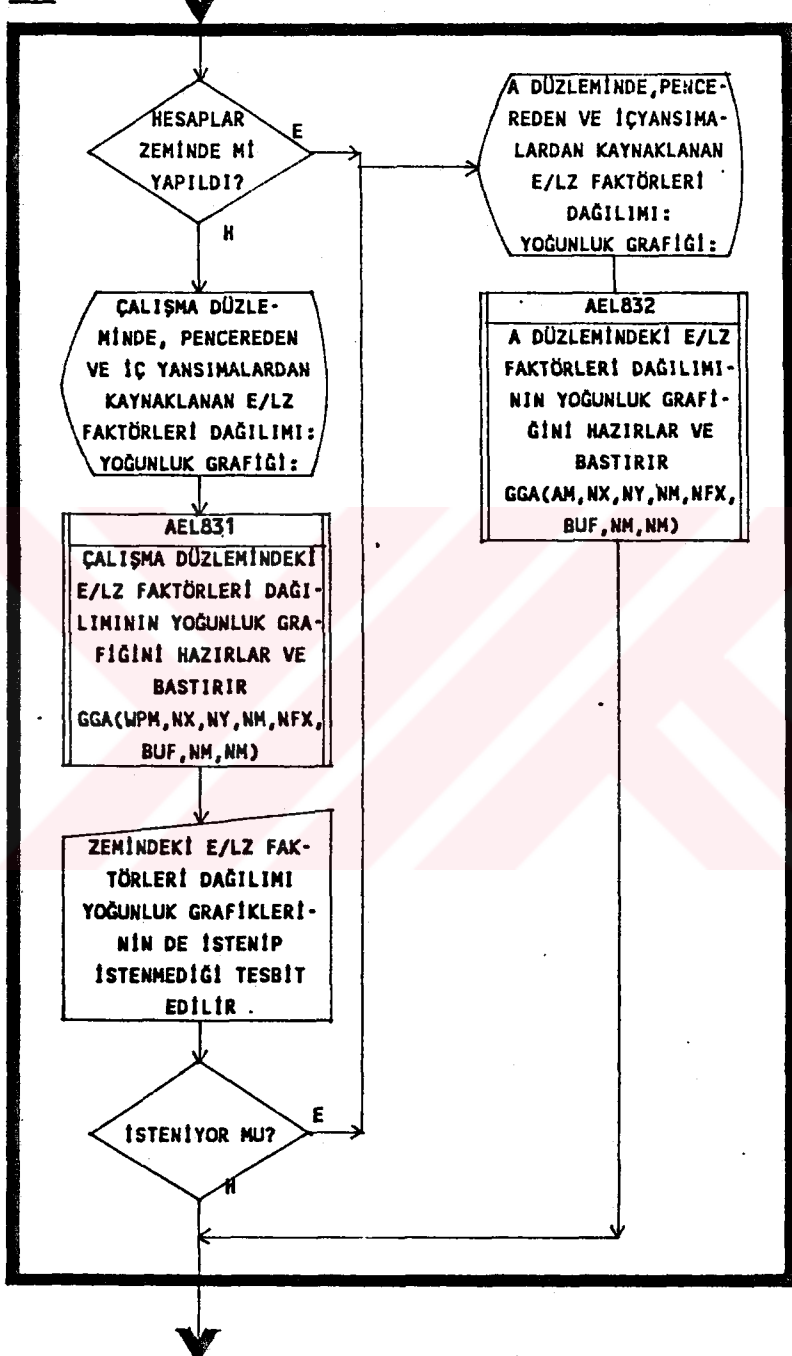




EL82



EL83



SUB1(N01,N1,N012,N12,N022,
N22,N03,N3,M2,M3,D3,D4,S,T,ZL,EA,Q,
RO,EAB,NM,NJ,NJ,AY,AB1,AB)

P1=3.141592654

I1=N01

X=I1*Q

$S=0$

X=S-X

I2=N012

YY=I2*Q

SUB11

İŞİĞİN YANSIDIĞI DÜZLEME AİT
PARAMETRELERİN DÜZENLENMESİ

SUB12

ENTEGRALLERİN ALINMASI

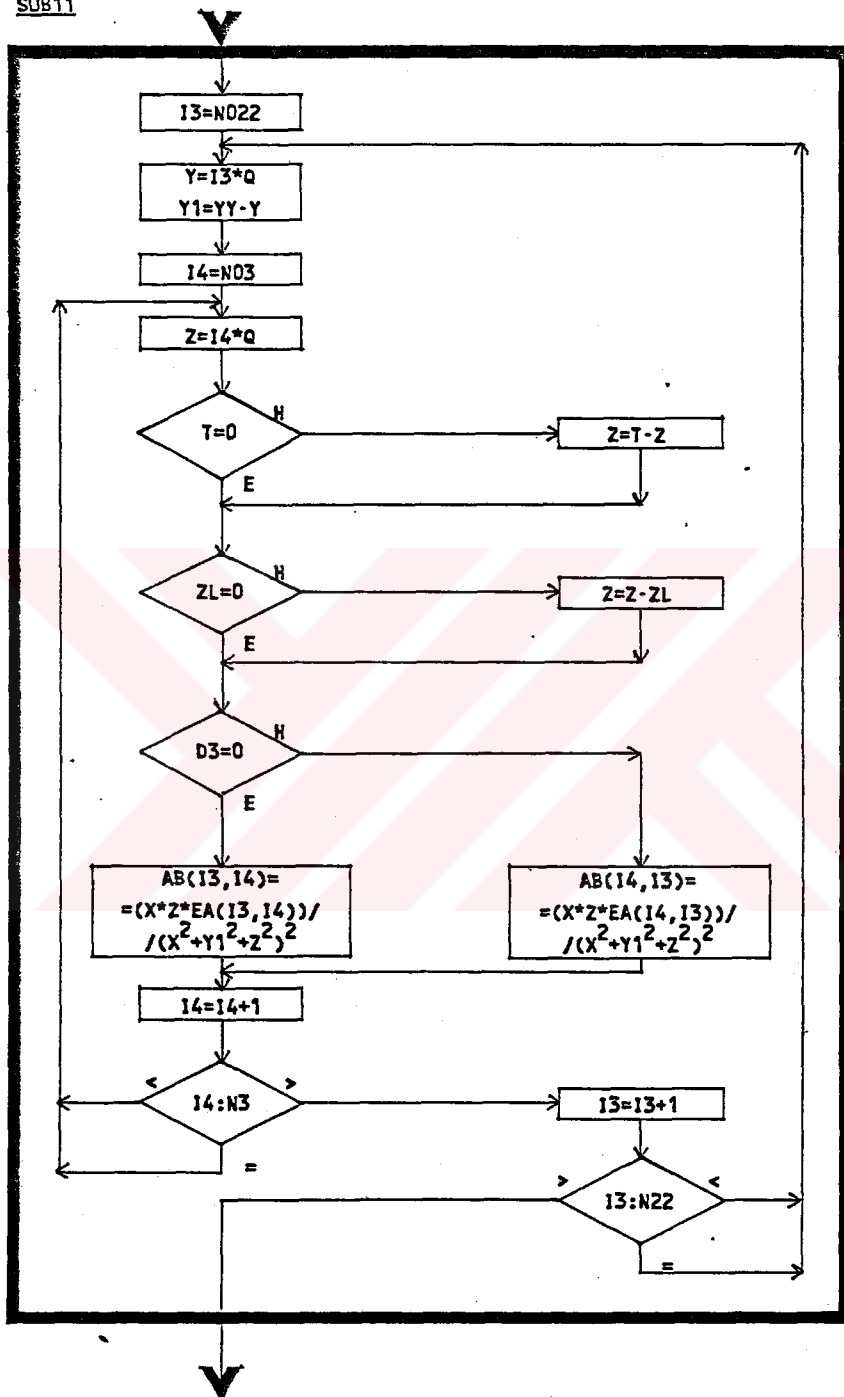
I2=I2+1

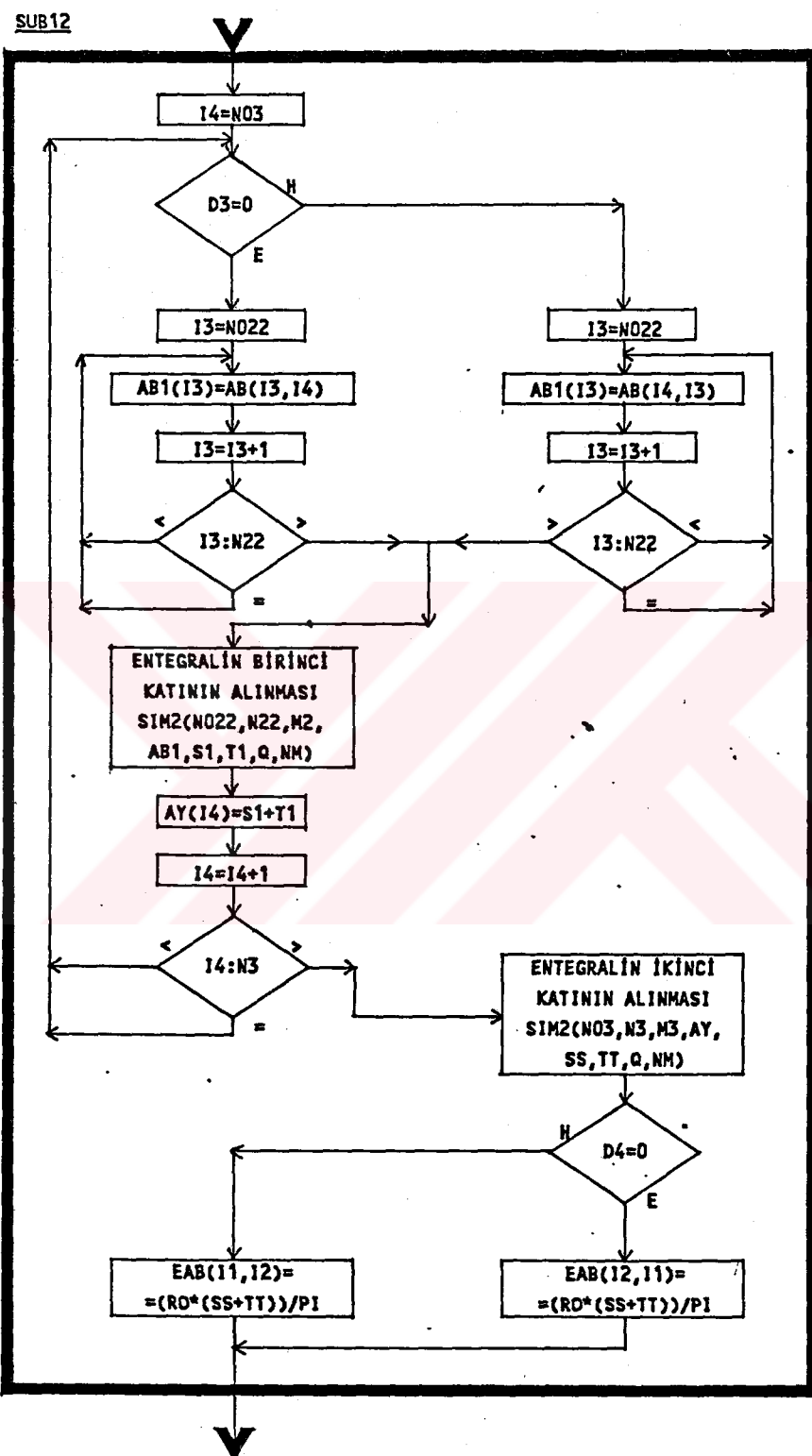
I2:N12

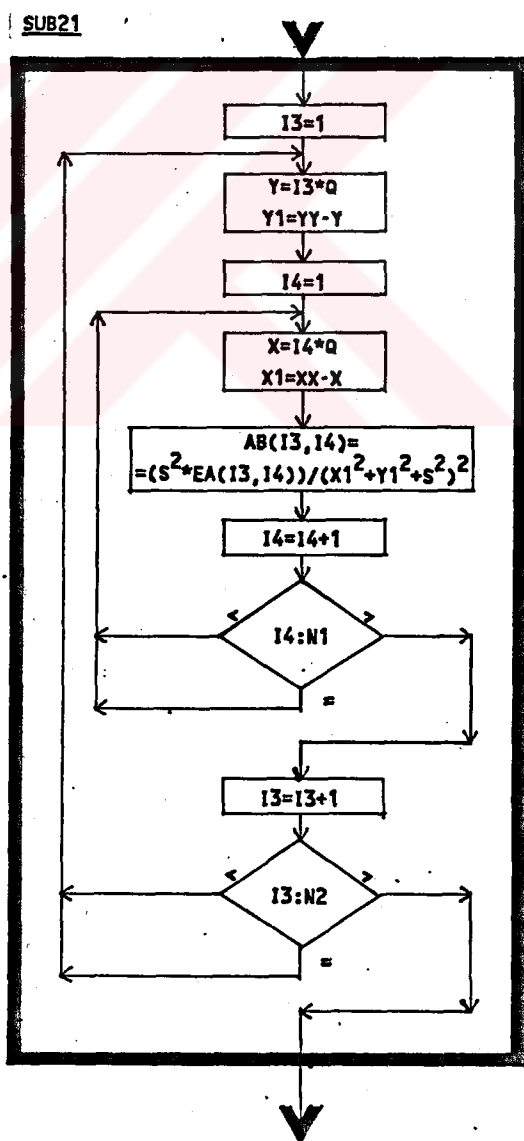
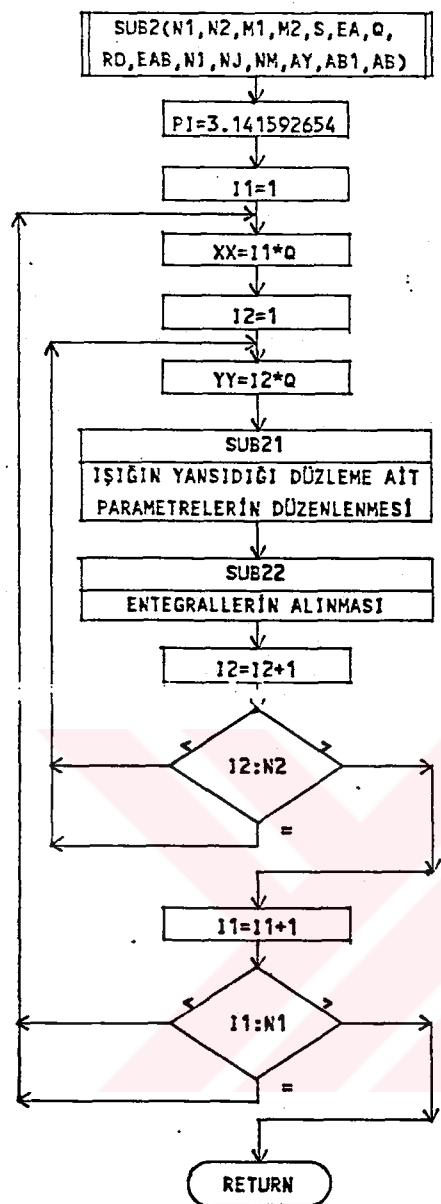
I1=I1+1

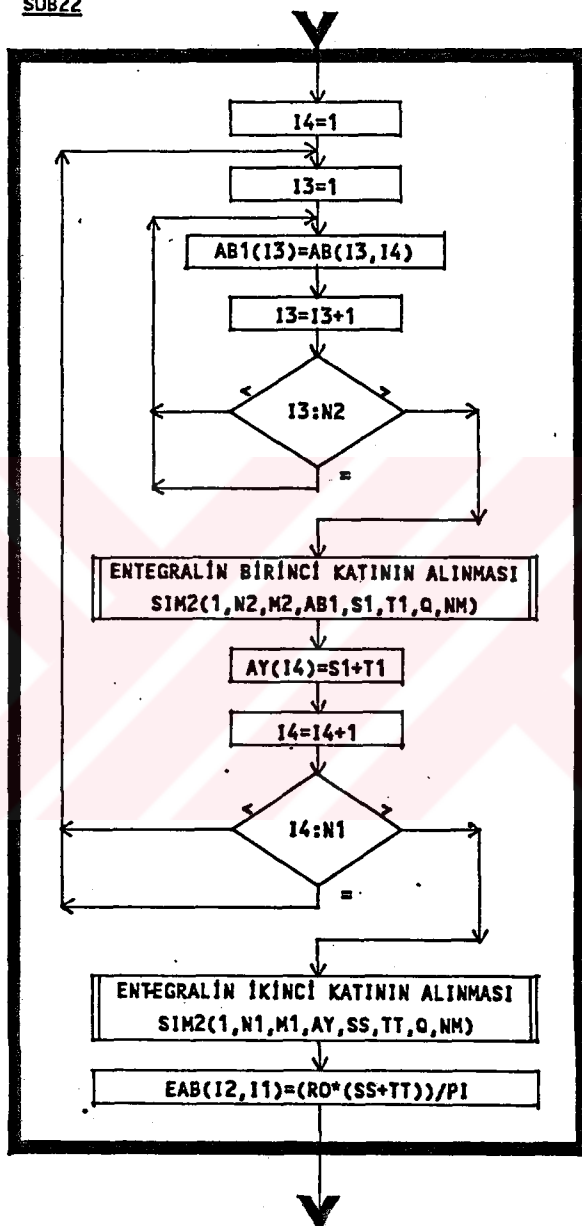
I1:N1

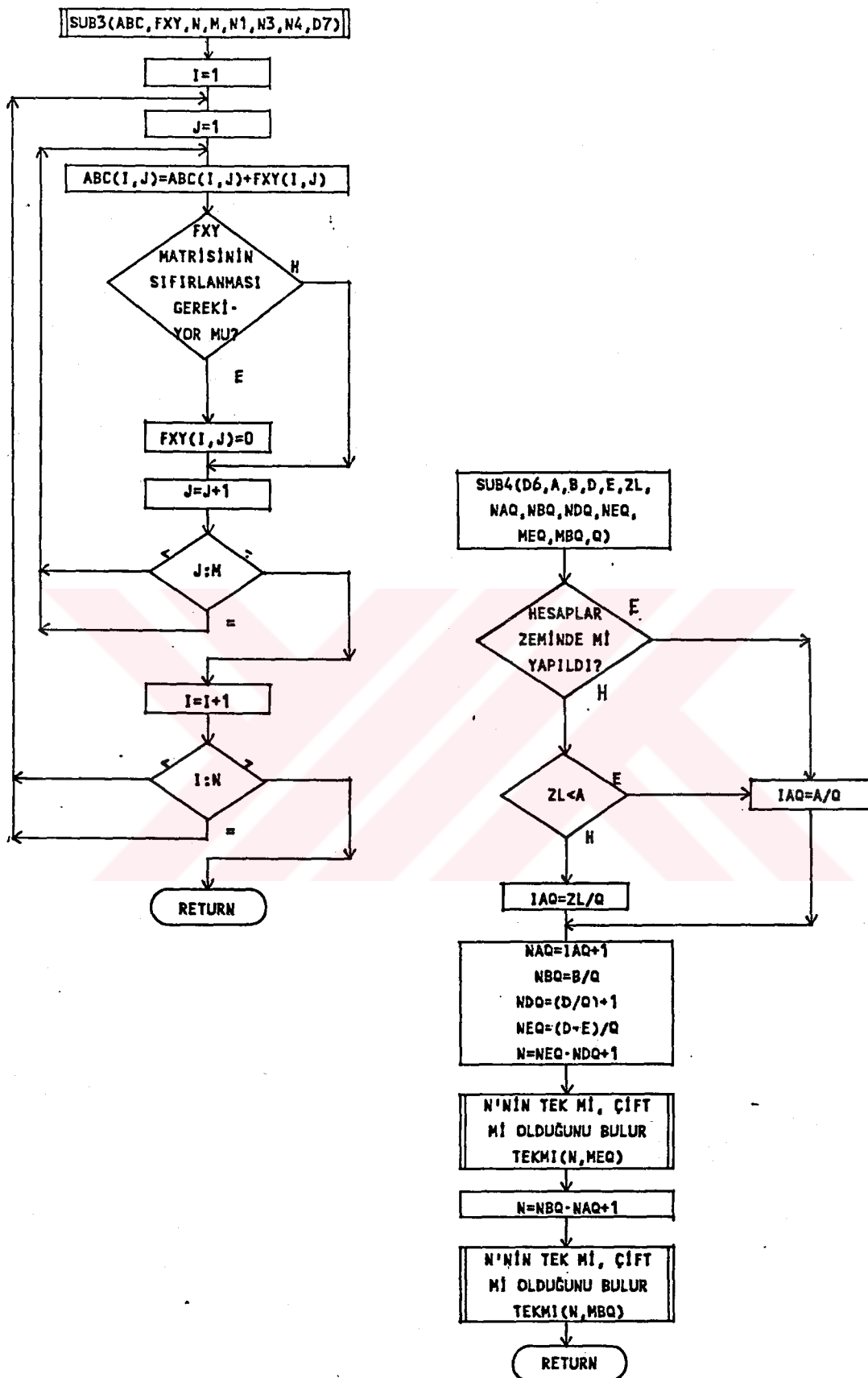
RETURN

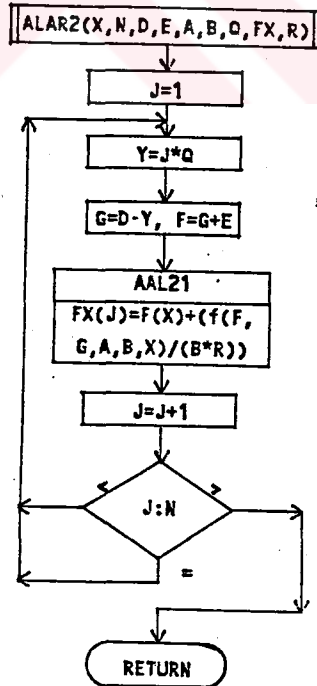
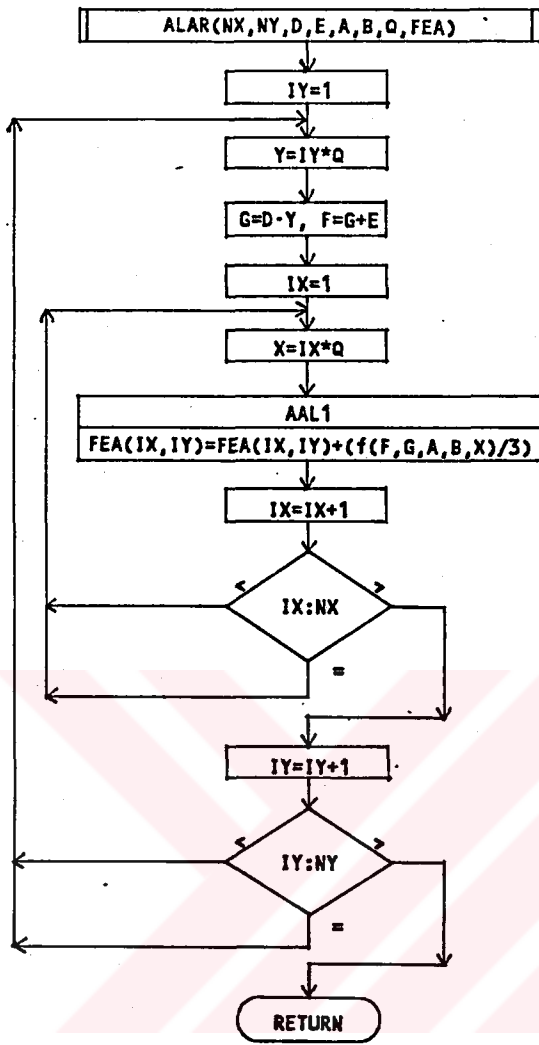
SUB11

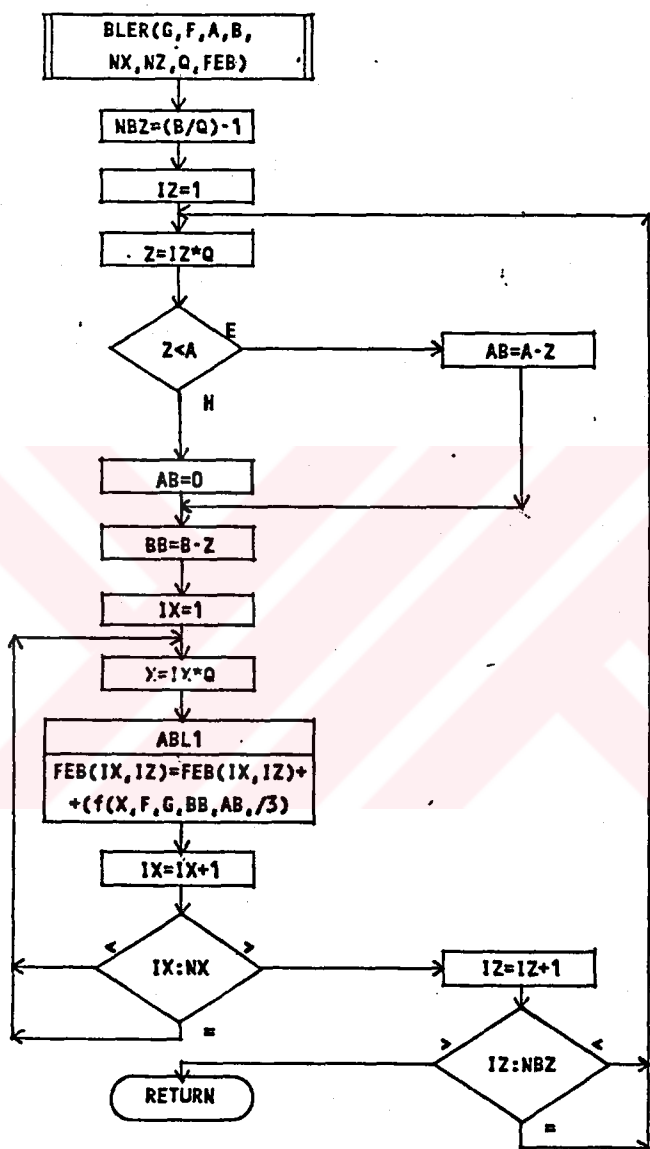


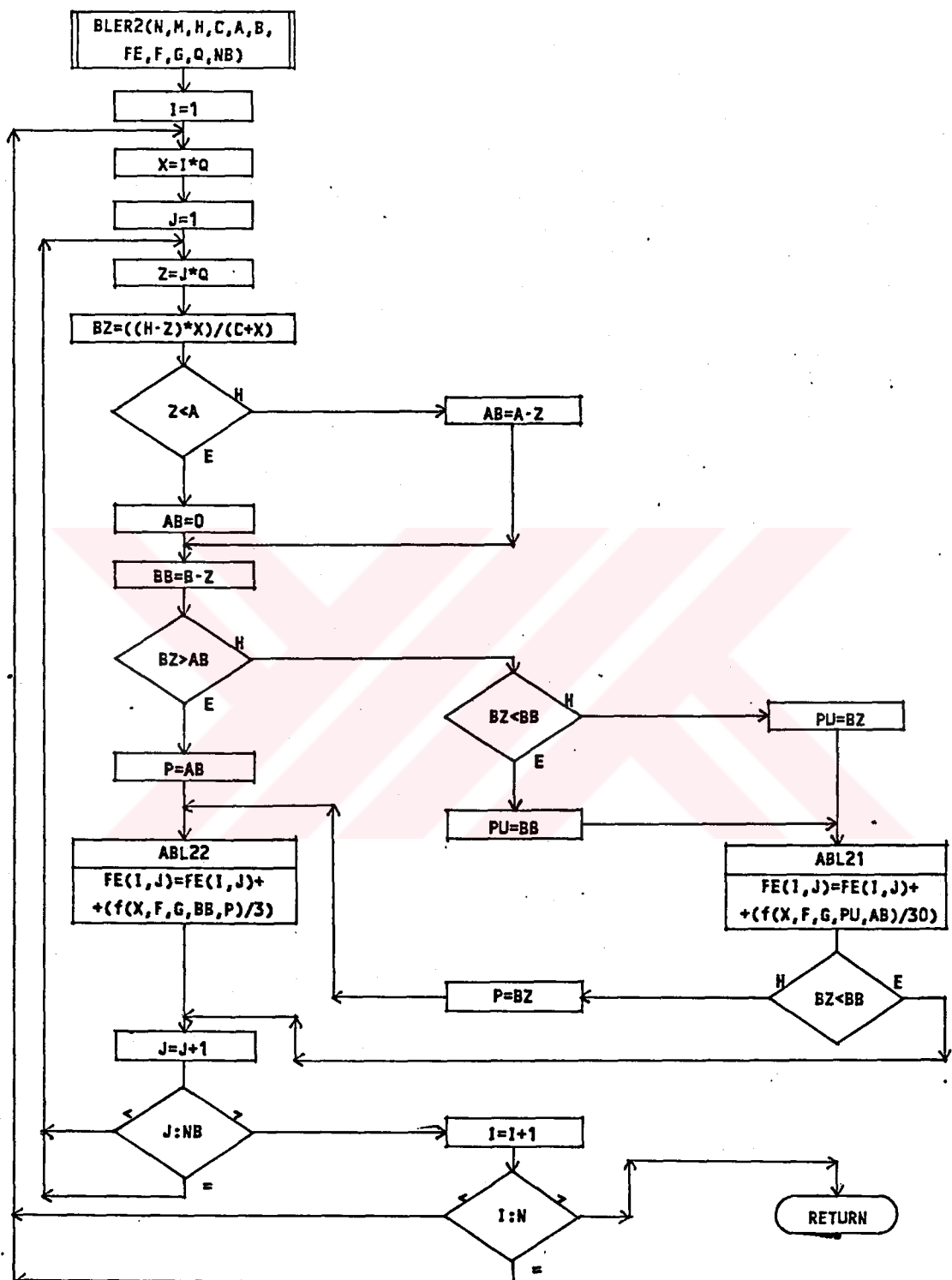


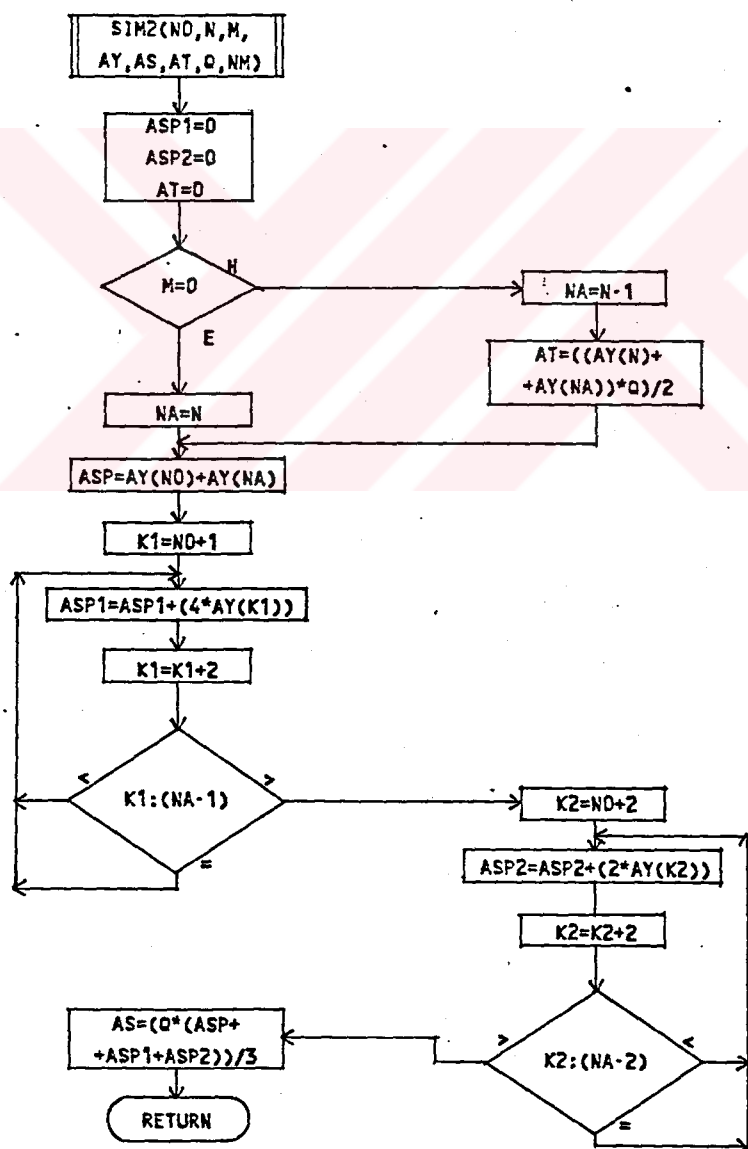
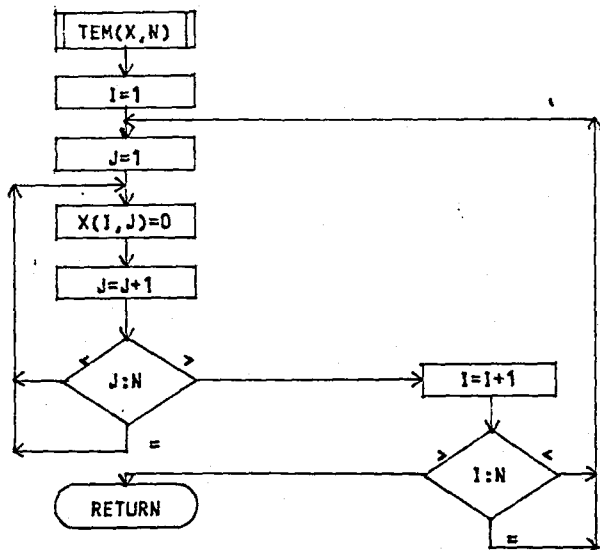
SUB22

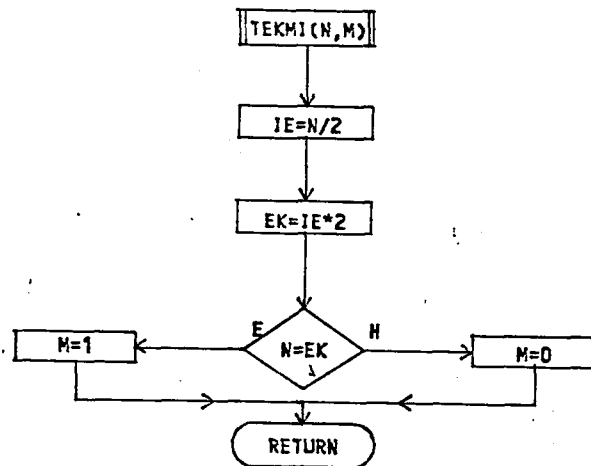
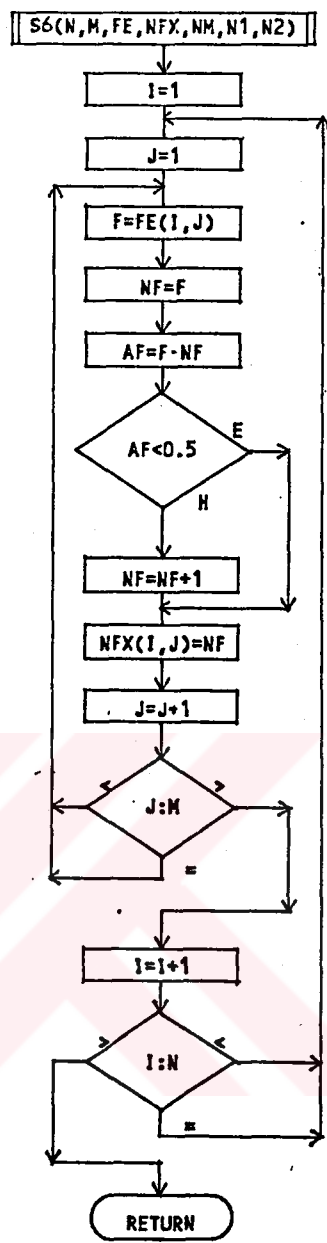
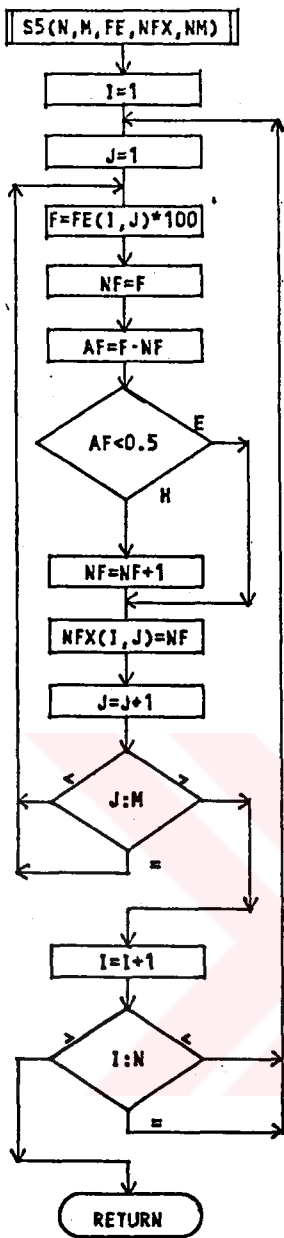


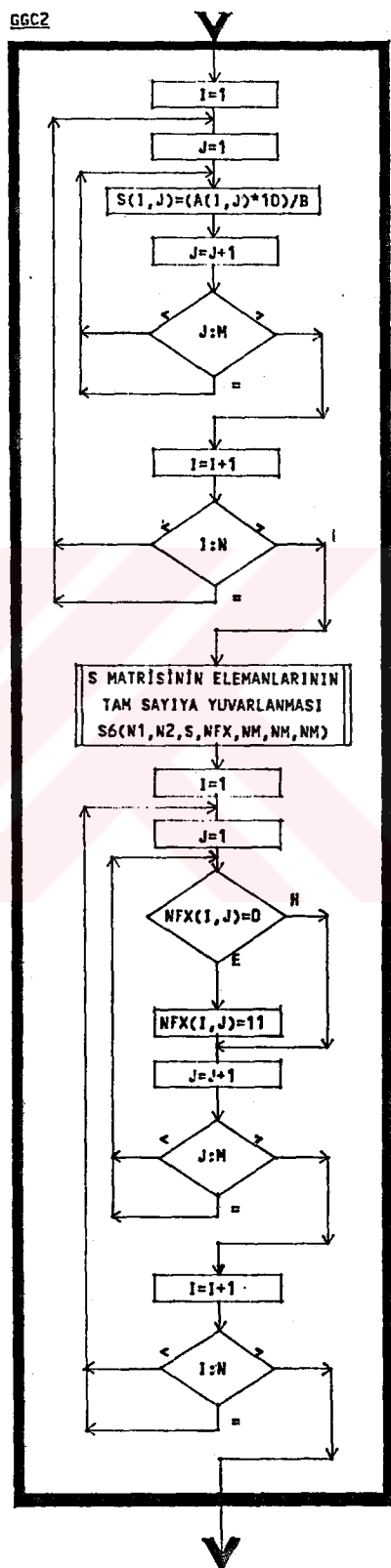
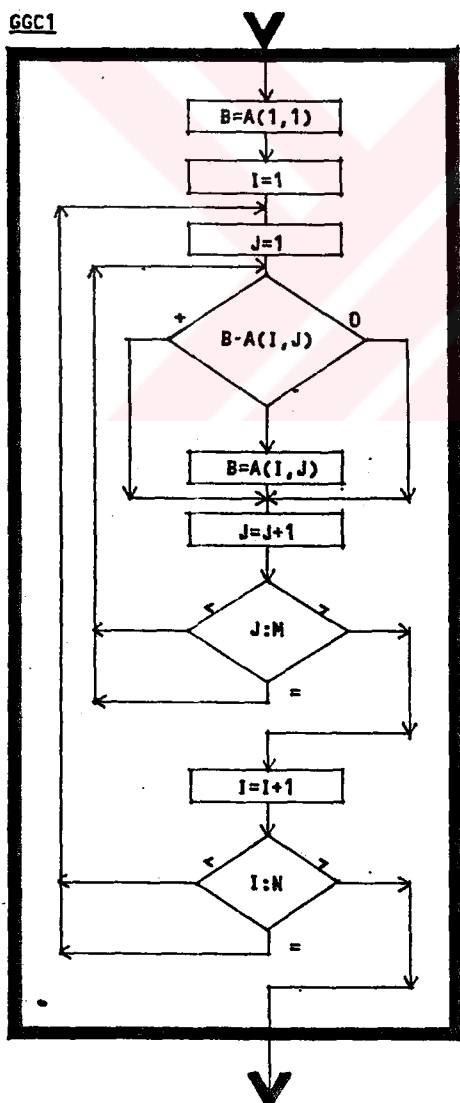
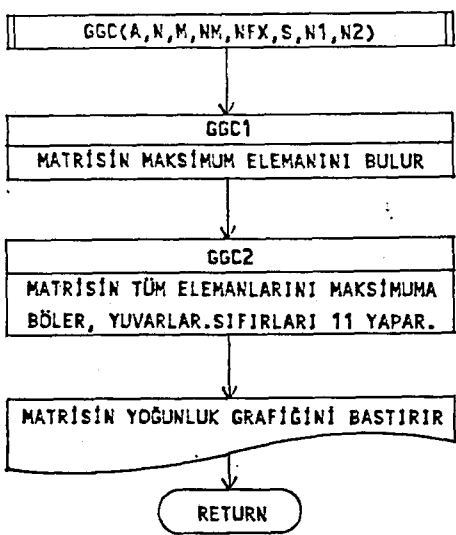












- AEL11 : Oda ile ilgili verilerin girişi
 (Bak. Bölüm 3.3.1.)
- AEL12 : Engele ait verilerin girişi
 (Bak. Bölüm 3.3.1.)
- AEL321 : Pencerenin engelli bölgesi için E/LZ faktörlerinin hesabı
 $FEC(I,J) = FEC(I,J) + (f(U,F,G,AC,PU)/30)$
 (Bak. ELZET programı - 162. ve 163. satır)
- AEL322 : Pencerenin engelsiz bölgesi için E/LZ faktörlerinin hesabı
 $FEC(I,J) = FEC(I,J) + (f(U,F,G,BC,WQ)/3)$
 (Bak. ELZET programı - 166. satır)
- AEL411 : Engelsiz durum için E/LZ faktörleri hesabı
 $FEC(I,J) = FEC(I,J) + f(U,F,G,AC,BC))$
 (Bak. ELZET programı - 197. satır)
- AEL611 : Çalışma düzlemindeki E/LZ faktörleri değerlerinin yazdırılması
 W5(NFX,NX,NY,ZD,NM)
 (W5 alt programı, odanın planını çizip, çalışma düzleminde bulunan E/LZ faktörlerinin değerlerini, Q tarama aralığı ile, bu çizim içerisinde yerleştirir.)
- AEL612 : A düzlemindeki E/LZ faktörleri değerlerinin yazdırılması
 W5(NFX,NX,NY,ZD,NM)
 (W5 alt programı, odanın planını çizip, zeminde, A düzleminde bulunan E/LZ faktörlerinin değerlerini, Q tarama aralığı ile, bu çizim içerisinde yerleştirir.)
- AEL613 : B düzlemindeki E/LZ faktörleri değerlerinin yazdırılması
 W5B(NFX,NX,NZ,ZD,NM)
 (W5B alt programı, odanın planını çizip, B düzleminde bulunan E/LZ faktörlerinin değerlerini, Q tarama aralığı ile, bu çizim içerisinde yerleştirir.)
- AEL614 : Bl düzlemindeki E/LZ faktörleri değerlerinin yazdırılması
 W5B(NFX,NX,NZ,ZD,NM)
 (W5B alt programı, odanın planını çizip, Bl düzleminde bulunan E/LZ faktörlerinin değerlerini, Q tarama aralığı ile, bu çizim içerisinde yerleştirir.)
- AEL615 : C düzlemindeki E/LZ faktörleri değerlerinin yazdırılması
 W5C(NFX,NY,NZ,ZD,NM)
 (W5C alt programı, odanın planını çizip, C düzleminde bulunan E/LZ faktörlerinin değerlerini, Q tarama aralığı ile, bu çizim içerisinde yerleştirir.)
- AEL621 : A düzlemindeki E/LZ faktörleri dağılımının yoğunluk grafiğinin hazırlanıp ve bastırılması
 GGA(FEA,NX,NY,NM,NFX,BUF,NX,NY)
 (GGA alt programı, prensipte bu ekte akış diyagramı verilen GGC alt programı gibi işler.)
- AEL622 : Çalışma düzlemindeki E/LZ faktörleri dağılımının yoğunluk grafiğinin hazırlanıp ve bastırılması
 GGA(FEWP,NX,NY,NM,NFX,BUF,NX,NY)
 (Bak. AEL621)

- AEL623 : B düzlemindeki E/LZ faktörleri dağılımının yoğunluk grafiğinin hazırlanıp ve bastırılması
GGB(FEB,NX,NZ,NM,NFX,BUF,NX,NZ)
(GGB alt programı da, prensipte bu ekte akış diyagramı verilen GGC alt programı gibi işler.)
- AEL624 : B1 düzlemindeki E/LZ faktörleri dağılımının yoğunluk grafiğinin hazırlanıp ve bastırılması
GGB(FEB1,NX,NZ,NM,NFX,BUF,NX,NZ)
(Bak. AEL623)
- AEL821 : Çalışma düzlemindeki E/LZ faktörlerinin yazdırılması
W5(NFX,NX,NY,ZD,NM)
(Bak. AEL611)
- AEL822 : A düzlemindeki E/LZ faktörlerinin yazdırılması
W5(NFX,NX,NY,ZD,NM)
(Bak. AEL612)
- AEL831 : Çalışma düzlemindeki E/LZ faktörleri dağılımının yoğunluk grafiğinin hazırlanıp ve bastırılması
GGA(WPM,NX,NY,NM,NFX,BUF,NM,NM)
(Bak. AEL621)
- AEL832 : A düzlemindeki E/LZ faktörleri dağılımının yoğunluk grafiğinin hazırlanıp ve bastırılması.
GGA(AM,NX,NY,NM,NFX,BUF,NM,NM)
(Bak. AEL621)
- AAL1 : $FEA(IX,IY) = FEA(IX,IY) + (f(F,G,A,B,X)/3)$
(Bak. ALAR alt programı, 9. satır)
- AAL21 : $FX(J) = FX(J) + (f(F,G,A,B,X)/(3.R))$
(Bak. ALAR2 alt programı, 7. satır)
- ABL1 : $FEB(IX,IZ) = FEB(IX,IZ) + (f(X,F,G,BB,AB)/3)$
(Bak. BLER alt programı, 12. satır ve 13. satır)
- ABL21 : $FE(I,J) = FE(I,J) + (f(X,F,G,PU,AB)/30)$
(Bak. BLER2 alt programı, 15. satır)
- ABL22 : $FE(I,J) = FE(I,J) + (f(X,F,G,BB,P)/3)$
(Bak. BLER2 alt programı, 18. satır)

EK G
ELZET PROGRAMININ DÖKÜMÜ

Ana program : ELZET

DIMENSION A(2),B(2),E(2),PAR(20),D(2), D1(2),ZD(20),FEB(20,10) 1,FEB1(20,10),FEC(13,10),FEA(20,13), AM(20,20),WPM(20,20),FEWP(20,13 1),FXY(20,20),XM(20,20),NFX(20,20), BUF(20,20),ZH(20) PI=3.141592654	ELZ0001 ELZ0002 ELZ0003 ELZ0004 ELZ0005 ELZ0006 ELZ0007 ELZ0008 ELZ0009 ELZ0010 ELZ0011 ELZ0012 ELZ0013 ELZ0014 ELZ0015 ELZ0016 ELZ0017 ELZ0018 ELZ0019 ELZ0020 ELZ0021 ELZ0022 ELZ0023 ELZ0024 ELZ0025 ELZ0026 ELZ0027 ELZ0028 ELZ0029 ELZ0030 ELZ0031 ELZ0032 ELZ0033 ELZ0034 ELZ0035 ELZ0036 ELZ0037
C C ODA ILE ILGILI VERILERI OKUR. WRITE(15,1001) READ(15,*) W WRITE(15,1002) READ(15,*) U WRITE(15,1003) READ(15,*) H WRITE(15,1004) READ(15,*) IPEN WRITE(15,1005) READ(15,*) (A(I),I=1,IPEN) WRITE(15,1006) READ(15,*) (B(I),I=1,IPEN) WRITE(15,1007) READ(15,*) (E(I),I=1,IPEN) WRITE(15,1008) READ(15,*) (PAR(I),I=1,IPEN+1) WRITE(15,1009) READ(15,*) ROD,ROT,ROY WRITE(15,1043) READ(15,*) TO WRITE(15,1010) READ(15,*) Q	ELZ0005 ELZ0006 ELZ0007 ELZ0008 ELZ0009 ELZ0010 ELZ0011 ELZ0012 ELZ0013 ELZ0014 ELZ0015 ELZ0016 ELZ0017 ELZ0018 ELZ0019 ELZ0020 ELZ0021 ELZ0022 ELZ0023 ELZ0024 ELZ0025 ELZ0026 ELZ0027 ELZ0028 ELZ0029 ELZ0030 ELZ0031 ELZ0032 ELZ0033 ELZ0034 ELZ0035 ELZ0036 ELZ0037
C C HESAPLAR ICIN GEREKLİ PARAMETRELERİ HAZIRLAR. D(1)=PAR(1) D1(IPEN)=PAR(IPEN+1) IF(IPEN.EQ.1) GOTO 233 DO 10 I=2,IPEN D(I)=D(I-1)+PAR(I)+E(I-1) J=IPEN-I+1 D1(J)=D1(J+1)+PAR(J+1)+E(J+1)	ELZ0031 ELZ0032 ELZ0033 ELZ0034 ELZ0035 ELZ0036 ELZ0037

10	CONTINUE	ELZ0038
233	UQ=U/Q-1.	ELZ0039
	NX=IFIX(UQ)	ELZ0040
	WQ=W/Q-1.	ELZ0041
	NY=IFIX(WQ)	ELZ0042
	HQ=H/Q-1.	ELZ0043
	NZ=IFIX(HQ)	ELZ0044
	NM=MAX0(NX,NY,NZ)	ELZ0045
	CALL TEKMI(NY,MY)	ELZ0046
	CALL TEKMI(NX,MX)	ELZ0047
	CALL TEKMI(NZ,MZ)	ELZ0048
C		ELZ0049
C	ISTENILEN CALISMA DUZLEMI ILE ILGILI VERILERI	
	DUZENLER	ELZ0050
	WRITE(15,1011)	ELZ0051
	READ(15,*) D6	ELZ0052
	IF(D6.EQ.0.) GOTO 20	ELZ0053
	DO 30 I=1,NZ	ELZ0054
	ZD(I)=V(I,Q)	ELZ0055
30	CONTINUE	ELZ0056
70	WRITE(15,1012)	ELZ0057
	WRITE(15,1013) (ZD(I),I=1,NZ)	ELZ0058
	READ(15,*) ZL	ELZ0059
	DO 40 I=1,IPEN	ELZ0060
	IF(ZL.GE.B(I)) GOTO 50	ELZ0061
40	CONTINUE	ELZ0062
	GOTO 20	ELZ0063
50	WRITE(15,1014)	ELZ0064
	GOTO 70	ELZ0065
C	MATRISLERIN TUMUNU SIFIRLAR.	ELZ0066
20	DO 80 I=1,NX	ELZ0068
	DO 90 J=1,NZ	ELZ0069
	FEB(I,J)=0.	ELZ0070
	FEB1(I,J)=0.	ELZ0071
	DO 100 K=1,NY	ELZ0072
	FEC(K,J)=0.	ELZ0073
100	CONTINUE	ELZ0074
90	CONTINUE	ELZ0075
	DO 110 J=1,NY	ELZ0076
	FEA(I,J)=0.	ELZ0077
	FEWP(I,J)=0.	ELZ0078
110	CONTINUE	ELZ0079
80	CONTINUE	ELZ0080
C	ENGEL VARSA, ENGELE AIT VERILERI OKUR.	ELZ0081
	WRITE(15,1015)	ELZ0082
	READ(15,*) D8	ELZ0083
	IF(D8.EQ.0.) GOTO 140	ELZ0084
	WRITE(15,1016)	ELZ0085
	READ(15,*) HE	ELZ0086
	WRITE(15,1017)	ELZ0087
	READ(15,*) HZ	ELZ0088
	WRITE(15,1018)	ELZ0089
	READ(15,*) C	ELZ0090
	HA=HE-HZ	ELZ0091
	UQ=C+U	ELZ0092
		ELZ0093

C		ELZ0094
C	HESAPLAR ICIN GEREKLİ PARAMETRELERİ HESAPLAR.	ELZ0095
140	DO 150 IP=1,IPEN	ELZ0096
	G=D(IP)	ELZ0097
	F=G+E(IP)	ELZ0098
	G1=D1(IP)	ELZ0099
	F1=G1+E(IP)	ELZ0100
	IF(D6.EQ.0.) GOTO 160	ELZ0101
	AT=A(IP)-ZL	ELZ0102
	IF(ZL.GE.A(IP)) AT=0.	ELZ0103
	BT=B(IP)-ZL	ELZ0104
160	IF(D8.EQ.0.) GOTO 170	ELZ0105
	IF((HZ+A(IP)).GE.HE) GOTO 170	ELZ0106
C		ELZ0107
C	ENGEL VAR VE PENCERE ALT SEVIYESINDEN YUKSEK	
	IKEN DOLAYSIZ ISIK ALAN	ELZ0108
C	TUM YUZEYLERDE E/LZ FAKTORLERİ DAGILIMLARINI	
	HESAPLAR.	ELZ0109
	WRITE(15,1019) IP	ELZ0110
C		ELZ0111
C	A VE GEREKIYORSA İSTENİLEN CALISMA DUZLEMINDE	
	E/LZ FAKTORLERİ	ELZ0112
C	DAGILIMINI HESAPLAR.	ELZ0113
	DO 180 I=1,NX	ELZ0114
	X=V(I,Q)	ELZ0115
	BE=X*H/(C+X)	ELZ0116
	DO 190 J=1,NY	ELZ0117
	PAR(J)=FEA(I,J)	ELZ0118
	ZD(J)=FEWP(I,J)	ELZ0119
190	CONTINUE	ELZ0120
	IF(D6.EQ.0.) GOTO 200	ELZ0121
	WQ=AT	ELZ0122
	IF(BE.LE.A(IP)) GOTO 201	ELZ0123
	BT1=BE-ZL	ELZ0124
	CALL ALAR2(X,NY,D(IP),E(IP),AT,BT1,Q,ZD,	
	10.)	ELZ0125
	WQ=BT1	ELZ0126
201	CALL ALAR2(X,NY,D(IP),E(IP),WQ,BT,Q,ZD,1.)	ELZ0127
200	WQ=A(IP)	ELZ0128
	IF(BE.LE.A(IP)) GOTO 202	ELZ0129
	CALL ALAR2(X,NY,D(IP),E(IP),A(IP),BE,Q,PAR,	
	10.)	ELZ0130
	WQ=BE	ELZ0131
202	CALL ALAR2(X,NY,D(IP),E(IP),WQ,B(IP),Q,ZD,	
	1.)	ELZ0132
	DO 203 J=1,NY	ELZ0133
	FEA(I,J)=PAR(J)	ELZ0134
	FEWP(I,J)=ZD(J)	ELZ0135
	PAR(J)=0.	ELZ0136
	ZD(J)=0.	ELZ0137
203	CONTINUE	ELZ0138
	180 CONTINUE	ELZ0139
C		ELZ0140
C	B VE B1 DUZLEMLERİNDE E/LZ FAKTORLERİ	
	DAGILIMINI HESAPLAR.	ELZ0141
	BK=B(IP)/Q-1	ELZ0142
	NBK=IFIX(BK)	ELZ0143

	CALL BLER2(NX,NZ,HA,C,A(IP),B(IP),FEB,F,G, Q,NBK)	ELZ0144
	CALL BLER2(NX,NZ,HA,C,A(IP),B(IP),FEB1,F1, G1,Q,NBK)	ELZ0145
C		ELZ0146
C	C DUZLEMINDE E/LZ FAKTORLERİ DAGILIMINI HESAPLAR.	ELZ0147
	DO 204 J=1,NBK	ELZ0148
	Z=V(J,Q)	ELZ0149
	AC=A(IP)-Z	ELZ0150
	IF(Z.GE.A(IP)) AC=0.	ELZ0151
	BC=B(IP)-Z	ELZ0152
	BZ=(HA-Z)*U/UQ	ELZ0153
	PU=BZ	ELZ0154
	IF(BZ.GE.BC) PU=BC	ELZ0155
	DO 205 I=1,NY	ELZ0156
	Y=V(I,Q)	ELZ0157
	G=D(IP)-Y	ELZ0158
	F=G+E(IP)	ELZ0159
	WQ=AC	ELZ0160
	IF(BZ.LE.AC) GOTO 206	ELZ0161
	FEC(I,J)=FEC(I,J)+(PC(U,F,PU)-PC(U,F,AC)- PC(U,G,PU)+PC(U,G,AC))/	ELZ0162
	130.	ELZ0163
	IF(BZ.GE.BC) GOTO 205	ELZ0164
	WQ=BZ	ELZ0165
	206 FEC(I,J)=FEC(I,J)+(PC(U,F,BC)-PC(U,F,WQ)- PC(U,G,BC)+PC(U,G,WQ))/3.	ELZ0166
	205 CONTINUE	ELZ0167
	204 CONTINUE	ELZ0168
	GOTO 150	ELZ0169
C		ELZ0170
C	ENGEL YOK VEYA PENCERE ALT SEVIYESINDEN ALCAK IKEN DOLAYSIZ ISIK ALAN	ELZ0171
C	TUM YUZEYLERDE E/LZ FAKTORLERİ DAGILIMLARINI HESAPLAR.	ELZ0172
	170 WRITE(15,1020) IP	ELZ0173
C		ELZ0174
C	A VE GEREKIYORSA İSTENİLEN CALISMA DUZLEMINDE E/LZ FAKTORLERİ	ELZ0175
C	DAGILIMINI HESAPLAR.	ELZ0176
	IF(D6.EQ.0.) GOTO 207	ELZ0177
	CALL ALAR(NX,NY,D(IP),E(IP),AT,BT,Q,FEWP)	ELZ0178
	207 CALL ALAR(NX,NY,D(IP),E(IP),A(IP),B(IP),Q, FEA)	ELZ0179
C		ELZ0180
C	B VE B1 DUZLEMLERİNDE E/LZ FAKTORLERİ DAGILIMINI HESAPLAR	ELZ0181
	CALL BLER(G,F,A(IP),B(IP),NX,NZ,Q,FEB)	ELZ0182
	CALL BLER(G1,F1,A(IP),B(IP),NX,NZ,Q,FEB1)	ELZ0183
C		ELZ0184
C	C DUZLEMINDE E/LZ FAKTORLERİ DAGILIMINI HESAPLAR.	ELZ0185
	CZ=B(IP)/Q-1.	ELZ0186
	NCZ=IFIX(CZ)	ELZ0187
	DO 208 J=1,NCZ	ELZ0188
	Z=V(J,Q)	ELZ0189

AC=A(IP)-Z	ELZ0190
IF(Z.GE.A(IP)) AC=0.	ELZ0191
BC=B(IP)-Z	ELZ0192
DO 209 I=1,NY	ELZ0193
Y=V(I,0)	ELZ0194
G=D(IP)-Y	ELZ0195
F=G+E(IP)	ELZ0196
FEC(I,J)=FEC(I,J)+(PC(U,F,BC)-PC(U,F,AC)- PC(U,G,BC)+PC(U,G,AC))/3.	ELZ0197
209 CONTINUE	ELZ0198
208 CONTINUE	ELZ0199
150 CONTINUE	ELZ0200
DO 211 I=1,NM	ELZ0201
ZD(I)=V(I,0)	ELZ0202
211 CONTINUE	ELZ0203
C	ELZ0204
C BULUNAN DEGERLERİ PENCERENİN İSİK GECİRGENLİK FAKTORU İLE CARPAR	ELZ0205
DO 403 I=1,NX	ELZ0206
DO 404 J=1,NY	ELZ0207
FEA(I,J)=TO*FEA(I,J)	ELZ0208
IF(D6.EQ.0.) GOTO 404	ELZ0209
FEWP(I,J)=TO*FEWP(I,J)	ELZ0210
404 CONTINUE	ELZ0211
DO 405 L=1,NZ	ELZ0212
FEB(I,L)=TO*FEB(I,L)	ELZ0213
FEB1(I,L)=TO*FEB1(I,L)	ELZ0214
405 CONTINUE	ELZ0215
403 CONTINUE	ELZ0216
DO 406 I=1,NY	ELZ0217
DO 407 J=1,NZ	ELZ0218
FEC(I,J)=TO*FEC(I,J)	ELZ0219
407 CONTINUE	ELZ0220
406 CONTINUE	ELZ0221
C	ELZ0222
C DOLAYSIZ İSİK ALAN DUZLEMLERDEKİ PENCEREDEN KAYNAKLANAN E/LZ FAKTORLERİ	ELZ0223
C DAGILIMLARINI YAZDIRIR	ELZ0224
WRITE(15,1021)	ELZ0225
WRITE(15,1041)	ELZ0226
READ(15,*) D2	ELZ0227
IF(D2.EQ.0.) GOTO 210	ELZ0228
610 IF(D6.EQ.0.) GOTO 212	ELZ0229
C	ELZ0230
C CALISMA DUZLEMINDEKİ, PENCEREDEN KAYNAKLANAN E/LZ FAKTORLERİ	ELZ0231
C DAGILIMINI YAZDIRIR	ELZ0232
WRITE(6,1022)	ELZ0233
CALL S5(NX,NY,FEWP,NFX,NM,NX,NY)	ELZ0234
CALL W5(NFX,NX,NY,ZD,NM)	ELZ0235
C	ELZ0236
C A DUZLEMINDEKİ, PENCEREDEN KAYNAKLANAN E/LZ FAKTORLERİ DAGILIMINI	ELZ0237
C YAZDIRIR	ELZ0238
212 WRITE(6,1027)	ELZ0239
CALL S5(NX,NY,FEA,NFX,NM,NX,NY)	ELZ0240
CALL W5(NFX,NX,NY,ZD,NM)	ELZ0241

C	B DUZLEMINDEKI, PENCEREDEN KAYNAKLANAN E/LZ FAKTORLERİ DAGILIMINI	ELZ0242
C	YAZDIRIR WRITE(6,1028) CALL S5(NX,NZ,FEB,NFX,NM,NX,NZ) CALL W5B(NFX,NX,NZ,ZD,NM)	ELZ0243 ELZ0244 ELZ0245 ELZ0246 ELZ0247 ELZ0248
C	B1 DUZLEMINDEKI, PENCEREDEN KAYNAKLANAN E/LZ FAKTORLERİ DAGILIMINI	ELZ0249
C	YAZDIRIR WRITE(6,1032) CALL S5(NX,NZ,FEB1,NFX,NM,NX,NZ) CALL W5B(NFX,NX,NZ,ZD,NM)	ELZ0250 ELZ0251 ELZ0252 ELZ0253 ELZ0254
C	C DUZLEMINDEKI, PENCEREDEN KAYNAKLANAN E/LZ FAKTORLERİ DAGILIMINI	ELZ0255
C	YAZDIRIR WRITE(6,1033) CALL S5(NY,NZ,FEC,NFX,NM,NY,NZ) CALL W5C(NFX,NY,NZ,ZD,NM)	ELZ0256 ELZ0257 ELZ0258 ELZ0259 ELZ0260
C	DOLAYSIZ ISIK ALAN DUZLEMLERDE, PENCEREDEN KAYNAKLANAN E/LZ FAKTORLERİ	ELZ0261
C	DAGILIMLARININ YOGUNLUK GRAFIKLERINI BASTIRIR. WRITE(15,1051) WRITE(15,1041) READ(15,*) D5 IF(D5.EQ.0.) GOTO 210	ELZ0262 ELZ0263 ELZ0264 ELZ0265 ELZ0266 ELZ0267
C	A DUZLEMINDE, PENCEREDEN KAYNAKLANAN E/LZ FAKTORLERİ DAGILIMININ	ELZ0268
C	YOGUNLUK GRAFIGINI BASTIRIR. WRITE(6,1027) WRITE(6,1052) CALL GGA(FEA,NX,NY,NM,NFX,BUF,NX,NY,ZD,PAR, ELZ0272 IF(D6.EQ.0.) GOTO 416	ELZ0269 ELZ0270 ELZ0271 MY)
C	CALISMA DUZLEMINDE, PENCEREDEN KAYNAKLANAN E/LZ FAKTORLERİ	ELZ0273 ELZ0274
C	DAGILIMININ YOGUNLUK GRAFIGINI BASTIRIR. WRITE(6,1022) WRITE(6,1052) CALL GGA(FEWP,NX,NY,NM,NFX,BUF,NX,NY,ZD, PAR,MY)	ELZ0275 ELZ0276 ELZ0277 ELZ0278 ELZ0279 ELZ0280
C	B DUZLEMINDE, PENCEREDEN KAYNAKLANAN E/LZ FAKTORLERİ DAGILIMININ	ELZ0281
C	YOGUNLUK GRAFIGINI BASTIRIR. 416 WRITE(6,1028) WRITE(6,1052) CALL GGB(FEB,NX,NZ,NM,NFX,BUF,NX,NZ,ZD,PAR, MX)	ELZ0282 ELZ0283 ELZ0284 ELZ0285 ELZ0286
C	B1 DUZLEMINDE, PENCEREDEN KAYNAKLANAN E/LZ FAKTORLERİ DAGILIMININ	ELZ0287

C	YOGUNLUK GRAFIGINI BASTIRIR.	ELZ0288
	WRITE(6,1032)	ELZ0289
	WRITE(6,1052)	ELZ0290
	CALL GGB(FEB1,NX,NZ,NM,NFX,BUF,NX,NZ,ZD, PAR,MX)	ELZ0291
C	C DUZLEMINDE, PENCEREDEN KAYNAKLANAN E/LZ FAKTORLERİ DAGILIMININ	ELZ0292
C	YOGUNLUK GRAFIGINI BASTIRIR.	ELZ0293
	WRITE(6,1033)	ELZ0294
	WRITE(6,1052)	ELZ0295
	CALL GGC(FEC,NY,NZ,NM,NFX,BUF,NY,NZ,ZD,PAR, MY)	ELZ0296
C		ELZ0297
C		ELZ0298
C	IC YANSIMIS BILESENIN HESAPLANMASI	ELZ0299
C		ELZ0300
C	B DUZLEMINE DOGRU OLAN YANSIMALAR	ELZ0301
C	C-B YANSIMA HESAPLAR, BM YE KOYAR.	ELZ0302
	210 KH=NZ	ELZ0303
	KZ=NZ	ELZ0304
	KX=NX	ELZ0305
	KU=NX	ELZ0306
	KY=NY	ELZ0307
	KW=NY	ELZ0308
	MA=NM	ELZ0309
	MB=NM	ELZ0310
	CALL TEM(XM,NM)	ELZ0311
	CALL TEM(FXY,NM)	ELZ0312
	CALL TEM(WPM,NM)	ELZ0313
	CALL TEM(AM,NM)	ELZ0314
	CALL SUB1(1,NX,1,NZ,1,KZ,1,NY,MZ,MY,1.,1., U,O.,O.,FEC,Q,ROD,FXY,NM 1,KY,KH,ZH,PAR,BUF)	ELZ0315
	CALL SUB3(XM,FXY,NX,NZ,NM,MA,MB,O.)	ELZ0316
C	A-B YANSIMA HESAPLAR, BM YE KOYAR.	ELZ0317
	CALL SUB1(1,NZ,1,NX,1,KX,1,NY,MX,MY,O.,O., O.,O.,O.,FEA,Q,ROY,FXY, 1NM,KU,KY,ZH,PAR,BUF)	ELZ0318
	CALL SUB3(XM,FXY,NX,NZ,NM,MA,MB,O.)	ELZ0319
C	B1-B YANSIMA HESAPLAR, BM YE KOYAR.	ELZ0320
	CALL SUB2(NZ,NX,MZ,MX,W,FEB1,Q,ROD,FXY,KX, KZ,NM,ZH,PAR,BUF)	ELZ0321
	CALL SUB3(XM,FXY,NX,NZ,NM,MA,MB,O.)	ELZ0322
C	BM YE B(DOLAYSIZ) I EKLER.	ELZ0323
	CALL SUB3(XM,FEB,NX,NZ,NM,KX,KZ,1.) IF(D6.EQ.O.) GOTO 218	ELZ0324
C	B-WP YANSIMA HESAPLAR, WPM YE KOYAR.	ELZ0325
	HQ=ZL/Q	ELZ0326
	LN=IFIX(HQ)	ELZ0327
	L=LN+1	ELZ0328
	LN=NZ-L+1	ELZ0329
	CALL TEKMI(LN,LZ)	ELZ0330
	CALL SUB1(1,NY,1,NX,1,KX,L,NZ,MX,LZ,O.,O., O.,O.,ZL,XM,Q,ROD,FXY, 1NM,MA,MB,ZH,PAR,BUF)	ELZ0331
	CALL SUB3(WPM,FXY,NX,NY,NM,MA,MB,O.)	ELZ0332
		ELZ0333
		ELZ0334
		ELZ0335
		ELZ0336
		ELZ0337

C	B-A YANSIMA HESAPLAR, AM YE KOYAR.	ELZ0338
	218 CALL SUB1(1,NY,1,NX,1,KX,1,NZ,MX,MZ,0.,0., 0.,0.,0.,XM,Q,ROD,FXY, 1NM,MA,MB,ZH,PAR,BUF) CALL SUB3(AM,FXY,NX,NY,NM,MA,MB,0.)	ELZ0339 ELZ0340 ELZ0341
C	C DUZLEMINE DOGRU OLAN YANSIMALAR	ELZ0342
C	B-C YANSIMA HESAPLAR, CM YE KOYAR.	ELZ0343 ELZ0344 ELZ0345
	CALL TEM(XM,NM) CALL SUB1(1,NY,1,NZ,1,KZ,1,NX,MZ,MX,1.,1., 0.,U,O.,FEB,Q,ROD,FXY,NM 1,KX,KH,ZH,PAR,BUF) CALL SUB3(XM,FXY,NY,NZ,NM,MA,MB,0.)	ELZ0346 ELZ0347 ELZ0348
C	B1-C YANSIMA HESAPLAR, CM YE KOYAR.	ELZ0349
	CALL SUB1(1,NY,1,NZ,1,KZ,1,NX,MZ,MX,1.,1., W,U,O.,FEB1,Q,ROD,FXY,NM 1,KX,KH,ZH,PAR,BUF) CALL SUB3(XM,FXY,NY,NZ,NM,MA,MB,0.)	ELZ0350 ELZ0351 ELZ0352
C	A-C YANSIMA HESAPLAR, CM YE KOYAR.	ELZ0353
	CALL SUB1(1,NZ,1,NY,1,KY,1,NX,MY,MX,1.,0., 0.,U,O.,FEA,Q,ROY,FXY,NM 1,KX,KW,ZH,PAR,BUF) CALL SUB3(XM,FXY,NY,NZ,NM,MA,MB,0.)	ELZ0354 ELZ0355 ELZ0356
C	CM YE C(DOLAYSIZ) I EKLER.	ELZ0357
	CALL SUB3(XM,FEC,NY,NZ,NM,KY,KZ,1.) IF(D6.EQ.0.) GOTO 219	ELZ0358 ELZ0359
C	C-WP YANSIMA HESAPLAR, WPM YE KOYAR.	ELZ0360
	CALL SUB1(1,NX,1,NY,1,KY,L,NZ,MY,LZ,0.,1., U,O.,ZL,XM,Q,ROD,FXY,NM 1,MA,MB,ZH,PAR,BUF) CALL SUB3(WPM,FXY,NX,NY,NM,MA,MB,0.)	ELZ0361 ELZ0362 ELZ0363
C	C-A YANSIMA HESAPLAR, AM YE KOYAR.	ELZ0364
	CALL SUB1(1,NX,1,NY,1,KY,1,NZ,MY,MZ,0.,1., U,O.,O.,XM,Q,ROD,FXY,NM 1,MA,MB,ZH,PAR,BUF) CALL SUB3(AM,FXY,NX,NY,NM,MA,MB,0.)	ELZ0365 ELZ0366 ELZ0367
C	B1 DUZLEMINE DOGRU OLAN YANSIMALAR	ELZ0368
C	C-B1 YANSIMA HESAPLAR, B1M YE KOYAR.	ELZ0369 ELZ0370 ELZ0371
	CALL TEM(XM,NM) CALL SUB1(1,NX,1,NZ,1,KZ,1,NY,MZ,MY,1.,1., U,W,O.,FEC,Q,ROD,FXY,NM, 1KY,KH,ZH,PAR,BUF) CALL SUB3(XM,FXY,NX,NZ,NM,MA,MB,0.)	ELZ0372 ELZ0373 ELZ0374
C	A-B1 YANSIMA HESAPLAR, B1M YE KOYAR.	ELZ0375
	CALL SUB1(1,NZ,1,NX,1,KX,1,NY,MX,MY,0.,0., 0.,W,O.,FEA,Q,ROY,FXY,NM 1,KU,KY,ZH,PAR,BUF) CALL SUB3(XM,FXY,NX,NZ,NM,MA,MB,0.)	ELZ0376 ELZ0377 ELZ0378
C	B-B1 YANSIMA HESAPLAR, B1M YE KOYAR.	ELZ0379
	CALL SUB2(NZ,NX,MZ,MX,W,FEB,Q,ROD,FXY,KX, KZ,NM,ZH,PAR,BUF) CALL SUB3(XM,FXY,NX,NZ,NM,MA,MB,0.)	ELZ0380 ELZ0381
C	B1M YE B1(DOLAYSIZ) I EKLER.	ELZ0382
	CALL SUB3(XM,FEB1,NX,NZ,NM,KX,KZ,1.) IF(D6.EQ.0.) GOTO 220	ELZ0383 ELZ0384
C	B1-WP YANSIMA HESAPLAR, WPM YE KOYAR.	ELZ0385

	CALL SUB1(1,NY,1,NX,1,KX,L,NZ,MX,LZ,0.,0., W,0.,ZL,XM,Q,ROD,FXY, 1NM,MA,MB,ZH,PAR,BUF)	ELZ0386 ELZ0387
	CALL SUB3(WPM,FXY,NX,NY,NM,MA,MB,0.)	ELZ0388
C	B1-A YANSIMA HESAPLAR, AM YE KOYAR.	ELZ0389
	220 CALL SUB1(1,NY,1,NX,1,KX,1,NZ,MX,MZ,0.,0., W,0.,0.,XM,Q,ROD,FXY, 1NM,MA,MB,ZH,PAR,BUF)	ELZ0390 ELZ0391
	CALL SUB3(AM,FXY,NX,NY,NM,MA,MB,0.)	ELZ0392
C		ELZ0393
C	A1 DUZLEMINE DOGRU OLAN YANSIMALAR	ELZ0394
C	B-A1 YANSIMA HESAPLAR, A1M YE KOYAR. CALL TEM(XM,NM)	ELZ0395 ELZ0396
	CALL SUB1(1,NY,1,NX,1,KX,1,NZ,MX,MZ,0.,0., 0.,H,0.,FEB,Q,ROD,FXY, 1NM,KU,KZ,ZH,PAR,BUF)	ELZ0397 ELZ0398
	CALL SUB3(XM,FXY,NX,NY,NM,MA,MB,0.)	ELZ0399
C	C-A1 YANSIMA HESAPLAR, A1M YE KOYAR. CALL SUB1(1,NX,1,NY,1,KY,1,NZ,MY,MZ,0.,1., U,H,0.,FEC,Q,ROD,FXY,NM, 1KW,KZ,ZH,PAR,BUF)	ELZ0400 ELZ0401 ELZ0402
	CALL SUB3(XM,FXY,NX,NY,NM,MA,MB,0.)	ELZ0403
C	B1-A1 YANSIMA HESAPLAR, A1M YE KOYAR. CALL SUB1(1,NY,1,NX,1,KX,1,NZ,MX,MZ,0.,0., W,H,0.,FEB1,Q,ROD,FXY, 1NM,KU,KZ,ZH,PAR,BUF)	ELZ0404 ELZ0405 ELZ0406
	CALL SUB3(XM,FXY,NX,NY,NM,MA,MB,0.)	ELZ0407
C	A-A1 YANSIMA HESAPLAR, A1M YE KOYAR. CALL SUB2(NY,NX,MY,MX,H,FEA,Q,ROY,FXY,KX, KY,NM,ZH,PAR,BUF)	ELZ0408 ELZ0409
	CALL SUB3(XM,FXY,NX,NY,NM,MA,MB,0.)	ELZ0410
	IF(D6.EQ.0.) GOTO 221	ELZ0411
C	A1-WP YANSIMA HESAPLAR, WPM YE KOYAR. HL=H-ZL	ELZ0412 ELZ0413
	CALL SUB2(NY,NX,MY,MX,HL,XM,Q,ROT,FXY,NM, MA,MB,ZH,PAR,BUF)	ELZ0414
	CALL SUB3(WPM,FXY,NX,NY,NM,MA,MB,0.)	ELZ0415
C	A1-A YANSIMA HESAPLAR, AM YE KOYAR.	ELZ0416
	221 CALL SUB2(NY,NX,MY,MX,H,XM,Q,ROT,FXY,NM, MA,MB,ZH,PAR,BUF)	ELZ0417
	CALL SUB3(AM,FXY,NX,NY,NM,MA,MB,0.)	ELZ0418
C		ELZ0419
C	C1 DUZLEMINE DOGRU OLAN YANSIMALAR	ELZ0420
C	B-C1 YANSIMA HESAPLAR, C1M YE KOYAR. CALL TEM(XM,NM)	ELZ0421 ELZ0422
	CALL SUB1(1,NY,1,NZ,1,KZ,1,NX,MZ,MX,1.,1., 0.,0.,0.,FEB,Q,ROD,FXY, 1NM,KX,KH,ZH,PAR,BUF)	ELZ0423 ELZ0424
	CALL SUB3(XM,FXY,NY,NZ,NM,MA,MB,0.)	ELZ0425
C	B1-C1 YANSIMA HESAPLAR, C1M YE KOYAR. CALL SUB1(1,NY,1,NZ,1,KZ,1,NX,MZ,MX,1.,1., W,0.,0.,FEB1,Q,ROD,FXY, 1NM,KX,KH,ZH,PAR,BUF)	ELZ0426 ELZ0427 ELZ0428
	CALL SUB3(XM,FXY,NY,NZ,NM,MA,MB,0.)	ELZ0429
C	A-C1 YANSIMA HESAPLAR, C1M YE KOYAR. CALL SUB1(1,NZ,1,NY,1,KY,1,NX,MY,MX,1.,0., 0.,0.,0.,FEA,Q,ROY,FXY,	ELZ0430 ELZ0431

	1NM,KX,KW,ZH,PAR,BUF)	ELZ0432
	CALL SUB3(XM,FXY,NY,NZ,NM,MA,MB,0.)	ELZ0433
C	C-C1 YANSIMA HESAPLAR, C1M YE KOYAR.	ELZ0434
	CALL SUB2(NZ,NY,MZ,MY,U,FEC,Q,ROD,FXY,KY, KZ,NM,ZH,PAR,BUF)	ELZ0435
	CALL SUB3(XM,FXY,NY,NZ,NM,MA,MB,0.)	ELZ0436
	IF(D6.EQ.0.) GOTO 222	ELZ0437
C	C1-WP YANSIMA HESAPLAR, WPM YE KOYAR.	ELZ0438
	CALL SUB1(1,NX,1,NY,1,KY,L,NZ,MY,LZ,0.,1., 0.,0.,ZL,XM,Q,ROD,FXY,NM 1,MA,MB,ZH,PAR,BUF)	ELZ0439
	CALL SUB3(WPM,FXY,NX,NY,NM,MA,MB,0.)	ELZ0440
C	C1 UZERINDEKI PENCERELEERIN BULUNDUKLARI YERLERDEN WP YE YANSIMA	ELZ0441
C	HESAPLAR, WPM DEN CIKARIR.	ELZ0442
	DO 223 I=1,IPEN	ELZ0443
	CALL SUB4(D6,A(I),B(I),D(I),E(I),ZL,NAQ, NBQ,NDQ,NEQ,MEQ,MBQ,Q)	ELZ0444
	CALL SUB1(1,NX,1,NY,NDQ,NEQ,NAQ,NBQ,MEQ, MBQ,0.,1.,0.,0.,ZL,XM,Q, 1ROD,FXY,NM,MA,MB,ZH,PAR,BUF)	ELZ0445
	DO 224 J=1,NX	ELZ0446
	DO 225 K=1,NY	ELZ0447
	WPM(J,K)=WPM(J,K)-FXY(J,K)	ELZ0448
	FXY(J,K)=0.	ELZ0449
225	CONTINUE	ELZ0450
224	CONTINUE	ELZ0451
223	CONTINUE	ELZ0452
C	WPM YE WP(DOLAYSIZ) I EKLER.	ELZ0453
	CALL SUB3(WPM,FEWP,NX,NY,NM,KU,KW,1.)	ELZ0454
C	C1-A YANSIMA HESAPLAR, AM YE KOYAR.	ELZ0455
222	CALL SUB1(1,NX,1,NY,1,KY,1,NZ,MY,MZ,0.,1., 0.,0.,0.,XM,Q,ROD,FXY, 1NM,MA,MB,ZH,PAR,BUF)	ELZ0456
	CALL SUB3(AM,FXY,NX,NY,NM,MA,MB,0.)	ELZ0457
C	C1 UZERINDEKI PENCERELEERIN BULUNDUKLARI YERLERDEN A YA YANSIMA	ELZ0458
C	HESAPLAR, AM DEN CIKARIR.	ELZ0459
	DO 226 I=1,IPEN	ELZ0460
	CALL SUB4(D6,A(I),B(I),D(I),E(I),ZL,NAQ, NBQ,NDQ,NEQ,MEQ,MBQ,Q)	ELZ0461
	CALL SUB1(1,NX,1,NY,NDQ,NEQ,NAQ,NBQ,MEQ, MBQ,0.,1.,0.,0.,0.,XM,Q, 1ROD,FXY,NM,MA,MB,ZH,PAR,BUF)	ELZ0462
	DO 227 J=1,NX	ELZ0463
	DO 228 K=1,NY	ELZ0464
	AM(J,K)=AM(J,K)-FXY(J,K)	ELZ0465
	FXY(J,K)=0.	ELZ0466
228	CONTINUE	ELZ0467
227	CONTINUE	ELZ0468
226	CONTINUE	ELZ0469
C	AM YE A(DOLAYSIZ) I EKLER.	ELZ0470
	CALL SUB3(AM,FEA,NX,NY,NM,KU,KW,1.)	ELZ0471
C	PENCEREDEN GELEN ISIK VE IC YANSIMALARDAN OLUSAN E/LZ DAGILIMLARINI	ELZ0472
C	YAZDIRIR.	ELZ0473
		ELZ0474
		ELZ0475
		ELZ0476
C	PENCEREDEN GELEN ISIK VE IC YANSIMALARDAN OLUSAN E/LZ DAGILIMLARINI	ELZ0477
C	YAZDIRIR.	ELZ0478

DO 232 I=1,NM	ELZ0479
ZD(I)=V(I,Q)	ELZ0480
232 CONTINUE	ELZ0481
C	ELZ0482
C EDEG PROGRAMINA VERI HAZIRLAR.	ELZ0483
WRITE(15,1038)	ELZ0484
READ(15,*) D4	ELZ0485
IF(D4.EQ.0.) GOTO 400	ELZ0486
WRITE(6,2001) NX,NY,NM,D6	ELZ0487
WRITE(6,2002) (ZD(I),I=1,NM)	ELZ0488
IF(D6.EQ.0.) GOTO 402	ELZ0489
WRITE(6,2003) ZL	ELZ0490
WRITE(6,2004) ((WPM(I,J),J=1,NY),I=1,NX)	ELZ0491
GOTO 400	ELZ0492
402 WRITE(6,2004) ((AM(I,J),J=1,NY),I=1,NX)	ELZ0493
400 IF(D6.EQ.0.) GOTO 229	ELZ0494
C	ELZ0495
C CALISMA DUZLEMINDEKI, PENCEREDEN VE IC	
YANSIMALARDAN KAYNAKLANAN E/LZ	ELZ0496
C FAKTORLERİ DAGILIMINI YAZDIRIR	ELZ0497
WRITE(6,1035)	ELZ0498
CALL S5(NX,NY,WPM,NFX,NM,NM,NM)	ELZ0499
CALL W5(NFX,NX,NY,ZD,NM)	ELZ0500
WRITE(15,1036)	ELZ0501
WRITE(15,1041)	ELZ0502
READ(15,*) D3	ELZ0503
IF(D3.EQ.0.) GOTO 401	ELZ0504
C	ELZ0505
C A DUZLEMINDEKİ, PENCEREDEN VE IC YANSIMALARDAN	
KAYNAKLANAN E/LZ	ELZ0506
C FAKTORLERİ DAGILIMINI YAZDIRIR	ELZ0507
229 WRITE(6,1037)	ELZ0508
CALL S5(NX,NY,AM,NFX,NM,NM,NM)	ELZ0509
CALL W5(NFX,NX,NY,ZD,NM)	ELZ0510
C	ELZ0511
C CALISMA DUZLEMINDE, PENCEREDEN VE IC	
YANSIMALARDAN KAYNAKLANAN	ELZ0512
E/LZ FAKTORLERİ DAGILIMININ YOGUNLUK GRAFIGINI	
BASTIRIR.	ELZ0513
WRITE(15,1039)	ELZ0514
WRITE(15,1041)	ELZ0515
READ(15,*) D9	ELZ0516
IF(D9.EQ.0.) GOTO 1000	ELZ0517
IF(D6.EQ.0.) GOTO 408	ELZ0518
WRITE(6,1035)	ELZ0519
WRITE(6,1052)	ELZ0520
CALL GGA(WPM,NX,NY,NM,NFX,BUF,NM,NM,ZD,PAR,	
MY)	ELZ0521
WRITE(15,1040)	ELZ0522
READ(15,*) D3	ELZ0523
IF(D3.EQ.0.) GOTO 1000	ELZ0524
C	ELZ0525
C A DUZLEMINDE, PENCEREDEN VE IC YANSIMALARDAN	
KAYNAKLANAN E/LZ	ELZ0526
C FAKTORLERİ DAGILIMININ YOGUNLUK GRAFIGINI	
BASTIRIR.	ELZ0527
WRITE(6,1037)	ELZ0528

WRITE(6,1052)	ELZ0529
CALL GGA(AM,NX,NY,NM,NFX,BUF,NM,NM,ZD,PAR, MY)	ELZ0530
GOTO 1000	ELZ0531
C	ELZ0532
C	ELZ0533
C	ELZ0534
1001 FORMAT(1X,"ODANIN GENISLIGINI (W) YAZINIZ.")	ELZ0535
1002 FORMAT(1X,"ODANIN DERINLIGINI (U) YAZINIZ.")	ELZ0536
1003 FORMAT(1X,"ODANIN YUKSEKLIGINI (H) YAZINIZ.")	ELZ0537
1004 FORMAT(1X,"ODADAKI PENCERE SAYISINI YAZINIZ.")	ELZ0538
1005 FORMAT(" SEMA 1 E GORE, 1. PENCERE ORIJINE EN YAKIN PENCERE OLMAK 1UZERE:",//,8X,"PENCERE ALT KENAR YUKSEKLIKLERINI (A) SIRA ILE YAZI 1NIZ.")	ELZ0539
1006 FORMAT(8X,"PENCERE UST KENAR YUKSEKLIKLERINI (B) SIRA ILE YAZINIZ. 1")	ELZ0540
1007 FORMAT(8X,"PENCERE GENISLIKLERINI (E) SIRA ILE YAZINIZ.")	ELZ0541
1008 FORMAT(8X,"DUVAR-PENCERE, PENCERE-PENCERE, PENCERE-DUVAR ARALIKLAR 1INI (PAR)",/,8X,"SIRA ILE YAZINIZ.")	ELZ0542
1009 FORMAT(1X,"SIRASIyla: DUVAR TAVAN VE ZEMIN ISIK YANSITMA FAKTORLE 1RINI YAZINIZ.")	ELZ0543
1010 FORMAT(1X,"MINIMUM 0.25 M OLMAK UZERE, TARAMA ARALIGINI (Q) SECINI 1Z.")	ELZ0544
1011 FORMAT(1X,"E/LZ FAKTORLERİ DAGILIMINI ODA ZEMIN KODUNDA ISTIYORSAN 1IZ: 0,"/,," FARKLI BIR KODDA ISTIYORSANIZ: 1 YAZINIZ.")	ELZ0545
1012 FORMAT(1X,"ASAGIDAKI YUKSEKLIKLERIN BIRINI CALISMA DUZLEMI YUKSEKL 1IGI OLARAK SECINIZ.")	ELZ0546
1013 FORMAT(1X,7F10.4)	ELZ0547
1014 FORMAT(1X,"CALISMA DUZLEMI PENCERENIN UZERINDE KALIYOR. YENI BIR 1CALISMA DUZLEMI SECINIZ.")	ELZ0548
1015 FORMAT(1X,"BINANIN KARSISINDA PENCERE TARAFINDA ENGEL VAR MI?", 1/,1X,"VARSA: 1, YOKSA: 0 YAZINIZ.")	ELZ0549
1016 FORMAT(" SEMA 2 YE GORE:",/,10X,"ENGEL YUKSEKLIGINI (HE) YAZINIZ." 1)	ELZ0550
1017 FORMAT(10X,"ODA ZEMIN KODUNU (HZ) YAZINIZ.")	ELZ0551
1018 FORMAT(10X,"ENGEL VE BINA ARASINDAKI UZAKLIGI (C) YAZINIZ.")	ELZ0552
1019 FORMAT(1X,1I2,"INCI PENCEREDE ENGEL VAR.")	ELZ0553
1020 FORMAT(1X,1I2,"INCI PENCEREDE ENGEL YOK.")	ELZ0554
	ELZ0555
	ELZ0556
	ELZ0557
	ELZ0558
	ELZ0559
	ELZ0560
	ELZ0561
	ELZ0562
	ELZ0563
	ELZ0564
	ELZ0565

1021	FORMAT(" DOLAYSIZ ISIK ALAN DUZLEMLERDEKI, PENCEREDEN KAYNAKLANAN")	ELZ0566
1	,/,1X,"E/LZ FAKTORLERİ DAGILIMLARINI GORMEK ISTIYOR MUSUNUZ?",/,	ELZ0567
1"	ISTIYORSANIZ: 1, ISTEMIYORSANIZ: 0 YAZINIZ.")	ELZ0568
1022	FORMAT(1H1,1X,"-CALISMA DUZLEMINDE PENCEREDEN KAYNAKLANAN E/LZ FAK TORLERİ DAGILIMI:")	ELZ0569 ELZ0570
1027	FORMAT(1H1,1X,"-A DUZLEMINDE, PENCEREDEN KAYNAKLANAN E/LZ FAKTORLE IRI DAGILIMI:")	ELZ0571 ELZ0572
1028	FORMAT(1H1,1X,"-B DUZLEMINDE, PENCEREDEN KAYNAKLANAN E/LZ FAKTORLE IRI DAGILIMI:")	ELZ0573 ELZ0574
1032	FORMAT(1H1,1X,"-B1 DUZLEMINDE, PENCEREDEN KAYNAKLANAN E/LZ FAKTORL ERI DAGILIMI:")	ELZ0575 ELZ0576
1033	FORMAT(1H1,1X,"-C DUZLEMINDE, PENCEREDEN KAYNAKLANAN E/LZ FAKTORLE IRI DAGILIMI:")	ELZ0577 ELZ0578
1035	FORMAT(1H1,1X,"-CALISMA DUZLEMINDE, PENCEREDEN VE IC YANSIMALARDAN KAYNAKLANAN",/,1X,"E/LZ FAKTORLERİ DAGILIMI:")	ELZ0579 ELZ0580
1036	FORMAT(1X,"A DUZLEMINDEKI, PENCEREDEN VE IC YANSIMALARDAN KAYNAKA NAN E/LZ FAKTORLERİ",/,1X," DAGILIMINI DA GORMEK ISTIYOR MUSUNUZ?", 1/,1X,"ISTIYORSANIZ: 1, ISTEMIYORSANIZ: 0 YAZINIZ.")	ELZ0581 ELZ0582 ELZ0583
1037	FORMAT(1H1,1X,"-A DUZLEMINDE, PENCEREDEN VE IC YANSIMALARDAN KAYNA KLANAN",/,1X,"E/LZ FAKTORLERİ DAGILIMI:")	ELZ0584 ELZ0585
1038	FORMAT(" PROGRAMI KULLANMA AMACINIZ EDEG PROGRAMINA VERI SAGLAMAKS 1A: 1,",/, " SADECE E/LZ FAKTORLERINI ELDE ETMEKSE: 0 YAZINIZ.")	ELZ0586 ELZ0587
1039	FORMAT(" PENCEREDEN VE IC YANSIMALARDAN KAYNAKLANAN",/, " E/LZ FAKT ORLERİ DAGILIMININ YOGUNLUK GRAFIKLERINI GORMEK ISTIYOR MUSUNUZ?", 1/,1X,"ISTIYORSANIZ: 1, ISTEMIYORSANIZ: 0 YAZINIZ.")	ELZ0588 ELZ0589 ELZ0590
1040	FORMAT(" A DUZLEMINDEKI, PENCEREDEN VE IC YANSIMALARDAN KAYNALANA IN E/LZ FAKTORLERİ",/, " YOGUNLUK GRAFIGINI DE GORMEK ISTIYOR MUSUNU 1Z?",/, " ISTIYORSANIZ: 1, ISTEMIYORSANIZ: 0 YAZINIZ.")	ELZ0591 ELZ0592 ELZ0593
1041	FORMAT(" NOT: PROGRAMI KULLANMA AMACINIZ, EDEG PROGRAMINA VERI SAG 1LAMAKSA,",/, " O SECΜENIZ SIZE KOLAYLIK SAGLAYACAKTIR.")	ELZ0594 ELZ0595
1043	FORMAT(" PENCERE CAMLARININ ISIK GECIRME KATSAYISINI YAZINIZ.")	ELZ0596

1051	FORMAT(" DOLAYSIZ ISIK ALAN DUZLEMLERDEKI, PENCEREDEN KAYNAKLANAN")	ELZ0597
1,/,1X,"E/LZ FAKTORLERİ DAGILIMLARININ YOGUNLUK GRAFIKLERINI GORMEK")	ELZ0598	
1ISTIYOR MUSUNUZ?",/," ISTIYORSANIZ: 1, ISTEMIYORSANIZ: 0 YAZINIZ.")	ELZ0599	
1052	FORMAT(" YOGUNLUK GRAFIGI:")	ELZ0600
2001	FORMAT(3I10,1F10.0)	ELZ0601
2002	FORMAT(8F10.3)	ELZ0602
2003	FORMAT(1F10.4)	ELZ0603
2004	FORMAT(10F12.8)	ELZ0604
1000	STOP	ELZ0605
	END	ELZ0606
C	FUNCTION V(M,Q) V1=FLOAT(M) V=V1*Q RETURN END	ELZ0607 ELZ0608 ELZ0609 ELZ0610 ELZ0611 ELZ0612 ELZ0613
C	FUNCTION PC(X,Y,Z) YF1=SQRT(X*X+Z*Z) YF2=SQRT(X*X+Y*Y) YF3=SQRT(YF2*YF2+Z*Z) PC=(ATAN(Y/YF1)*Z/YF1+ATAN(Z/YF2)*Y/YF2)/2. -(X*X*Y/(YF1*YF1*YF3))* 12./3. RETURN END	ELZ0614 ELZ0615 ELZ0616 ELZ0617 ELZ0618 ELZ0619 ELZ0620 ELZ0621
<u>Alt program : ALAR</u>		
	SUBROUTINE ALAR(NX,NY,D,E,A,B,Q,FEA)	ALA0001
	DIMENSION FEA(NX,NY)	ALA0002
	DO 10 IY=1,NY	ALA0003
	Y=U(IY,Q)	ALA0004
	G=D-Y	ALA0005
	F=G+E	ALA0006
	DO 20 IX=1,NX	ALA0007
	X=U(IX,Q)	ALA0008
	FEA(IX,IY)=FEA(IX,IY)+(PA(F,B,X)-PA(F,A,X)- PA(G,B,X)+PA(G,A,X))/3.	ALA0009
20	CONTINUE	ALA0010
10	CONTINUE	ALA0011
	RETURN	ALA0012
	END	ALA0013
C	FUNCTION U(M,Q) V1=FLOAT(M) U=V1*Q RETURN END	ALA0014 ALA0015 ALA0016 ALA0017 ALA0018 ALA0019
C	FUNCTION PA(Y,Z,X) YD1=SQRT(X*X+Z*Z) YD2=SQRT(YD1*YD1+Y*Y) PA=(ATAN(Y*Z/(X*YD2)))*2./3.- ATAN(Y/YD1)*X/YD1)/2.- (X*Y*Z/YD1)**2	ALA0020 ALA0021 ALA0022 ALA0023 ALA0024

```

1*YD2))*2./3.
RETURN
END

```

ALA0025
ALA0026
ALA0027

Alt program : ALAR2

```

SUBROUTINE ALAR2(X,N,D,E,A,B,Q,FX,R)      ALA0001
DIMENSION FX(N)                            ALA0002
DO 10 J=1,N                                ALA0003
Y=W(J,Q)                                    ALA0004
G=D-Y                                       ALA0005
F=G+E                                       ALA0006
FX(J)=FX(J)+(AP(F,B,X)-AP(F,A,X)-
AP(G,B,X)+AP(G,A,X))/(3.*R)                ALA0007
10 CONTINUE                                  ALA0008
RETURN
END

C
FUNCTION W(M,Q)                           ALA0012
V1=FLOAT(M)                               ALA0013
W=V1*Q                                    ALA0014
RETURN
END

C
FUNCTION AP(Y,Z,X)                      ALA0018
YD1=SQRT(X*X+Z*Z)                      ALA0019
YD2=SQRT(YD1*YD1+Y*Y)                  ALA0020
AP=(ATAN(Y*Z/(X*YD2)))*2./3.-.
ATAN(Y/YD1)*X/YD1)/2.-(X*Y*Z/YD1**2
1*YD2))*2./3.
RETURN
END

```

ALA0009
ALA0010
ALA0011
ALA0012
ALA0013
ALA0014
ALA0015
ALA0016
ALA0017
ALA0018
ALA0019
ALA0020
ALA0021
ALA0022
ALA0023
ALA0024

Alt program : BLER

```

SUBROUTINE BLER(G,F,A,B,NX,NZ,Q,FEB)      BLE0001
DIMENSION FEB(NX,NZ)                      BLE0002
BZ=B/Q-1.                                 BLE0003
NBZ=IFIX(BZ)                               BLE0004
DO 10 IZ=1,NBZ                            BLE0005
Z=0(IZ,Q)                                 BLE0006
AB=A-Z                                     BLE0007
IF(Z.GE.A) AB=0.                           BLE0008
BB=B-Z                                     BLE0009
DO 20 IX=1,NX                            BLE0010
X=0(IX,Q)                                 BLE0011
FEB(IX,IZ)=FEB(IX,IZ)+(BP(X,F,BB)-
BP(X,G,BB)-BP(X,F,AB)+BP(X,G,AB)
1)/3.
20 CONTINUE
10 CONTINUE
RETURN
END

C
FUNCTION O(M,Q)                           BLE0018
V1=FLOAT(M)                               BLE0019
O=V1*Q                                    BLE0020
RETURN
END

```

BLE0002
BLE0003
BLE0004
BLE0005
BLE0006
BLE0007
BLE0008
BLE0009
BLE0010
BLE0011
BLE0012
BLE0013
BLE0014
BLE0015
BLE0016
BLE0017
BLE0018
BLE0019
BLE0020
BLE0021
BLE0022
BLE0023

```

C
FUNCTION BP(X,Y,Z)                                BLE0024
YF1=SQRT(X*X+Y*Y)                                BLE0025
YF2=SQRT(YF1*YF1+Z*Z)                            BLE0026
BP=(X/YF2)*2./3.- (ATAN(Z/YF1)*X/YF1)/2.      BLE0027
RETURN                                              BLE0028
END                                                 BLE0029
                                                BLE0030

Alt program : BLER2

SUBROUTINE BLER2(N,M,H,C,A,B,FE,F,G,Q,NB)        BLE0001
DIMENSION FE(N,M)                                 BLE0002
DO 10 I=1,N                                      BLE0003
X=R(I,Q)                                         BLE0004
DO 20 J=1,NB                                     BLE0005
Z=R(J,Q)                                         BLE0006
BZ=(H-Z)*X/(C+X)                                BLE0007
AB=A-Z                                           BLE0008
IF(Z.GE.A) AB=0.                                  BLE0009
BB=B-Z                                           BLE0010
P=AB                                             BLE0011
IF(BZ.LE.AB) GOTO 30                           BLE0012
PU=BZ                                           BLE0013
IF(BZ.GE.BB) PU=BB                               BLE0014
FE(I,J)=FE(I,J)+(PB(X,F,PU)-PB(X,G,PU)-
PB(X,F,AB)+PB(X,G,AB)/30.                      BLE0015
IF(BZ.GE.BB) GOTO 20                           BLE0016
P=BZ                                           BLE0017
30 FE(I,J)=FE(I,J)+(PB(X,F,BB)-PB(X,G,BB)-
PB(X,F,P)+PB(X,G,P)/3.                         BLE0018
20 CONTINUE                                       BLE0019
10 CONTINUE                                       BLE0020
RETURN                                            BLE0021
END                                               BLE0022

C
FUNCTION R(M,Q)                                BLE0023
V1=FLOAT(M)                                    BLE0024
R=V1*Q                                         BLE0025
RETURN                                         BLE0026
END                                             BLE0027
                                                BLE0028
BLE0029

C
FUNCTION PB(X,Y,Z)                                BLE0030
YF1=SQRT(X*X+Y*Y)                                BLE0031
YF2=SQRT(YF1*YF1+Z*Z)                            BLE0032
PB=(X/YF2)*2./3.- (ATAN(Z/YF1)*X/YF1)/2.      BLE0033
RETURN                                              BLE0034
END                                                 BLE0035

Alt program : GGA

C A VE WP DUZLEMLERINDE E/LZ DAGILIMINI YOGUNLUK
GRAFIGI SEKLINDE                                     GGA0001
C YAZDIRIR.                                         GGA0002
C                                         GGA0003

SUBROUTINE GGA(A,N,M,NM,NFX,S,N1,N2,ZD,P,
MT)                                              GGA0004
CHARACTER*3 STR1(1:11),STR2(1:11),
STR3(1:11)                                         GGA0005

```

```

DIMENSION A(N1,N2),NFX(NM,NM),S(NM,NM),
ZD(NM),P(NM) GGA0006
DATA STR1(1:11) /"      ","      "," * "," * ",,
" * "," * "," **","***",
1"***","MMM","   "/ GGA0007
DATA STR2(1:11) /" * "," **"," **","***",
"***","***","***","***",
1"***","MMM","   "/ GGA0008
DATA STR3(1:11) /"      ","      ","      ","      ",,
" * "," **"," **"," **",
1"***","MMM","   "/ GGA0009
GGA0010
C  MATRISIN MAKSIMUM ELEMANINI BULUR. GGA0011
    B=A(1,1) GGA0012
    DO 70 I=1,N GGA0013
    DO 80 J=1,M GGA0014
    IF(B-A(I,J)) 90,80,80 GGA0015
90 B=A(I,J) GGA0016
80 CONTINUE GGA0017
70 CONTINUE GGA0018
C  MATRISIN TUM ELEMANLARINI MAKSIMUMA BOLER,
YUVARLAR. GGA0019
    DO 100 I=1,N GGA0020
    DO 110 J=1,M GGA0021
    S(I,J)=A(I,J)/B*10.
110 CONTINUE GGA0022
100 CONTINUE GGA0023
    CALL S6(N1,N2,S,NFX,NM,NM,NM) GGA0024
C  SIFIRLARI ONBIR YAPAR. GGA0025
    DO 120 I=1,N GGA0026
    DO 130 J=1,M GGA0027
    IF(NFX(I,J).EQ.0) NFX(I,J)=11 GGA0028
130 CONTINUE GGA0029
120 CONTINUE GGA0030
C  MATRISIN GRAFIGINI YAZDIRIR. GGA0031
    J=1 GGA0032
    DO 170 I=1,M,2 GGA0033
    P(J)=ZD(I) GGA0034
    J=J+1 GGA0035
170 CONTINUE GGA0036
    WRITE(6,10) (P(I),I=1,J-1) GGA0037
    J=1 GGA0038
    DO 180 I=2,M,2 GGA0039
    P(J)=ZD(I) GGA0040
    J=J+1 GGA0041
180 CONTINUE GGA0042
    IF(MT.EQ.0.) GOTO 202 GGA0043
    WRITE(6,20) (P(I),I=1,J-1) GGA0044
    GOTO 203 GGA0045
202 WRITE(6,204) (P(I),I=1,J-1) GGA0046
203 WRITE(6,30) GGA0047
    WRITE(6,40) GGA0048
    WRITE(6,50) GGA0049
    DO 140 K=1,N GGA0050
    WRITE(6,60) (STR1(NFX(K,L)),L=1,M) GGA0051
    WRITE(6,150) ZD(K),(STR2(NFX(K,L)),L=1,M) GGA0052
    WRITE(6,60) (STR3(NFX(K,L)),L=1,M) GGA0053
140 CONTINUE GGA0054
                                            GGA0055
                                            GGA0056
                                            GGA0057

```

	WRITE(6,50)	GGA0058
	WRITE(6,160)	GGA0059
B	B=B*100	GGA0060
	WRITE(6,190)	GGA0061
	WRITE(6,200) B	GGA0062
	WRITE(6,201)	GGA0063
C		GGA0064
10	FORMAT(6X,7(2X,1F4.2))	GGA0065
20	FORMAT(6X,3X,6(" ",1X,1F4.2))	GGA0066
30	FORMAT(6X,1X,13(2X," "))	GGA0067
40	FORMAT(6X,43("-"),"YYY")	GGA0068
50	FORMAT(6X," ",41X," ")	GGA0069
60	FORMAT(6X," ",1X,13A3,1X," ")	GGA0070
150	FORMAT(1X,1F4.2,"- ",1X,13A3,1X," ")	GGA0071
160	FORMAT(6X,43("-"),/,3(6X,"X",/))	GGA0072
190	FORMAT(3X,"----",/,3X," MMM ")	GGA0073
200	FORMAT(3X," MMM = MAKSIMUM = %",1F4.0)	GGA0074
201	FORMAT(6X," MMM ",3X,"----")	GGA0075
204	FORMAT(6X,3X,6(" ",1X,1F4.2," ")	GGA0076
	RETURN	GGA0077
	END	GGA0078

Alt program : GGB

C	B VE B1 DUZLEMLERINDE E/LZ DAGILIMINI YOGUNLUK	
	GRAFIGI SEKLINDE	GGB0001
C	YAZDIRIR.	GGB0002
C		GGB0003
	SUBROUTINE GGB(A,N,M,NM,NFX,S,N1,N2,ZD,P,	
	MT)	GGB0004
	CHARACTER*3 STR1(1:11),STR2(1:11),	
	STR3(1:11)	GGB0005
	DIMENSION A(N1,N2),NFX(NM,NM),S(NM,NM),	
	ZD(NM),P(NM)	GGB0006
	DATA STR1(1:11) /" ,," ,," * ",," * ",	
	" * ,," * ,," **",,"***",	GGB0007
	1"***",,"MMM",,"/	GGB0008
	DATA STR2(1:11) /" * ,," **",," **",,"***",	
	"***",,"***",,"***",,"***",	GGB0009
	1"***",,"MMM",,"/	GGB0010
	DATA STR3(1:11) /" ,," ,," ,," ,	
	" * ,," * ",," **",," **",	GGB0011
	1"***",,"MMM",,"/	GGB0012
C	MATRISIN MAKSIMUM ELEMANINI BULUR.	GGB0013
	B=A(1,1)	GGB0014
	DO 70 I=1,N	GGB0015
	DO 80 J=1,M	GGB0016
	IF(B-A(I,J)) 90,80,80	GGB0017
	90 B=A(I,J)	GGB0018
	80 CONTINUE	GGB0019
	70 CONTINUE	GGB0020
C	MATRISIN TUM ELEMANLARINI MAKSIMUMA BOLER,	GGB0021
	YUVARLAR.	
	DO 100 I=1,N	GGB0022
	DO 110 J=1,M	GGB0023
	S(I,J)=A(I,J)/B*10.	GGB0024
	110 CONTINUE	GGB0025
	100 CONTINUE	GGB0026

	CALL S6(N1,N2,S,NFX,NM,NM,NM)	GGB0027
C	SIFIRLARI ONBIR YAPAR.	GGB0028
	DO 120 I=1,N	GGB0029
	DO 130 J=1,M	GGB0030
	IF(NFX(I,J).EQ.0) NFX(I,J)=11	GGB0031
130	CONTINUE	GGB0032
120	CONTINUE	GGB0033
C	MATRISIN GRAFIGINI YAZDIRIR.	GGB0034
	WRITE(6,10)	GGB0035
	WRITE(6,20)	GGB0036
	WRITE(6,30)	GGB0037
	DO 140 L=1,M	GGB0038
	L0=M+1-L	GGB0039
	WRITE(6,40) (STR1(NFX(K,L0)),K=1,N)	GGB0040
	WRITE(6,50) ZD(L0),(STR2(NFX(K,L0)),K=1,N)	GGB0041
	WRITE(6,40) (STR3(NFX(K,L0)),K=1,N)	GGB0042
140	CONTINUE	GGB0043
	WRITE(6,30)	GGB0044
	WRITE(6,60)	GGB0045
	WRITE(6,150)	GGB0046
	J=1	GGB0047
	DO 180 I=1,N,2	GGB0048
	P(J)=ZD(I)	GGB0049
	J=J+1	GGB0050
180	CONTINUE	GGB0051
	IF(MT.EQ.0.) GOTO 203	GGB0052
	WRITE(6,160) (P(I),I=1,J-1)	GGB0053
	GOTO 204	GGB0054
203	WRITE(6,205) (P(I),I=1,J-1)	GGB0055
204	J=1	GGB0056
	DO 190 I=2,N,2	GGB0057
	P(J)=ZD(I)	GGB0058
	J=J+1	GGB0059
190	CONTINUE	GGB0060
	WRITE(6,170) (P(I),I=1,J-1)	GGB0061
	B=B*100	GGB0062
	WRITE(6,200)	GGB0063
	WRITE(6,201) B	GGB0064
	WRITE(6,202)	GGB0065
C		GGB0066
	10 FORMAT(2(6X,"Z",/),6X,"Z")	GGB0067
	20 FORMAT(6X,64("-"))	GGB0068
	30 FORMAT(6X," ",62X," ")	GGB0069
	40 FORMAT(6X," ",1X,20A3,1X," ")	GGB0070
	50 FORMAT(1X,1F4.2,"- ",1X,20A3,1X," ")	GGB0071
	60 FORMAT(7X,64("-"),"XXX")	GGB0072
	150 FORMAT(6X,1X,20(2X," "))	GGB0073
	160 FORMAT(6X,1X,10(1X,1F4.2," "))	GGB0074
	170 FORMAT(6X,3X,10(2X,1F4.2))	GGB0075
	200 FORMAT(/,3X,"----",/,3X," MMM ")	GGB0076
	201 FORMAT(3X," MMM = MAKSIMUM = %",1F4.0)	GGB0077
	202 FORMAT(6X," MMM ",3X,"----")	GGB0078
	205 FORMAT(6X,1X,9(1X,1F4.2," "),1X,1F4.2)	GGB0079
	RETURN	GGB0080
	END	GGB0081

Alt program : GGC

C C DUZLEMINDE E/LZ DAGILIMINI YOGUNLUK GRAFIGI
SEKLINDE
C YAZDIRIR.

SUBROUTINE GGC(A,N,M,NM,NFX,S,N1,N2,ZD,P,
MT)
CHARACTER*3 STR1(1:11),STR2(1:11),
STR3(1:11)
DIMENSION A(N1,N2),NFX(NM,NM),S(NM,NM),
ZD(NM),P(NM)
DATA STR1(1:11) /" "," "," * "," * ",
" * "," * "," **","***",
1"***","MMM"," /"
DATA STR2(1:11) /" * "," **"," **","***",
"***","***","***","***",
1"***","MMM"," /"
DATA STR3(1:11) /" "," "," "," ",
" * "," **"," **"," **",
1"***","MMM"," /"
C MATRISIN MAKSIMUM ELEMANINI BULUR.
B=A(1,1)
DO 70 I=1,N
DO 80 J=1,M
IF(B-A(I,J)) 90,80,80
90 B=A(I,J)
80 CONTINUE
70 CONTINUE
C MATRISIN TUM ELEMANLARINI MAKSUMA BOLER,
YUVARLAR.
DO 100 I=1,N
DO 110 J=1,M
S(I,J)=A(I,J)/B*10.
110 CONTINUE
100 CONTINUE
CALL S6(N1,N2,S,NFX,NM,NM,NM)
C SIFIRLARI ONBIR YAPAR.
DO 120 I=1,N
DO 130 J=1,M
IF(NFX(I,J).EQ.0) NFX(I,J)=11
130 CONTINUE
120 CONTINUE
C MATRISIN GRAFIGINI YAZDIRIR.
WRITE(6,10)
WRITE(6,20)
WRITE(6,30)
DO 140 L=1,M
LO=M+1-L
WRITE(6,40) (STR1(NFX(K,LO)),K=1,N) GGC0040
WRITE(6,50) ZD(LO),(STR2(NFX(K,LO)),K=1,N) GGC0041
WRITE(6,40) (STR3(NFX(K,LO)),K=1,N) GGC0042
140 CONTINUE
WRITE(6,30)
WRITE(6,60)
WRITE(6,150)
J=1 GGC0047

```

DO 180 I=1,N,2                                GGC0048
P(J)=ZD(I)                                     GGC0049
J=J+1                                         GGC0050
180 CONTINUE                                     GGC0051
IF(MT.EQ.0.) GOTO 203                         GGC0052
WRITE(6,160) (P(I),I=1,J-1)                   GGC0053
GOTO 204                                         GGC0054
203 WRITE(6,205) (P(I),I=1,J-1)               GGC0055
204 J=1                                         GGC0056
DO 190 I=2,N,2                                GGC0057
P(J)=ZD(I)                                     GGC0058
J=J+1                                         GGC0059
190 CONTINUE                                     GGC0060
WRITE(6,170) (P(I),I=1,J-1)                   GGC0061
B=B*100                                         GGC0062
WRITE(6,200)                                     GGC0063
WRITE(6,201) B                                 GGC0064
WRITE(6,202)                                     GGC0065

```

C

```

10 FORMAT(2(6X,"Z",/),6X,"Z")                 GGC0066
20 FORMAT(6X,43("-"))                           GGC0067
30 FORMAT(6X,"|",41X,"|")                      GGC0068
40 FORMAT(6X,"|",1X,13A3,1X,"|")              GGC0069
50 FORMAT(1X,1F4.2,"-",1X,13A3,1X,"|")       GGC0070
60 FORMAT(7X,43("-"),"YYY")                    GGC0071
150 FORMAT(6X,1X,13(2X,"|"))                  GGC0072
160 FORMAT(6X,1X,7(1X,1F4.2,"|"))            GGC0073
170 FORMAT(6X,3X,6(2X,1F4.2))                GGC0074
200 FORMAT(/,3X,"----",/,3X,"|MMM|")         GGC0075
201 FORMAT(3X,"|MMM|=MAKSIMUM=%",1F4.0)      GGC0076
202 FORMAT(6X,"|MMM|",3X,"----")              GGC0077
205 FORMAT(6X,1X,6(1X,1F4.2,"|"),1X,1F4.2)   GGC0078
RETURN                                         GGC0079
END                                            GGC0080
                                               GGC0081

```

Alt program : S5

```

SUBROUTINE S5(N,M,FE,NFX,NM)                  S5 0001
DIMENSION FE(N,M),NFX(NM,NM)                  S5 0002
DO 10 I=1,N                                     S5 0003
DO 20 J=1,M                                     S5 0004
F=FE(I,J)*100.                                S5 0005
NF=IFIX(F)                                     S5 0006
AF=F-NF                                       S5 0007
IF(AF.GE.0.5) NF=NF+1                         S5 0008
NFX(I,J)=NF                                     S5 0009
20 CONTINUE                                     S5 0010
10 CONTINUE                                     S5 0011
RETURN                                         S5 0012
END                                            S5 0013

```

Alt program : S6

```

SUBROUTINE S6(N,M,FE,NFX,NM,N1,N2)           S6 0001
DIMENSION FE(N1,N2),NFX(NM,NM)                S6 0002
DO 10 I=1,N                                     S6 0003
DO 20 J=1,M                                     S6 0004
F=FE(I,J)                                      S6 0005
NF=IFIX(F)                                     S6 0006

```

AF=F-NF	S6 0007
IF(AF.GE.0.5) NF=NF+1	S6 0008
NFX(I,J)=NF	S6 0009
20 CONTINUE	S6 0010
10 CONTINUE	S6 0011
RETURN	S6 0012
END	S6 0013

Alt program : SIM2

C SIMPSON (+TRAPEZ) ENTEGRAL	SIM0001
SUBROUTINE SIM2(NO,N,M,AY,AS,AT,Q,NM)	SIM0002
DIMENSION AY(NM)	SIM0003
ASP1=0.	SIM0004
ASP2=0.	SIM0005
AT=0.	SIM0006
NA=N	SIM0007
IF(M.EQ.0.) GOTO 10	SIM0008
NA=N-1	SIM0009
AT=(AY(N)+AY(NA))*Q/2.	SIM0010
10 ASP=AY(NO)+AY(NA)	SIM0011
DO 20 K1=NO+1,NA-1,2	SIM0012
ASP1=ASP1+4.*AY(K1)	SIM0013
20 CONTINUE	SIM0014
DO 30 K2=NO+2,NA-2,2	SIM0015
ASP2=ASP2+2.*AY(K2)	SIM0016
30 CONTINUE	SIM0017
AS=Q*(ASP+ASP1+ASP2)/3.	SIM0018
RETURN	SIM0019
END	SIM0020

Alt program : SUB1

C BIRBIRINE DIK DUZLEMLERDE YANSLMA HESAPLAR.	SUB0001
SUBROUTINE SUB1(N01,N1,N012,N12,N022,N22,	
N03,N3,M2,M3,D3,D4,S,T,ZL	SUB0002
1,EA,Q,RO,EAB,NM,N1,NJ,AY,AB1,AB)	SUB0003
DIMENSION EA(NI,NJ),AB(NM,NM),AB1(NM),	
AY(NM),EAB(NM,NM)	SUB0004
PI=3.141592654	SUB0005
DO 10 I1=N01,N1	SUB0006
X=VK(I1,Q)	SUB0007
IF(S.NE.0.) X=S-X	SUB0008
DO 20 I2=N012,N12	SUB0009
YY=VK(I2,Q)	SUB0010
DO 30 I3=N022,N22	SUB0011
Y=VK(I3,Q)	SUB0012
Y1=YY-Y	SUB0013
DO 40 I4=N03,N3	SUB0014
Z=VK(I4,Q)	SUB0015
IF(T.NE.0.) Z=T-Z	SUB0016
IF(ZL.NE.0.) Z=Z-ZL	SUB0017
IF(D3.NE.0.) GOTO 43	SUB0018
AB(I3,I4)=X*Z*EA(I3,I4)/UB1(X,Y1,Z)	SUB0019
GOTO 40	SUB0020
43 AB(I4,I3)=X*Z*EA(I4,I3)/UB1(X,Y1,Z)	SUB0021
40 CONTINUE	SUB0022
30 CONTINUE	SUB0023
DO 50 I4=N03,N3	SUB0024

T. C.

Yükseköğretim Kurulu
Dokümantasyon Merkezi

IF(D3.NE.0.) GOTO 51	SUB0025
DO 52 I3=N022,N22	SUB0026
AB1(I3)=AB(I3,I4)	SUB0027
52 CONTINUE	SUB0028
GOTO 53	SUB0029
51 DO 54 I3=N022,N22	SUB0030
AB1(I3)=AB(I4,I3)	SUB0031
54 CONTINUE	SUB0032
53 CALL SIM2(N022,N22,M2,AB1,S1,T1,Q,NM)	SUB0033
AY(I4)=S1+T1	SUB0034
50 CONTINUE	SUB0035
CALL SIM2(N03,N3,M3,AY,SS,TT,Q,NM)	SUB0036
IF(D4.NE.0.) GOTO 21	SUB0037
EAB(I2,I1)=(SS+TT)*R0/PI	SUB0038
GOTO 20	SUB0039
21 EAB(I1,I2)=(SS+TT)*R0/PI	SUB0040
20 CONTINUE	SUB0041
10 CONTINUE	SUB0042
RETURN	SUB0043
END	SUB0044
C	SUB0045
FUNCTION VK(M,Q)	SUB0046
V1=FLOAT(M)	SUB0047
VK=V1*Q	SUB0048
RETURN	SUB0049
END	SUB0050
C	SUB0051
FUNCTION UB1(X,Y,Z)	SUB0052
UB1=(X*X+Y*Y+Z*Z)**2	SUB0053
RETURN	SUB0054
END	SUB0055
<u>Alt program : SUB2</u>	
C PARALEL DUZLEMLERDE YANSIMA HESAPLAR.	SUB0001
SUBROUTINE SUB2(N1,N2,M1,M2,S,EA,Q,R0,EAB,	
NI,NJ,NM,AY, AB1,AB)	SUB0002
DIMENSION AB(NM,NM),AB1(NM),AY(NM),	
EA(NI,NJ),EAB(NM,NM)	SUB0003
PI=3.141592654	SUB0004
DO 10 I1=1,N1	SUB0005
XX=VH(I1,0)	SUB0006
DO 20 I2=1,N2	SUB0007
YY=VH(I2,0)	SUB0008
DO 30 I3=1,N2	SUB0009
Y=VH(I3,0)	SUB0010
Y1=YY-Y	SUB0011
DO 40 I4=1,N1	SUB0012
X=VH(I4,0)	SUB0013
X1=XX-X	SUB0014
AB(I3,I4)=S*S*EA(I3,I4)/UB2(X1,Y1,Z)	SUB0015
40 CONTINUE	SUB0016
30 CONTINUE	SUB0017
DO 50 I4=1,N1	SUB0018
DO 60 I3=1,N2	SUB0019
AB1(I3)=AB(I3,I4)	SUB0020
60 CONTINUE	SUB0021
CALL SIM2(1,N2,M2,AB1,S1,T1,Q,NM)	SUB0022

AY(I4)=S1+T1	SUB0023
50 CONTINUE	SUB0024
CALL SIM2(1,N1,M1,AY,SS,TT,Q,NM)	SUB0025
EAB(I2,I1)=(SS+TT)*R0/PI	SUB0026
20 CONTINUE	SUB0027
10 CONTINUE	SUB0028
RETURN	SUB0029
END	SUB0030
C	SUB0031
FUNCTION VH(M,Q)	SUB0032
V1=FLOAT(M)	SUB0033
VH=V1*Q	SUB0034
RETURN	SUB0035
END	SUB0036
C	SUB0037
FUNCTION UB2(X,Y,Z)	SUB0038
UB2=(X*X+Y*Y+Z*Z)**2	SUB0039
RETURN	SUB0040
END	SUB0041
<u>Alt program : SUB3</u>	
C IKI MATRISI TOPLAR, GEREKIYORSA IKINCISINI SIFIRLAR	
SUBROUTINE SUB3(ABC,FXY,N,M,N1,N3,N4,D7)	SUB0001
DIMENSION ABC(N1,N1),FXY(N3,N4)	SUB0002
DO 10 I=1,N	SUB0003
DO 20 J=1,M	SUB0004
ABC(I,J)=ABC(I,J)+FXY(I,J)	SUB0005
IF(D7.NE.0.) GOTO 20	SUB0006
FXY(I,J)=0.	SUB0007
20 CONTINUE	SUB0008
10 CONTINUE	SUB0009
RETURN	SUB0010
END	SUB0011
	SUB0012
<u>Alt program : SUB4</u>	
SUBROUTINE SUB4(D6,A,B,D,E,ZL,NAQ,NBQ,NDQ,	SUB0001
NEQ,MEQ,MBQ,Q)	SUB0002
AQ=A/Q	SUB0003
IF(D6.NE.0.) GOTO 650	SUB0004
IF(ZL.GE.A) AQ=ZL/Q	SUB0005
650 IAQ=IFIX(AQ)	SUB0006
NAQ=IAQ+1	SUB0007
BQ=B/Q	SUB0008
NBQ=IFIX(BQ)	SUB0009
DQ=D/Q	SUB0010
IDQ=IFIX(DQ)	SUB0011
NDQ=IDQ+1	SUB0012
ED=E+D	SUB0013
EDQ=ED/Q	SUB0014
NEQ=IFIX(EDQ)	SUB0015
N=NEQ-NDQ+1	SUB0016
CALL TEKMI(N,MEQ)	SUB0017
N=NBQ-NAQ+1	SUB0018
CALL TEKMI(N,MBQ)	SUB0019
RETURN	SUB0020
END	

Alt program : TEKMI

C N' NIN TEK MI, CIFT MI OLDUGUNU BULUR.	TEK0001
SUBROUTINE TEKMI(N,M)	TEK0002
E=N/2.	TEK0003
IE=IFIX(E)	TEK0004
EK=IE*2.	TEK0005
M=1	TEK0006
IF(N.NE.EK) M=0	TEK0007
RETURN	TEK0008
END	TEK0009

Alt program : TEM

SUBROUTINE TEM(X,N)	TEM0001
DIMENSION X(N,N)	TEM0002
DO 10 I=1,N	TEM0003
DO 20 J=1,N	TEM0004
X(I,J)=0.	TEM0005
20 CONTINUE	TEM0006
10 CONTINUE	TEM0007
RETURN	TEM0008
END	TEM0009

Alt program : W5

SUBROUTINE W5(NA,NX,NY,ZD,NM)	W5 0001
DIMENSION NA(NM,NM),ZD(NM)	W5 0002
WRITE(6,10) (ZD(I),I=1,NY)	W5 0003
WRITE(6,20)	W5 0004
WRITE(6,30)	W5 0005
DO 80 I=1,NX	W5 0006
WRITE(6,40)	W5 0007
WRITE(6,50) (NA(I,J),J=1,NY)	W5 0008
WRITE(6,60) ZD(I)	W5 0009
80 CONTINUE	W5 0010
WRITE(6,40)	W5 0011
WRITE(6,70)	W5 0012

C

10 FORMAT(6X,3X,13(1X,1F4.2))	W5 0014
20 FORMAT(6X,1X,13(" "))	W5 0015
30 FORMAT(6X,71("-"),"YYY")	W5 0016
40 FORMAT(2(6X," ",69X," ",/,6X," ",69X," "))	W5 0017
50 FORMAT(6X," ",2X,13(1X,1I4),2X," ")	W5 0018
60 FORMAT(1X,1F4.2,"- ",13(4X,"."),4X," ")	W5 0019
70 FORMAT(6X," ",69X," ",/,6X,71("-"),/, 2(6X,"X",/),6X,"X")	W5 0020
RETURN	W5 0021
END	W5 0022

Alt program : W5B

SUBROUTINE W5B(NB,NX,NZ,ZD,NM)	W5B0001
DIMENSION NB(NM,NM),ZD(NM)	W5B0002
WRITE(6,5)	W5B0003
WRITE(6,30)	W5B0004
DO 80 L=1,NZ	W5B0005
J=NZ+1-L	W5B0006
WRITE(6,40)	W5B0007
WRITE(6,50) (NB(I,J),I=1,NX)	W5B0008

```

        WRITE(6,60) ZD(J)
80 CONTINUE
        WRITE(6,40)
        WRITE(6,70)
        WRITE(6,90)
        WRITE(6,100) (ZD(I),I=1,NX)

C
      5 FORMAT(2(6X,"Z",/),6X,"Z")
30 FORMAT(6X,106("-"))
40 FORMAT(2(6X,"|",104X,"|",/),6X,"|",104X,
      "|")
50 FORMAT(6X,"|",2X,20(1X,1I4),2X,"|")
60 FORMAT(1X,1F4.2,"-|",20(4X,"."),4X,"|")
70 FORMAT(6X,"|",104X,"|",/,6X,106("-"),/,
      "XXX")
90 FORMAT(6X,1X,20("      |"))
100 FORMAT(6X,3X,20(1X,1F4.2))
      RETURN
      END

```

Alt program : W5C

```

SUBROUTINE W5C(NC,NY,NZ,ZD,NM)
DIMENSION NC(NM,NM),ZD(NM)
WRITE(6,5)
WRITE(6,30)
DO 80 L=1,NZ
J=NZ+1-L
WRITE(6,40)
WRITE(6,50) (NC(I,J),I=1,NY)
WRITE(6,60) ZD(J)
80 CONTINUE
WRITE(6,40)
WRITE(6,70)
WRITE(6,90)
WRITE(6,100) (ZD(I),I=1,NY)

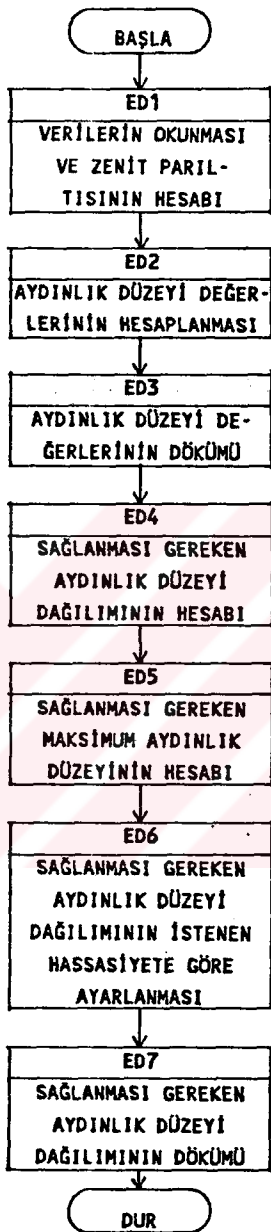
C
      5 FORMAT(2(6X,"Z",/),6X,"Z")
30 FORMAT(6X,71("-"))
40 FORMAT(2(6X,"|",69X,"|",/),6X,"|",69X,"|") W5C0018
50 FORMAT(6X,"|",2X,13(1X,1I4),2X,"|") W5C0019
60 FORMAT(1X,1F4.2,"-|",13(4X,"."),4X,"|") W5C0020
70 FORMAT(6X,"|",69X,"|",/,6X,71("-"),/,"YYY") W5C0021
90 FORMAT(6X,1X,13("      |")) W5C0022
100 FORMAT(6X,3X,13(1X,1F4.2)) W5C0023
      RETURN
      END

```

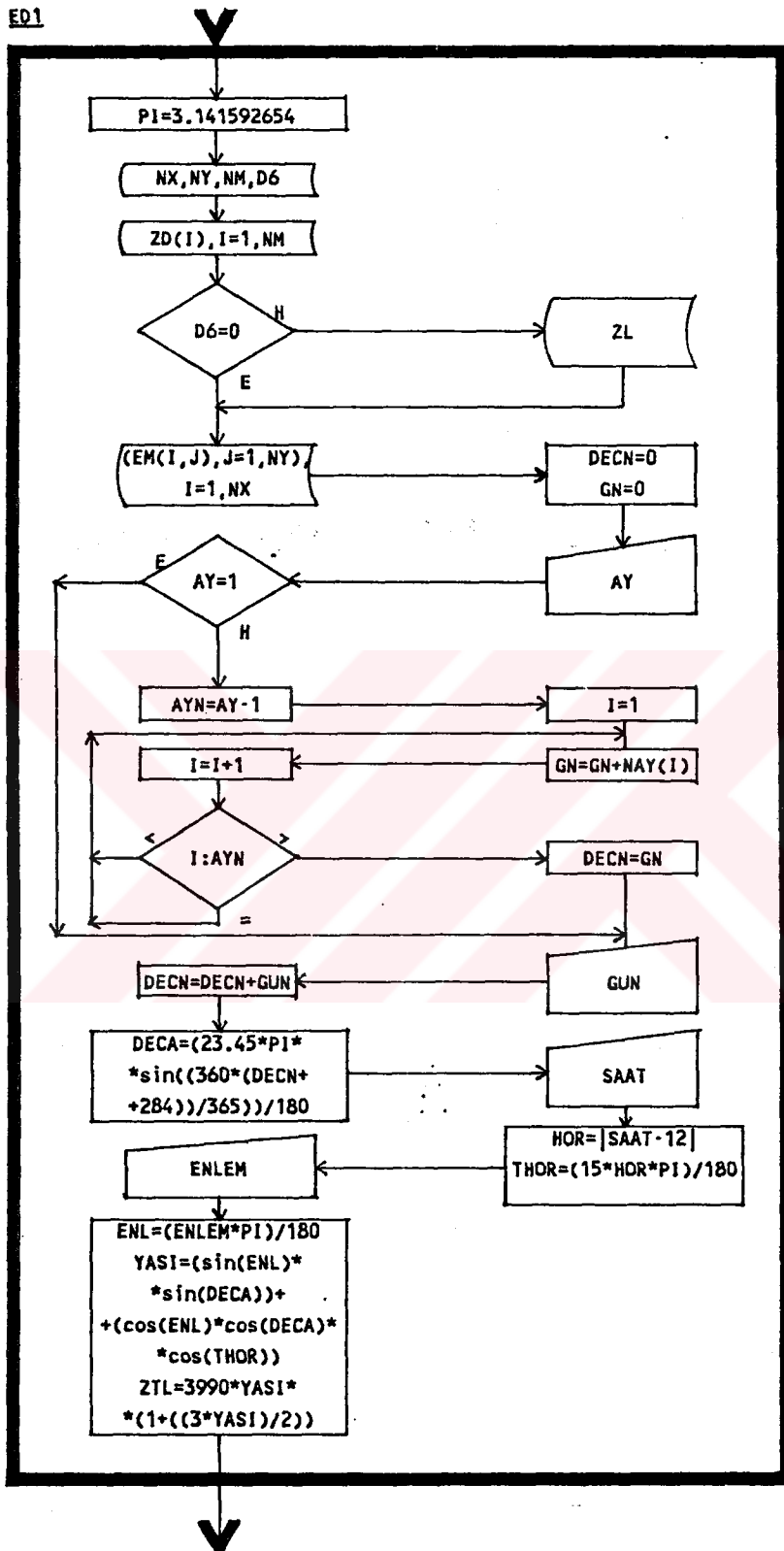
EK H
EDEG PROGRAMININ AKIŞ DİYAGRAMI

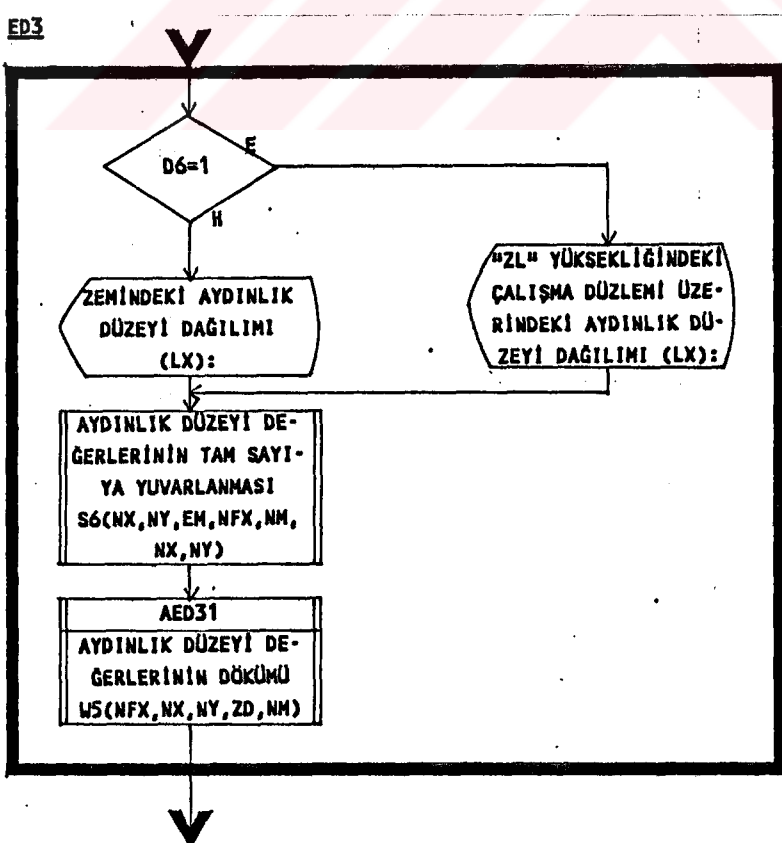
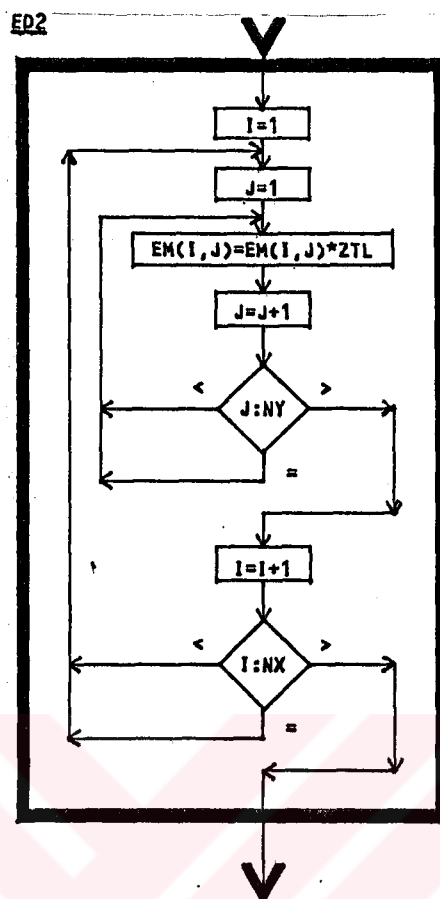
EDEG programının akış diyagramı için de EK F' de ELZET programının akış diyagramı için anlatılanlar geçerlidir. Programın akış diyagramı, yine ANSI standartlarına göre ve bloklar halinde verilmiş, program parçalarının detayları ayrı ayrı bloklarda akış diyagramları halinde belirtilmiş ve açıklamalar bu ekin sonunda gösterilmiştir.

EDEG

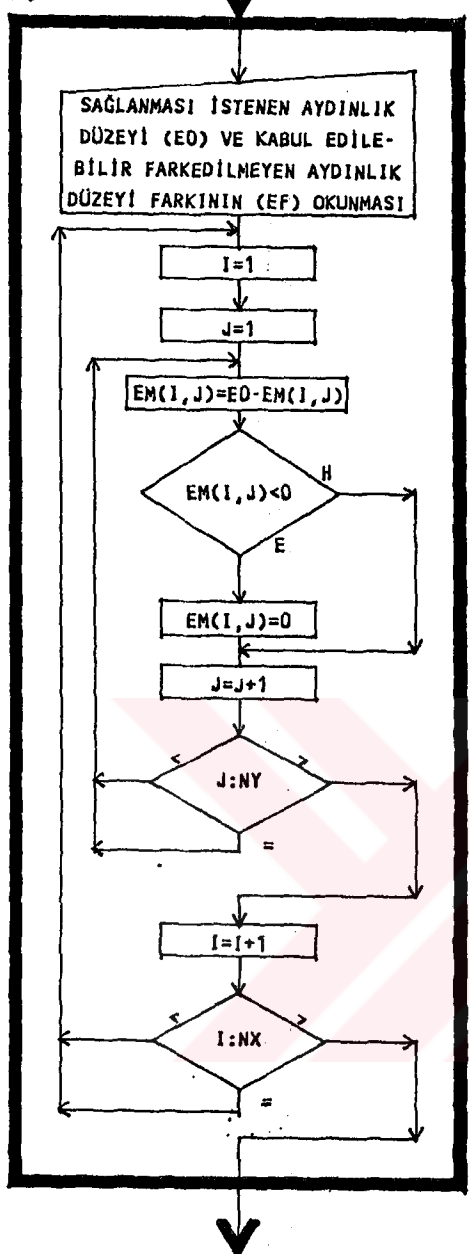


ED1

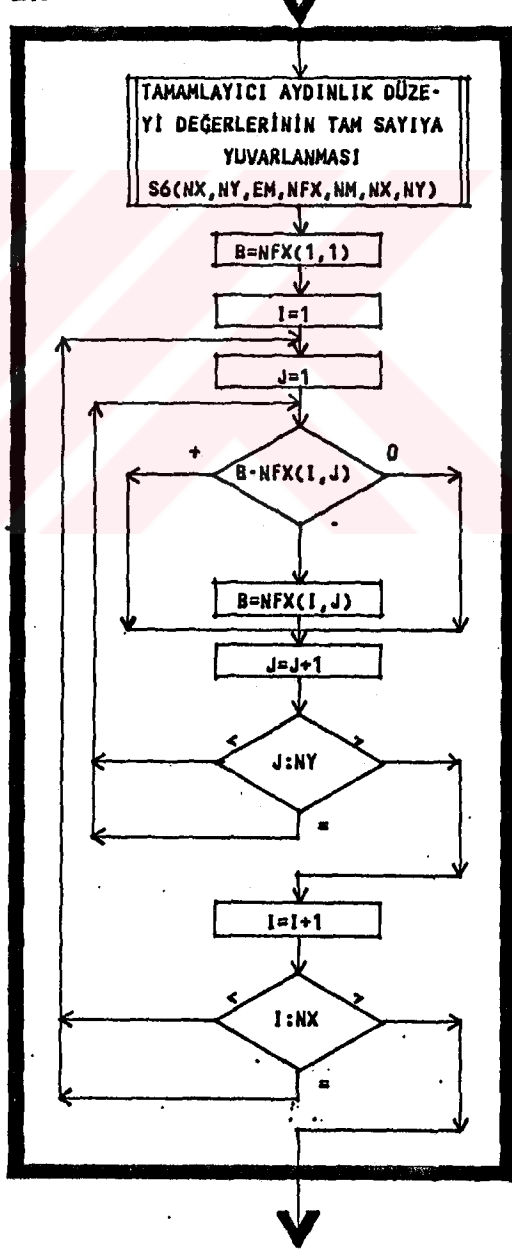


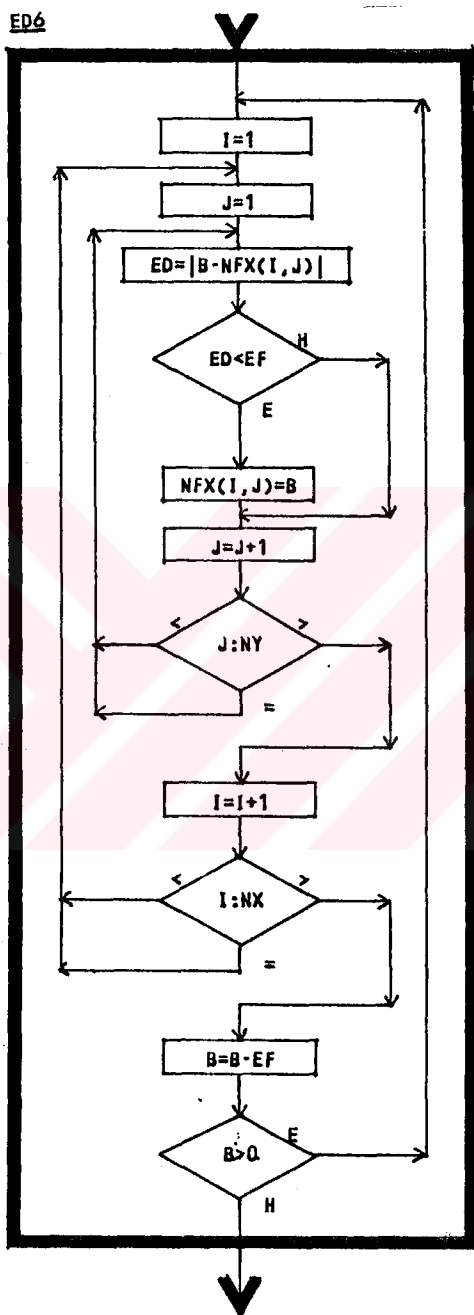


ED4

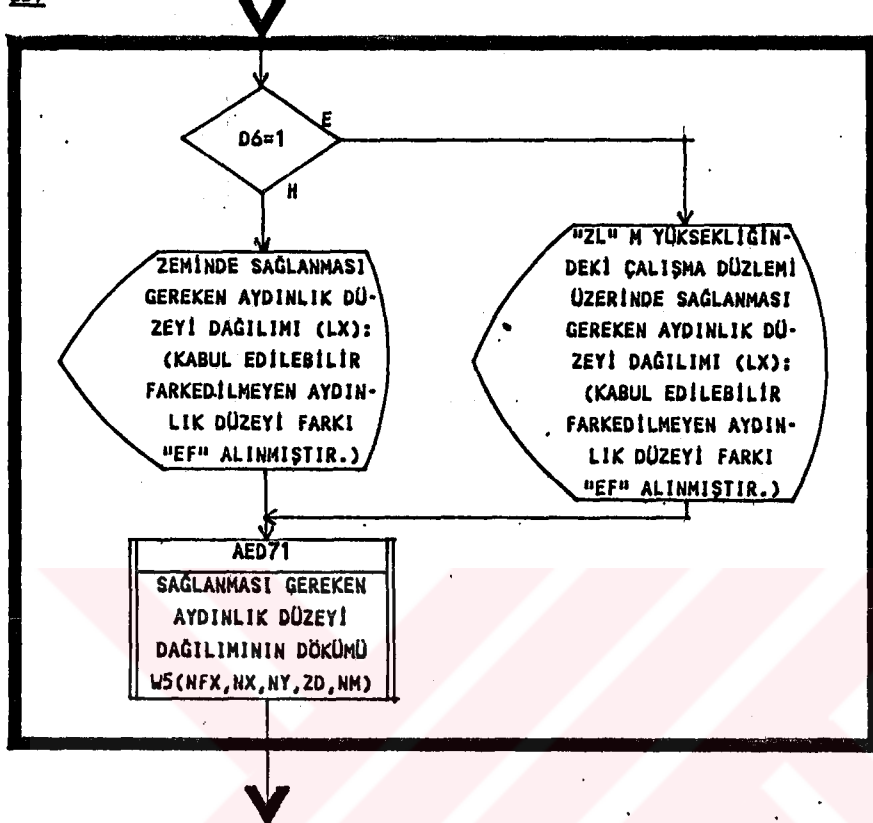


ED5





ED7



AED31 : Aydinlik düzeyi değerlerinin dökümü
 $W5(NFX, NX, NY, ZD, NM)$
 (W5 alt programı, odanın planını çizip, çalışma düzleminde bulunan aydınlik düzeyi değerlerini, Q tarama aralığı ile, bu çizim içeresine yerleştirir.)

AED71 : Sağlanması gereken aydınlik düzeyi değerlerinin dökümü
 $W5(NFX, NX, NY, ZD, NM)$
 (W5 alt programı, odanın planını çizip, çalışma düzleminde bulunan, yapay ışık tarafından sağlanması gereken aydınlik düzeyi değerlerini, Q tarama aralığı ile, bu çizim içeresine yerleştirir.)

EK I

EDEG PROGRAMI DÖKÜMÜ

Ana program :EDEG

```

DIMENSION EM(20,13),NFX(20,20),NAY(11),
ZD(20) EDE0001
DATA (NAY(I),I=1,11)/31,28,31,30,31,30,31,
31,30,31,30/ EDE0002
PI=3.141592654 EDE0003
READ(5,2001)NX,NY,NM,D6 EDE0004
READ(5,2002)(ZD(I),I=1,NM) EDE0005
IF(D6.EQ.0.) GOTO 10 EDE0006
READ(5,2003) ZL EDE0007
10 READ(5,2004)((EM(I,J),J=1,NY),I=1,NX) EDE0008
C EDE0009
C ZENIT PARILTISINI HESAPLAR. EDE0010
  DECN=0. EDE0011
  GN=0. EDE0012
  WRITE(15,2015) EDE0013
  READ(15,*) AY EDE0014
  IF(AY.EQ.1.) GOTO 20 EDE0015
  AYN=AY-1 EDE0016
  DO 30 I=1,AYN EDE0017
  GN=GN+NAY(I) EDE0018
30 CONTINUE EDE0019
  DECN=GN EDE0020
20 WRITE(15,2016) EDE0021
  READ(15,*) GUN EDE0022
  DECN=DECN+GUN EDE0023
  DECA=23.45*PI/180.*SIN(2*PI/365*(DECN+284)) EDE0024
  WRITE(15,2017) EDE0025
  READ(15,*) SAAT EDE0026
  HOR=ABS(SAAT-12.) EDE0027
  THOR=15.*HOR*PI/180. EDE0028
  WRITE(15,2018) EDE0029
  READ(15,*) ENLEM EDE0030
  ENL=ENLEM*PI/180. EDE0031
  YASI=SIN(ENL)*SIN(DECA)+COS(ENL)*COS(DECA)*
  COS(THOR) EDE0032
  ZTL=3990.*YASI*(1.+3.*YASI/2.)
  IF(ZTL.LT.0.) ZTL=0. EDE0033
  IAY=IFIX(AY) EDE0034
  IGUN=IFIX(GUN) EDE0035
  WRITE(15,2013) IAY,IGUN,SAAT,ZTL EDE0036

```

C		EDE0038
C	AYDINLIK DUZEYI DEGERLERINI HESAPLAR.	EDE0039
	DO 40 I=1,NX	EDE0040
	DO 50 J=1,NY	EDE0041
	EM(I,J)=EM(I,J)*ZTL	EDE0042
	50 CONTINUE	EDE0043
	40 CONTINUE	EDE0044
C		EDE0045
C	AYDINLIK DUZEYI DEGERLERINI YAZDIRIR.	EDE0046
	IF(D6.EQ.1.) GOTO 60	EDE0047
	WRITE(6,2009)	EDE0048
	GOTO 70	EDE0049
	60 WRITE(6,2010) ZL	EDE0050
	70 CALL S6(NX,NY,EM,NFX,NM,NX,NY)	EDE0051
	CALL W5(NFX,NX,NY,ZD,NM)	EDE0052
C		EDE0053
C	SAGLANMASI GEREKEN AYDINLIK DUZEYI DAGILIMINI HESAPLAR.	EDE0054
	WRITE(15,2019)	EDE0055
	READ(15,*) EO,EF	EDE0056
	DO 80 I=1,NX	EDE0057
	DO 90 J=1,NY	EDE0058
	EM(I,J)=EO-EM(I,J)	EDE0059
	IF(EM(I,J).LT.0.) EM(I,J)=0.	EDE0060
	90 CONTINUE	EDE0061
	80 CONTINUE	EDE0062
C		EDE0063
C	SAGLANMASI GEREKEN MAKSIMUM AYDINLIK DUZEYI DEGERINI BULUR.	EDE0064
	CALL S6(NX,NY,EM,NFX,NM,NX,NY)	EDE0065
	B=NFX(1,1)	EDE0066
	DO 100 I=1,NX	EDE0067
	DO 110 J=1,NY	EDE0068
	IF(B-NFX(I,J))120,110,110	EDE0069
	120 B=NFX(I,J)	EDE0070
	110 CONTINUE	EDE0071
	100 CONTINUE	EDE0072
C		EDE0073
C	SAGLANMASI GEREKEN AYDINLIK DUZEYI DAGILIMINI EF YE GORE DUZENLER.	EDE0074
	150 DO 130 I=1,NX	EDE0075
	DO 140 J=1,NY	EDE0076
	IF(NFX(I,J).EQ.0.) GOTO 140	EDE0077
	ED=ABS(B-NFX(I,J))	EDE0078
	IF(ED.LT.EF) NFX(I,J)=B	EDE0079
	140 CONTINUE	EDE0080
	130 CONTINUE	EDE0081
	B=B-EF	EDE0082
	IF(B.GT.0.) GOTO 150	EDE0083
C		EDE0084
C	SAGLANMASI GEREKEN AYDINLIK DUZEYI DAGILIMINI YAZDIRIR.	EDE0085
	IF(D6.EQ.1.) GOTO 160	EDE0086
	WRITE(6,2012) EF	EDE0087
	GOTO 170	EDE0088
	160 WRITE(6,2020) ZL,EF	EDE0089
	170 CALL W5(NFX,NX,NY,ZD,NM)	EDE0090

GOTO 2000	EDE0091
C	EDE0092
2001 FORMAT(3I10,1F10.0)	EDE0093
2002 FORMAT(8F10.3)	EDE0094
2003 FORMAT(1F10.4)	EDE0095
2004 FORMAT(10F12.8)	EDE0096
2005 FORMAT(1F10.0)	EDE0097
2006 FORMAT(1F10.0)	EDE0098
2007 FORMAT(1F10.4)	EDE0099
2008 FORMAT(1F10.4)	EDE0100
2009 FORMAT(" ZEMINDEKI AYDINLIK DUZYEYI DAGILIMI (LX):")	EDE0101
2010 FORMAT(1H1,1X,1F6.2,"M YUKSEKLIGINDEKI CALISMA DUZLEMI UZERINDE AY 1DINLIK DUZYEYI DAGILIMI (LX):")	EDE0102 EDE0103
2011 FORMAT(2F10.2)	EDE0104
2012 FORMAT(1H1," ZEMINDE SAGLANMASI GEREKEN AYDINLIK DUZYEYI DAGILIMI (EDE0105
1LX):",/,," (KABUL EDILEBILIR RAHATSIZ ETMEYEN AYDINLIK DUZYEYI FARKI	EDE0106
1:,"1F6.2," ALINMISTIR.)")	EDE0107
2013 FORMAT(1X,1I2,"INCI AYIN ",1I2,"INCI GUNUNDE, SAAT ",1F5.2," DE", 1/," ZENIT PARILTISI= ",1F10.2)	EDE0112 EDE0113
2015 FORMAT(" AYDINLIK DUZYEYI DAGILIMLARINI HANGI AY ICIN GORMEK ISTIYO	EDE0114
1RSUNUZ?",/,," OCAK 1. AY OLMAK UZERE, SAYISAL OLARAK YAZINIZ.")	EDE0115
2016 FORMAT(" AYDINLIK DUZYEYI DAGILIMLARINI SOZ KONUSU AYIN HANGI GUNU 1ICIN",/,," GORMEK ISTIYORSUNUZ?")	EDE0116 EDE0117
2017 FORMAT(" AYDINLIK DUZYEYI DAGILIMLARINI SOZ KONUSU GUNUN HANGI SAAT 1I ICIN",/,," GORMEK ISTIYORSUNUZZ?",/,," 1.00 ILE 24.00 ARASINDA BIR 1SAATTI SECINIZ.")	EDE0118 EDE0119 EDE0120
2018 FORMAT(" ICERISINDE AYDINLIK DUZYEYI DAGILIMLARI HESAPLANAN BINANIN 1 BULUNDUGU",/,," SEHIRIN ENLEM DERECESINI YAZINIZ.")	EDE0121 EDE0122
2019 FORMAT(" TASARIM KONUSU OLAN HACIMDE SAGLANMASI ISENEN ORTALAMA A 1YDINLIK DUZYEYINI (EO)",/,," VE BU AYDINLIK DUZYEYI ALTINDA, KABUL ED 1ILEBILIR RAHATSIZ ETMEYEN AYDINLIK DUZYEYI", /,," FARKINI (EF) YAZINI 1Z.")	EDE0123 EDE0124 EDE0125 EDE0126
2020 FORMAT(1H1,1X,1F6.2,"M YUKSEKLIGINDEKI CALISMA DUZLEMI UZERINDE SA 1GLANMASI GEREKEN",/,," AYDINLIK DUZYEYI DAGILIMI (LX) :/,," (KABUL 1EDILEBILIR RAHATSIZ ETMEYEN AYDINLIK DUZYEYI FARKI:",1F6.2," ALINMI 1STIR.)")	EDE0108 EDE0109 EDE0110 EDE0111 EDE0127 EDE0128
2000 STOP	
END	

ÖZGEÇMİŞ

1956 yılının Ocak ayında İstanbul' da doğdu. İlk öğrenimini aynı yerde yaptıktan sonra girdiği İstanbul Alman Liselerinden 1974' de mezun oldu. Aynı yıl İ.T.Ü. Temel Bilimler Fakültesi Matematik Mühendisliği Bölümüne girdi. 1975' de İ.T.Ü. Elektrik Fakültesine geçti. 1979' da enerji bölümünden mezun oldu. Aynı yıl İ.T.Ü. Elektrik Fakültesinde lisans üstü eğitimine başladı. 1981 yılında İ.T.Ü. Elektrik Fakültesi Elektrik Tesisleri Kürsüsüne teknisyen mühendis olarak girdi. Aynı yıl Şubat döneminde elektrik yüksek mühendisi olarak lisans üstü eğitimini tamamladı ve aynı kürsüde asistan yüksek mühendis kadrosuna geçti. Halen İ.T.Ü. Elektrik-Elektronik Fakültesi Elektrik Bölümü Elektrik Tesisleri Biriminde araştırma görevlisi olarak çalışmaktadır.

T. C.

Yükseköğretim Kurulu
Dokümantasyon Merkezi